

## **TUGAS AKHIR**

### **REDESAIN GEDUNG INNOVATIVE PROGRAM CLUSTER (IPC) UNIVERSITAS KATOLIK SOEGIJAPRANATA SEBAGAI SISTEM RANGKA BAJA PEMIKUL MOMEN**

**Diajukan Untuk Memenuhi Persyaratan Dalam Menyelesaikan  
Pendidikan Program Sarjana (S1) Program Studi Teknik Sipil Fakultas Teknik  
Universitas Islam Sultan Agung**



**Disusun Oleh :**

**Bagus Samiaji**

**30.2017.00.033**

**Bayu Arie Winarno**

**30.2017.00.037**

**PROGRAM STUDI TEKNIK SIPIL FAKULTAS TEKNIK  
UNIVERSITAS ISLAM SULTAN AGUNG  
SEMARANG  
2021**



### HALAMAN PENGESAHAN

**REDESAIN GEDUNG INNOVATIVE PROGRAM CLUSTER (IPC)**  
**UNIVERSITAS KATOLIK SOEGIJAPRANATA SEBAGAI SISTEM**  
**RANGKA BAJA PEMIKUL MOMEN**

Oleh :



Bagus Samiaji

30.2017.00.033



Bayu Arie Winarno

30.2017.00.037

Telah disetujui dan disahkan di Semarang tanggal Agustus 2021

Tim Penguji

Tanda Tangan

1. M. Rusli Ahyar, ST., M. Eng
2. Ir. H. Prabowo Setiyawan, MT., Ph.D.
3. Selvia Agustina, ST., M.eng

Universitas Islam Sultan Agung

Program Studi Teknik Sipil

Fakultas Teknik

Ketua,

M. Rusli Ahyar, ST., M. Eng



**YAYASAN BADAN WAKAF SULTAN AGUNG  
UNIVERSITAS ISLAM SULTAN AGUNG (UNISSULA)  
FAKULTAS TEKNIK**

Jalan Raya Kaligawe KM. 4 Po. BOX 1054 Telp.(024)6583584 Ext.507 Semarang 50112

**BERITA ACARA BIMBINGAN TUGAS AKHIR**

Pada hari ini, Maret 2021 berdasarkan Surat Keputusan Rektor Universitas Islam Sultan Agung (UNISSULA) Semarang perihal penunjukan Dosen Pembimbing I dan Dosen Pembimbing II :

- |                  |   |                                     |
|------------------|---|-------------------------------------|
| 1. Nama          | : | Muhamad Rusli Ahyar, ST., M.Eng     |
| Jabatan Akademik | : | Ketua Program Studi Teknik Sipil    |
| Jabatan          | : | Dosen Pembimbing I                  |
| 2. Nama          | : | Ir. H. Prabowo Setiyawan, MT., Ph.D |
| Jabatan Akademik | : | Lektor                              |
| Jabatan          | : | Dosen Pembimbing II                 |

Dengan ini menyatakan bahwa mahasiswa yang tersebut dibawah ini telah menyelesaikan bimbingan Tugas Akhir / Skripsi :

Nama : Bagus Samiaji Nama : Bayu Arie Winarno  
NIM : 30.2017.00.033 NIM : 30.2017.00.037

Judul : Redesain Gedung *Innovative Program Cluster (IPC)* Universitas Katolik Soegijapranata Sebagai Sistem Rangka Baja Pemikul Momen. Dengan tahapan sebagai berikut :

| No | Tahapan                     | Tanggal        | Keterangan |
|----|-----------------------------|----------------|------------|
| 1. | Penunjukan dosen pembimbing | 12 Maret 2021  | ACC        |
| 2. | Proposal                    | 12 April 2021  | ACC        |
| 3. | Pengumpulan data            | 15 April 2021  | ACC        |
| 4. | Analisis data               | 18 April 2021  | ACC        |
| 5. | Penyusunan laporan          | 23 April 2021  | ACC        |
| 6. | Selesai laporan             | 3 Agustus 2021 | ACC        |

Demikian Berita Acara Bimbingan Tugas Akhir ini dibuat untuk diketahui dan dipergunakan seperlunya oleh pihak-pihak yang berkepentingan.

Dosen Pembimbing I

M. Rusli Ahyar, ST., M.Eng

Dosen Pembimbing II

Ir. H. Prabowo Setiyawan, MT., Ph.D

Mengetahui  
Ketua Program Studi Teknik Sipil

M. Rusli Ahyar, ST., M.Eng

# **USULAN PENELITIAN TUGAS AKHIR**

## **REDESAIN GEDUNG *INNOVATIVE PROGRAM CLUSTER (IPC)* UNIVERSITAS KATOLIK SOEGIJAPRANATA SEBAGAI SISTEM RANGKA BAJA PEMIKUL MOMEN**

Yang diajukan oleh :

**Bagus Samiaji**

**30.2017.00.033**

**Bayu Arie Winarno**

**30.2017.00.037**

Telah disetujui oleh :

Pembimbing Utama

Muhamad Rusli Ahyar, ST., M.Eng

Tanggal : April 2021

Pembimbing Pendamping

Ir. H. Prabowo Setiyawan, MT., Ph.D.

Tanggal : April 2021

Mengetahui

Ketua Program Studi Teknik Sipil

Muhamad Rusli Ahyar, ST., M.Eng

## PERNYATAAN BEBAS PLASGIASI

Saya yang bertanda tangan dibawah ini :

NAMA : Bagus Samiaji

NIM : 30201700033

NAMA : Bayu Arie Winarno

NIM : 30201700037

Dengan ini menyatakan bahwa Tugas Akhir yang berjudul : “**REDESAIN GEDUNG INNOVATIVE PROGRAM CLUSTER (IPC) UNIVERSITAS KATOLIK SOEGIJAPRANATA SEBAGAI SISTEM RANGKA BAJA PEMIKUL MOMEN**” Benar bebas dari plagiat, dan apabila pernyataan ini terbukti tidak benar maka saya bersedia menerima sanksi sesuai ketentuan yang berlaku.

Demikian surat pernyataan ini saya buat untuk dipergunakan sebagaimana mestinya.

Semarang, Agustus 2021

Yang Membuat Pernyataan



Bagus Samiaji



B.A.W

Bayu Arie Winarno

## **PERNYATAAN KEASLIAN**

Saya yang bertanda-tangan di bawah ini :

NAMA : Bagus Samiaji

NIM : 30201700033

NAMA : Bayu Arie Winarno

NIM : 30201700037

JUDUL : **REDESAIN GEDUNG INNOVATIVE PROGRAM CLUSTER  
(IPC) UNIVERSITAS KATOLIK SOEGIJAPRANATA  
SEBAGAI SISTEM RANGKA BAJA PEMIKUL MOMEN**

Menyatakan dengan sesungguhnya bahwa Tugas Akhir ini merupakan hasil penelitian, pemikiran, dan pemaparan asli saya sendiri. Saya tidak mencantumkan tanpa pengakuan bahan-bahan yang telah dipublishkan sebelumnya atau ditulis oleh orang lain, atau sebagai bahan yang pernah diajukan untuk gelar atau ijazah pada Universitas Islam Sultan Agung Semarang atau perguruan tinggi lainnya.

**UNISSULA**

Apabila dikemudian hari terdapat penyimpangan dan ketidak benaran dalam pernyataan ini, maka saya bersedia menerima sanksi akademik sesuai dengan peraturan yang berlaku di Universitas Islam Sultan Agung Semarang.

Demikian pernyataan ini saya buat.

Semarang, Agustus 2021

Yang Membuat Pernyataan



Bagus Samiaji



Bayu Arie Winarno

## MOTTO

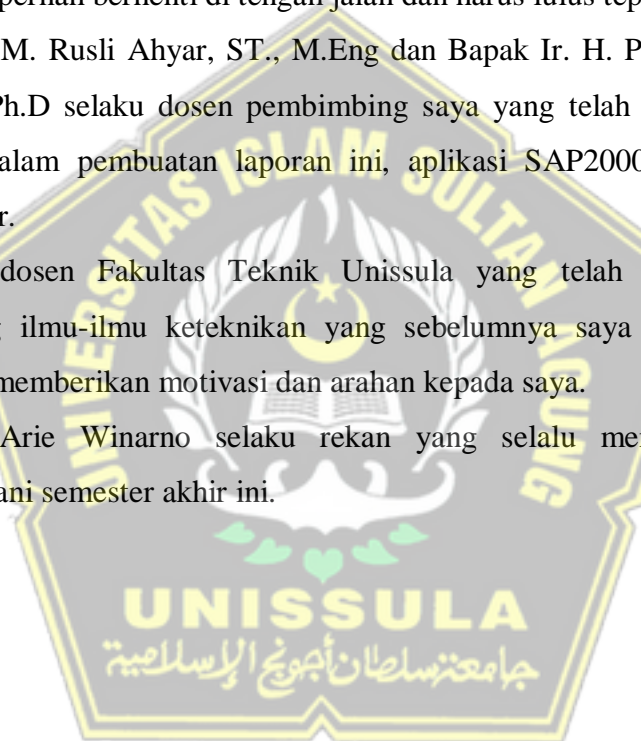
- Memulai dengan keyakinan, menjalankan dengan penuh keikhlasan, menyelesaikan dengan penuh kebahagiaan.
- Jangan bandingkan prosesmu dengan proses orang lain. Tidak semua bunga tumbuh dan mekar bersamaan.
- Kehilangan orang tua itu sangat sedih, jangan terlalu lama bersedih, bangkit dan raihlah kesuksesan karena hidup harus terus berjalan.
- Percayalah pada dirimu sendiri, lakukan yang terbaik, raih cita-citamu untuk kesuksesan yang pasti.



## **PERSEMBAHAN**

Alhamdulillah, Puji syukur kehadirat Allah SWT atas segala rahmat dan hidayah Nya, sehingga penulis bisa menyelesaikan Laporan Tugas Akhir ini penulis persembahkan untuk :

1. Kedua orang tua saya Alm. Bapak Syamsuri dan Alm. Ibu Sumarni. Terimakasih yang pertama kepada almarhum dan almarhuma kedua orang tua saya yang selalu memberi dukungan dan selalu mengingatkan supaya jangan pernah berhenti di tengah jalan dan harus lulus tepat waktu.
2. Bapak M. Rusli Ahyar, ST., M.Eng dan Bapak Ir. H. Prabowo Setiyawan, MT., Ph.D selaku dosen pembimbing saya yang telah sabar mengajarkan saya dalam pembuatan laporan ini, aplikasi SAP2000, dan perhitungan struktur.
3. Dosen-dosen Fakultas Teknik Unissula yang telah mengajarkan saya tentang ilmu-ilmu keteknikan yang sebelumnya saya tidak ketahui dan selalu memberikan motivasi dan arahan kepada saya.
4. Bayu Arie Winarno selaku rekan yang selalu menyemangati dalam menjalani semester akhir ini.



**Bagus Samiaji**

**30201700033**

## **PERSEMBAHAN**

Alhamdulillah, Puji syukur kehadirat Allah SWT atas segala rahmat dan hidayah Nya, sehingga penulis bisa menyelesaikan Laporan Tugas Akhir ini penulis persembahkan untuk :

1. Kedua orang tua saya, Bapak Alprie Sukarno dan Ibu Narimawati Tri Setyowati, yang telah memberikan segenap kasih sayang dan dukungan materil, semangat, doa, dan pendidikan mental untuk terus mengejar impian menjadi seorang yang mulia di dunia dan akhirat.
2. Dosen-dosen Fakultas Teknik Unissula yang telah mengajarkan saya tentang ilmu-ilmu keteknikan yang sebelumnya saya tidak ketahui dan selalu memberikan motivasi dan arahan kepada saya.
3. Bapak M. Rusli Ahyar, ST., M.Eng dan Bapak Ir. H. Prabowo Setiyawan, MT., Ph.D selaku dosen pembimbing saya yang telah sabar membimbing saya dalam pembuatan laporan ini, aplikasi SAP2000, dan perhitungan struktur.
4. Bagus Samiaji selaku rekan yang telah bekerja keras dan berjuang bersama menyelesaikan Tugas Akhir ini.
5. Teman-teman Fakultas Teknik Unissula angkatan 2017 yang lainnya yang tidak bisa saya sebutkan satu persatu. Terima kasih untuk kebersamaan kita selama ini, terimakasih atas doa, semangat dan motivasi kalian. Semoga selalu terjaga pertemanan sampai kapanpun.
6. Diri sendiri, terimakasih sudah percaya pada diri sendiri, terimakasih sudah selalu berusaha menjadi pribadi yang lebih baik, terimakasih sudah berjuang menyelesaikan skripsi ini serta selalu semangat untuk terus belajar hal-hal baru. Teruslah berproses.

**Bayu Arie Winarno**

**30201700037**

**REDESAIN GEDUNG INNOVATIVE PROGRAM CLUSTER (IPC)  
UNIVERSITAS KATOLIK SOEGIJAPRANATA SEBAGAI SISTEM  
RANGKA BAJA PEMIKUL MOMEN**

Oleh :

Bagus Samiaji<sup>1)</sup>, Bayu Arie Winarno<sup>1)</sup>, Muhamad Rusli Ahyar<sup>2)</sup>, Prabowo Setiyawan<sup>2)</sup>

**ABSTRAK**

*Kurang familiarnya penggunaan baja sebagai struktur sebuah bangunan bukan berarti material baja kurang bagus untuk dijadikan sebuah material struktur bangunan. Material baja memiliki beberapa keunggulan salah satunya yaitu baja dikenal dengan kekuatan elastisitasnya yang baik, kondisi elastis ini membuat baja tidak mudah runtuh apabila memikul beban yang besar. Ditambah dengan sifat daktail yang dimiliki baja, ketika mekanisme tersebut terjadi maka baja akan mengalami leleh terlebih dahulu sebelum mengalami runtuh. Pada Tugas Akhir ini akan merencanakan pembangunan Gedung Innovative Program Cluster (IPC) Universitas Katolik Soegijapranata dengan menggunakan struktur baja.*

*Metode perencanaan redesain ini berisi : pengumpulan data, perhitungan pembebanan, permodelan struktur, perhitungan struktur, dan analisa struktur pada gedung dimana gedung merupakan gedung pendidikan. Perencanaan sendiri harus memenuhi persyaratan yang berlaku : SNI 1727-2013 Beban Minimum untuk Perancangan Bangunan Gedung dan Struktur lain, SNI 1729-2015 Spesifikasi untuk Bangunan Gedung Baja Struktural, dan SNI 1726-2019 Tata Cara Perencanaan Ketahanan Gempa untuk Struktur Bangunan Gedung dan Non Gedung. Untuk membantu menganalisa struktur dan memodelkan struktur digunakan aplikasi SAP2000 v14.*

*Hasil yang didapat setelah meninjau ulang bangunan berdasarkan persyaratan yang berlaku, bangunan Gedung Innovatin Program Cluster (IPC) Universitas Katolik Soegijapranata menggunakan sistem rangka baja pemikul momen dengan bresing konsentris khusus.*

**Kata Kunci :** Redesain gedung ; Struktur baja

**REDESIGN OF INNOVATIVE PROGRAM CLUSTER (IPC) BUILDING AT  
UNIVERSITAS KATOLIK SOEGIJAPRANATA AS A MOMENT  
RESISTANCE STEEL FRAME SYSTEM**

By :

Bagus Samiaji<sup>1)</sup>, Bayu Arie Winarno<sup>1)</sup>, Muhamad Rusli Ahyar<sup>2)</sup>, Prabowo Setiyawan<sup>2)</sup>

**ABSTRACT**

*The lack of familiarity with the utilization of steel as the structure of a building does not imply that steel material is not adequate to be used as a building structure material. Steel material has several advantages, one of which is steel is known for its good elasticity strength. This elastic condition makes steel difficult to collapse when carrying a heavy load. Coupled with steel's ductile properties, when this mechanism occurs, the steel will melt before collapse. This final project will plan the construction of the Innovative Program Cluster (IPC) building at Universitas Katolik Soegijapranata using steel structure.*

*The redesign method of this research contained: data collection, calculation of loading, structural modeling, calculation of dimensions, and analysis of structures in buildings which the building was an educational building. The planning itself should meet the applicable requirements: SNI 1727-2013 Minimum Load for Designing Buildings and Other Structures, SNI 1729-2015 Specifications for Structural Steel Buildings, and SNI 1726-2019 Procedures for Planning Earthquake Resistance Building and Non-Building Structures. To help analyze the structure and model, the structure used SAP2000 v14 application.*

*The results are obtained after reviewing the building based on applicable requirements, the Innovation Program Cluster (IPC) building at Universitas Katolik Soegijapranata uses a moment-resistance steel frame system with special concentric braces.*

**Keyword : Steel ; Building redesign**



## KATA PENGANTAR

Syukur Alhamdulillah segala puji bagi Allah SWT, karena hanya dengan rahmat dan karunia-Nya penulis dapat menyelesaikan Tugas Akhir ini dengan judul “**REDESAIN GEDUNG INNOVATIVE PROGRAM CLUSTER (IPC) UNIVERSITAS KATOLIK SOEGIJAPRANATA SEBAGAI SISTEM RANGKA BAJA PEMIKUL MOMEN**”. Tugas Akhir ini diajukan untuk memenuhi persyaratan dalam menyelesaikan Program Sarjana Strata 1 (S1) Teknik Sipil di Universitas Islam Sultan Agung Semarang.

Selama menyelesaikan Tugas Akhir ini, penulis telah mendapat bantuan dan bimbingan dari berbagai pihak, untuk itu dalam kesempatan ini penyusun menyampaikan terimakasih kepada :

1. Allah SWT Robbul ‘Izatti dan Rasulullah Muhammad SAW.
2. Ibu dan Ayah kami tercinta.
3. Keluarga kami yang telah banyak memberikan motivasi dalam menyelesaikan tugas akhir ini serta senantiasa memberikan doa, semangat, dan dukungan baik dukungan moral, material, maupun spiritual dengan penuh kasih sayang dan pengorbanan.
4. Yth. Bapak Ir. H. Rachmat Mudiyyono, MT., Ph.D, selaku Dekan Fakultas Teknik Universitas Islam Sultan Agung Semarang.
5. Yth. Bapak Muhamad Rusli Ahyar, ST., M.Eng, selaku Ketua Program Studi Teknik Sipil Fakultas Teknik Universitas Islam Sultan Agung Semarang dan juga selaku Dosen Pembimbing I Tugas Akhir.
6. Yth. Bapak Ir. H. Prabowo Setiyawan, MT., Ph.D, selaku Dosen Pembimbing II Tugas Akhir.
7. Yth. Ibu Selvia Agustina, ST., M.Eng, selaku Dosen Pembanding Seminar Tugas Akhir.
8. Semua pihak yang telah membantu dalam penyelesaian Tugas Akhir ini yang tidak dapat disebutkan satu persatu.

Disadari, karena keterbatasan ilmu pengetahuan, kemampuan, dan pengalaman yang dimiliki, dalam Tugas Akhir ini masih terdapat banyak

kekurangan. Oleh karena itu, kritik dan saran yang bersifat membangun sangat diharapkan untuk menjadikannya lebih baik dan lebih menuju pada kesempurnaan.

Semoga Tugas Akhir ini dapat memenuhi syarat yang telah ditentukan.  
*Aamiin Yaa Robbal Aalamiin.*

Semarang, Agustus 2021

Penyusun



## DAFTAR ISI

|   |          |
|---|----------|
| HALAMAN JUDUL .....   | i        |
| HALAMAN PENGESAHAN .....  | ii       |
| BERITA ACARA BIMBINGAN TUGAS AKHIR .....  | iii      |
| USULAN PENELITIAN TUGAS AKHIR .....   | iv       |
| PERNYATAAN BEBAS PLAGIASI .....   | v        |
| PERNYATAAN KEASLIAN .....   | vi       |
| MOTTO DAN PERSEMBAHAN .....   | vii      |
| ABSTRAK .....   | x        |
| <i>ABSTRACT</i> .....   | xi       |
| KATA PENGANTAR .....  | xii      |
| DAFTAR ISI .....  | xiv      |
| DAFTAR TABEL .....  | xviii    |
| DAFTAR GAMBAR .....   | xx       |
| DAFTAR LAMPIRAN .....   | xxii     |
| <b>BAB I PENDAHULUAN .....</b>  | <b>1</b> |
| 1.1 Latar Belakang .....  | 1        |
| 1.2 Rumusan Masalah .....   | 3        |
| 1.3 Tujuan Redesain .....   | 3        |
| 1.4 Batasan Masalah .....   | 3        |
| 1.5 Manfaat .....   | 4        |
| 1.6 Sistematika Penulisan .....   | 4        |
| <b>BAB II LANDASAN TEORI .....</b>  | <b>6</b> |
| 2.1 Perencanaan Struktur .....  | 6        |
| 2.2 Material .....  | 6        |
| 2.2.1 Sifat Mekanis Baja .....  | 6        |
| 2.2.2 Karakteristik Tarik Baja .....  | 7        |
| 2.3 Desain Kekuatan Berdasarkan LRFD ( <i>Load and Resistance Factor Design</i> ) ..... | 9        |
| 2.4 Pembebanan Struktur .....   | 10       |

|        |  |    |
|--------|--|----|
| 2.4.1  | Beban Mati .....   | 10 |
| 2.4.2  | Beban Hidup .....  | 12 |
| 2.4.3  | Beban Hidup Atap .....   | 13 |
| 2.4.4  | Beban Gempa .....  | 13 |
| 2.4.5  | Beban Angin .....  | 16 |
| 2.5    | Menentukan Klasifikasi Situs .....                                   | 17 |
| 2.6    | Menentukan Koefisien Situs $F_a$ dan $F_v$ .....                     | 18 |
| 2.7    | Menentukan Respon Spektra Desain .....                               | 19 |
| 2.8    | Menentukan Sistem Struktur dan Parameter Sistem .....                | 20 |
| 2.9    | Kombinasi Pembebatan .....   | 21 |
| 2.10   | Kategori Desain Seismik .....  | 23 |
| 2.11   | Waktu Getar Alami Struktur .....                                     | 23 |
| 2.12   | Simpangan Antar Lantai .....   | 25 |
| 2.13   | Gaya Geser Dasar Gempa .....   | 26 |
| 2.14   | Pengaruh $P$ -delta .....  | 27 |
| 2.15   | Perencanaan Struktur Baja .....                                      | 28 |
| 2.15.1 | Batang Tekan .....   | 28 |
| 2.15.2 | Batang Lentur .....  | 33 |
| 2.15.3 | Tekuk Torsi Lateral / <i>Lateral Torsion Buckling</i><br>(LTB) ..... | 36 |
| 2.16   | Sambungan Baut .....   | 38 |
| 2.16.1 | Ukuran dan Lubang Baut .....   | 38 |
| 2.16.2 | Kekuatan Baut .....  | 40 |
| 2.16.3 | Kekuatan Geser Baut .....  | 41 |
| 2.16.4 | Kekuatan Tarik Baut .....  | 41 |
| 2.16.5 | Kekuatan Tumpu dan Sobek Lubang Baut .....                           | 41 |
| 2.16.6 | Baut Kekuatan Tinggi dalam Sambungan Slip Kritis ..                  | 42 |
| 2.17   | Sambungan Las .....  | 43 |
| 2.17.1 | Jenis-Jenis Sambungan Las .....                                      | 44 |
| 2.17.2 | Las Tumpul ( <i>Groove Welds</i> ) .....                             | 44 |
| 2.17.3 | Las Sudut ( <i>Fillet Welds</i> ) .....                              | 45 |
| 2.17.4 | Kuat Rencana Sambungan Las Sudut .....                               | 46 |

|   |           |
|---|-----------|
| <b>BAB III METODOLOGI REDESAIN .....</b>                          | <b>48</b> |
| 3.1 Pengumpulan Data .....  | 48        |
| 3.2 Perencanaan dan Analisis Perhitungan Struktur .....           | 48        |
| 3.3 Diagram Alur .....  | 50        |
| <b>BAB IV ANALISA DAN PERHITUNGAN .....</b>                       | <b>51</b> |
| 4.1 Permodelan Struktur .....                                     | 51        |
| 4.2 Kombinasi Pembebatan Struktur .....                           | 52        |
| 4.3 Mutu Bahan Struktur .....                                     | 53        |
| 4.4 Analisa Desain Seismik .....                                  | 54        |
| 4.4.1 Kategori Resiko dan Faktor keutamaan Gempa .....            | 54        |
| 4.4.2 Klasifikasi Situs .....                                     | 54        |
| 4.4.3 Parameter Respon Spektral Gempa $S_s$ dan $S_1$ .....       | 54        |
| 4.4.4 Parameter Respon Spektral Gempa $S_{ms}$ dan $S_{m1}$ ..... | 55        |
| 4.4.5 Parameter Respon Spektral Gempa $S_{ds}$ dan $S_{d1}$ ..... | 55        |
| 4.4.6 Respon Spektrum Gempa .....                                 | 55        |
| 4.4.7 Kategori Desain Seismik .....                               | 57        |
| 4.4.8 Faktor Keutamaan .....                                      | 57        |
| 4.4.9 Analisa Waktu Getar dan Ragam Gerak Struktur .....          | 58        |
| 4.4.10 Cek Waktu Getar Alami Struktur .....                       | 58        |
| 4.4.11 Perhitungan Gaya Geser Dasar Desain .....                  | 60        |
| 4.4.12 Cek Simpangan Antar Tingkat .....                          | 61        |
| 4.4.13 Cek Stabilitas $P$ -Delta Struktur .....                   | 63        |
| 4.5 Perencanaan Struktur .....                                    | 66        |
| 4.5.1 Perencanaan Pelat .....                                     | 66        |
| 4.5.2 Perencanaan Balok Anak .....                                | 70        |
| 4.5.3 Perencanaan Batang Bresing .....                            | 74        |
| 4.5.4 Perencanaan Balok Induk .....                               | 79        |
| 4.5.5 Perencanaan Kolom .....                                     | 83        |
| 4.6 Perencanaan Sambungan .....                                   | 90        |
| 4.6.1 Sambungan Balok Anak dengan Balok Induk .....               | 90        |
| 4.6.2 Sambungan Kolom dengan Balok Induk .....                    | 98        |

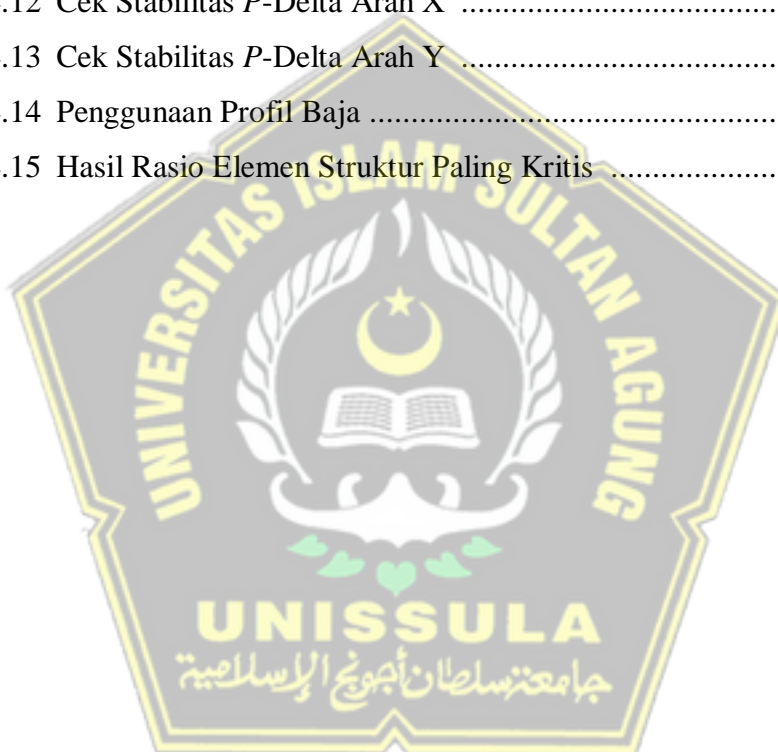
|                       |  |            |
|-----------------------|--|------------|
| 4.6.3                 | Sambungan Bresing dengan Balok Induk ..... | 105        |
| 4.6.4                 | Sambungan Antar Kolom .....                | 113        |
| 4.7                   | Hasil Perencanaan Struktur .....           | 115        |
| <b>BAB V</b>          | <b>PENUTUP .....</b>                       | <b>116</b> |
| 5.1                   | Kesimpulan .....                           | 116        |
| 5.2                   | Saran.....                                 | 117        |
| <b>DAFTAR PUSTAKA</b> |  |            |
| <b>LAMPIRAN</b>       |  |            |



## DAFTAR TABEL

|            |   |    |
|------------|---|----|
| Tabel 2.1  | Sifat Mekanis Baja Struktural Berdasarkan Mutu Baja .....                                 | 7  |
| Tabel 2.2  | Sifat Mekanis Baja Struktural Secara Umum .....   | 7  |
| Tabel 2.3  | Beban Sendiri Bahan Bangunan dan Komponen Gedung .....                                    | 11 |
| Tabel 2.4  | Beban Hidup Terdistribusi Merata Minimum, $Lo$ , dan<br>Beban Hidup Terpusat Minimum..... | 12 |
| Tabel 2.5  | Kategori Resiko Bangunan Gedung dan Non Gedung<br>untuk Beban Gempa .....                 | 14 |
| Tabel 2.6  | Tabel keutamaan Gempa.....  | 15 |
| Tabel 2.7  | Faktor Arah Angin $K_d$ .....   | 17 |
| Tabel 2.8  | Klasifikasi Situs .....   | 17 |
| Tabel 2.9  | Koefisien Situs, $F_a$ .....  | 18 |
| Tabel 2.10 | Koefisien Situs, $F_v$ .....  | 19 |
| Tabel 2.11 | Faktor Koefisien Modifikasi Respon ( $R$ ) untuk Sistem<br>Penahan Gaya Gempa .....       | 21 |
| Tabel 2.12 | Kategori Desain Seismik Berdasarkan $S_{DS}$ .....  | 23 |
| Tabel 2.13 | Kategori Desain Seismik Berdasarkan $S_{D1}$ .....  | 23 |
| Tabel 2.14 | Kategori Desain Seismik Berdasarkan $S_{D1}$ .....  | 24 |
| Tabel 2.15 | Nilai Parameter Periode Pendekatan $C_t$ dan $x$ .....                                    | 24 |
| Tabel 2.16 | Simpangan Antar Tingkat .....   | 26 |
| Tabel 2.17 | Rasio Tebal terhadap Lebar .....  | 29 |
| Tabel 2.18 | Faktor Panjang Efektif atau Faktor Panjang Tekuk ( $K$ ) .....                            | 31 |
| Tabel 2.19 | Klasifikasi Elemen yang Memikul Lentur.....   | 34 |
| Tabel 2.20 | Kuat Nominal baut.....  | 38 |
| Tabel 2.21 | Ukuran Diameter Baut (mm) dan Gaya Tarik Minimum ( $kN$ ).....                            | 39 |
| Tabel 2.22 | Dimensi Lubang Nominal (mm) .....   | 39 |
| Tabel 2.23 | Jarak Tepi Minimum Baut (mm) .....  | 40 |
| Tabel 2.24 | Ukuran minimum las sudut .....  | 46 |
| Tabel 4.1  | Data Parameter $S_s$ dan $S_1$ .....  | 54 |
| Tabel 4.2  | Data Parameter $S_{ms}$ dan $S_{m1}$ .....  | 55 |

|            |  |     |
|------------|--|-----|
| Tabel 4.3  | Data Parameter $S_{DS}$ dan $S_{D1}$ .....               | 55  |
| Tabel 4.4  | Perhitungan Manual Respon Spektrum .....                 | 56  |
| Tabel 4.5  | Kategori Desain Seismik .....                            | 57  |
| Tabel 4.6  | Ragam Gerak dan Waktu Getar Alami Struktur .....         | 58  |
| Tabel 4.7  | Periode Struktur .....                                   | 59  |
| Tabel 4.8  | Hasil Perbandingan Gempa Statik dan Dinamik Arah X.....  | 60  |
| Tabel 4.9  | Hasil Perbandingan Gempa Statik dan Dinamik Arah Y ..... | 61  |
| Tabel 4.10 | Cek Simpangan Antar Tingkat Struktur Arah X .....        | 62  |
| Tabel 4.11 | Cek Simpangan Antar Tingkat Struktur Arah Y .....        | 63  |
| Tabel 4.12 | Cek Stabilitas $P$ -Delta Arah X .....                   | 64  |
| Tabel 4.13 | Cek Stabilitas $P$ -Delta Arah Y .....                   | 65  |
| Tabel 4.14 | Penggunaan Profil Baja .....                             | 115 |
| Tabel 4.15 | Hasil Rasio Elemen Struktur Paling Kritis .....          | 115 |



## DAFTAR GAMBAR

|             |   |    |
|-------------|---|----|
| Gambar 2.1  | Grafik Hubungan Tegangan-Regangan Baja.....                           | 8  |
| Gambar 2.2  | Respon Spektra Desain .....   | 19 |
| Gambar 2.3  | Simpangan Antar Tingkat .....   | 25 |
| Gambar 2.4  | Nomogram Nilai $K$ pada komponen Struktur Bergoyang .....             | 32 |
| Gambar 2.5  | Nomogram Nilai $K$ pada komponen Struktur Tak Bergoyang .....         | 32 |
| Gambar 2.6  | Diagram Momen Balok Perletakan Jepit-Jepit .....                      | 37 |
| Gambar 2.7  | Jenis Sambungan Las .....   | 44 |
| Gambar 3.1  | Diagram Alur Penyelesaian Tugas Akhir.....                            | 50 |
| Gambar 4.1  | Gambar Permodelan 3D Tampak Depan Perspektif .....                    | 51 |
| Gambar 4.2  | Gambar Permodelan 3D Tampak Samping Perspektif .....                  | 52 |
| Gambar 4.3  | Gambar Permodelan 3D Tampak Belakang Perspektif .....                 | 52 |
| Gambar 4.4  | Grafik Perhitungan Manual Respon Spektrum Desain .....                | 57 |
| Gambar 4.5  | Perbandingan Gempa Statik dan Dinamik Arah X .....                    | 60 |
| Gambar 4.6  | Perbandingan Gempa Statik dan Dinamik Arah Y .....                    | 61 |
| Gambar 4.7  | Cek Simpangan Antar Tingkat Arah X .....                              | 62 |
| Gambar 4.8  | Cek Simpangan Antar Tingkat Arah Y .....                              | 63 |
| Gambar 4.9  | Cek Stabilitas $P$ -Delta Arah X .....                                | 64 |
| Gambar 4.10 | Cek Stabilitas $P$ -Delta Arah Y .....                                | 65 |
| Gambar 4.11 | <i>Output</i> SAP2000 pada salah satu pelat .....                     | 66 |
| Gambar 4.12 | Hasil <i>Output</i> SAP2000 Gaya Geser dan Momen Balok Anak .....     | 71 |
| Gambar 4.13 | Hasil <i>Output</i> SAP2000 Gaya Geser dan Momen Balok Anak .....     | 74 |
| Gambar 4.14 | Hasil <i>Output</i> SAP2000 Gaya Aksial Bresing .....                 | 75 |
| Gambar 4.15 | Hasil <i>Output</i> SAP2000 Gaya Geser dan Momen Bresing .....        | 75 |
| Gambar 4.16 | Hasil <i>Output</i> SAP2000 Gaya Geser dan Momen<br>Balok Induk ..... | 80 |
| Gambar 4.17 | Hasil <i>Output</i> SAP2000 Gaya Geser dan Momen Kolom .....          | 84 |
| Gambar 4.18 | Nomogram untuk menghitung $K$ arah x .....                            | 85 |
| Gambar 4.19 | Nomogram untuk menghitung $K$ arah y .....                            | 86 |
| Gambar 4.20 | Hasil <i>Output</i> SAP2000 Gaya Aksial Kolom .....                   | 89 |

|   |     |
|---|-----|
| Gambar 4.21 Hasil <i>Output</i> SAP2000 Gaya Geser dan Momen<br>Balok Anak .....  | 92  |
| Gambar 4.22 Hasil <i>Output</i> SAP2000 Gaya Geser dan Momen<br>Balok Induk ..... | 99  |
| Gambar 4.23 Hasil <i>Output</i> SAP2000 Gaya Geser dan Momen Bresing .....        | 106 |
| Gambar 4.24 Hasil <i>Output</i> SAP2000 Gaya Geser dan Momen Kolom .....          | 113 |



## **DAFTAR LAMPIRAN**

Lampiran 1 Berita Acara Seminar Tugas Akhir

Lampiran 2 Gambar Struktur Bangunan Gedung *Innovative Program Cluster*  
(IPC) Universitas Katolik Soegijapranata

Lampiran 3 Tabel Baja Gunung Garuda

Lampiran 4 Tabel Baja WF LRFD

Lampiran 5 Hasil Pengecekan Turnitin



## **BAB I**

### **PENDAHULUAN**

#### **1.1 Latar Belakang**

Perkembangan yang pesat di Indonesia akhir-akhir ini memicu pertumbuhan dan pembangunan, ditambah juga dengan pertumbuhan penduduk. Dengan pertambahan tersebut maka dibutuhkan pembangunan infrastruktur supaya dapat mengimbangi pertumbuhan penduduk yang terjadi. Akan tetapi pembangunan insfrastruktur seringkali terkendala, salah satu kendala dalam pembangunan infrastruktur di Indonesia khususnya di Semarang adalah keterbatasan lahan yang tersedia.

Berdasarkan letak geografis, Indonesia terletak di antara dua lempeng dunia yaitu lempeng Eurasia dan Australia, hal ini mengakibatkan Indonesia menjadi daerah yang rawan akan terjadinya gempa. Dalam hal ini maka diperlukan perencanaan struktur bangunan yang kuat yang dapat menahan gaya dari gempa sehingga resiko terjadinya kerusakan bangunan dapat diminimalisir.

Perencanaan struktur bertujuan untuk menghasilkan suatu struktur yang stabil, kuat, awet dan memenuhi tujuan seperti ekonomi serta kemudahan pelaksanaan. Salah satu faktor yang paling berpengaruh dalam perencanaan struktur bangunan bertingkat tinggi adalah kekuatan bangunan, dimana faktor ini sangat terkait dengan keamanan dan ketahanan bangunan dalam menahan dan menampung beban yang bekerja pada struktur.

Dalam perencanaan sebuah bangunan gedung, terdapat 2 material yang paling umum digunakan sebagai struktur sebuah bangunan yaitu material beton bertulang dan material baja. Dua material tersebut sama-sama memiliki kelebihan dan kekurangan masing-masing dalam penggunaannya. Di Indonesia sendiri untuk struktur bangunan gedung bertingkat lebih familiar menggunakan struktur beton bertulang, namun hal tersebut bukan berarti material baja kurang bagus untuk dijadikan sebuah material struktur bangunan. Dalam beberapa kasus didapat jika material baja lebih efektif karena baja memiliki kekuatan yang tinggi, serta mudah dalam pelaksanaannya.

Jika dibandingkan struktur beton bertulang, material baja memiliki beberapa keunggulan yaitu baja mempunyai kekuatan leleh yang tinggi sehingga dalam aplikasinya elemen struktur baja memiliki dimensi relatif lebih kecil dibandingkan dengan struktur beton bertulang, dengan demikian berat konstruksi baja juga akan lebih ringan dibandingkan struktur beton. Baja juga dikenal dengan kekuatan elastisitasnya yang baik, kondisi elastis ini membuat baja tidak mudah runtuh bila memikul beban yang besar. Selain itu baja juga memiliki tingkat keawetan yang tinggi, dan juga dalam penyambungan antar elemennya dapat menggunakan alat sambung las atau baut.

Selain itu baja juga bersifat daktail. Daktail adalah sebuah kemampuan dari struktur baja untuk melakukan deformasi yang besar tanpa mengalami kegagalan, hal ini dikarenakan nilai kuat leleh baja yang sangat baik sehingga tidak mengalami kegagalan yang bersifat mendadak. Ketika mekanisme itu terjadi, baja mengalami leleh terlebih dahulu sebelum mengalami runtuh sehingga akan memberikan waktu bagi pengguna gedung untuk menyelamatkan diri. Hal ini sangat berguna jika mengetahui letak proyek pembangunan berada di daerah yang sering mengalami gempa.

Berdasarkan paparan diatas, penulis tertarik untuk memodifikasi struktur bangunan Gedung *Innovative Program Cluster* (IPC) Universitas Katolik Soegijapranata yang awalnya struktur beton bertulang akan dimodifikasi menjadi struktur baja. Oleh karena itu judul dari Tugas Akhir ini adalah **“REDESAIN GEDUNG INNOVATIVE PROGRAM CLUSTER (IPC) UNIVERSITAS KATOLIK SOEGIJAPRANATA SEBAGAI SISTEM RANGKA BAJA PEMIKUL MOMEN”**.

Prinsip dari perencanaan ulang bangunan ini adalah dengan mengubah struktur yang awalnya struktur beton bertulang diubah menjadi struktur baja akan tetapi supaya tetap menghasilkan suatu bangunan yang aman, nyaman, kuat, efisien dan aman terhadap bahaya gempa bagi pengguna gedung. Suatu konstruksi gedung harus mampu menahan beban dan gaya-gaya yang bekerja pada konstruksi itu sendiri (beban gravitasi dan beban gempa), sehingga bangunan atau struktur gedung aman dalam jangka waktu yang direncanakan.

Dalam redesain ini direncanakan sebuah gedung 5 lantai dan 1 basement dimana gedung tersebut digunakan sebagai fasilitas pendidikan untuk para mahasiswa maupun dosen Universitas Katolik Soegijapranata.

Perkembangan penggunaan struktur baja di Indonesia masih sangat minim jika dibandingkan dengan negara lain yang sudah maju infra strukturnya. Maka dalam Tugas Akhir ini kami akan merencanakan bangunan gedung bertingkat menggunakan struktur baja sebagai bekal untuk merencanakan bangunan gedung menggunakan struktur baja dimasa yang akan datang.

## 1.2 Rumusan Masalah

Berdasarkan uraian latar belakang di atas, maka untuk perencanaan ulang struktur Gedung *Innovative Program Cluster* (IPC) Universitas Katolik Soegijapranata Semarang dengan menggunakan struktur baja, permasalahan yang diambil yaitu bagaimana cara menentukan dimensi balok dan kolom portal utama terhadap momen akibat gaya-gaya yang bekerja pada struktur bangunan tingkat tinggi.

## 1.3 Tujuan Redesain

Tujuan dari Tugas Akhir yang berjudul Redesain Gedung *Innovative Program Cluster* (IPC) Universitas Katolik Soegijapranata sebagai Sistem Rangka Baja Pemikul Momen adalah sebagai berikut :

1. Menentukan jenis sistem rangka pemikul momen pada gedung *Innovative Program Cluster* (IPC) Universitas Katolik Soegijapranata Semarang.
2. Menentukan dimensi balok dan kolom baja yang akan digunakan.
3. Menghitung rasio struktur untuk elemen balok, kolom, dan sambungan.

## 1.4 Batasan Masalah

Batasan masalah dari redesain ini adalah :

1. Perencanaan gedung ini dimaksudkan sebagai bahan studi sehingga tidak mempertimbangkan aspek ekonomi.
2. Desain struktur berdasarkan pada SNI 1729-2015.
3. Pembebanan dihitung berdasarkan SNI 1727-2013.

4. Perhitungan beban gempa berdasarkan SNI 1726-2019.
5. Tugas Akhir ini tidak membahas detail metode pelaksanaan.
6. Perhitungan struktur pada redesain gedung ini hanya memperhitungkan desain struktur atas.

### **1.5 Manfaat**

Manfaat yang diharapkan didapat dari redesain gedung ini yaitu dapat dijadikan referensi untuk perencanaan bangunan konstruksi tingkat tinggi dengan struktur baja.

### **1.6 Sistematika Penulisan**

Untuk mempermudah pembahasan, maka dibuat suatu sistematika penulisan yang terdiri dari 5 bab. Adapun masing-masing bab tersebut mengandung pokok-pokok pembahasan sebagai berikut :

#### **BAB I**

#### **PENDAHULUAN**

Pada bab ini menguraikan latar belakang, rumusan masalah, maksud dan tujuan yang ingin dicapai pada penulisan tugas akhir ini, batasan masalah dan sistematika penulisan.

#### **BAB II**

#### **TINJAUAN PUSTAKA**

Bab ini menguraikan tentang teori dari literatur yang dianggap menunjang dalam penulisan tugas akhir ini serta sebagai landasan teori untuk analisis selanjutnya.

#### **BAB III**

#### **METODOLOGI REDESAIN**

Bab ini menguraikan tentang deskripsi bangunan yang akan dianalisa, data-data struktur gedung, serta tahapan untuk menganalisis struktur.

#### **BAB IV**

#### **ANALISA DAN PERHITUNGAN**

Bab ini membahas mengenai analisis struktur, perhitungan beban, dan pengecekan terhadap persyaratan yang telah ditentukan. Pemodelan struktur menggunakan aplikasi SAP2000 v.14.

## BAB V

## PENUTUP

Bab ini berisi kesimpulan yang diperoleh dari pembahasan bab-bab sebelumnya dan saran yang berkaitan dengan hasil kesimpulan.



## BAB II

### LANDASAN TEORI

#### 2.1 Perencanaan Struktur

Tujuan dari perencanaan struktur menurut Spesifikasi untuk Bangunan Gedung Baja Struktural (SNI 1729:2015) adalah menghasilkan suatu struktur yang stabil, kuat, mampu layan, awet, dan memenuhi tujuan-tujuan lainnya seperti ekonomi dan kemudahan pelaksanaan.

Struktur bisa dikatakan kuat bila selama menerima beban rencana (beban *gravity*, beban gempa, beban angin, dan lain-lain), struktur tersebut tetap kuat dan tidak mengalami kerusakan non-struktural bahkan kerusakan struktural selama umur rencana bangunan. Struktur dikatakan stabil dan nyaman bila selama digunakan, struktur bisa memberikan ketenangan pada penghuni gedung tanpa menimbulkan rasa khawatir. Selain itu struktur juga harus dipastikan tidak mudah terguling, miring, atau tergeser saat menerima beban rencana selama umur bangunan. Selain itu, struktur juga diharapkan bisa memberikan *durability* yang lama sesuai umur rencana bangunan pada saat menerima beban rencana atau pada saat berinteraksi dengan lingkungan sekitar (air atau udara). Struktur juga diharapkan tidak terjadi kerusakan pada bagian non-struktural maupun bagian struktural.

#### 2.2 Material

##### 2.2.1 Sifat mekanis baja

Kekuatan material baja dalam menerima beban sangat ditentukan oleh sifat mekanisnya. Sifat mekanis suatu bahan adalah kemampuan bahan tersebut dalam memberikan perlawanannya terhadap beban yang bekerja pada bahan tersebut. Sifat mekanis baja struktural yang dibutuhkan dalam perencanaan meliputi tegangan leleh, tegangan putus (tegangan ultima), modulus elastisitas, modulus geser, nisbah poisson, serta koefisien pemuaian.

Tabel 2.1 Sifat Mekanis Baja Struktural Berdasarkan Mutu Baja

| Jenis Baja | Tegangan putus minimum, $f_u$ (MPa) | Tegangan leleh minimum, $f_y$ (MPa) | Peregangan Minimum (%) |
|------------|-------------------------------------|-------------------------------------|------------------------|
| BJ 34      | 340                                 | 210                                 | 22                     |
| BJ 37      | 370                                 | 240                                 | 20                     |
| BJ 41      | 410                                 | 250                                 | 18                     |
| BJ 50      | 500                                 | 290                                 | 16                     |
| BJ 55      | 550                                 | 410                                 | 13                     |

Sumber : SNI 03-1729-2015, Badan Standarisasi Nasional (2015)

Nilai dari tegangan leleh ( $f_y$ ) dan tegangan putus ( $f_u$ ) tidak boleh melebihi nilai yang diberikan pada Tabel 2.1. Nilai dari sifat mekanis lainnya diberikan pada Tabel 2.2.

Tabel 2.2 Sifat Mekanis Baja Struktural Secara Umum

| Sifat Mekanis       | Simbol   | Nilai               | Satuan |
|---------------------|----------|---------------------|--------|
| Modulus elastisitas | $E$      | 200.000             | MPa    |
| Modulus geser       | $G$      | 80.000              | MPa    |
| Nisbah poisson      | $\mu$    | 0,3                 |        |
| Koefisien pemuaian  | $\alpha$ | $12 \times 10^{-6}$ | /°C    |

Sumber : SNI 03-1729-2015, Badan Standarisasi Nasional (2015)

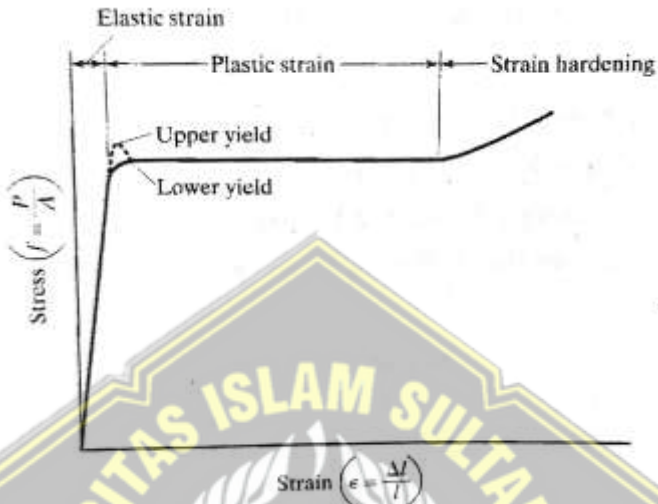
Untuk material baja yang tidak dilengkapi dengan spesifikasinya (tidak teridentifikasi), yang bebas dari cacat yang merugikan, hanya boleh digunakan untuk komponen struktur yang kerusakannya tidak akan mereduksi kekuatan struktur.

## 2.2.2 Karakteristik tarik baja

Untuk memahami dengan baik sifat dari material baja, perencana harus mengenal sifat alamiah dari baja. Sifat tersebut dituangkan dalam sebuah hubungan tegangan-regangan (*stress-strain*). Dengan mengetahui karakteristik ini,

perencana akan memiliki pertimbangan yang matang dalam perencanaan terkait beban yang akan dipikul oleh material baja.

Pada Gambar 2.1 dapat dilihat hubungan *stress-strain* dari material baja dalam kondisi menerima beban dan mengalami deformasi.



Gambar 2.1 Grafik Hubungan Tegangan-Regangan Baja

Sumber : McCormac & Csernak, 2012

Sumbu X menunjukkan regangan yang terjadi pada material baja saat menerima beban, sedangkan sumbu Y menunjukkan besaran tegangan yang diterima profil baja saat menerima beban luar.

Pada bagian *Elastic strain* material baja masih bersifat elastis, artinya bila beban yang dikenakan pada profil dihilangkan maka deformasi profil akan menjadi nol atau bentuk kembali seperti semula tanpa adanya pertambahan panjang.

Bentuk kurva *Stress strain* pada material baja sangat dipengaruhi oleh kecepatan pembebahan. Disaat dilakukan pembebahan yang relatif cepat, titik leleh (*yield point*) terlihat lebih besar (*upper yield*). Sedangkan disaat beban laju pembebahan relatif lebih lambat, maka titik leleh material baja terlihat lebih rendah (*lower yield*).

*Yield point* ialah kondisi dimana sifat elastis baja telah tidak berlaku lagi. Profil baja telah menjadi leleh. Dengan kata lain, bila beban yang diberikan pada

profil dihilangkan maka profil baja tidak akan kembali pada bentuk semula. Saat menyentuh level leleh ini (*yield*) maka baja akan memasuki kondisi plastis.

*Plastic strain* adalah kondisi dimana material baja akan terus berdeformasi saat diberi gaya. Pada kondisi ini material baja akan mengalami deformasi permanen bila beban dihilangkan. Deformasi ini akan berlanjut hingga material baja benar-benar mengalami kondisi gagal (*failure*).

Pada kondisi *strain hardening* baja mengalami tegangan tambahan guna menghasilkan regangan tambahan pada profil. Dalam perencanaan, kondisi seperti ini sudah tidak terlalu penting dalam perhitungan dikarenakan deformasi yang terjadi pada profil baja sudah terlalu besar. Dengan kata lain, kondisi ini adalah detik-detik material akan mengalami kegagalan dikarenakan kapasitas material telah dilewati.

### 2.3 Desain Kekuatan Berdasarkan LRFD (*Load and Resistance Factor Design*)

Konsep LRFD digunakan dalam spesifikasi di AISC (*American Institute of Steel Construction*), dimana konsep desain ini memperhitungkan kondisi batas, yang merupakan kondisi maksimum yang dapat diberikan suatu penampang yang berada di luar batas elastis (inelastis).

Desain yang sesuai dengan ketentuan untuk *Load and Resistance Factor Design* (LRFD) memenuhi persyaratan spesifikasi ini bila kekuatan desain setiap komponen struktural sama atau melebihi kekuatan perlu yang ditentukan berdasarkan kombinasi beban LRFD. Desain harus dilakukan sesuai dengan persamaan :

Dimana:

*Ru* = Kekuatan perlu menggunakan kombinasi beban.

$\phi$  = Faktor Ketahanan

Rn = Kekuatan Nominal

$\phi R_n$  = Kekuatan desain

Pada LRFD, beban yang digunakan adalah beban ultima, dimana beban yang bekerja dikalikan dengan faktor beban sehingga menghasilkan beban yang lebih besar dari beban yang diterima struktur. Selain faktor beban, pada LRFD juga menggunakan faktor ketahanan  $\phi$  yang besarnya ditentukan oleh jenis gaya yang bekerja, apakah batang mengalami gaya tarik, tekan, lentur, atau geser.

## 2.4 Pembebaan Struktur

Beban merupakan gaya luar yang bekerja pada suatu komponen struktur. Pembebaan ini merupakan salah satu faktor penentu perencanaan struktur, dimana apabila beban yang ada melebihi beban yang direncanakan akan berakibat fatal pada bangunan. Sebagai contoh adalah kasus runtuhnya Jembatan Air Lingsing di Desa Tanjung Aur, Kikim Tengah, Kabupaten Lahat, Sumatera Selatan (Dewabroto, 2016). Jembatan rangka dengan bentang 50 m tersebut runtuh akibat kelebihan beban, dimana kapasitas jembatan sebesar  $\pm 125$  ton tetapi dilewati kendaraan dengan beban 200 ton secara bersamaan. Berdasarkan SNI 1727:2013 tentang beban minimum untuk perancangan bangunan gedung dan struktur lain, bangunan gedung dan struktur lain yang dirancang berdasarkan material standar atau spesifikasi tertentu, harus dirancang dengan kombinasi beban yang telah ditetapkan sebagai berikut.

### 2.4.1 Beban mati

Dalam SNI 1727-2013 Pasal 3.1.1 Beban mati yaitu berat seluruh bahan konstruksi bangunan gedung yang terpasang, termasuk dinding, lantai atap, plafon, tangga, dinding partisi tetap, *finishing*, *cladding* gedung dan komponen arsitektural dan struktural lainnya. Selain itu, juga harus diperhatikan berat peralatan layan tetap yang digunakan dalam bangunan gedung seperti plumbing, mekanikal elektrikal, dan alat pemanas, ventilasi, dan sistem pengondisian udara.

Beban mati diperoleh dengan memperhitungkan berat sendiri dari material yang dipakai, diantaranya adalah berat isi beton, berat isi baja, berat atap, dan sebagainya.

Seorang *engineer* yang berpengalaman akan dapat mengestimasi beban maupun dimensi profil pada struktur dengan lebih mendekati kenyataan sehingga dapat menghemat waktu untuk membuat perulangan desain karena estimasi yang kurang baik (*McCormac & Csernak*, 2012). Adapun untuk jenis dan berat sendiri beban mati dapat dilihat pada Tabel 2.3.

Tabel 2.3 Beban Sendiri Bahan Bangunan dan Komponen Gedung

| Bahan Bangunan   | Berat | Satuan            |
|--|-------|-------------------|
| Baja   | 7850  | Kg/m <sup>3</sup> |
| Beton  | 2200  | Kg/m <sup>3</sup> |
| Beton Bertulang  | 2400  | Kg/m <sup>3</sup> |
| Kayu (Kelas 1)   | 1000  | Kg/m <sup>3</sup> |
| Pasir (Kering Udara)   | 1600  | Kg/m <sup>3</sup> |
| <b>Komponen Gedung</b>   |       |                   |
| Adukan, per cm tebal :   |       |                   |
| - dari semen   | 21    | Kg/m <sup>2</sup> |
| - dari kapur, semen merah atau tras  | 17    | Kg/m <sup>2</sup> |
| Aspal, termasuk bahan-bahan mineral tambahan, per cm tebal Dinding Pas. Bata merah :   | 14    | Kg/m <sup>2</sup> |
| - satu batu  | 450   | Kg/m <sup>2</sup> |
| - setengah batu  | 250   | Kg/m <sup>2</sup> |
| Dinding pasangan batako :  |       |                   |
| Berlubang :  |       |                   |
| - tebal dinding 20 cm (HB 20)  | 200   | Kg/m <sup>2</sup> |
| - tebal dinding 10 cm (HB 10)  | 120   | Kg/m <sup>2</sup> |
| Tanpa lubang   |       |                   |
| - tebal dinding 15 cm  | 300   | Kg/m <sup>2</sup> |
| - tebal dinding 10 cm  | 200   | Kg/m <sup>2</sup> |
| Langit-langit dan dinding (termasuk rusuk-rusuknya, tanpa penggantung langit-langit atau pengaku), terdiri dari :                |       |                   |
| - semen asbes (eternit dan bahan lain sejenis), dengan tebal maksimum 4 mm   | 11    | Kg/m <sup>2</sup> |
| - kaca, dengan tebal 3 – 4 mm  | 10    | Kg/m <sup>2</sup> |
| Lantai kayu sederhana dengan balok kayu, tanpa langit-langit dengan bentang maksimum 5 m dan untuk beban hidup maksimum 200 kg/m | 40    | Kg/m <sup>2</sup> |
| Penggantung langit-langit (dari kayu), dengan bentang maksimum 5 m dan jarak s.k.s minimum 0,8 m                                 | 7     | Kg/m <sup>2</sup> |
| Penutup atap genting dengan reng dan   | 50    | Kg/m <sup>2</sup> |

|   |    |                   |
|---|----|-------------------|
| usuk/kaso per m <sup>2</sup> bidang atap  |    |                   |
| Penutup atap sirap dengan reng dan usuk/kaso per m <sup>2</sup> bidang atap           | 40 | Kg/m <sup>2</sup> |
| Penutup atap seng gelombang (BWG 24) tanpa gordeng                                    | 10 | Kg/m <sup>2</sup> |
| Penutup lantai dari ubin semen portland, teraso dan beton, tanpa adukan, per cm tebal | 24 | Kg/m <sup>2</sup> |
| Semen asbes gelombang (tebal 5 mm)  | 11 | Kg/m <sup>2</sup> |

Sumber : Peraturan Pembebanan Indonesia untuk Gedung (PPIUG), Direktorat Penyelidikan Masalah Bangunan (1983)

#### 2.4.2 Beban hidup

Beban hidup adalah beban yang diakibatkan oleh pengguna dan penghuni bangunan gedung atau struktur lain yang tidak termasuk beban konstruksi dan beban lingkungan, seperti beban angin, beban hujan, beban gempa, beban banjir, atau beban mati. Beban hidup tersebut merupakan beban maksimum yang terjadi akibat penggunaan bangunan gedung, dimana nilainya tidak boleh kurang dari beban rerata minimum yang telah ditetapkan.

Tabel 2.4 Beban Hidup Terdistribusi Merata Minimum,  $l_o$ , dan Beban Hidup Terpusat Minimum

| Hunian atau Penggunaan  | Merata psf<br>(kN/m <sup>2</sup> )                                 | Terpusat lb (kN)         |
|---|--|--------------------------|
| Sistem lantai akses<br>Ruang kantor<br>Ruang komputer   | 50 (2,4)<br>100 (4,79)   | 2000 (8,9)<br>2000 (8,9) |
| Ruang pertemuan<br>Kursi tetap (terikat dilantai)<br>Lobi<br>Kursi dapat dipindahkan<br>Panggung pertemuan<br>Lantai podium | 100 (4,79)<br>100 (4,79)<br>100 (4,79)<br>100 (4,79)<br>100 (4,79) |                          |
| Koridor<br>Lantai pertama<br>Lantai lain  | 100 (4,79)   |                          |
| Ruang makan dan restoran  | 100 (4,79)   |                          |
| Garasi/parkir<br>Mobil penumpang saja   |  | 40 (1,92)                |

| Truk/bus                       |            |            |
|--------------------------------|------------|------------|
| Sekolah                        |            |            |
| Ruang kelas                    | 40 (1,92)  | 1000 (4,5) |
| Koridor di atas lantai pertama | 80 (3,83)  | 1000 (4,5) |
| Koridor lantai pertama         | 100 (4,79) | 1000 (4,5) |

*Sumber : SNI 1727:2013, Badan Standarisasi Nasional (2013)*

#### **2.4.3 Beban hidup atap**

Menurut SNI 1727-2013 Pasal 4.1 definisi dari beban hidup atap ialah beban pada atap yang diakibatkan :

1. Pelaksanaan pemeliharaan oleh pekerja, peralatan, dan material
2. Selama masa layan struktur yang diakibatkan oleh benda bergerak, seperti tanaman atau benda dekorasi kecil yang tidak berhubungan dengan penghunian.

#### **2.4.4 Beban gempa**

Dalam perencanaan struktur gedung, pengaruh gempa rencana harus ditentukan sedemikian rupa sehingga memberikan pengaruh yang terbesar terhadap unsur-unsur subsistem dan sistem struktur gedung secara keseluruhan. Untuk berbagai kategori resiko struktur bangunan gedung dan non gedung sesuai tabel pengaruh gempa rencana terhadapnya harus dikalikan dengan suatu faktor keutamaan gempa  $I_e$ , menurut Tabel 2.5.

Tabel 2.5 Kategori Resiko Bangunan Gedung dan Non Gedung untuk Beban Gempa

| Jenis Pemanfaatan  | Kategori Resiko |
|--|-----------------|
| <p>Gedung dan nongedung yang memiliki resiko rendah terhadap jiwa manusia pada saat terjadi kegagalan, termasuk, tapi tidak dibatasi untuk, antara lain :</p> <ul style="list-style-type: none"> <li>- Fasilitas pertanian, perkebunan, peternakan, dan perikanan</li> <li>- Fasilitas sementara</li> <li>- Gudang penyimpanan</li> <li>- Rumah jaga dan struktur kecil lainnya</li> </ul>   | I               |
| <p>Semua gedung dan struktur lain, kecuali yang termasuk dalam kategori resiko I, III, IV, termasuk, tapi tidak dibatasi untuk :</p> <ul style="list-style-type: none"> <li>- Perumahan</li> <li>- Rumah toko dan rumah kantor</li> <li>- Pasar</li> <li>- Gedung perkantoran</li> <li>- Gedung apartemen / rumah susun</li> <li>- Pusat perbelanjaan / mall</li> <li>- Bangunan industri</li> <li>- Fasilitas manufaktur</li> <li>- Pabrik</li> </ul>                                   | II              |
| <p>Gedung dan non gedung yang memiliki resiko rendah terhadap jiwa manusia pada saat terjadi kegagalan, termasuk, tapi tidak dibatasi untuk, antara lain :</p> <ul style="list-style-type: none"> <li>- Bioskop</li> <li>- Gedung pertemuan</li> <li>- Stadion</li> <li>- Fasilitas kesehatan yang tidak memiliki unit bedah dan unit gawat darurat</li> <li>- Fasilitas penitipan anak</li> <li>- Penjara</li> <li>- Bangunan untuk orang jompo</li> </ul>                              | III             |
| <p>Gedung dan non gedung yang memiliki resiko rendah terhadap jiwa manusia pada saat terjadi kegagalan, termasuk, tapi tidak dibatasi untuk, antara lain :</p> <ul style="list-style-type: none"> <li>- Pusat pembangkit listrik biasa</li> <li>- Fasilitas penanganan air</li> <li>- Fasilitas penanganan limbah</li> <li>- Pusat telekomunikasi</li> </ul> <p>Gedung dan non gedung yang tidak termasuk dalam kategori resiko IV, (termasuk, tetapi tidak dibatasi untuk fasilitas</p> |                 |

|   |    |
|---|----|
| manufaktur, proses, penanganan, penyimpanan, penggunaan atau tempat pembuangan bahan bakar berbahaya, bahan kimia berbahaya, limbah berbahaya atau bahan yang mudah meledak) yang mengandung bahan beracun atau peledak dimana jumlah kandungan bahannya melebihi nilai batas yang disyaratkan oleh instansi yang berwenang dan cukup menimbulkan bahaya bagi masyarakat jika terjadi kebocoran.  |    |
| Gedung dan non gedung yang dikategorikan sebagai fasilitas yang penting, termasuk, tetapi tidak dibatasi untuk : <ul style="list-style-type: none"> <li>- Bangunan-bangunan monumental</li> <li>- Gedung sekolah dan fasilitas pendidikan</li> <li>- Rumah ibadah</li> <li>- Rumah sakit dan fasilitas kesehatan lainnya yang memiliki fasilitas bedan dan unit gawat darurat.</li> <li>- Fasilitas pemadam kebakaran, ambulans, dan kantor polisi, serta garasi kendaraan darurat.</li> <li>- Tempat perlindungan terhadap gempa bumi, tsunami, angin badai, dan tempat perlindungan darurat lainnya.</li> <li>- Fasilitas kesiapan darurat, komunikasi, pusat operasi dan fasilitas lainnya untuk tanggap darurat</li> <li>- Pusat pembangkit energi dan fasilitas publik lainnya yang dibutuhkan saat keadaan darurat</li> <li>- Struktur tambahan (termasuk menara telekomunikasi, tangki air pemadam kebakaran atau struktur rumah atau struktur pendukung air atau material atau peralatan pemadam kebakaran) yang disyaratkan untuk beroperasi pada saat keadaan darurat.</li> </ul> Gedung dan non gedung yang dibutuhkan untuk mempertahankan fungsi struktur bangunan lain yang masuk ke dalam kategori resiko IV | IV |
|   |    |

Sumber : SNI 1726-2019, Badan Standarisasi Nasional (2019)

Tabel 2.6 Tabel Keutamaan Gempa

| Kategori Resiko | Faktor Keutamaan Gempa |
|-----------------|------------------------|
| I atau II       | 1,0                    |
| III             | 1,25                   |
| IV              | 1,50                   |

Sumber : SNI 1726-2019, Badan Standarisasi Nasional (2019)

#### **2.4.5 Beban angin**

Pengertian beban angin ialah semua beban yang bekerja pada gedung atau bagian gedung yang disebabkan oleh selisih dalam tekanan udara. Beban angin ditentukan dengan menganggap adanya tekanan positif dan tekanan negatif (isapan), yang bekerja tegak lurus pada bidang-bidang yang ditinjau. Besarnya tekanan positif dan negatif ini dinyatakan dalam  $\text{kg/m}^2$ .

Menurut Standar Nasional Indonesia (SNI) 1727:2013 Tabel 27.2-1 halaman 64, dalam menentukan tekanan angin tipe SPBAU (Sistem Penahan Beban Angin Utama) adalah dengan melalui beberapa langkah, yaitu:

1. Menentukan kategori risiko bangunan gedung atau struktur lain.
2. Menentukan kecepatan angin dasar,  $V$  (m/s), untuk kategori resiko yang sesuai.
3. Menentukan parameter beban angin:
  - Faktor arah angin,  $K_d$
  - Kategori eksposur
  - Faktor topografi,  $K_{zt}$
  - Faktor efek tiupan angin,  $G$
  - Klasifikasi ketertutupan
  - Koefisien tekanan internal,  $G_{cpi}$
4. Menentukan koefisien eksposur tekanan velositas,  $K_z$  atau  $K_h$ .
5. Menentukan tekanan velositas  $q$ , atau  $q_h$  ( $\text{N/m}^2$ ).
6. Menentukan koefisien tekanan eksternal,  $C_p$  atau  $C_N$ .
7. Hitung tekanan angin,  $p$  ( $\text{N/m}^2$ ), pada setiap permukaan bangunan gedung.

Tabel 2.7 Faktor Arah Angin  $K_d$

| Tipe Struktur   | Faktor Arah Angin, $K_d$ |
|---|--------------------------|
| Bangunan Gedung<br>Sistem Penahan Beban Angin Utama<br>Komponen dan Klading Bangunan Gedung | 0,85<br>0,85             |
| Atap Lengkung   | 0,85                     |
| Cerobong Asap, Tangki, dan Struktur yang Sama<br>Segi Empat<br>Segi Enam<br>Bundar          | 0,90<br>0,95<br>0,95     |
| Dinding pejal berdiri bebas dan papan reklame pejal berdiri bebas dan papan reklame terikat | 0,85                     |
| Papan reklame terbuka dan kerangka isi  | 0,85                     |
| Rangka batang menara<br>Segi tiga, segi empat, persegi panjang<br>Penampang lainnya         | 0,85<br>0,95             |

Sumber : SNI 1727-2013, Badan Standarisasi Nasional (2013)

## 2.5 Menentukan Klasifikasi Situs

Menurut SNI 1726-2019 pasal 5.3 klasifikasi kelas situs dibagi menjadi 6 diantaranya SA, SB, SC, SD, SE dan SF. Kelas situs tersebut meliputi batuan keras batuan, tanah keras, sangat padat dan batuan lunak, tanah sedang, tanah lunak, dan tanah khusus yang membutuhkan investigasi geoteknik dan analisis respon spesifik. Kelas situs tersebut didefinisikan seperti pada Tabel 2.8.

Tabel 2.8 Klasifikasi Situs

| Kelas Situs                                     | $\bar{V}_s$ (m/detik)  | $\bar{N}$ atau $\bar{N}_{ch}$ | $\bar{S}_u$ (kPa) |
|---|--|-------------------------------|-------------------|
| SA (batuan keras)                               | > 1500   | N/A                           | N/A               |
| SB (butiran)                                    | 750 sampai 1500  | N/A                           | N/A               |
| SC (tanah keras, sangat padat dan batuan lunak) | 350 sampai 750   | > 50                          | $\geq 100$        |
| SD (tanah sedang)                               | 175 sampai 350   | 15 sampai 50                  | 50 sampai 100     |
| SE (tanah lunak)                                | < 175  | < 15                          | < 50              |
|   | Atau setiap profil tanah yang mengandung lebih dari 3 m tanah dengan karakteristik sebagai berikut : |                               |                   |

|   |   |
|---|---|
|   | <ol style="list-style-type: none"> <li>1. Indeks plastisitas, <math>PI &gt; 20</math>,</li> <li>2. Kadar air, <math>w \geq 40\%</math>,</li> <li>3. Kuat geser niralir <math>\bar{S}_u &lt; 25</math> kPa</li> </ol>  |
| SF (tanah khusus, yang membutuhkan investigasi geoteknik spesifik dan analisis respons spesifik-situs yang mengikuti 0) | <p>Setiap profil lapisan tanah yang memiliki salah satu atau lebih dari karakteristik berikut:</p> <ul style="list-style-type: none"> <li>- Rawan dan berpotensi gagal atau runtuh akibat beban gempa seperti mudah likuifikasi, lempung sangat sensitif, tanah tersementasi lemah</li> <li>- Lempung sangat organik dan/atau gambut (ketebalan <math>H &gt; 3</math> m)</li> <li>- Lempung berplastisitas sangat tinggi (ketebalan <math>H &gt; 7,5</math> m dengan indeks plastisitas <math>PI &gt; 75</math>)</li> </ul> <p>Lapisan lempung lunak/setengah teguh dengan ketebalan <math>H &gt; 35</math> m dengan <math>\bar{S}_u &lt; 50</math> kPa</p> |

Keterangan : N/A = tidak dapat dipakai

Sumber : SNI 1726-2019, Badan Standarisasi Nasional (2019)

## 2.6 Menentukan Koefisien Situs $F_a$ dan $F_v$

Untuk menentukan Koefisien Situs  $F_a$  dan  $F_v$  Menurut SNI 1726-2019 pasal 6.2 koefisien situs  $F_a$  (faktor amplifikasi terkait percepatan pada getaran perioda pendek) dan  $F_v$  (faktor amplifikasi terkait percepatan yang mewakili getaran perioda 1 detik) harus mengikuti Tabel 2.9 dan Tabel 2.10.

Tabel 2.9 Koefisien Situs,  $F_a$

| Kelas Situs | <b>Parameter respons spektral percepatan gempa maksimum yang dipertimbangkan risiko-tertarget (MCE<sub>R</sub>) terpetakan pada periode pendek, <math>T = 0,2</math> detik, <math>S_s</math></b> |             |              |             |              |             |
|-------------|--|-------------|--------------|-------------|--------------|-------------|
|             | $S_s \leq 0,25$  | $S_s = 0,5$ | $S_s = 0,75$ | $S_s = 1,0$ | $S_s = 1,25$ | $S_s = 1,5$ |
| SA          | 0,8  | 0,8         | 0,8          | 0,8         | 0,8          | 0,8         |
| SB          | 0,9  | 0,9         | 0,9          | 0,9         | 0,9          | 0,9         |
| SC          | 1,3  | 1,3         | 1,2          | 1,2         | 1,2          | 1,2         |
| SD          | 1,6  | 1,4         | 1,2          | 1,1         | 1,0          | 1,0         |
| SE          | 2,4  | 1,7         | 1,3          | 1,1         | 0,9          | 0,8         |
| SF          | SS <sup>(a)</sup>  |             |              |             |              |             |

CATATAN : SS = Situs yang memerlukan investigasi geoteknik spesifik dan analisis respons situs-spesifik

Sumber : SNI 1726-2019, Badan Standarisasi Nasional (2019)

Tabel 2.10 Koefisien Situs,  $F_v$

| Kelas Situs | <b>Parameter respons spectral percepatan gempa maksimum yang dipertimbangkan resiko tertarget (MCE<sub>R</sub>) terpetakan pada periode 1 detik, <math>S_1</math></b> |             |                |                |                |                |
|-------------|---|-------------|----------------|----------------|----------------|----------------|
|             | $S_1 \leq 0,1$  | $S_1 = 0,2$ | $S_1 \leq 0,3$ | $S_1 \leq 0,4$ | $S_1 \leq 0,5$ | $S_1 \leq 0,6$ |
| SA          | 0,8   | 0,8         | 0,8            | 0,8            | 0,8            | 0,8            |
| SB          | 0,8   | 0,8         | 0,8            | 0,8            | 0,8            | 0,8            |
| SC          | 1,5   | 1,5         | 1,5            | 1,5            | 1,5            | 1,4            |
| SD          | 2,4   | 2,2         | 2,0            | 1,9            | 1,8            | 1,7            |
| SE          | 4,2   | 3,3         | 2,8            | 2,4            | 2,2            | 2,0            |
| SF          | $SS^{(a)}$  |             |                |                |                |                |

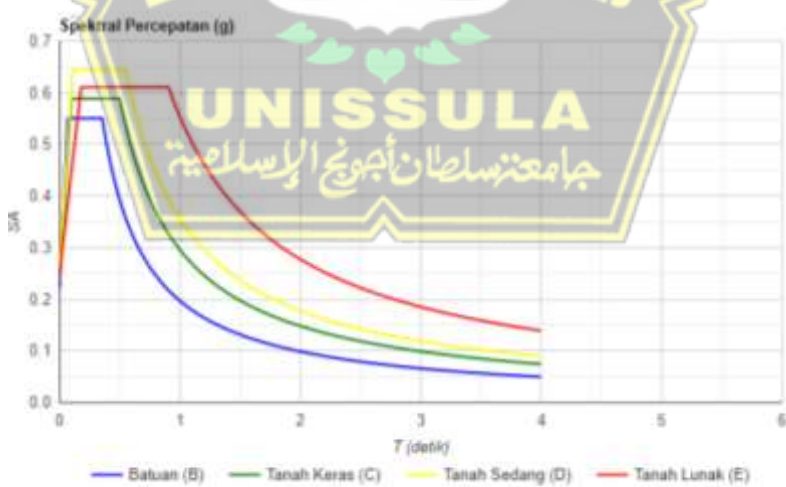
**CATATAN :** SS = Situs yang memerlukan investigasi geoteknik spesifik dan analisis respons situs-spesifik

Sumber : SNI 1726-2019, Badan Standarisasi Nasional (2019)

## 2.7 Menentukan Respon Spektra Desain

Nilai respon spektra didapat dari desain spektra Indonesia yang dapat diakses melalui website pusat penelitian dan pengembangan penelitian yaitu [puskim.pu.go.id](http://puskim.pu.go.id).

Dibawah ini dapat dilihat contoh respon desain yang didapat dari website pusat penelitian dan pengembangan penelitian.



Gambar 2.2 Respon Spektra Desain  
(sumber : [PusKIM.pu.go.id](http://PusKIM.pu.go.id))

Sementara untuk perhitungan manual, ada beberapa hal yang harus dihitung untuk mendapatkan kurva respon spektrum. Hal-hal tersebut adalah sebagai berikut:

Nilai  $T < T_0$ , maka nilai  $S_a$  adalah

Nilai  $T_0 \leq T \leq T_s$ , maka nilai  $S_a$  adalah

Nilai  $T_s \leq T \leq T_L$ , maka nilai  $S_a$  adalah

Nilai  $T_L < T$ , maka nilai  $S_a$  adalah

## 2.8 Menentukan Sistem Struktur dan Parameter Sistem

Sistem penahanan gaya gempa lateral dan vertikal harus memenuhi salah satu tipe yang ditunjukkan pada Tabel 2.11. Sistem pemikul gaya seismik yang berbeda diizinkan untuk digunakan menahan gaya seismik di masing-masing arah kedua sumbu ortogonal struktur. Bila sistem yang berbeda digunakan, masing-masing nilai  $R$ ,  $C_d$ , dan  $\Omega$  harus diterapkan pada setiap sistem, termasuk batasan sistem struktur yang termuat dalam Tabel 2.11.

Tabel 2.11 Faktor Koefisien Modifikasi Respon (R) untuk Sistem Penahan Gaya Gempa

| Sistem pemikul gaya seismik   | Koefisien modifikasi respons, $R^a$ | Faktor kuat lebih sistem, $\Omega_0^b$ | Faktor pembesaran defleksi, $C_d^c$ | Batasan sistem struktur dan batasan tinggi struktur, $h_a$ (m) <sup>d</sup> |    |                 |                 |                 |
|---|-------------------------------------|--|-------------------------------------|---|----|-----------------|-----------------|-----------------|
|   |                                     |  |                                     | Kategori desain seismik   |    |                 |                 |                 |
|   |                                     |  |                                     | B   | C  | D <sup>e</sup>  | E <sup>e</sup>  | F <sup>f</sup>  |
| 19.Dinding geser batu bata polos didetail   | 2                                   | 2½                                     | 2                                   | TB  | TI | TI              | TI              | TI              |
| 20.Dinding geser batu bata polos biasa  | 1½                                  | 2½                                     | 1½                                  | TB  | TI | TI              | TI              | TI              |
| 21.Dinding geser batu bata prategang  | 1½                                  | 2½                                     | 1½                                  | TB  | TI | TI              | TI              | TI              |
| 22.Dinding rangka ringan (kayu) yang dilapisi dengan panel struktur kayu yang dimaksudkan untuk tahanan geser   | 7                                   | 2½                                     | 4½                                  | TB  | TB | 22              | 22              | 22              |
| 23.Dinding rangka ringan (baja canai dingin) yang dilapisi dengan panel struktur kayu yang dimaksudkan untuk tahanan geser, atau dengan lembaran baja | 7                                   | 2½                                     | 4½                                  | TB  | TB | 22              | 22              | 22              |
| 24.Dinding rangka ringan dengan panel geser dari semua material lainnya   | 2½                                  | 2½                                     | 2½                                  | TB  | TB | 10              | TB              | TB              |
| 25.Rangka baja dengan bresing terkekang terhadap tekuk  | 8                                   | 2½                                     | 5                                   | TB  | TB | 48              | 48              | 30              |
| 26.Dinding geser pelat baja khusus  | 7                                   | 2                                      | 6                                   | TB  | TB | 48              | 48              | 30              |
| <b>C. Sistem rangka pemikul momen</b>   |                                     |  |                                     |   |    |                 |                 |                 |
| 1. Rangka baja pemikul momen khusus   | 8                                   | 3                                      | 5½                                  | TB  | TB | TB              | TB              | TB              |
| 2. Rangka batang baja pemikul momen khusus  | 7                                   | 3                                      | 5½                                  | TB  | TB | 48              | 30              | TI              |
| 3. Rangka baja pemikul momen menengah   | 4½                                  | 3                                      | 4                                   | TB  | TB | 10 <sup>k</sup> | TI <sup>k</sup> | TI <sup>k</sup> |
| 4. Rangka baja pemikul momen biasa  | 3½                                  | 3                                      | 3                                   | TB  | TB | TI'             | TI'             | TI'             |
| 5. Rangka beton bertulang pemikul momen khusus <sup>m</sup>   | 8                                   | 3                                      | 5½                                  | TB  | TB | TB              | TB              | TB              |
| 6. Rangka beton bertulang pemikul momen menengah  | 5                                   | 3                                      | 4½                                  | TB  | TB | TI              | TI              | TI              |
| 7. Rangka beton bertulang pemikul momen biasa   | 3                                   | 3                                      | 2½                                  | TB  | TI | TI              | TI              | TI              |
| 8. Rangka baja dan beton komposit pemikul momen khusus  | 8                                   | 3                                      | 5½                                  | TB  | TB | TB              | TB              | TB              |
| <b>D. Sistem ganda dengan rangka pemikul momen khusus yang mampu menahan paling sedikit 25 % gaya seismik yang ditetapkan</b>                         |                                     |  |                                     |   |    |                 |                 |                 |
| 1. Rangka baja dengan bresing eksentris   | 8                                   | 2½                                     | 4                                   | TB  | TB | TB              | TB              | TB              |
| 2. Rangka baja dengan bresing konsentris khusus   | 7                                   | 2½                                     | 5½                                  | TB  | TB | TB              | TB              | TB              |
| 3. Dinding geser beton bertulang khusus <sup>g,h</sup>  | 7                                   | 2½                                     | 5½                                  | TB  | TB | TB              | TB              | TB              |
| 4. Dinding geser beton bertulang biasa <sup>i</sup>   | 6                                   | 2½                                     | 5                                   | TB  | TB | TI              | TI              | TI              |
| 5. Rangka baja dan beton komposit dengan bresing eksentris  | 8                                   | 2½                                     | 4                                   | TB  | TB | TB              | TB              | TB              |
| 6. Rangka baja dan beton komposit dengan bresing konsentris khusus  | 6                                   | 2½                                     | 5                                   | TB  | TB | TB              | TB              | TB              |
| 7. Dinding geser pelat baja dan beton komposit  | 7½                                  | 2½                                     | 6                                   | TB  | TB | TB              | TB              | TB              |
| 8. Dinding geser baja dan beton komposit khusus   | 7                                   | 2½                                     | 6                                   | TB  | TB | TB              | TB              | TB              |
| 9. Dinding geser baja dan beton komposit biasa  | 6                                   | 2½                                     | 5                                   | TB  | TB | TI              | TI              | TI              |
| 10.Dinding geser batu bata bertulang khusus   | 5½                                  | 3                                      | 5                                   | TB  | TB | TB              | TB              | TB              |
| 11.Dinding geser batu bata bertulang menengah   | 4                                   | 3                                      | 3½                                  | TB  | TB | TI              | TI              | TI              |
| 12.Rangka baja dengan bresing terkekang terhadap tekuk  | 8                                   | 2½                                     | 5                                   | TB  | TB | TB              | TB              | TB              |
| 13.Dinding geser pelat baja khusus  | 8                                   | 2½                                     | 6½                                  | TB  | TB | TB              | TB              | TB              |

Sumber : SNI 1726-2019, Badan Standarisasi Nasional (2019)

## 2.9 Kombinasi Pembebanan

Ada tujuh kombinasi beban yang digunakan dalam metode desain kekuatan, dimana  $D$  (beban mati),  $L$  (beban hidup),  $L_r$  (beban hidup atap),  $S$  (beban salju),  $R$  (beban hujan),  $W$  (beban angin), dan  $E$  (beban gempa). Kombinasi pembebanan tersebut yaitu :

1.  $1,4D$
2.  $1,2D + 1,6L + 0,5$  ( $L_r$  atau  $S$  atau  $R$ )
3.  $1,2D + 1,6L$  ( $L_r$  atau  $S$  atau  $R$ ) + ( $L$  atau  $0,5W$ )
4.  $1,2D + 1,0W + L + 0,5$  ( $L_r$  atau  $S$  atau  $R$ )
5.  $1,2D + 1,0E + L + 0,2S$
6.  $0,9D + 1,0W$
7.  $0,9D + 1,0E$

Untuk kombinasi pembebanan nomor 5 dan 7 dengan beban gempa diatur oleh SNI 1726:2019 pasal 7.4, faktor dan kombinasi beban untuk beban mati nominal, beban hidup nominal, dan beban gempa nominal, yaitu sebagai berikut :

1.  $(1,2 + 0,2 S_{DS})D_L + 1L_L \pm 0,3 \rho Ex \pm 1 \rho Ey$
2.  $(1,2 + 0,2 S_{DS})D_L + 1L_L \pm 1 \rho Ex \pm 0,3 \rho Ey$
3.  $(0,9 + 0,2 S_{DS})D_L \pm 0,3 \rho Ex \pm 1 \rho Ey$
4.  $(0,9 + 0,2 S_{DS})D_L \pm 1 \rho Ex \pm 0,3 \rho Ey$

Keterangan :

$D_L$  = Beban mati

$L_L$  = Beban hidup

$L_r$  = Beban hidup atap

$R$  = Beban hujan

$W$  = Beban angin

$Ex$  = Beban gempa arah =  $x$

$Ey$  = Beban gempa arah =  $y$

$\rho$  = Faktor redundansi

$S_{DS}$  = Parameter percepatan spektrum respons desain pada periode pendek.

## 2.10 Kategori Desain Seismik

Untuk mendapatkan kategori desain seismik dapat dilakukan dengan 2 cara berdasarkan  $S_{DS}$  dan  $S_{D1}$ . Untuk mendapatkan  $S_{DS}$  dan  $S_{D1}$  ditentukan dan dipilih dengan kategori resiko yang paling besar. Semakin tinggi hasil huruf maka semakin resiko gempanya harus diperhitungkan.

Tabel 2.12 Kategori Desain Seismik Berdasarkan  $S_{DS}$

| Nilai $S_{DS}$             | Kategori risiko    |    |
|----------------------------|--------------------|----|
|                            | I atau II atau III | IV |
| $S_{DS} < 0,167$           | A                  | A  |
| $0,167 \leq S_{DS} < 0,33$ | B                  | C  |
| $0,33 \leq S_{DS} < 0,50$  | C                  | D  |
| $0,50 \leq S_{DS}$         | D                  | D  |

Sumber : SNI 1726 – 2019, Badan Standarisasi Nasional (2019)

Tabel 2.13 Kategori Desain Seismik Berdasarkan  $S_{D1}$

| Nilai $S_{D1}$              | Kategori risiko    |    |
|-----------------------------|--------------------|----|
|                             | I atau II atau III | IV |
| $S_{D1} < 0,067$            | A                  | A  |
| $0,067 \leq S_{D1} < 0,133$ | B                  | C  |
| $0,133 \leq S_{D1} < 0,20$  | C                  | D  |
| $0,20 \leq S_{D1}$          | D                  | D  |

Sumber : SNI 1726 – 2019, Badan Standarisasi Nasional (2019)

## 2.11 Waktu Getar Alami Struktur

Waktu getar alami struktur merupakan parameter penting yang harus didapatkan terutama untuk mendesain bangunan tahan gempa. Hasil periode getar tidak boleh melebihi hasil kali koefisien untuk periode yang dihitung dan nilai  $T_a$  ditentukan dari nilai empiris yang telah ditentukan.

Periode fundamental pendekatan ( $T_a$ ) harus ditentukan dengan persamaan berikut :

dengan,

*hn* = ketinggian bangunan dari lantai terbawah sampai lantai tertinggi (m)

*T* = Peride fundamental struktur

Nilai  $Cu$  dapat ditentukan melalui Tabel 2.14 dan nilai  $x$  dapat ditentukan dengan melihat Tabel 2.15.

Tabel 2.14 Kategori Desain Seismik Berdasarkan  $S_{D1}$

| Parameter percepatan respon spektra desain pada 1 detik, $S_{D1}$ | Koefisien Pembatas (Cu) |
|---|-------------------------|
| $\geq 0,4$  | 1,4                     |
| 0,3   | 1,4                     |
| 0,2   | 1,5                     |
| 0,15  | 1,6                     |
| $\leq 0,1$  | 1,7                     |

Sumber : SNI 1726 – 2019, Badan Standarisasi Nasional (2019)

Tabel 2.15 Nilai Parameter Periode Pendekatan  $C_t$  dan  $x$

| Tipe Struktur  | Ct     | x    |
|--|--------|------|
| Sistem rangka pemikul momen dimana rangka memikul 100 persen gaya gempa yang diisyaratkan dan tidak dilingkupi atau dihubungkan dengan komponen yang lebih kaku dan akan mencegah rangka dari defleksi jika dikenai gaya gempa |        |      |
| Rangka baja pemikul momen  | 0,0724 | 0,8  |
| Rangka beton pemikul momen   | 0,0466 | 0,9  |
| Rangka baja dengan bresing eksentris   | 0,0731 | 0,75 |
| Rangka baja dengan bresing terkekang terhadap tekuk  | 0,0731 | 0,75 |
| Semua sistem struktur lainnya  | 0,0488 | 0,75 |

Sumber : SNI 1726 – 2019, Badan Standarisasi Nasional (2019)

Jika periode alami struktur diperoleh dari hasil analisis menggunakan *software* ( $T_c$ ), maka periode getar alami struktur ( $T$ ) harus ditentukan dengan persamaan seperti dibawah :

$T_c < T_a$ , maka yang diambil adalah perhitungan manual yaitu  $T_a$ .

$T_a < T_c < Cu \times T_a$ , maka yang diambil adalah perhitungan *software* yaitu  $T_c$ .

$Cu \times Ta < T_c$ , maka yang diambil adalah perhitungan pendekatan yaitu  $Cu \times T_c$ .

## **2.12 Simpangan Antar Lantai**

Simpangan antar lantai perlu dihitung sehingga nantinya dapat diketahui perbedaan defleksi dari tingkat terbawah sampai teratas yang dapat dihitung dengan persamaan :

dengan :

$C_d$  = faktor pembesaran defleksi

$\delta e$  = defleksi pada lokasi lantai yang ditinjau yang diakibatkan gaya gempa lateral

$I_e$  = faktor keutanaan gedung



Gambar 2.3 Simpangan Antar Tingkat

(sumber : SNI 1726-2019)

Simpangan antar tingkat tidak boleh melebihi simpangan antar tingkat izin seperti yang tercantum dalam Tabel 2.16.

Tabel 2.16 Simpangan Antar Tingkat

| Struktur   | Kategori resiko |                |                |
|--|-----------------|----------------|----------------|
|  | I atau II       | III            | IV             |
| Struktur, selain dari struktur dinding geser batu bata, 4 tingkat atau kurang dengan dinding interior, partisi, langit-langit, dan sistem dinding eksterior yang telah didesain untuk mengakomodasi simpangan antar tingkat. | 0,025 $h_{sx}$  | 0,020 $h_{sx}$ | 0,015 $h_{sx}$ |
| Struktur dinding geser kantilever batu bata  | 0,010 $h_{sx}$  | 0,010 $h_{sx}$ | 0,010 $h_{sx}$ |
| Struktur dinding geser batu bata lainnya   | 0,007 $h_{sx}$  | 0,007 $h_{sx}$ | 0,007 $h_{sx}$ |
| Semua struktur lainnya   | 0,020 $h_{sx}$  | 0,015 $h_{sx}$ | 0,010 $h_{sx}$ |

Sumber : SNI 1726-2019, Badan Standardisasi Nasional (2019)

### 2.13 Gaya Geser Dasar Gempa

Sebelum menghitung gaya geser dasar gempa, terlebih dahulu harus mengetahui sistem struktur yang digunakan pada bangunan. Sistem struktur dapat ditentukan dari tabel faktor koefisien modifikasi respon ( $R$ ) untuk sistem penahanan gaya gempa.

Gaya geser gempa dapat dihitung dengan persamaan :

Besaran koefisien respon seismik ( $C_s$ ) dapat dihitung dengan cara :

$$C_s \equiv S_{DS} / (R/J_e) \quad (2.12)$$

Jika  $T \leq T_{L_1}$ , maka nilai  $C_S$  :

$$C_s \equiv S_{\text{DS}}/T(R/Ie) \quad (2.13)$$

Jika  $T \geq T_L$ , maka nilai  $C_S$ :

$$C_s \equiv S_{\text{DS}}(T)/T^2(R/Ie) \quad (2.14)$$

Dari semua nilai tersebut tidak boleh dari rumus berikut :

$$C_s \equiv 0.0445 S_{\text{DS}} / I_{\text{Fe}} \geq 0.01 \quad (2.15)$$

Bila  $S_1$  sama dengan atau lebih besar daripada  $0,6\text{ g}$  maka tidak boleh kurang dari rumus berikut :

$$C_s \equiv 0.5 S_1/(R/Ie) \quad (2.16)$$

Gaya geser dasar gempa ini kemudian didistribusikan ke semua lantai bangunan menjadi gempa lateral ( $F_x$ ) dengan rumus :

Dimana :

**Cvx** = faktor distribusi vertikal

$V$  = gaya lateral desain total atau geser di dasar struktur (kN).

$w_i$  dan  $w_x$  = bagian berat sesismik efektif total struktur ( $W$ ) yang ditempatkan atau dikenakan pada tingkat  $i$  atau  $x$ .

$h_i$  dan  $h_x$  = tinggi dari dasar sampai tingkat  $i$  atau  $x$  (m).

$k$  = eksponen yang terkait dengan periode struktur dengan nilai sebagai berikut :

untuk struktur dengan  $T \leq 0,5$  detik,  $k = 1$

untuk struktur dengan  $T \geq 2,5$  detik,  $k = 2$

untuk struktur dengan  $0,5 < T < 2,5$  detik,  $k = 2$  atau ditentukan dengan interpolasi linier antara 1 dan 2.

## 2.14 Pengaruh *P*-Delta

Pengaruh  $P$ -delta pada geser dan momen tingkat, gaya, dan momen elemen struktur yang dihasilkan dan simpangan antar lantai tingkat yang timbul oleh pengaruhnya tidak diisyaratkan untuk diperhitungkan apabila koefisien stabilitas ( $\theta$ ) menurut persamaan berikut ini sama dengan atau kurang dari 1,0 :

$$\theta = \frac{Px.\Delta.Ie}{Vx.hsx.Cd} \dots \quad (2.19)$$

dengan :

$\theta$  = koefisien stabilitas

$P_x$  = beban desain total

$\Delta$  = simpangan antar lantai tingkat desain

$I_e$  = faktor keutamaan gedung

$V_x$  = gaya geser seismik yang bekerja antara tingkat x dan x-1

$h_{sx}$  = tinggi tingkat

$C_d$  = faktor pembesaran defleksi

Koefisien stabilitas ( $\theta$ ) harus tidak melebihi  $\theta_{\max}$  yang ditentukan dengan rumus sebagai berikut :

dengan :

$\theta_{\max}$  = koefisien stabilitas maksimum

$\beta$  = rasio kebutuhan geser terhadap kapasitas geser untuk tingkat x dan x-1.

Rasio ini diijinkan secara konservatif diambil sebesar 1,0

$C_d$  = faktor pembesaran defleksi

Jika koefisien stabilitas ( $\theta$ ) lebih besar dari 0,10 maka *story drift design* dan *story shear design* harus dikalikan dengan faktor  $1,0/(1-\theta)$ .

Jika  $\theta$  lebih besar dari  $\theta_{\max}$ , struktur berpotensi tidak stabil dan harus didesain ulang.

## 2.15 Perencanaan Struktur Baja

### 2.15.1 Batang tekan

Suatu batang yang mengalami tekan dapat mengalami tekuk lokal dan tekuk global. Tekuk lokal adalah tekuk yang terjadi pada elemen penampang (sayap atau badan profil) akibat gaya tekan yang bekerja, sedangkan tekuk global adalah tekuk yang dialami batang secara memanjang atau longitudinal.

Jika elemen penampang cenderung langsing dengan panjang kolom yang pendek, maka batang tekan akan mengalami tekuk lokal. Namun, bila elemen penampang relatif tebal dengan panjang yang relatif panjang, maka batang tekan akan mengalami tekuk global.

Kekuatan tekan nominal,  $P_n$  suatu batang harus diambil dari nilai terendah yang diperoleh berdasarkan pada keadaan batas dari tekuk lentur, tekuk torsi dan tekuk torsi-lentur.

dengan :

*P<sub>u</sub>* = Gaya tekan aksial terfaktor (N)

$$\emptyset c = 0,90$$

Untuk perencanaan batang tekan klasifikasi non langsing, besarnya kuat tekan nominal,  $P_n$  harus ditentukan dengan persamaan :

$$P_{\text{p}} = F_{\text{cr}} A_{\text{g}} \dots \quad (2.22)$$

dimana :

$A_g$  = Luas bruto dari komponen struktur ( $\text{mm}^2$ )

$F_{\text{cr}} = \text{Tegangan kritis (MPa)}$

Nilai tegangan kritis ( $F_{cr}$ ) pada persamaan diatas ditentukan dengan batasan sebagai berikut :

$$\text{Jika } \frac{Lc}{r} > 4,71 \sqrt{\frac{E}{F_y}} \text{ (atau } \frac{F_y}{F_e} > 2,25 \text{ )}$$

$F_{cr} = 0,877 F_e$ .....(2.24)

Dengan tegangan tekuk kritis elastis.

Untuk menentukan rasio tebal terhadap lebar dan batasan rasio elemen langsing/non langsing dapat dilihat pada Tabel 2.17.

Tabel 2.17 Rasio Tebal Terhadap Lebar

| No | Deskripsi Elemen  | Rasio Lebar Tebal ( $\lambda$ ) | Batasan Rasio Lebar Terhadap Tebal $\lambda r$ (non langsing/langsing) |
|----|---|---------------------------------|--|
| 1. | Sayap dari profil I gilas panas, pelat yang diproyeksikan dari profil I gilas panas, kaki berdiri | $\frac{b}{t}$                   | $0,56 \sqrt{\frac{E}{F_y}}$  |

|    |  |               |   |
|----|--|---------------|---|
|    | bebas dari sepasang siku disambung dengan kontak menerus, sayap kanal, dan sayap T         |               |   |
| 2. | Sayap profil I tersusun dan pelat atau kaki siku yang diproyeksikan dari profil I tersusun | $\frac{b}{t}$ | $0,64 \sqrt{\frac{KcE}{Fy}}$<br>$Kc = 4\sqrt{h/tw}$<br>$0,35 \leq kc \leq 0,76$ |
| 3. | Kaki siku tunggal, kaki siku ganda dengan pemisah dan semua elemen tak diperkaku lainnya   | $\frac{b}{t}$ | $0,45 \sqrt{\frac{E}{Fy}}$  |
| 4. | Badan T  | $\frac{b}{t}$ | $0,75 \sqrt{\frac{E}{Fy}}$  |
| 5. | Badan profil I simetris ganda dan penampang profil I tersusun dan kanal                    | $\frac{b}{t}$ | $1,49 \sqrt{\frac{E}{Fy}}$  |
| 6. | Dinding PSR persegi panjang  | $\frac{b}{t}$ | $1,40 \sqrt{\frac{E}{Fy}}$  |
| 7. | Pelat penutup sayap dan pelat diafragma antara baris-baris pengencang atau las             | $\frac{b}{t}$ | $1,40 \sqrt{\frac{E}{Fy}}$  |
| 8. | Semua elemen diperkaku lainnya   | $\frac{b}{t}$ | $1,49 \sqrt{\frac{E}{Fy}}$  |
| 9. | PSR bulat  | $\frac{D}{t}$ | $0,11 \frac{E}{Fy}$   |

Sumber : SNI 1729 – 2015, Badan Standarisasi Nasional (2015)

Nilai faktor panjang efektif atau panjang tekuk dipengaruhi oleh jenis tumpuan dan panjang batang elemen struktur yang mengalami gaya aksial tekan.

Tabel 2.18 Faktor Panjang Efektif atau Faktor Panjang Tekuk ( $K$ )

| Approximate Values of Effective Length Factor, K        |   |   |   |   |   |   |
|---|---|---|---|---|---|---|
| Bentuk tekuk kolom digambarkan dengan garis putus-putus |    |    |    |    |  |  |
| K teoritis  | 0.50  | 0.70  | 1.00  | 1.00  | 2.00  | 2.00  |
| K desain  | 0.65  | 0.80  | 1.20  | 1.00  | 2.10  | 2.00  |
| Jenis Tumpuan   | : Jepit<br><br> | : Rol<br><br> | : Sendi<br><br> | : Ujung Bebas<br><br> |   |   |

Sumber : AISC 2010

Atau juga dapat menggunakan nomogram dan dengan nilai *GA* dan *GB* ditentukan dengan rumus berikut :

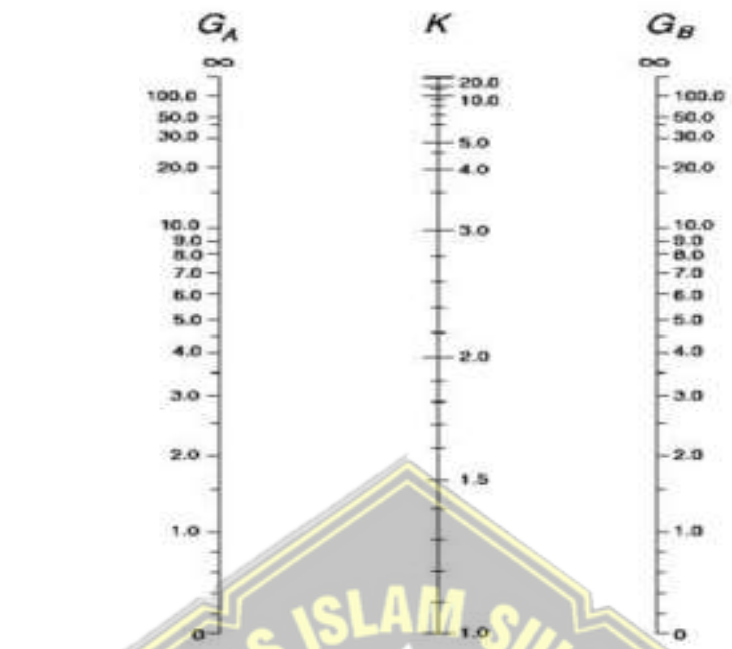
$$GA = \frac{\sum EI / L_{kolom}}{\sum EI / L_{balok}} \text{ (di ujung kolom atas)} \dots\dots\dots(2.26)$$

$$GB = \frac{\sum EI/L_{kolom}}{\sum EI/L_{balok}} \text{ (di ujung kolom bawah)} \dots\dots\dots(2.27)$$

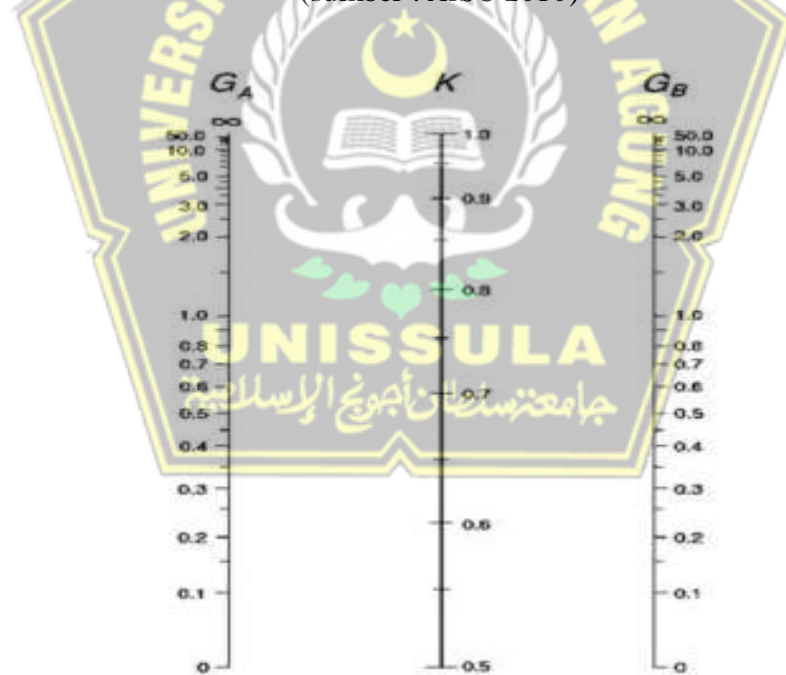
dimana :

$E$  = Modulus Elastisitas Baja

*I* = Momen Inersia Baja



Gambar 2.4 Nomogram Penentuan  $K$  pada komponen Struktur Bergoyang  
(sumber : AISC 2010)



Gambar 2.5 Nomogram Penentuan  $K$  pada komponen Struktur Tak Bergoyang  
(sumber : AISC 2010)

### 2.15.2 Batang lentur

Batang lentur adalah elemen struktur yang memikul beban tegak lurus dengan sumbu memanjang (longitudinal). Perilaku elemen lentur didominasi oleh momen lentur dan gaya geser, yang besarannya tergantung dengan kondisi perletakan (*boundary condition*) pada ujung elemen tersebut. Pada struktur baja, profil tipe *WF* biasanya dipilih dalam perencanaan batang lentur karena mempunyai nilai ekonomis yang tinggi jika dibandingkan dengan jenis profil yang lain.

Balok biasa dan balok tinggi mempunyai perilaku yang berbeda dalam menahan beban yang terjadi akibat adanya perbedaan rasio bentang terhadap tingginya ( $L/h$ ), dimana pada balok biasa beban dialihkan dengan mekanisme lentur. Pada balok tinggi, beban dialihkan menjadi diagonal gaya tekan (*strut*) di sisi atas, dan gaya tarik (*tie*) di sisi bawah tanpa terjadinya efek lentur (Dewabroto, 2016).

Konsep perencanaan dari elemen lentur mengacu pada konsep *Load Resistance Factor Design* (LRFD), dinyatakan sebagai berikut :

dimana :

$\phi$  = Faktor reduksi untuk lentur = 0,90

$M_n$  = Kuat lentur nominal balok

$M_u$  = Gaya dalam ultima (momen)

$M_n$  diambil berdasarkan nilai dari tegangan leleh minimum yang disyaratkan  $F_y$  (Ksi atau MPa) yang dikalikan dengan modulus penampang plastis terhadap sumbu X, Z, ( $\text{in}^3$  atau  $\text{mm}^3$ ).

Dalam perhitungan tahanan momen nominal dibedakan antara penampang kompak, dan tidak kompak, dan langsing seperti halnya pada batang tekan. Batasan kompak, tidak kompak, dan langsing pada badan (*web*) dapat dilihat pada Tabel 2.19.

Tabel 2.19 Klasifikasi Elemen yang Memikul Lentur

| No  | Elemen  | Rasio Lebar-Tebal | $\lambda_p$<br>(kompak/nonkompak)  | $\lambda_r$<br>(nonkompak/langsing) |
|-----|---|-------------------|--|-------------------------------------|
| 1.  | Sayap profil gilas I-WF, kanal, dan Tee                     | $b/t$             | $0,38 \sqrt{\frac{E}{Fy}}$   | $1,0 \sqrt{\frac{E}{Fy}}$           |
| 2.  | Sayap profil tersusun I-WF simetri ganda dan tunggal        | $b/t$             | $0,38 \sqrt{\frac{E}{Fy}}$   | $0,95 \sqrt{\frac{KcE}{FL}}$        |
| 3.  | Lengan profil siku tunggal                                  | $b/t$             | $0,54 \sqrt{\frac{E}{Fy}}$   | $0,91 \sqrt{\frac{E}{Fy}}$          |
| 4.  | Sayap profil I-WF dan kanal pada lentur pada sumbu lemah    | $b/t$             | $0,38 \sqrt{\frac{E}{Fy}}$   | $1,0 \sqrt{\frac{E}{Fy}}$           |
| 5.  | Lengan profil Tee   | $d/t$             | $0,84 \sqrt{\frac{E}{Fy}}$   | $1,52 \sqrt{\frac{E}{Fy}}$          |
| 6.  | Badan profil I simetris ganda dan kanal                     | $h/tw$            | $3,76 \sqrt{\frac{E}{Fy}}$   | $5,70 \sqrt{\frac{E}{Fy}}$          |
| 7.  | Badan dari I simetris tunggal                               | $hc/tw$           | $\frac{hc}{hp} \sqrt{\frac{E}{Fy}} / (0,54 \frac{Mp}{My} - 0,09)^2 \leq \lambda_r$ | $5,70 \sqrt{\frac{E}{Fy}}$          |
| 8.  | Sayap PSR persegi panjang                                   | $b/t$             | $1,12 \sqrt{\frac{E}{Fy}}$   | $1,4 \sqrt{\frac{E}{Fy}}$           |
| 9.  | Sayap pelat penutup dan pelat diafragma antara alat sambung | $b/t$             | $1,12 \sqrt{\frac{E}{Fy}}$   | $1,4 \sqrt{\frac{E}{Fy}}$           |
| 10. | Badan PSR persegi   | $h/t$             | $2,42 \sqrt{\frac{E}{Fy}}$   | $5,70 \sqrt{\frac{E}{Fy}}$          |

|     |                           |       |                             |                             |
|-----|---------------------------|-------|-----------------------------|-----------------------------|
|     | panjang dan boks          |       |                             |                             |
| 11. | Pipa (PSR bundar)         | $D/t$ | $0,07 \frac{E}{F_y}$        | $0,31 \frac{E}{F_y}$        |
| 12. | Sayap dari penampang boks | $b/t$ | $1,12 \sqrt{\frac{E}{F_y}}$ | $1,49 \sqrt{\frac{E}{F_y}}$ |

---

Sumber : AISC-2016

Terkait kekuatan geser dari elemen lentur yang memiliki sumbu simetris tunggal atau ganda serta profil kanal, perencanaan kekuatan geser dapat dihitung dengan rumus :

dimana :

$V_n$  = Kekuatan geser nominal ( $N$ ).

$A_w$  = Luasan badan profil ( $\text{mm}^2$ ).

$C_v$  = Koefisien geser badan

Untuk memperoleh nilai geser nominal ( $V_n$ ), analisa geser dibagi menjadi 2 kondisi sesuai dengan keadaan penampang yang dimana nilai  $C_v$  akan berbeda-beda, antara lain :

- a. Untuk kondisi dimana bagian badan (*Web*) profil WF (*Hot-rolled*) :

**UNISSULA**

Maka berlaku ketentuan :

$\emptyset \equiv 1,00$  dan  $C_v \equiv 1,00$

- b. Untuk badan dari semua profil simetris ganda dan profil simetris tunggal serta kanal lainnya, ditentukan sebagai berikut :

Bila  $\frac{h}{tw} \leq 1,10 \sqrt{\frac{Kv \times E}{fy}}$ ; maka nilai

Bila  $1,10 \sqrt{\frac{Kv \times E}{fy}} \leq \frac{h}{tw} \leq 1,37 \sqrt{\frac{Kv \times E}{fy}}$ ; maka nilai

$$C_v = \frac{1,10\sqrt{KvE/fy}}{h/tw} \dots \dots \dots (2.32)$$

Bila  $\frac{h}{tw} \leq 1,37 \sqrt{\frac{Kv \times E}{fy}}$ ; maka nilai

$$C_v = \frac{1.5 \times Kv \times E}{\left(\frac{h}{t_w}\right)^2 \times fy} \dots \dots \dots (2.33)$$

dimana :

*h* = Jarak bersih antara sayap dikurangi jari-jari sudut/las sudut (mm)

$t_w$  = Ketebalan badan (mm)

Untuk memperoleh koefisien tekuk geser pengaku transversal pelat badan,  $K_v$ , didalam SNI 1729-2015 mengatur sebagai berikut :

- Untuk badan tanpa pengaku tranversal dan dengan  $\frac{h}{tw} \leq 260$ , maka :

- Untuk badan dengan pengaku transversal :

$$K_v = 5 ; \text{ bila } a/h > 3,0 \text{ atau } a/h > \left[ \frac{260}{h} \right]^2$$

dimana  $a$  adalah jarak bersih antara pengaku transversal (mm).

### 2.15.3 Tekuk torsi lateral / *Lateral Torsion Buckling* (LTB)

Dalam analisa LTB, jarak antara pengaku lateral yang direncanakan pada balok sangat berperan penting. Dengan kata lain, banyaknya pengaku lateral sangat mempengaruhi perilaku balok saat mengalami *lateral torsion buckling*. Analisa LTB dibagi dalam beberapa kategori berdasarkan jarak  $L_b$ .

1. Bila  $L_b < L_p$ , maka momen nominalnya adalah sama dengan momen plastis penampang yaitu :

Dimana :  $M_p$  = Momen plastis ( $kN.m$ )

$S_x$  = Modulus penampang kondisi elastis pada sumbu x

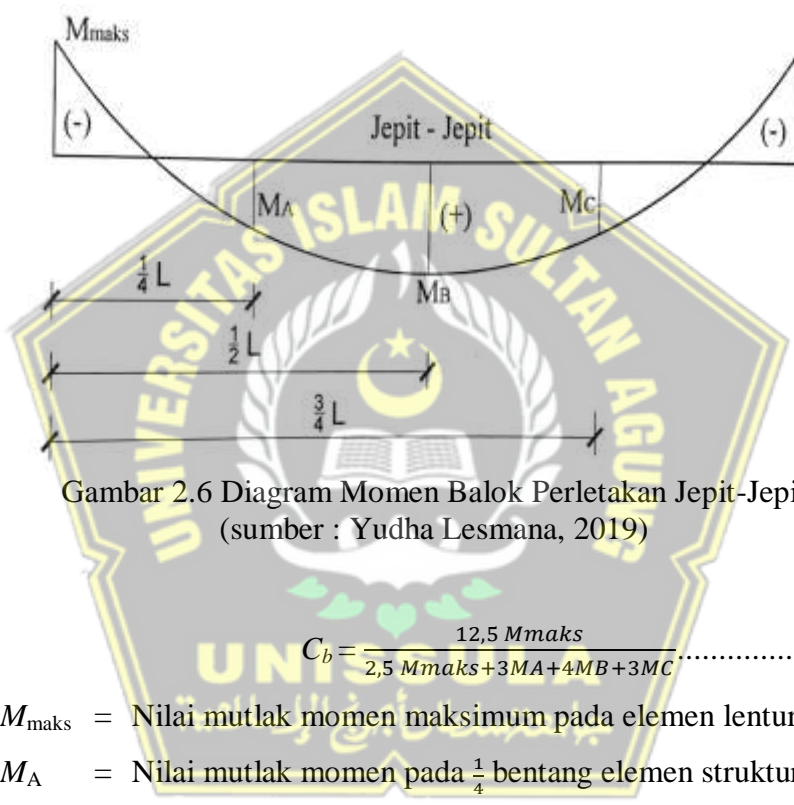
$Z_x$  = Modulus penampang kondisi plastis pada sumbu x

2. Bila  $L_p < L_b < L_r$ , maka momen nominalnya harus dihitung dengan persamaan dibawah ini :

$$M_n = C_b [M_p - (M_p - 0.7f_y S_x) \left( \frac{Lb - Lp}{Lr - Lp} \right)] \leq M_p \quad \dots \dots \dots (2.37)$$

Untuk memperoleh nilai momen pada persamaan diatas, perlu dilakukan perhitungan parameter pendukung, antara lain :

- Parameter  $C_b$  : Faktor modifikasi tekuk torsional untuk diagram momen, seperti terlihat pada gambar



Gambar 2.6 Diagram Momen Balok Perletakan Jepit-Jepit  
 (sumber : Yudha Lesmana, 2019)

- Parameter  $L_p$  : Panjang bentang maksimum untuk balok yang mampu menerima momen plastis

- Parameter  $L_r$  : Panjang bentang minimum untuk balok yang kekuatannya mulai ditentukan oleh momen kritis tekuk torsional

$$L_r = 1,95 \times r_{ts} \times \frac{E}{0,7f} \sqrt{\frac{J \times C}{Sx \times h_0}} + \sqrt{\left(\frac{J \times C}{Sx \times h_0}\right)^2 + 6,76 \left(\frac{0,7 f_y}{E}\right)^2}. \quad (2.40)$$

## 2.16 Sambungan Baut

### 2.16.1 Ukuran dan lubang baut

Terdapat beberapa jenis baut yang umum digunakan sebagai alat sambung pada konstruksi baja, yaitu :

1. *Unfinished bolts* atau biasanya disebut *ordinary bolts* atau *common bolts*. Bila mengacu pada ASTM dan SNI 1729-2015, baut jenis ini disebut baut A307. Pada umumnya jenis baut ini digunakan pada struktur ringan (*light structure*) atau pada elemen struktur sekunder. Hal ini dikarenakan kekuatan baut A307 lebih kecil dibandingkan baut mutu tinggi.
2. *High strength bolts* merupakan baut bermutu tinggi yang memiliki kekuatan tarik 2 kali atau lebih dari *unfinished bolts*. Penggunaan baut jenis ini biasa digunakan mulai dari struktur kecil hingga gedung pencakar langit dan juga *monumental bridges*.

Adapun jenis-jenis baut beserta nilai kuat nominalnya dapat dilihat pada Tabel 2.20, Tabel 2.21 dan Tabel 2.22.

Tabel 2.20 Kuat Nominal baut

| Deskripsi Pengencang | Kekuatan Tarik Nominal, $F_{nt}$ , ksi (MPa) | Kekuatan Geser Nominal, $F_{nv}$ , ksi (MPa) |
|----------------------|--|--|
| Baut A307            | 45 (310)                                     | 27 (186)                                     |
| Baut A325            | 90 (620)                                     | 54 (372)                                     |
| Baut A325            | 90 (620)                                     | 68 (469)                                     |
| Baut A490            | 113 (780)                                    | 68 (469)                                     |
| Baut A490            | 113 (780)                                    | 84 (579)                                     |

Sumber : SNI 1729-2015, Badan Standarisasi Nasional (2015)

Tabel 2.21 Ukuran Diameter Baut (mm) dan Gaya Tarik Minimum ( $kN$ )

| Diameter Baut (mm) | Kelompok A<br>(misal, Baut A325) | Kelompok B<br>(Misal, Baut A490) |
|--------------------|----------------------------------|----------------------------------|
| 16                 | 91                               | 114                              |
| 20                 | 142                              | 179                              |
| 22                 | 176                              | 221                              |
| 24                 | 205                              | 257                              |
| 27                 | 267                              | 334                              |
| 30                 | 326                              | 408                              |
| 36                 | 475                              | 595                              |

Sumber : SNI 1729-2015, Badan Standarisasi Nasional (2015)

Tabel 2.22 Dimensi Lubang Nominal (mm)

| Diameter baut | Dimensi Lubang     |                              |                       |                                |
|---------------|--------------------|------------------------------|-----------------------|--------------------------------|
|               | Standar (Diameter) | Ukuran Berlebihan (Diameter) | Standar (Diameter)    | Slot Panjang (Lebar x Panjang) |
| 16            | 18                 | 20                           | 18 x 22               | 18 x 40                        |
| 20            | 22                 | 24                           | 22 x 26               | 22 x 50                        |
| 22            | 24                 | 28                           | 24 x 30               | 24 x 55                        |
| 24            | 27                 | 30                           | 27 x 32               | 27 x 60                        |
| 27            | 30                 | 35                           | 30 x 37               | 30 x 67                        |
| 30            | 33                 | 38                           | 33 x 40               | 33 x 75                        |
| $\geq 36$     | $d+3$              | $d+3$                        | $(d+3) \times (d+10)$ | $(d+3) \times 2,5d$            |

Sumber : SNI 1729-2015, Badan Standarisasi Nasional (2015)

Dalam pemasangan sambungan baut yang tidak kalah penting yaitu jarak antar baut dan jarak baut ke sisi tepi profil. Jarak minimum baut ke tepi dibutuhkan agar jarak baut tidak terlalu dekat dengan bagian tepi sehingga bisa menimbulkan sobek pada profil baja.

Tabel 2.23 Jarak Tepi Minimum Baut (mm)

| Diameter Baut (mm) | Jarak Tepi Minimum |
|--------------------|--------------------|
| 16                 | 22                 |
| 20                 | 26                 |
| 22                 | 28                 |
| 24                 | 30                 |
| 27                 | 34                 |
| 30                 | 38                 |
| 36                 | 46                 |
| >36                | $1,25d$            |

Sumber : SNI 1729-2015, Badan Standarisasi Nasional (2015)

Untuk jarak spasi maksimum baut dari bagian tepi harus 12 kali ketebalan dari bagian yang disambung, namun tidak boleh melebihi 150 mm. Sedangkan jarak maksimum antar baut dibagi menjadi dua bagian :

- Untuk komponen struktur yang dicat atau yang tidak dicat yang tidak menahan korosi, maka spasi tidak boleh melebihi 24 kali ketebalan dari bagian tertipis atau 305 mm.
  - Untuk komponen struktur tidak dicat dari baja yang berhubungan dengan cuaca yang menahan korosi atmospheric, spasi tidak boleh melebihi 14 kali ketebalan tertipis atau 180 mm.

### 2.16.2 Kekuatan baut

Berdasarkan SNI 1729-2015, suatu baut yang memikul gaya terfaktor harus memenuhi syarat berikut :

dimana :

$R_u$  = Gaya terfaktor yang terjadi pada baut (N).

$R_n$  = Kekuatan nominal baut.

$\emptyset$  = Faktor ketahanan baut, berbeda untuk setiap kasus.

Terdapat beberapa jenis kekuatan nominal baut, tergantung pada jenis gaya yang bekerja (geser dan tarik) dan tipe sambungan (tipe tumpu dan slip kritis).

### 2.16.3 Kekuatan geser baut

Kekuatan nominal satu buah baut yang memikul gaya geser memenuhi persamaan :

dimana :

$R_n$  = Kekuatan nominal baut (N).

$F_{nv}$  = Tegangan geser nominal baut (MPa).

$A_b$  = Luas bruto penampang baut ( $\text{mm}^2$ ).

$\emptyset$  = Faktor ketahanan baut, besarnya 0,75.

#### 2.16.4 Kekuatan tarik baut

Baut yang memikul gaya tarik kekuatan nominalnya dihitung dengan rumus :

dimana :

$R_n$  = Kekuatan nominal baut (N).

$F_{nt}$  = Tegangan geser nominal baut (MPa).

$A_b$  = Luas bruto penampang baut ( $\text{mm}^2$ ).

### **2.16.5 Kekuatan tumpu dan sobek lubang baut**

Tahanan tumpu nominal tergantung pada kondisi terlemah dari baut atau komponen pelat yang disambung. Kekuatan sambungan yang tersedia harus ditentukan terhadap kekuatan batas tumpu dan sobek.

- a. Untuk baut pada sambungan dengan lubang standar, ukuran berlebih dan slot pendek, tidak tegantung dari arah beban.

- Tumpu

Apabila deformasi di lubang baut pada beban layan adalah suatu perhitungan desain.

Apabila deformasi di lubang baut pada beban layan adalah bukan suatu perhitungan desain.

- ## - Sobek

Apabila deformasi di lubang baut pada beban layan adalah suatu perhitungan desain.

Apabila deformasi di lubang baut pada beban layan adalah bukan suatu perhitungan desain.

- b. Untuk baut pada sambungan dengan lubang slot panjang, dan slot tersebut tegak lurus terhadap arah gaya.

- ## - Tumpu

- ## - Sobek

dimana :

$E_{\min}$  = Kuat tarik minimum dari profil yang disambung (MPa)

*d* = Diameter baut nominal (mm)

$l_c$  = Jarak bersih antar tepi lubang/ tepi profil yang searah gaya

$T$  = Ketebalan dari material yang disambung (mm)

#### 2.16.6 Baut kekuatan tinggi dalam sambungan slip kritis

Jika baut-baut slip kritis melewati pengisi, semua permukaan yang menahan slip harus dipersiapkan untuk mencapai ketahanan slip desain. Ketahanan slip yang tersedia untuk keadaan batas dari slip harus ditentukan sebagai berikut :

$$R_n \equiv \mu \times D_u \times h_f \times T_b \times n_s \quad \dots \dots \dots \quad (2.50)$$

Syarat :  $\emptyset \times R_n \geq R_{11}$

dimana :

$\mu$  = Koefisien slip rata-rata untuk permukaan sambungan (0,3 untuk kelas A dan 0,5 untuk kelas B).

$D_u$  = 1,13, rasio rata-rata pratarik baut terhadap pratarik min yang disyaratkan.

$T_b$  = Gaya tarik minimum alat penyambung.

$T_u$  = Gaya tarik dari beban rencana ( $kN$ ).

$h_f$  = Faktor pengisi sebesar 1,0 untuk satu pengisi antara bagian yang disambung dan 0,85 untuk dua atau lebih pengisi antara bagian yang disambung.

$n_s$  = Jumlah bidang yang slip yang diperlukan untuk mengizinkan sambungan dengan slip.

$n_b$  = Jumlah baut yang menahan gaya tarik.

$\phi$  = Faktor ketahanan baut 1,0 untuk lubang standar dan slot pendek yang tegak lurus terhadap arah beban. Nilai 0,85 untuk lubang ukuran *oversize* dan slot pendek yang searah gaya dan 0,7 untuk lubang slot panjang.

Dalam kasus khusus, bila tipe sambungan slip kritis menerima kombinasi gaya geser dan tarik, maka kuat nominal perlu dikalikan dengan faktor  $k_{sc}$  sebagai berikut :

$$k_{sc} = 1 - \frac{T_u}{D_u \times T_h \times h} \quad \dots \dots \dots \quad (2.51)$$

dengan :

$T_u$  = Gaya tarik yang diperlukan menggunakan kombinasi beban (kN)

$n_b$  = Jumlah baut yang menahan gaya tarik yang bekerja

## 2.17 Sambungan Las

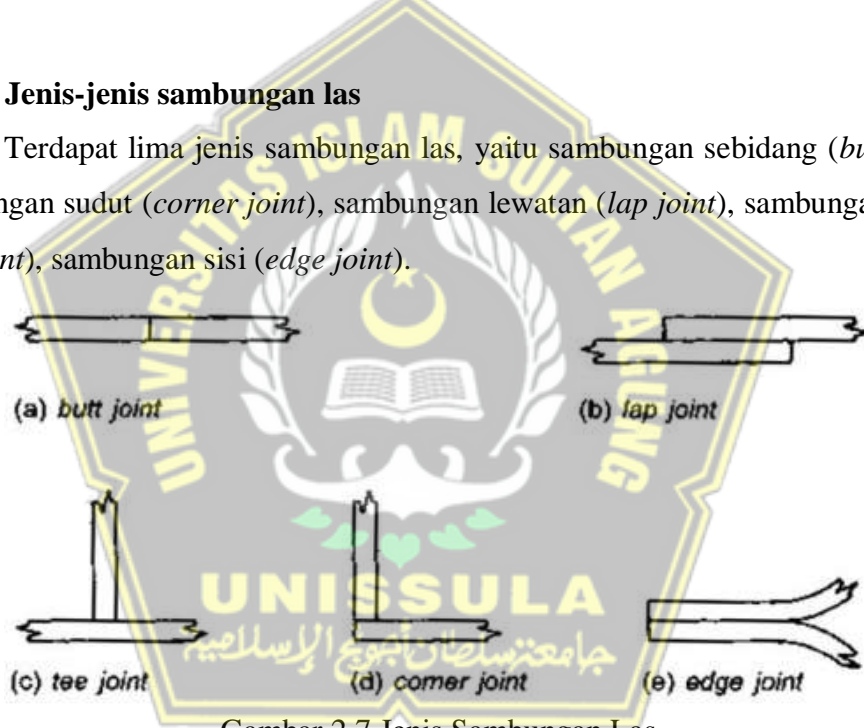
Las adalah proses penyambungan (logam/ non logam) dengan membuat bagian yang disambung melebur menjadi satu kesatuan. Meskipun saat ini sudah banyak las modern yang telah tersedia, namun perkembangan penggunaan las relatif lebih lambat dikarenakan adanya perspektif negatif yang berkembang jika

menggunakan las dapat mengurangi kekuatan *fatigue* dari material baja dibandingkan paku keling (*riveted*) dan baut (*bolt*).

Namun dengan berkembangnya jaman dan juga dengan banyaknya penelitian pada sambungan las kekhawatiran terkait *fatigue* tidak perlu dikhawatirkan lagi karena sambungan las memiliki kekuatan *fatigue* yang baik. Perubahan kondisi ini tentunya dengan ketentuan-ketentuan yang harus dipenuhi oleh pelaksana di lapangan yang harus berdasarkan AWS (*American Welding Society*), antara lain tukang las yang memiliki *skill* (bersertifikat), teknik pengelasan yang baik dan proses penggerjaan yang bagus.

### 2.17.1 Jenis-jenis sambungan las

Terdapat lima jenis sambungan las, yaitu sambungan sebidang (*butt joint*), sambungan sudut (*corner joint*), sambungan lewatan (*lap joint*), sambungan tegak (*tee joint*), sambungan sisi (*edge joint*).



Gambar 2.7 Jenis Sambungan Las

(sumber : Patel, 2018)

### 2.17.2 Las tumpul (*Groove Welds*)

Las Tumpul (*groove welds*) dipakai untuk menyambung batang-batang sebidang. Karena las ini harus menyalurkan secara penuh beban yang bekerja, maka las ini harus memiliki kekuatan yang sama dengan batang yang disambungnya. Las tumpul dimana terdapat penyatuhan antara las dan bahan induk sepanjang tebal penuh sambungan dinamakan las tumpul penetrasi penuh.

Sedangkan bila tebal penetrasi lebih kecil dari pada tebal penuh sambungan, dinamakan las tumpul penetrasi sebagian.

Kuat las tumpul penetrasi penuh ditetapkan sebagai berikut:

- a. Bila sambungan dibebani dengan gaya Tarik atau gaya tekan aksial terhadap luas efektif, maka:

- b. Bila sambungan dibebani dengan gaya geser terhadap luas efektif, maka:

$$\emptyset \times R_{nw} = 0,90 \times t_e \times (0,6 \times f_y) \text{ (bahan dasar)} \dots (2.54)$$

Dengan  $f_y$  dan  $f_u$  adalah kuat leleh dan kuat tarik putus,

dimana:

$t_e$  = Tebal efektif las.

$R_{nw}$  = Tahanan nominal per satuan panjang las.

$\emptyset$  = Faktor reduksi (0,75).

### 2.17.3 Las sudut (*Fillet Welds*)

Las sudut merupakan jenis las yang paling sering digunakan di konstruksi dan di industri. Hal ini dikarenakan berdasarkan hasil tes dan penelitian, las sudut lebih kuat dalam memikul beban tarik dan tekan dibandingkan dengan beban geser.

Nilai tebal efektif las dapat diperoleh dengan cara :

- Las sudut sama kaki

- Las sudut tidak sama kaki

Tebal efektif ( $t_e$ ) ini akan digunakan untuk menghitung luasan las, yaitu dengan cara :

dimana :

$t_e$  = Tebal efektif las (mm)

*a* = Panjang kaki las (mm)

$A_{we}$  = Luasan efektif las (mm)

*L* = Panjang las (mm)

Ketebalan dari sambungan las sudut perlu diatur terkait ketebalan minimum yang diijinkan guna memastikan kekuatan sambungan yang direncanakan. Untuk ukuran minimum las sudut dapat dilihat pada Tabel 2.24.

Tabel 2.24 Ukuran minimum las sudut

| No | Ketebalan profil dari bagian paling tipis yang tersambung (mm) | Ukuran kaki (a) minimum las sudut (mm) |
|----|--|--|
| 1. | Sampai dengan 6 mm   | 3                                      |
| 2. | Lebih besar dari 6 mm s/d 13 mm                                | 5                                      |
| 3. | Lebih besar dari 13 mm s/d 19 mm                               | 6                                      |
| 4. | Lebih besar dari 19 mm   | 8                                      |

Sumber : SNI 1729-2015, Badan Standarisasi Nasional (2015)

Sedangkan untuk tebal maksimum las sudut juga diatur dalam SNI 1729-2015. Adapun penjelasannya yaitu :

- Bila tebal profil yang disambung kurang dari 6 mm maka :  $a \leq t_{\text{profil}}$
  - Bila tebal profil yang disambung sama dengan atau lebih dari 6 mm maka :  
$$a \leq (t_{\text{profil}} - 2 \text{ mm})$$

#### **2.17.4 Kuat rencana sambungan las sudut**

Nilai kekuatan nominal sambungan las harus diambil nilai terendah dari kuat nominal logam dasar (profil yang disambung) atau kuat nominal logam las. Adapun rumusnya sebagai berikut :

- Kuat nominal logam dasar (profil yang disambung)

$$R_n = F_{n\text{BM}} \times A_{\text{BM}} \dots \quad (2.59)$$

- Kuat nominal logam las (material las)

dimana :

$F_{nBM}$  = Tegangan nominal dari logam dasar (MPa).

$F_{nw}$  = Tegangan nominal dari logam las/ material las (MPa).

$A_{BM}$  = Luasan penampang logam dasar/profil yang disambung ( $\text{mm}^2$ )

$A_{we}$  = Luasan efektif las ( $\text{mm}^2$ )

Untuk las sudut sama kaki rumus kuat nominalnya adalah :

$$F_{nw} = 0,60 \times F_{EXX} \times (1,0 + 0,50 \sin^{1,5} \theta) \quad \dots\dots\dots(2.61)$$

dimana :

$F_{EXX}$  = Kekuatan klasifikasi logam pengisi dari las (MPa).

$\theta$  = Sudut pembebahan yang diukur dari sumbu longitudinal las (derajat)

Sedangkan bila tidak membentuk sudut maka nilai  $\theta = 0$ , dan persamaan menjadi :

$$F_{nw} = 0,60 \times F_{EXX} \dots\dots\dots(2.62)$$

$$R_n = 0,60 \times F_{EXX} \times A_{we} \dots\dots\dots(2.63)$$

Kemudian ada las sudut kombinasi las longitudinal dan transversal yang dimana sambungan las melibatkan las arah melintang dan arah memanjang dari arah gaya yang bekerja. Nilai kuat nominal las ini yaitu :

$$R_n = R_{nwl} + R_{nwt} \dots\dots\dots(2.64)$$

atau

$$R_n = 0,85R_{nwl} + 1,5R_{nwt} \dots\dots\dots(2.65)$$

dimana :

$R_{nwl}$  = Kuat nominal las dari las sudut yang dibebani secara longitudinal (searah gaya) (N).

$R_{nwt}$  = Kuat nominal dari las sudut yang dibebani secara transversal (tegak lurus gaya) (N).

## **BAB III**

### **METODOLOGI REDESAIN**

#### **3.1 Pengumpulan Data**

Data yang didapat melalui pihak-pihak yang bersangkutan secara langsung dengan proyek merupakan data utama yang digunakan untuk merencanakan struktur dalam penyusunan Tugas Akhir ini. Data tersebut adalah sebagai berikut :

1. Gambar struktur Gedung
2. Data gempa kota Semarang (*Software* Kementerian PU)

#### **3.2 Perencanaan dan Analisis Perhitungan Struktur**

Perencanaan dan analisis yang dilakukan hanya pada struktur atas bangunan yaitu kolom, balok, dan pelat lantai dengan memasukkan beban yang telah ditentukan dengan menggunakan peraturan yang berlaku di Indonesia. Tahapan pertama dalam analisis perhitungan struktur adalah menentukan standar atau acuan yang akan dipakai untuk merencanakan struktur bangunan tersebut. Acuan yang dipakai dalam penyusunan Laporan Tugas Akhir ini adalah sebagai berikut :

1. Standar yang dipakai
  - a. SNI 1727-2013 (Beban minimum untuk perancangan bangunan gedung dan struktur lain),
  - b. SNI 1729-2015 (Spesifikasi untuk bangunan gedung baja struktural),
  - c. SNI 1726-2019 (Tata cara perencanaan ketahanan gempa untuk struktur bangunan gedung dan non gedung).
2. Pengumpulan Data

Pengumpulan data baik berupa data primer dan data sekunder pada Gedung *Innovative Program Cluster* (IPC) Universitas Katolik Soegijapranata yang akan direncanakan. Data diperoleh melalui gambar *Shop Drawing* Gedung *Innovative Program Cluster* (IPC) Universitas Katolik Soegijapranata. Data gambar akan digunakan untuk membuat pemodelan pada *Software SAP 2000 v14*.

### 3. Keadaan dan Kondisi Tanah

Klasifikasi tanah bergantung pada kecepatan rata-rata gelombang geser dan kuat geser aliran tanah. Berdasarkan parameter tersebut tanah dapat dikategorikan dalam kategori A,B,C,D,E, dan F. Dikarenakan kami tidak memiliki data tanah pada lokasi tersebut, maka untuk data tanah pada lokasi Gedung *Innovative Program Cluster* (IPC) Universitas Katolik Soegijapranata kami asumsikan memiliki tipe tanah lunak (kategori E).

### 4. Pemodelan Struktur Gedung

Pemodelan struktur gedung dimodelkan berdasarkan peraturan atau acuan yang telah ditentukan. Pemodelan ini menggunakan bantuan *software SAP 2000 v14*.

### 5. Perhitungan Pembebanan Struktur

Perhitungan pembebanan struktur berupa beban mati struktur, beban mati tambahan, beban hidup, dan beban atap. Beban mati struktur dapat dihitung secara otomatis oleh *software* dengan cara memberi koefisien 1 pada beban. Perhitungan pembebanan untuk beban mati tambahan, beban hidup dan beban atap dibebankan pada struktur tanpa melibatkan berat sendiri struktur, perhitungan ini pembebanan ini ditentukan berdasarkan peraturan SNI 1727-2013.

### 6. Perencanaan Respon Spektrum

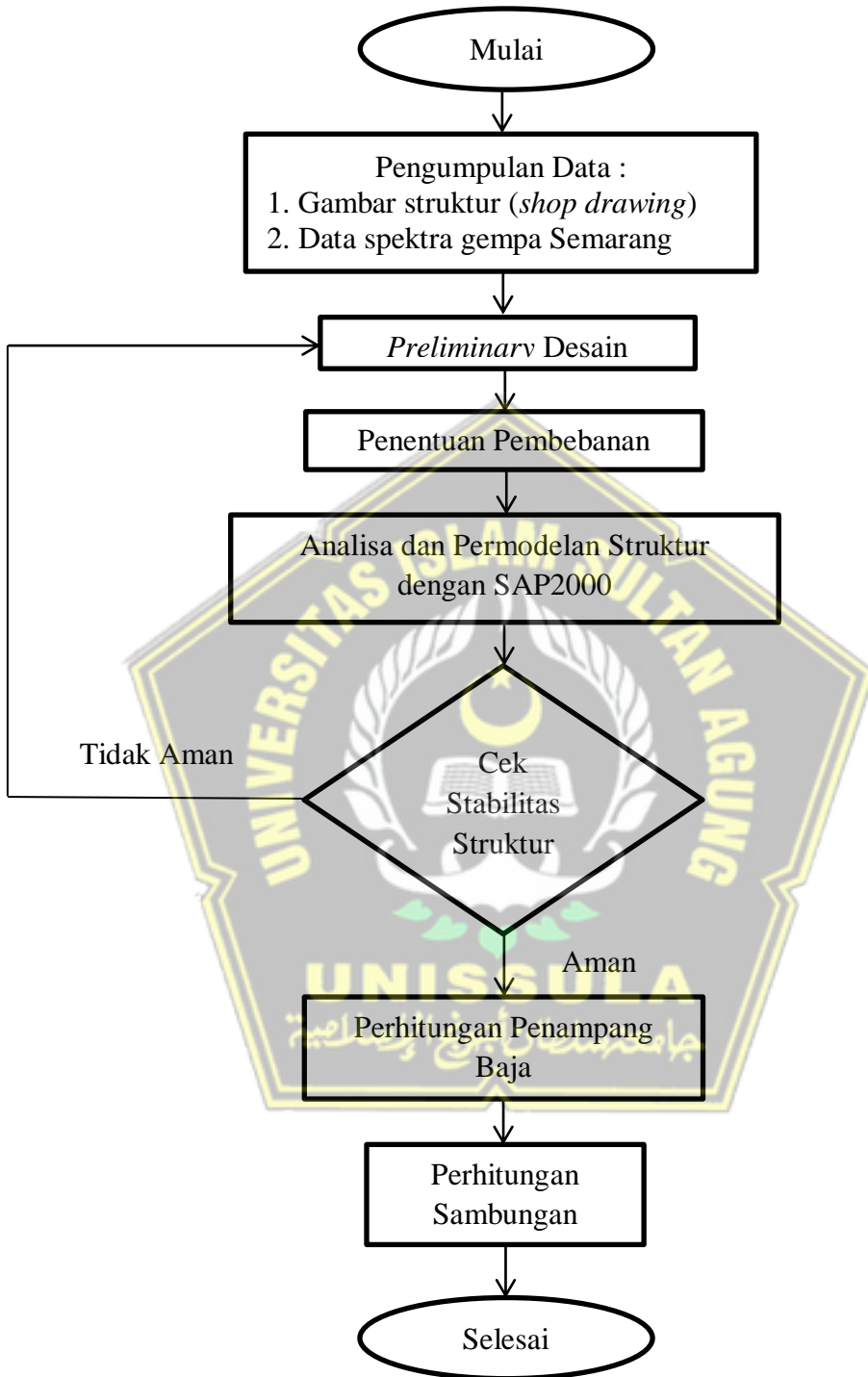
Perencanaan respon spektrum ini menggunakan *software* yang telah disediakan pada website Kementerian Pekerjaan Umum untuk mendapatkan keadaan tanah sesuai dengan wilayah yang telah direncanakan.

### 7. Desain Elemen-Elemen Struktur Atas

Elemen-elemen struktur atas ini berada diatas muka tanah yang terdiri dari balok, kolom, dan pelat lantai. Detail perhitungan elemen-elemen tersebut terdapat pada bab IV.

### 3.3 Diagram Alur

Bagan alur penyelesaian Tugas Akhir ini adalah sebagai berikut :



Gambar 3.1 Diagram Alur Penyelesaian Tugas Akhir

## BAB IV

### ANALISA DAN PERHITUNGAN

#### 4.1 Permodelan Struktur

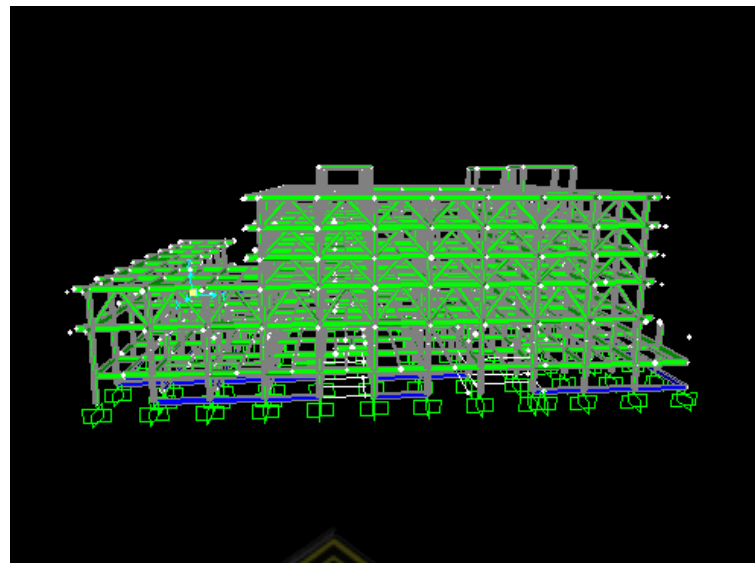
Struktur yang akan direncanakan merupakan bangunan gedung perkuliahan 5 lantai dengan tambahan 1 *basement*.

Pemodelan struktur gedung menggunakan program bantu SAP2000 v14. Pada program SAP2000, struktur gedung akan dimodelkan sesuai dengan kondisi sesungguhnya, sehingga akan membantu dalam perencanaan agar memenuhi persyaratan yang berada di SNI 1729-2015, SNI 1727-2013, dan SNI 1726-2019.

Berikut adalah hasil pemodelan yang dilakukan dalam program SAP2000 v14 :



Gambar 4.1 Gambar Permodelan 3D Tampak Depan Perspektif



Gambar 4.2 Gambar Permodelan 3D Tampak Samping Perspektif



Gambar 4.3 Gambar Permodelan 3D Tampak Belakang Perspektif

#### 4.2 Kombinasi Pembebanan Struktur

Perencanaan Gedung *Innovative Program Cluster* (IPC) Universitas Katolik Soegijapranata dengan tanah lunak ini direncanakan dengan beban kombinasi yang telah terdapat pada SNI 1726-2019 tentang kombinasi pembebanan dasar dan kombinasi pembebanan dengan pengaruh beban seismik adalah sebagai berikut :

1.  $1,4D$
2.  $1,2D + 1,6L + 0,5$  ( $L_r$  atau  $S$  atau  $R$ )
3.  $1,2D + 1,6L$  ( $L_r$  atau  $S$  atau  $R$ ) + ( $L$  atau  $0,5W$ )
4.  $1,2D + 1,0W + L + 0,5$  ( $L_r$  atau  $S$  atau  $R$ )
5.  $1,2D + 1,0E + L + 0,2S$
6.  $0,9D + 1,0W$
7.  $0,9D + 1,0E$

Pembebanan untuk beban mati pada bangunan ini terdiri dari beban struktur sendiri dan beban mati tambahan berupa berat *plafond*, *plumbing*, *mechanikal electrical*, dan beban lainnya.

Pembebanan untuk beban hidup pada struktur ini berbeda-beda tergantung pada fungsi ruang yang telah diberlakukan pada SNI 1727-2013 Beban desain minimum dan kriteria terkait untuk bangunan gedung dan struktur lain.

Pembebanan untuk beban mati dan beban hidup struktur bangunan ini adalah :

- |  |                         |
|--|-------------------------|
| 1. Beban hidup ruang kelas                   | = $4,79 \text{ kN/m}^2$ |
| 2. Beban hidup koridor lantai pertama        | = $4,79 \text{ kN/m}^2$ |
| 3. Beban hidup parkir                        | = $1,92 \text{ kN/m}^2$ |
| 4. Beban hidup koridor diatas lantai pertama | = $3,83 \text{ kN/m}^2$ |
| 5. Beban mati keramik dan spesi              | = $20 \text{ kg/m}^2$   |
| 6. Beban mati <i>plafond</i>                 | = $8,51 \text{ kg/m}^2$ |
| 7. Beban mati <i>plumbing</i>                | = $25 \text{ kg/m}^2$   |
| 8. Beban mati <i>mechanikal electrical</i>   | = $40 \text{ kg/m}^2$   |

### 4.3 Mutu Bahan Struktur

Bahan atau material yang dipakai untuk merencanakan pemodelan struktur ini yaitu jenis baja BJ-55 dan BJ-41, dimana baja BJ-55 memiliki tegangan putus minimum ( $f_u$ ) yaitu 550 MPa, tegangan leleh minimum ( $f_y$ ) sebesar 410 MPa, sedangkan baja BJ-41 memiliki tegangan putus minimum ( $f_u$ ) yaitu 410 MPa, tegangan leleh minimum ( $f_y$ ) sebesar 250 MPa.

## 4.4 Analisa Desain Seismik

Perencanaan pembebanan gempa pada struktur ini mengacu pada SNI 1726-2019 yang berisi tentang tata cara perencanaan ketahanan gempa untuk struktur gedung dan non gedung.

### 4.4.1 Kategori Resiko dan Faktor keutamaan Gempa

Bangunan gedung ini direncanakan sebagai gedung sekolah atau fasilitas pendidikan bagi mahasiswa. Dalam SNI 1726-2019 bangunan ini termasuk ke dalam bangunan dengan kategori resiko IV dengan nilai faktor keutamaan gempa ( $I_e$ ) sebesar 1,50.

### 4.4.2 Klasifikasi Situs

Klasifikasi situs telah diatur dalam SNI 1726-2019 pada pasal 5. Pada pasal tersebut terdapat 3 parameter untuk menentukan kelas situsnya yaitu kecepatan rata-rata gelombang geser ( $V_s$ ), tahanan penetrasi standar lapangan rata-rata ( $N$ ), dan kuat geser nilai rata-rata ( $S_u$ ). Gedung *Innovative Program Cluster* (IPC) Universitas Katolik Soegijapranata ini diasumsikan dengan kelas situs tanah lunak (SE).

### 4.4.3 Parameter Respon Spektral Gempa $S_s$ dan $S_1$

Parameter respon spektral gempa  $S_s$  dan  $S_1$  didapat dari *software* Peta Gempa dan Respon Spektra 2019 yang dikeluarkan oleh Pusat Studi Gempa Nasional (PUSGEN) dan PUSKIM PU. Cara kerja *software* ini yaitu dengan memasukan titik koordinat lokasi bangunan yang direncanakan kemudian *software* akan menghitung secara otomatis nilai parameter respon spektral.

Tabel 4.1 Data Parameter  $S_s$  dan  $S_1$

| Data Desain Spektrum Indonesia |        |
|--------------------------------|--------|
| Daerah Semarang (Tanah Lunak)  |        |
| $PGA$                          | 0,402  |
| $PGAm$                         | 0,561  |
| $C_{RS}$                       | 0,000  |
| $C_{R1}$                       | 0,000  |
| $S_s$                          | 0,907  |
| $S_1$                          | 0,387  |
| $TL$                           | 10,000 |

|       |       |
|-------|-------|
| $F_a$ | 1,174 |
| $F_v$ | 2,452 |

#### 4.4.4 Parameter Respon Spektral Gempa $S_{MS}$ dan $Sm_1$

Nilai respon spektral  $S_{MS}$  dan  $Sm_1$  ini terdapat pada *software* Peta Gempa dan Respon Spektra 2019 yang dikeluarkan oleh Pusat Studi Gempa Nasional (PUSGEN) dan PUSKIM PU. Nilai ini dapat dilihat pada Tabel 4.2

Tabel 4.2 Data Parameter  $S_{MS}$  dan  $Sm_1$

| Data Desain Spektrum Indonesia |       |
|--------------------------------|-------|
| Daerah Semarang (Tanah Lunak)  |       |
| $S_{MS}$                       | 1,065 |
| $Sm_1$                         | 0,949 |

#### 4.4.5 Parameter Respon Spektral Gempa $S_{DS}$ dan $S_{D1}$

Parameter respon spektral gempa  $S_{DS}$  dan  $S_{D1}$  didapat dari *software* Peta Gempa dan Respon Spektra 2019 yang dikeluarkan oleh Pusat Studi Gempa Nasional (PUSGEN) dan PUSKIM PU. Cara kerja *software* ini yaitu dengan memasukan titik koordinat lokasi bangunan yang direncanakan kemudian *software* akan menghitung secara otomatis nilai parameter respon spektral. Nilai parameter respon spektral dapat dilihat pada Tabel 4.3.

Tabel 4.3 Data Parameter  $S_{DS}$  dan  $S_{D1}$

| Data Desain Spektrum Indonesia |       |
|--------------------------------|-------|
| Daerah Semarang (Tanah Lunak)  |       |
| $S_{DS}$                       | 0,710 |
| $S_{D1}$                       | 0,633 |

#### 4.4.6 Respon Spektrum Gempa

Cara menentukan respon spektrum ini dapat dilakukan dengan 2 cara yaitu dengan menggunakan *software* yang telah disediakan oleh kementerian pekerjaan umum atau dengan cara perhitungan manual mulai dari perhitungan  $T_0$ ,  $T_S$ ,  $S_{DS}$ ,  $S_{D1}$ ,  $S_a$ , hingga periode panjang yang disesuaikan dengan SNI 1726-2019. Hasil perhitungan antara menggunakan *software* dan perhitungan manual tidak terlalu

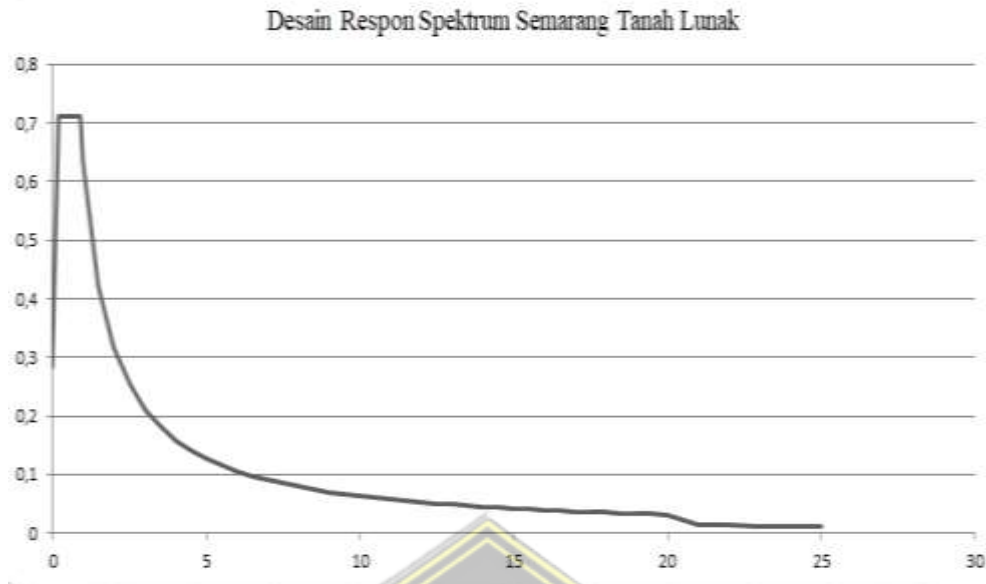
berbeda jauh sehingga tidak bermasalah dalam penginputan ke dalam aplikasi SAP 2000.

Perencanaan respon spektrum pada Gedung *Innovative Program Cluster* (IPC) Universitas Katolik Soegijapranata ini menggunakan perhitungan manual dengan bantuan *software* Microsoft Excel, untuk data perhitungan manual dapat dilihat pada tabel 4.4

Tabel 4.4 Perhitungan Manual Respon Spektrum

| $T$<br>(Detik) | $Sa$<br>(g) | $T$<br>(Detik) | $Sa$<br>(g) | $T$<br>(Detik) | $Sa$<br>(g) | $T$<br>(Detik) | $Sa$<br>(g) |
|----------------|-------------|----------------|-------------|----------------|-------------|----------------|-------------|
| 0              | 0,2841      | 5,5            | 0,1150      | 11,5           | 0,0550      | 17,5           | 0,0362      |
| 0,178          | 0,7103      | 6              | 0,1054      | 12             | 0,0527      | 18             | 0,0351      |
| 0,890          | 0,7103      | 6,5            | 0,0973      | 12,5           | 0,0506      | 18,5           | 0,0342      |
| 1              | 0,6327      | 7              | 0,0904      | 13             | 0,0487      | 19             | 0,0333      |
| 1,5            | 0,4218      | 7,5            | 0,0844      | 13,5           | 0,0469      | 19,5           | 0,0324      |
| 2              | 0,3163      | 8              | 0,0791      | 14             | 0,0452      | 20             | 0,0316      |
| 2,5            | 0,2531      | 8,5            | 0,0744      | 14,5           | 0,0436      | 21             | 0,0143      |
| 3              | 0,2109      | 9              | 0,0703      | 15             | 0,0422      | 22             | 0,0131      |
| 3,5            | 0,1808      | 9,5            | 0,0666      | 15,5           | 0,0408      | 23             | 0,012       |
| 4              | 0,1582      | 10             | 0,0633      | 16             | 0,0395      | 24             | 0,011       |
| 4,5            | 0,1406      | 10,5           | 0,0603      | 16,5           | 0,0383      | 25             | 0,0101      |
| 5              | 0,1265      | 11             | 0,0575      | 17             | 0,0372      |                |             |

Hubungan antara periode ( $T$ ) dengan respon percepatan gempa ( $Sa$ ) akan digambarkan dalam grafik yang dapat dilihat pada Gambar 4.4 dibawah ini.



Gambar 4.4 Grafik Perhitungan Manual Respon Spektrum Desain

#### 4.4.7 Kategori Desain Seismik

Pada tugas akhir ini, gedung perkuliahan direncanakan menggunakan sistem rangka baja dengan bresing konsentris khusus. Berdasarkan tabel 12 SNI 1726-2019 diperoleh nilai-nilai :

Tabel 4.5 Kategori Desain Seismik

| Sistem Pemikul Gaya Seismik                  | Koefisien Modifikasi Respons ( $R$ ) | Faktor Kuat Lebih Sistem ( $\Omega$ ) | Faktor Pembesaran Defleksi ( $C_d$ ) |
|--|--------------------------------------|---------------------------------------|--------------------------------------|
| Rangka Baja dengan Bresing Konsentris Khusus | 7                                    | 2,5                                   | 5,5                                  |

Dari Tabel 4.5 didapat nilai Koefisien Modifikasi Respons ( $R$ ) = 7, Faktor Kuat Lebih Sistem ( $\Omega$ ) = 2,5, dan Faktor Pembesaran Defleksi ( $C_d$ ) = 5,5.

#### 4.4.8 Faktor Keutamaan

Untuk berbagai kategori resiko struktur bangunan gedung dan non gedung pengaruh gempa rencana terhadapnya harus dikalikan dengan suatu faktor keutamaan  $I_e$ . Pada kasus ini gedung direncanakan sebagai gedung sekolah atau fasilitas pendidikan. Maka menurut SNI 1726-2019 bangunan termasuk kategori IV sehingga pada Tabel 2.6 diperoleh nilai  $I_e$  = 1,50.

#### 4.4.9 Analisa Waktu Getar dan Ragam Gerak Struktur

Analisa bangunan Gedung *Innovative Program Cluster* (IPC) Universitas Katolik Soegijapranata ini menggunakan 12 modal ragam getar dimana hal ini sudah mencukupi terhadap syarat dimana pola ragam pertama dan kedua harus bertranslasi arah orthogonal dan memiliki 90% dinamik. Dari Tabel 4.6 diketahui bahwa ragam gerak pertama bertranslasi arah X dengan waktu getar alami 0,751 detik, ragam gerak kedua bertranslasi arah Y dengan waktu getar alami 0,444 detik, dan ragam gerak ketiga bertranslasi rotasi dengan waktu getar alami 0,415. Untuk detail ragam gerak dan waktu getar alami struktur bisa dilihat pada Tabel 4.6.

Tabel 4.6 Ragam Gerak dan Waktu Getar Alami Struktur

| Mode | Periode<br>(detik) | UX (%) | UY (%) | RZ (%) |
|------|--------------------|--------|--------|--------|
| 1    | 0,751              | 51 %   | 0 %    | 0 %    |
| 2    | 0,444              | 0 %    | 50 %   | 0 %    |
| 3    | 0,415              | 0 %    | 5 %    | 0 %    |
| 4    | 0,252              | 0 %    | 0 %    | 0 %    |
| 5    | 0,240              | 0 %    | 0 %    | 0 %    |
| 6    | 0,239              | 4 %    | 0 %    | 0 %    |
| 7    | 0,239              | 2 %    | 0 %    | 0 %    |
| 8    | 0,226              | 0 %    | 0 %    | 0 %    |
| 9    | 0,208              | 0 %    | 0 %    | 0 %    |
| 10   | 0,186              | 0 %    | 0 %    | 0 %    |
| 11   | 0,181              | 0 %    | 0 %    | 0 %    |
| 12   | 0,172              | 0 %    | 0 %    | 0 %    |

#### 4.4.10 Cek Waktu Getar Alami Struktur

Nilai Kontrol waktu getar alami yang didapat dari Analisa program dibatasi dengan ketentuan sebagai berikut :

$T_c < T_a$ , maka yang diambil adalah perhitungan manual yaitu  $T_a$ .

$T_a < T_c < C_u \times T_a$ , maka boleh diambil perhitungan *software*  $T_c$  atau manual  $T_a$ .

$C_u \times T_a < T_c$ , maka yang diambil adalah perhitungan pendekatan yaitu  $C_u \times T_c$ .

Nilai control pendekatan  $T_a$  telah ditetapkan dimana tinggi bangunan ( $h_n$ ) adalah 25,2 m dan nilai  $C_t$  dan  $X$  ditentukan berdasarkan tabel 18 pada SNI 1726-2019. Sehingga dapat dihitung sebagai berikut :

$$C_t = 0,0488 \text{ (Semua Sistem Struktur Lainnya)}$$

$$X = 0,75 \text{ (Semua Sistem Struktur Lainnya)}$$

$$T_a = C_t \cdot H_n^X$$

$$= 0,0488 \cdot (25,2)^{0,75}$$

$$= 0,618 \text{ detik}$$

Dengan nilai  $S_{D1} = 0,633$ , maka nilai  $C_u = 1,4$

Sehingga periode struktur yang diijinkan adalah :

$$T = T_a \cdot C_u$$

$$= 0,618 \cdot 1,4$$

$$= 0,865 \text{ detik}$$

Tabel 4.7 Periode Struktur

| Output Case | Step Type | Step Num | Period (sec) |
|-------------|-----------|----------|--------------|
| MODAL       | Mode      | 1        | 0,7512       |
| MODAL       | Mode      | 2        | 0,4446       |
| MODAL       | Mode      | 3        | 0,4145       |
| MODAL       | Mode      | 4        | 0,2522       |
| MODAL       | Mode      | 5        | 0,2406       |
| MODAL       | Mode      | 6        | 0,2399       |
| MODAL       | Mode      | 7        | 0,2392       |
| MODAL       | Mode      | 8        | 0,2263       |
| MODAL       | Mode      | 9        | 0,2080       |
| MODAL       | Mode      | 10       | 0,1860       |
| MODAL       | Mode      | 11       | 0,1812       |
| MODAL       | Mode      | 12       | 0,1729       |

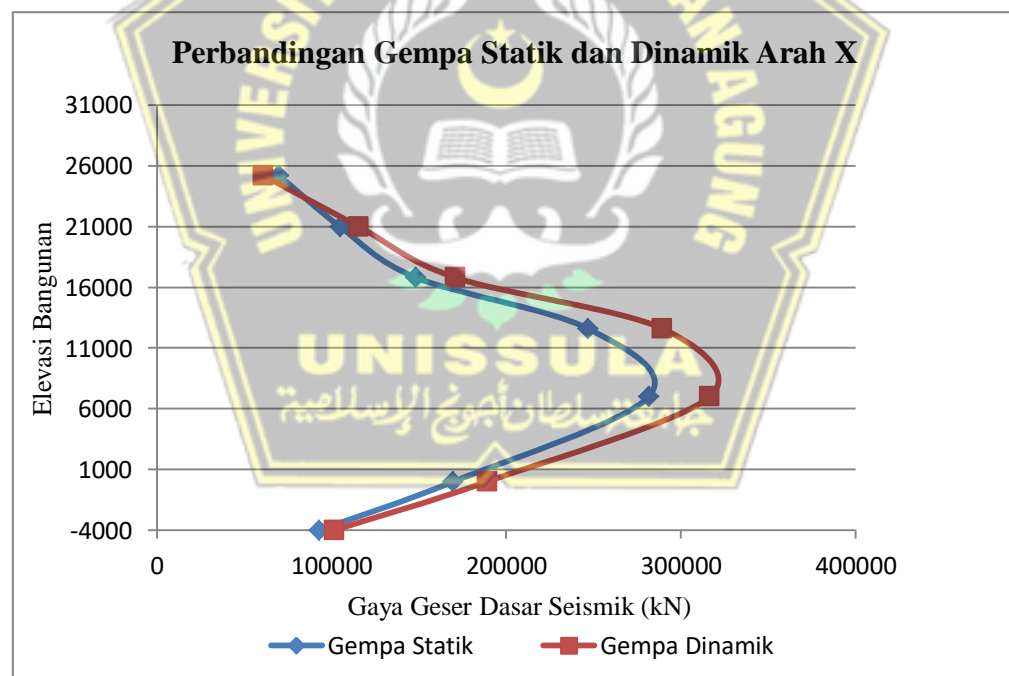
Dari tabel diatas didapat  $T_c = 0,7512 \text{ s}$ . Maka berdasarkan kontrol waktu getar alami nilai  $T_c < C_u \cdot T$ . Maka analisis struktur bangunan gedung ini masih memenuhi syarat SNI 1726-2019.

#### 4.4.11 Perhitungan Gaya Geser Dasar Desain

Perhitungan gaya geser dasar desain dimana pada SNI 1726 – 2019 mengharuskan nilai gempa dinamik  $> 100\%$  gempa Statik jika mana syarat tersebut belum memenuhi maka diwajibkan menambahkan angka faktor pembesaran.

Tabel 4.8 Hasil Perbandingan Gempa Statik dan Dinamik Arah X

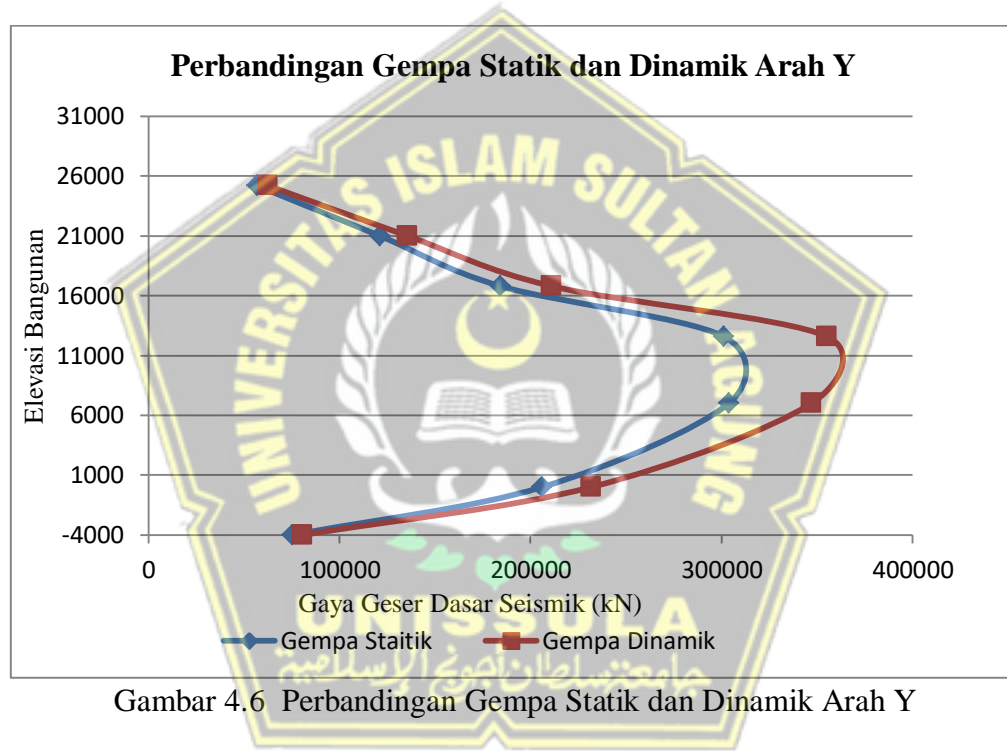
| Elevasi Lantai | Vx Statik (kN) | Vx Dinamik (kN) |
|----------------|----------------|-----------------|
| Atap           | 69949,31       | 60972,22        |
| Lt 4           | 104841,9       | 115624,7        |
| Lt 3           | 148426,2       | 170947,3        |
| Lt 2           | 246826,1       | 289477,1        |
| Lt 1           | 281671         | 316617          |
| Lt dsr         | 169679,9       | 189126,6        |
| Basement       | 93057,54       | 101507,7        |



Gambar 4.5 Perbandingan Gempa Statik dan Dinamik Arah X

Tabel 4.9 Hasil Perbandingan Gempa Statik dan Dinamik Arah Y

| Elevasi Lantai  | Vy Statik (kN) | Vy Dinamik (kN) |
|-----------------|----------------|-----------------|
| Atap            | 56587,69       | 62441,33        |
| Lt 4            | 121078,7       | 135563,8        |
| Lt 3            | 184251,2       | 210980,4        |
| Lt 2            | 300997,9       | 355030          |
| Lt 1            | 303785,4       | 347030,9        |
| Lt dsr          | 205904,9       | 231662,4        |
| <i>Basement</i> | 75239,64       | 80599,74        |



Gambar 4.6 Perbandingan Gempa Statik dan Dinamik Arah Y

#### 4.4.12 Cek Simpangan Antar Tingkat

Simpangan antar tingkat dari suatu titik pada suatu lantai harus ditentukan sebagai simpangan horizontal titik itu, relatif terhadap titik yang sesuai pada lantai yang berada dibawahnya.

Simpangan antar tingkat dipengaruhi oleh beberapa faktor, yaitu

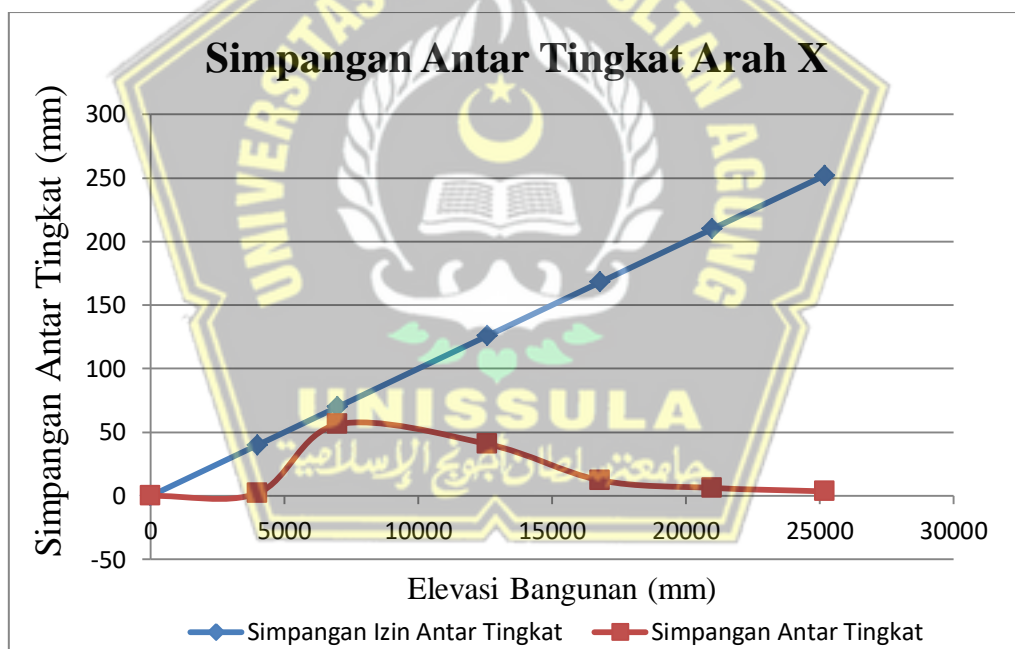
1. Faktor pembesaran defleksi ( $C_d$ ) = 5,5
2. Faktor keutamaan gempa ( $I_e$ ) = 1,5

Rumus yang digunakan untuk memperoleh nilai simpangan atau perpindahan inelastis dapat dilihat pada persamaan 2.10.

Untuk perhitungan detail dapat dilihat pada Tabel 4.10 dan Tabel 4.11 sebagai berikut :

Tabel 4.10 Cek Simpangan Antar Tingkat Struktur Arah X

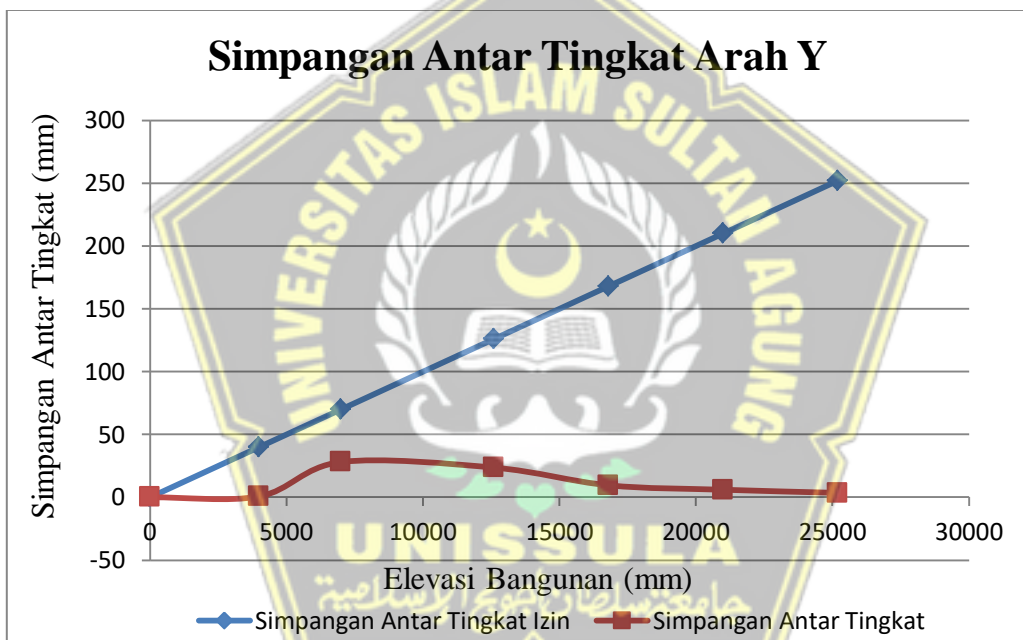
| Elevasi Lantai | $H_{sx}$ (mm) | $H$ (mm) | $\delta_{ex}$ (mm) | $\delta_x$ (mm) | $\Delta_x$ (mm) | $\Delta_{ijin}$ | Ket |
|----------------|---------------|----------|--------------------|-----------------|-----------------|-----------------|-----|
| Lt Atap        | 25200         | 4200     | 33,071             | 121,259         | 3,557           | 252             | OK  |
| Lt 4           | 21000         | 4200     | 32,101             | 117,702         | 6,253           | 210             | OK  |
| Lt 3           | 16800         | 4200     | 30,395             | 111,449         | 12,275          | 168             | OK  |
| Lt 2           | 12600         | 5600     | 27,047             | 99,174          | 40,708          | 126             | OK  |
| Lt 1           | 7000          | 7000     | 15,945             | 58,466          | 56,240          | 70              | OK  |
| Lt Dsr         | 4000          | 4000     | 0,607              | 2,225           | 2,225           | 40              | OK  |
| Base           | 0             | 0        | 0,000              | 0,000           | 0,000           | 0               | OK  |



Gambar 4.7 Cek Simpangan Antar Tingkat Arah X

Tabel 4.11 Cek Simpangan Antar Tingkat Struktur Arah Y

| Elevasi Lantai | $H_{sx}$ (mm) | $H$ (mm) | $\delta_{ey}$ (mm) | $\delta_y$ (mm) | $\Delta_y$ (mm) | $\Delta_{ijin}$ | Ket |
|----------------|---------------|----------|--------------------|-----------------|-----------------|-----------------|-----|
| Lt Atap        | 25200         | 4200     | 19,525             | 71,592          | 3,524           | 252             | OK  |
| Lt 4           | 21000         | 4200     | 18,564             | 68,068          | 6,025           | 210             | OK  |
| Lt 3           | 16800         | 4200     | 16,921             | 62,043          | 9,563           | 168             | OK  |
| Lt 2           | 12600         | 5600     | 14,313             | 52,480          | 23,648          | 126             | OK  |
| Lt 1           | 7000          | 3000     | 7,863              | 28,832          | 28,099          | 70              | OK  |
| Lt Dsr         | 4000          | 4000     | 0,200              | 0,733           | 0,733           | 40              | OK  |
| Base           | 0             | 0        | 0,000              | 0,000           | 0,000           | 0               | OK  |



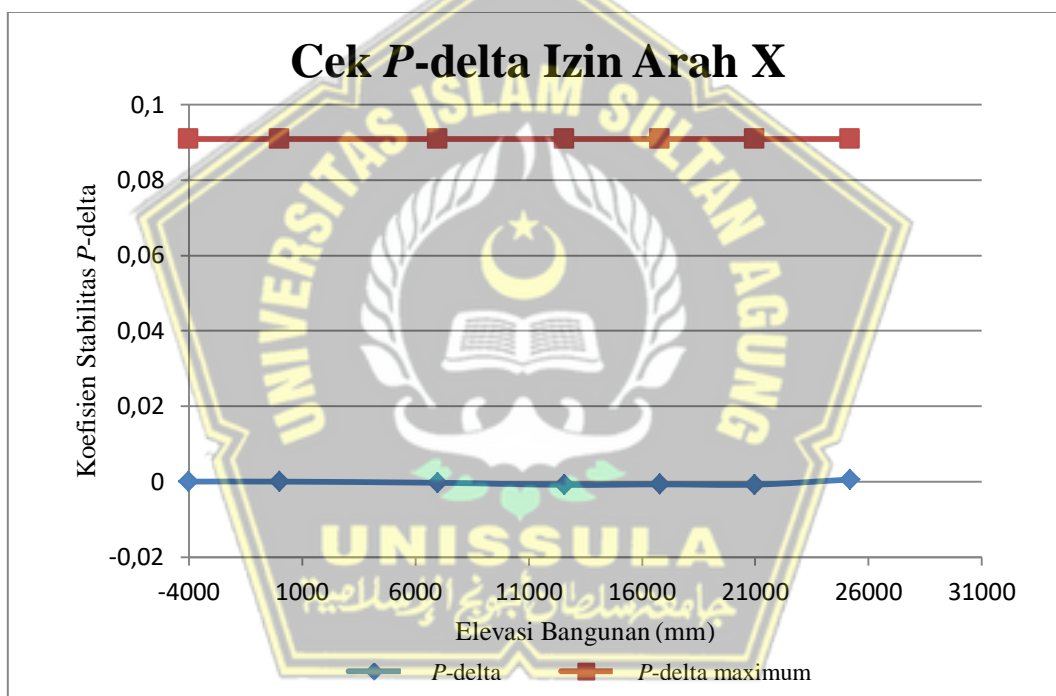
Gambar 4.8 Cek Simpangan Antar Tingkat Arah Y

#### 4.4.13 Cek Stabilitas P-Delta Struktur

Untuk memperhitungkan koefisien stabilitas ( $\theta$ ) ditentukan dengan rumus pada persamaan 2.19. Stabilitas struktur ini merupakan analisa bagian yang penting dimana kita tidak bisa melanjutkan analisis berikutnya jika suatu struktur terjadi ketidakstabilan struktural. Untuk hasil perhitungan cek stabilitas struktur Gedung *Innovative Cluster Program* (IPC) Universitas Katolik Soegijapranata dapat dilihat pada Tabel 4.12, Tabel 4.13, Gambar 4.9, dan Gambar 4.10 dibawah ini :

Tabel 4.12 Cek Stabilitas  $P$ -Delta Arah X

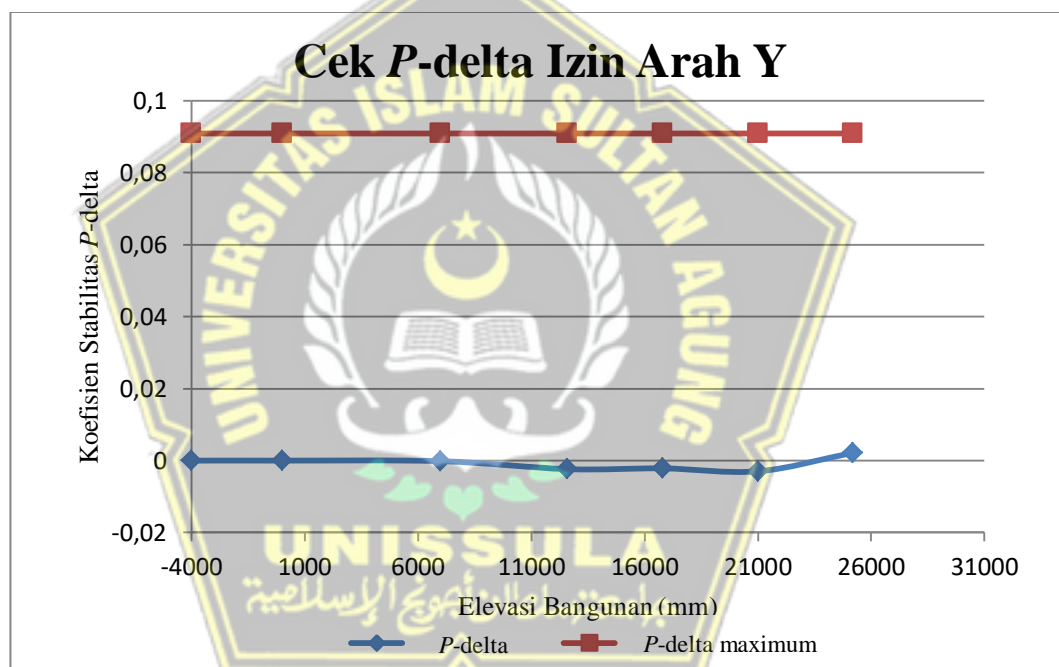
| Elevasi Lantai | $H_{sx}$ (mm) | $\Delta x$ (mm) | $P$ (kN)    | $V_x$ (kN) | $\theta$ | $\theta$ ijin | Ket |
|----------------|---------------|-----------------|-------------|------------|----------|---------------|-----|
| Atap           | 4200          | 85,843          | 81488,68934 | 33492,029  | 0,000562 | 0,090909      | OK  |
| 4              | 4200          | 151,533         | -120391,793 | 61450,854  | -0,0008  | 0,090909      | OK  |
| 3              | 4200          | 215,317         | -77344,05   | 84984,401  | -0,00073 | 0,090909      | OK  |
| 2              | 5600          | 395,778         | -46270,98   | 105477,116 | -0,00087 | 0,090909      | OK  |
| 1              | 3000          | 189,771         | -16083,998  | 114033,077 | -0,00031 | 0,090909      | OK  |
| Lt Ds          | 4000          | 16,945          | 430,48656   | 71303,289  | 9,16E-07 | 0,090909      | OK  |
| Base           | 4000          | 0               | -153570,816 | 0          | 0        | 0,090909      | OK  |



Gambar 4.9 Cek Stabilitas  $P$ -Delta Arah X

Tabel 4.13 Cek Stabilitas P-Delta Arah Y

| Elevasi Lantai | $H_{sx}$ (mm) | $\Delta y$ (mm) | $P$ (kN)    | $V_y$ (kN) | $\theta$ | $\theta$ ijin | Ket |
|----------------|---------------|-----------------|-------------|------------|----------|---------------|-----|
| Atap           | 4200          | 23,937          | 81488,68934 | 8598,720   | 0,002169 | 0,090909      | OK  |
| 4              | 4200          | 40,624          | -120391,793 | 15839,338  | -0,00297 | 0,090909      | OK  |
| 3              | 4200          | 61,538          | -77344,05   | 22232,517  | -0,00216 | 0,090909      | OK  |
| 2              | 5600          | 81,727          | -46270,98   | 22525,782  | -0,00237 | 0,090909      | OK  |
| 1              | 3000          | 112             | -16083,998  | 111375,715 | -0,00016 | 0,090909      | OK  |
| Lt Ds          | 4000          | 1,83825         | 430,48656   | 112061,877 | 1,92E-07 | 0,090909      | OK  |
| Base           | 4000          | 0               | -153570,816 | 0          | 0        | 0,090909      | OK  |



Gambar 4.10 Cek Stabilitas P-Delta Arah Y

## 4.5 Perencanaan Struktur

### 4.5.1 Perencanaan Pelat

Data perencanaan :

Mutu beton ( $f_c'$ ) = 30 MPa

Mutu baja tul ( $f_y$ ) = 420 MPa

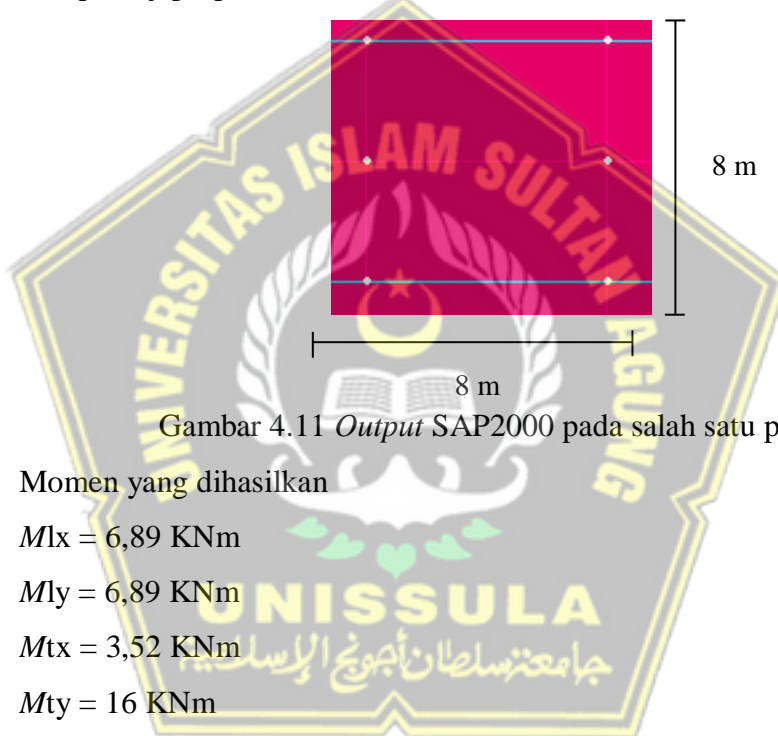
$L_x$  = 8 m

$L_y$  = 8 m

$t$  = 15 cm

$\emptyset$  tul = D13

Tumpuan jepit penuh



Gambar 4.11 Output SAP2000 pada salah satu pelat

Momen yang dihasilkan

$$M_{lx} = 6,89 \text{ KNm}$$

$$M_{ly} = 6,89 \text{ KNm}$$

$$M_{tx} = 3,52 \text{ KNm}$$

$$M_{ty} = 16 \text{ KNm}$$

Karena pelat memiliki dua arah tulangan utama yang berbeda, maka tinggi efektif pelat diambil :

$$dx = t - \text{decking} - 1/2\emptyset_{\text{tul}}$$

$$= 150 - 20 - 1/2 \times 13$$

$$= 123,5 \text{ mm}$$

$$dy = t - \text{decking} - \emptyset_{\text{tul}} - 1/2\emptyset_{\text{tul}}$$

$$= 150 - 20 - 13 - 1/2 \times 13$$

$$= 110,5 \text{ mm}$$

Sebagai pertimbangan nilai ekonomis, maka diperlukan batasan – batasan rasio tulangan (perbandingan tulangan tarik dengan komponen beton).

$$m = \frac{f_y}{0,85 \times f_{c'}} \\ = \frac{f_y}{0,85 \times f_{c'}} = \frac{420}{0,85 \times 30} = 16,47$$

$$\rho_{min} = 1,4/f_y \\ = 1,4/420 = 0,0033$$

$$\rho_{balance} = \left( \frac{0,85\beta_1 f_c}{f_y} \cdot \left( \frac{600}{600+f_y} \right) \right)$$

dimana nilai  $\beta_1 = 0,85$  untuk mutu beton 30 MPa.

$$\rho_{balance} = \left( \frac{0,85 \cdot 0,85 \cdot 30}{420} \cdot \left( \frac{600}{600+420} \right) \right) = 0,03 \\ \rho_{max} = 0,375 \times \frac{(600+f_y)}{600} \times \rho_{balance} \\ = 0,375 \times \frac{(600+420)}{600} \times 0,03 = 0,019$$

Tulangan Lapangan Arah x

$$M_{Ix} = 6,89 \text{ kN.m} = 6890000 \text{ N.mm}$$

Faktor reduksi = 0,8 ( tabel 21.2.1 SNI 2847-2019)

$$M_n = M_u / \varphi = 6890000 / 0,8 = 8612500 \text{ N.mm}$$

$$R_n = \frac{M_n}{b \cdot d x^2} = \frac{8612500}{1000 \cdot 123,5^2} = 0,56$$

(nilai b diambil setiap 1000 mm panjang pelat)

$$\rho_{perlu} = \frac{1}{m} \left( 1 - \sqrt{1 - \frac{2mR_n}{f_y}} \right) \\ = \frac{1}{16,47} \left( 1 - \sqrt{1 - \frac{2 \cdot 16,47 \cdot 0,56}{420}} \right) = 0,0013$$

Karena nilai  $\rho_{perlu} < \rho_{min}$ , maka  $\rho_{perlu}$  dinaikan 30%

$$\rho_{pakai} = 1,3 \times \rho_{perlu} \\ = 1,3 \times 0,0013 = 0,0018$$

$$A_s = \rho_{pakai} \times b \times d \\ = 0,0018 \times 1000 \times 123,5 = 222,3 \text{ mm}^2$$

- Dipakai tulangan D13-150

$$A_{spakai} = 1/4 \times \pi \times d^2 \times 1000/2$$

$$= \frac{1}{4} \times 3,14 \times 13^2 \times 1000 / 150 = 884,43 \text{ mm}^2$$

Tulangan Lapangan Arah y

$$M_{ly} = 6,89 \text{ kN.m} = 6890000 \text{ N.mm}$$

Faktor reduksi = 0,8 ( tabel 21.2.1 SNI 2847-2019)

$$M_n = M_u / \varphi = 6890000 / 0,8 = 8612500 \text{ N.mm}$$

$$R_n = \frac{M_n}{b \cdot d x^2} = \frac{8612500}{1000 \cdot 110,5^2} = 0,71$$

(nilai b diambil setiap 1000 mm panjang pelat)

$$\begin{aligned} \rho_{\text{perlu}} &= \frac{1}{m} \left( 1 - \sqrt{1 - \frac{2mR_n}{f_y}} \right) \\ &= \frac{1}{16,47} \left( 1 - \sqrt{1 - \frac{2 \cdot 16,47 \cdot 0,71}{420}} \right) = 0,0017 \end{aligned}$$

Karena nilai  $\rho_{\text{perlu}} < \rho_{\text{min}}$ , maka  $\rho_{\text{perlu}}$  dinaikkan 30%

$$\begin{aligned} \rho_{\text{pakai}} &= 1,3 \times \rho_{\text{perlu}} \\ &= 1,3 \times 0,0017 = 0,0022 \end{aligned}$$

$$\begin{aligned} As &= \rho_{\text{pakai}} \times b \times d \\ &= 0,0022 \times 1000 \times 110,5 = 198,9 \text{ mm}^2 \end{aligned}$$

- Dipakai tulangan D13-150

$$\begin{aligned} As_{\text{pakai}} &= \frac{1}{4} \times \pi \times d^2 \times 1000 / 2 \\ &= \frac{1}{4} \times 3,14 \times 13^2 \times 1000 / 150 = 884,43 \text{ mm}^2 \end{aligned}$$

Tulangan Tumpuan Arah x

$$M_{tx} = 3,52 \text{ kNm} = 3520000 \text{ Nmm}$$

Faktor reduksi = 0,8 ( tabel 21.2.1 SNI 2847-2019)

$$M_n = M_u / \varphi = 3520000 / 0,8 = 4400000 \text{ Nmm}$$

$$R_n = \frac{M_n}{b \cdot d x^2} = \frac{4400000}{1000 \cdot 123,5^2} = 0,29$$

(nilai b diambil setiap 1000 mm panjang pelat)

$$\begin{aligned} \rho_{\text{perlu}} &= \frac{1}{m} \left( 1 - \sqrt{1 - \frac{2mR_n}{f_y}} \right) \\ &= \frac{1}{16,47} \left( 1 - \sqrt{1 - \frac{2 \cdot 16,47 \cdot 0,29}{420}} \right) = 0,0006 \end{aligned}$$

Karena nilai  $\rho_{\text{perlu}} < \rho_{\text{min}}$ , maka  $\rho_{\text{perlu}}$  dinaikkan 30%

$$\begin{aligned} \rho_{\text{pakai}} &= 1,3 \times \rho_{\text{perlu}} \\ &= 1,3 \times 0,0006 = 0,0009 \end{aligned}$$

$$\begin{aligned} As &= \rho_{\text{perekat}} \times b \times d \\ &= 0,0009 \times 1000 \times 123,5 = 222,3 \text{ mm}^2 \end{aligned}$$

Dipakai tulangan D13-150

$$\begin{aligned} As_{\text{pakai}} &= 1/4 \times \pi \times d^2 \times 1000/2 \\ &= 1/4 \times 3,14 \times 13^2 \times 1000/150 = 884,43 \text{ mm}^2 \end{aligned}$$

Tulangan Tumpuan Arah y

$$M_{Ty} = 16 \text{ kN.m} = 16000000 \text{ N.mm}$$

Faktor reduksi = 0,8 ( tabel 21.2.1 SNI 2847-2019)

$$M_n = M_u/\varphi = 16000000/0,8 = 20000000 \text{ Nmm}$$

$$R_n = \frac{M_n}{b \cdot dx^2} = \frac{20000000}{1000 \cdot 110,5^2} = 1,64$$

(nilai b diambil setiap 1000 mm panjang pelat)

$$\begin{aligned} \rho_{\text{perlu}} &= \frac{1}{m} \left( 1 - \sqrt{1 - \frac{2mR_n}{f_y}} \right) \\ &= \frac{1}{16,47} \left( 1 - \sqrt{1 - \frac{2 \cdot 16,47 \cdot 1,64}{420}} \right) = 0,0052 \end{aligned}$$

$$\begin{aligned} As &= \rho_{\text{perekat}} \times b \times d \\ &= 0,0052 \times 1000 \times 110,5 = 574,6 \text{ mm}^2 \end{aligned}$$

Dipakai tulangan D13-150

$$\begin{aligned} As_{\text{pakai}} &= 1/4 \times \pi \times d^2 \times 1000/2 \\ &= 1/4 \times 3,14 \times 13^2 \times 1000/150 = 884,43 \text{ mm}^2 \end{aligned}$$

#### A. Kontrol Jarak Tulangan

Pada pasal 8.7.2.1 SNI 2847-2019, untuk pelat solid nonprategang, spasi maksimum  $s$  tulangan ulir longitudinal harus yang terkecil dari  $2h$  dan 450 mm pada penampang kritis, dan yang terkeci dari  $3h$  dan 450 mm pada penampang lainnya.

$$s < 2h \text{ atau } 450 \text{ mm}$$

$$150 \text{ mm} < 2 \times 150 \text{ mm}$$

$$150 \text{ mm} < 300 \text{ mm} \text{ (memenuhi)}$$

$$150 \text{ mm} < 450 \text{ mm} \text{ (memenuhi)}$$

## B. Kontrol Perlu Tulangan Susut dan Suhu

Pada pasal 24.4.3.2 SNI 2847-2019, rasio luasan tulangan ulir susut dan suhu terhadap luas penampang beton bruto harus memenuhi batasan.

$$\rho_{susut} = \frac{0,0018 \times 420}{f_y} = \frac{0,0018 \times 420}{420} = 0,0018$$

$$\begin{aligned} As &= \rho_{perekai} \times b \times d \\ &= 0,0018 \times 1000 \times 150 = 270 \text{ mm}^2 \end{aligned}$$

Digunakan tulangan Ø10-200

$$\begin{aligned} As_{perekai} &= 1/4 \times \pi \times d^2 \times 1000/2 \\ &= 1/4 \times 3,14 \times 10^2 \times 1000/200 = 392,5 \text{ mm}^2 \end{aligned}$$

$$s < 2h \text{ atau } 450 \text{ mm}$$

$$200 \text{ mm} < 2 \times 150 \text{ mm}$$

$$200 \text{ mm} < 300 \text{ mm} \text{ (memenuhi)}$$

$$200 \text{ mm} < 450 \text{ mm} \text{ (memenuhi)}$$

## C. Kontrol Lendutan

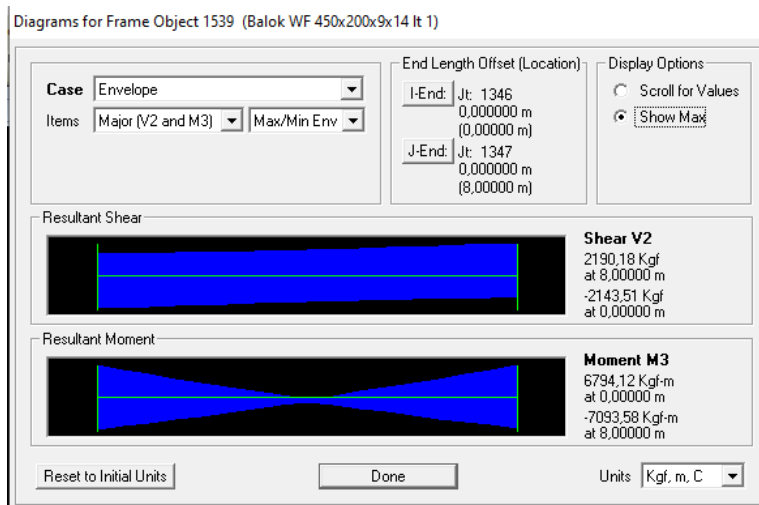
Karena tebal yang digunakan lebih besar dari tebal minimum, maka lendutan tidak perlu dihitung.

### 4.5.2 Perencanaan Balok Anak

Balok anak pada gedung ini direncanakan menggunakan profil WF 450x200x9x14, dengan data-data sebagai berikut :

|                                 |                               |
|---------------------------------|-------------------------------|
| $d = 450 \text{ mm}$            | $i_x = r_x = 18,6 \text{ cm}$ |
| $bf = 200 \text{ mm}$           | $i_y = r_y = 4,40 \text{ cm}$ |
| $tf = 14 \text{ mm}$            | $S_x = 1489 \text{ cm}^3$     |
| $tw = 9 \text{ mm}$             | $S_y = 187 \text{ cm}^3$      |
| $A = 96,8 \text{ cm}^2$         | $Z_x = 1621 \text{ cm}^3$     |
| $q = 76 \text{ kg/m}$           | $Z_y = 289 \text{ cm}^3$      |
| $I_x = 33500 \text{ cm}^4$      | $r = 18 \text{ cm}$           |
| $I_y = 1870 \text{ cm}^4$       | $h = d - 2(t_f + r)$          |
| $f_y = 410 \text{ MPa (BJ-55)}$ | $= 386 \text{ mm}$            |

Hasil dari *output* SAP2000 v14 *Frame* 1539 lantai 1 dengan kombinasi *envelope* diperoleh gaya :



Gambar 4.12 Hasil *Output* SAP2000 Gaya Geser dan Momen Balok Anak

$$Mu \text{ Max} = 6794,12 \text{ kg..m} = 66,63 \text{ kN}$$

$$Vu \text{ Max} = 2190,18 \text{ kg} = 21,48 \text{ kN}$$

- Kontrol kuat momen lentur

Pelat sayap :

$$\frac{bf}{2tf} = \frac{200}{2.14} = 7,14$$

$$\lambda p = 0,38 \sqrt{\frac{E}{Fy}} = 0,38 \sqrt{\frac{200000}{410}} = 8,4$$

$$\frac{bf}{2tf} < \lambda p \rightarrow \text{Penampang Kompak}$$

- Pelat badan

$$\frac{h}{tw} = \frac{386}{9} = 42,89$$

$$\lambda p = 3,76 \sqrt{\frac{E}{Fy}} = 3,76 \sqrt{\frac{200000}{410}} = 83,04$$

$$\frac{h}{tw} < \lambda p \rightarrow \text{Penampang Kompak}$$

- Karena penampang kompak, maka  $M_n = M_p$

$$M_p = Zx \times fy$$

$$= 1621 \text{ cm}^3 \times 4100 \text{ kg/cm}^2$$

$$= 6646100 \text{ kg.cm} = 66461 \text{ kg.m} = 651,76 \text{ kN}$$

$$\emptyset_b \cdot M_n = 0,9 \times 66461 \text{ kg.cm}$$

$$= 39876,6 \text{ kg.cm} = 391,06 \text{ kN}$$

- Cek kemampuan terhadap momen

$$\phi_b \cdot M_n \geq M_u$$

$$391,06 \text{ kN} \geq 66,63 \text{ kN (OK)}$$

- Kontrol penampang terhadap tekuk lateral

$$L_b = 8000 \text{ mm}$$

$$L_p = 1,76 r_y \sqrt{\frac{E}{f_y}} = 1,76 \cdot 44 \sqrt{\frac{200000}{410}} \\ = 1710.36 \text{ mm}$$

$$L_r = 1,95 r_{ts} \frac{E}{0,7 F_y} \sqrt{\frac{J_c}{S_x H_o} + \sqrt{\left(\frac{J_c}{S_x H_o}\right)^2 + 6,76 \left(\frac{0,7 F_y}{E}\right)^2}}$$

Dimana :

$$r_{ts} = \frac{I_{yho}}{2 S_x} = \frac{18700000.436}{2 \cdot 1489000} = 2737,81 \text{ mm}$$

$J_c$  = Konstanta torsi

$$= \frac{1}{3} \times h \times t w^3 + 2 \left( \frac{1}{3} \times b f \times t f^3 \right) \\ = \frac{1}{3} \times 386 \times 9^3 + 2 \left( \frac{1}{3} \times 200 \times 14^3 \right) \\ = 459664,6 \text{ mm}^3$$

$G$  = Modulus elastisitas geser baja = 77200 MPa

$c$  = Untuk profil simetris ganda = 1

Didapat :

$$L_r = 6100,563 \text{ mm}$$

Karena :

$L < L_p$  termasuk bentang pendek

$L_p < L < L_r$  termasuk bentang menengah

$L > L_r$  termasuk bentang panjang

Dari hasil perhitungan didapat :

$$L_p = 1710.36 \text{ mm}$$

$$L = 8000 \text{ mm}$$

$$L_r = 6100,563 \text{ mm}$$

Karena  $L > L_r$  maka penampang termasuk batang panjang, sehingga :

$$M_n = F_{cr} \cdot S_x \leq M_p$$

$$F_{cr} = \frac{C b \pi^2 E}{\left(\frac{L_b}{r_{ts}}\right)^2} \sqrt{1 + 0,078 \frac{J_c}{S_x h_o} \left(\frac{L_b}{r_{ts}}\right)^2} \\ = \frac{1,314^2 200000}{\left(\frac{8000}{2737,81}\right)^2} \sqrt{1 + 0,078 \frac{459664,6}{1489000,436} \left(\frac{8000}{2737,81}\right)^2} \\ = 1072240,61 \text{ mm}^4 = 1072,24061 \text{ cm}^4$$

$$M_n = 1072,24061 \cdot 1489 \leq 6646100$$

$$M_n = 1596566 \text{ cm} \leq 6646100 \text{ cm} (\text{OK})$$

$$\begin{aligned} M_{nx} &= M_{px} = Z_x \times f_y \\ &= 1621 \text{ cm}^3 \times 4100 \text{ kg/cm}^2 \\ &= 6646100 \text{ kg.cm} = 66461 \text{ kg.m} = 651,76 \text{ kN} \end{aligned}$$

$$\begin{aligned} M_{ny} &= M_{py} = Z_y \times f_y \\ &= 289 \text{ cm}^3 \times 4100 \text{ kg/cm}^2 \\ &= 1184900 \text{ kg.cm} = 11849 \text{ kg.m} = 116,2 \text{ kN} \end{aligned}$$

- Persamaan Interaksi

$$\begin{aligned} \frac{M_{ux}}{\phi b \cdot M_{nx}} + \frac{M_{uy}}{\phi b \cdot M_{ny}} &\leq 1,0 \\ \frac{66,36}{0,9 \cdot 651,76} + \frac{0}{0,9 \cdot 116,2} &\leq 1,0 \rightarrow 0,49 < 1 \rightarrow (\text{OK}) \end{aligned}$$

- Kontrol geser

$$V_u = 21,48 \text{ kN}$$

$$\frac{h}{tw} \leq \frac{1100}{\sqrt{f_y}} \rightarrow \frac{386}{9} \leq \frac{1100}{\sqrt{f_y}}$$

$$43,2 \leq 54,32 \rightarrow \text{Plastis}$$

Maka kuat geser nominal,

$$\begin{aligned} V_n &= 0,6 \cdot f_y \cdot A_w \\ &= 0,6 \cdot 4100 \cdot (38,6 \times 0,9) = 85460,4 \text{ kg} = 838,08 \text{ kN} \end{aligned}$$

Cekk kuat geser :

$$\phi V_n \geq V_u$$

$$\begin{aligned} \phi V_n &= 0,9 \times 838,08 \text{ kN} \\ &= 754,272 \text{ kN} > 21,48 \text{ kN} (\text{OK}) \end{aligned}$$

- Lendutan

$$f_{ijin} = \frac{L}{360} \rightarrow \frac{800}{360} = 2,222 \text{ cm}$$

Lendutan akibat beban

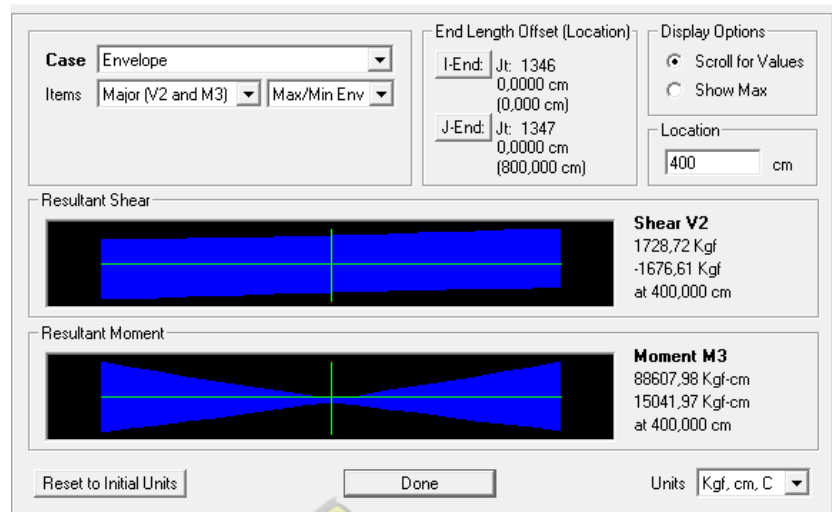
$$f_{max} = \frac{5L^2}{48EI} [Ms - 0,1(Ma + Mb)]$$

Dimana :

$Ma = Mb$  = Momen di tumpuan (dari analisa SAP2000)

$Ms$  = Momen di tengah bentang (dari analisa SAP2000)

Diagrams for Frame Object 1539 (Balok WF 450x200x9x14 lt 1)



Gambar 4.13 Hasil Output SAP2000 Gaya Geser dan Momen Balok Anak

$$f_{\max} = \frac{5.800^2}{48.200000.33500} [88607,98 - 0,1(679411,80 + 679411,80)]$$

$$f_{\max} = 0,47 \text{ cm} \leq 2,222 \text{ cm (OK)}$$

“Profil WF 450x200x9x14 dapat digunakan sebagai balok anak pada Gedung Innovative Program Cluster (IPC) Unika.”

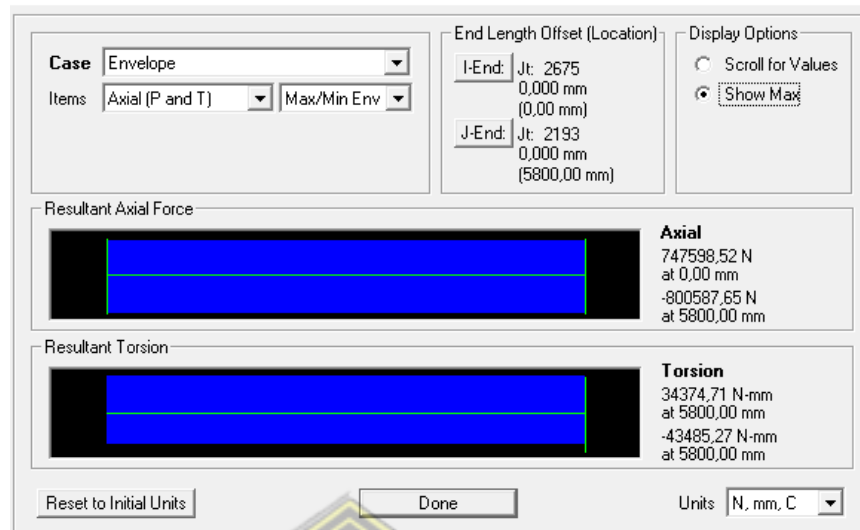
#### 4.5.3 Perencanaan Batang Bresing

Pada gedung ini bresing direncanakan menggunakan profil WF 500x200x10x16 dengan data-data sebagai berikut :

|                                 |                               |
|---------------------------------|-------------------------------|
| $d = 500 \text{ mm}$            | $i_x = r_y = 20,5 \text{ cm}$ |
| $b_f = 200 \text{ mm}$          | $i_y = r_x = 4,43 \text{ cm}$ |
| $t_f = 16 \text{ mm}$           | $Z_x = 2096 \text{ cm}^3$     |
| $t_w = 10 \text{ mm}$           | $Z_y = 332 \text{ cm}^3$      |
| $A = 114,2 \text{ cm}^2$        | $S_x = 1910 \text{ cm}^3$     |
| $q = 89,6 \text{ kg/m}$         | $S_y = 214 \text{ cm}^3$      |
| $I_x = 47800 \text{ cm}^4$      | $r = 20 \text{ cm}$           |
| $I_y = 2140 \text{ cm}^4$       | $h = d - 2(t_f + r)$          |
| $f_y = 250 \text{ MPa (BJ-41)}$ | $= 428 \text{ mm}$            |

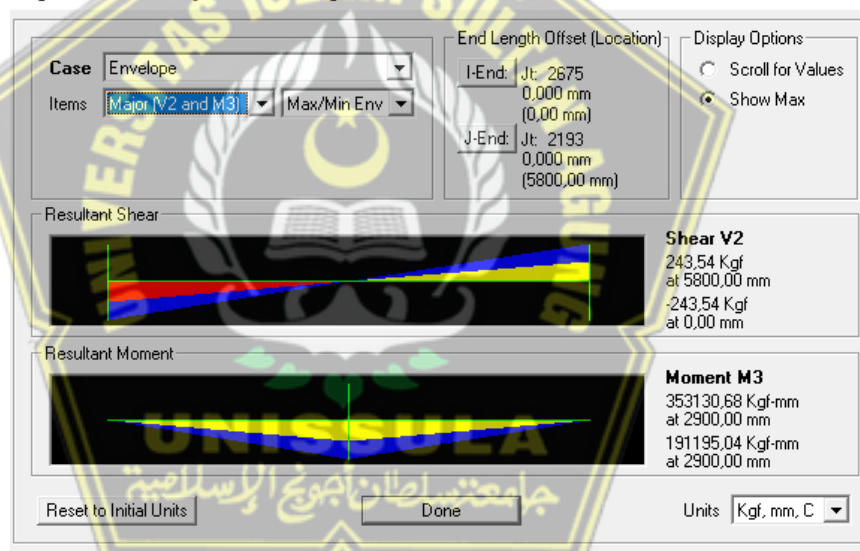
Hasil dari output SAP2000 dengan kombinasi Envelope diperoleh gaya :

Diagrams for Frame Object 2500 (Bracing 500x200x10x16)



Gambar 4.14 Hasil Output SAP2000 Gaya Aksial Bresing

Diagrams for Frame Object 2500 (Bracing 500x200x10x16)



Gambar 4.15 Hasil Output SAP2000 Gaya Geser dan Momen Bresing

$$P_u = 747598,52 \text{ N} \cdot \text{mm} = 747,599 \text{ kN}$$

$$M_u = 353130,68 \text{ kg} \cdot \text{mm} = 3463,03 \text{ kN}$$

- Kontrol Tekan Penampang

Sayap

$$\frac{bf}{2tf} = \frac{200}{2 \cdot 16} = 6,25$$

$$0,56 \sqrt{\frac{E}{f_y}} = 0,56 \sqrt{\frac{200000}{250}} = 15,84$$

Karena  $\frac{bf}{2tf} < 0,56 \sqrt{\frac{E}{f_y}}$ , maka elemen Kompak

Badan

$$\frac{he}{tw} = \frac{500 - 2(20+10+16)}{10} = 40,8$$

$$1,49 \sqrt{\frac{E}{f_y}} = 1,49 \sqrt{\frac{200000}{250}} = 42,14$$

Karena  $\frac{he}{tw} < 1,49 \sqrt{\frac{E}{f_y}}$ , maka elemen Kompak

- Menentukan panjang efektif kolom ( $K$ )  
Kolom dengan ujung jepit memiliki nilai  $K$  sebesar 0,50.
- Perhitungan tegangan kritis tekuk dan lentur

$$\frac{KL}{r} \leq 4,71 \sqrt{\frac{E}{Q \cdot f_y}}$$

Dimana :

$Q$  = Faktor reduksi neto = 1

$$\frac{KL}{r} = \frac{0,50 \cdot 5800}{200} = 14,5$$

$$4,71 \sqrt{\frac{E}{Q \cdot f_y}} = 4,71 \sqrt{\frac{200000}{1 \cdot 250}} = 133,2$$

Karena  $\frac{KL}{r} < 4,71 \sqrt{\frac{E}{Q \cdot f_y}}$ , maka  $F_{cr}$  dirumuskan :

$$F_{cr} = Q (0,658 \frac{f_y}{F_e}) f_y$$

Dimana :

$F_e$  = tegangan tekuk kritis elastis (MPa). Untuk tekuk kritis lentur  $F_e$  dihitung dengan persamaan :

$$F_e = \frac{\pi^2 E}{(\frac{KL}{r_x})^2} = \frac{3,14^2 \cdot 200000}{\left(\frac{0,50 \cdot 5800}{205}\right)^2} = 9853,7 \text{ MPa}$$

Maka tegangan kritis sebagai berikut :

$$F_{cr} = 1 \left( 0,658 \frac{1.250}{9853,7} \right) \cdot 250 = 247,36 \text{ MPa}$$

Sedangkan untuk profil struktur simetris ganda tegangan kritis tekuk dan puntir dihitung dengan nilai  $F_e$  sebagai berikut :

$$F_e = \left( \frac{\pi^2 E C_w}{(KL)^2} + GJ \right) \frac{1}{I_x + I_y}$$

Dimana :

$G$  = Modulus elastisitas geser baja = 77200 MPa

$J$  = Konstanta torsi

$$= \frac{1}{3} \times h \times tw^3 + 2 (\frac{1}{3} \times bf \times tf^3)$$

$$= \frac{1}{3} \times 428 \times 10^3 + 2 (\frac{1}{3} \times 200 \times 16^3)$$

$$= 688800 \text{ mm}^4$$

$C_w$  = Konstanta pilin

$$= \frac{1}{4} \cdot h^2 \cdot I_y$$

$$= \frac{1}{4} \cdot 428^2 \cdot 21400000$$

$$= 980034400000 \text{ mm}^6$$

Maka nilai  $F_e$  adalah

$$F_e = \left( \frac{\frac{3,14^2 \cdot 200000 \cdot 980034400000}{(2900)^2} + 77200 \cdot 688800}{\frac{1}{478000000 + 21400000}} \right) \\ = 566,61$$

Dengan memperoleh nilai  $F_e$ , maka tegangan kritis :

$$F_{cr} = 1 \left( 0,658^{\frac{1.250}{566,61}} \right) \cdot 250 \\ = 207,8 \text{ MPa}$$

- Menghitung kuat tekan nominal

$$P_n = F_{cr} \times A_g \\ = 207,8 \times 11420 \\ = 2373076 \text{ N} = 2373,076 \text{ kN}$$

Syarat

$$\emptyset P_n \geq P_u$$

$$0,9 \cdot 2373,076 \geq 747,599$$

$$2135,77 \text{ kN} \geq 747,599 \text{ kN}$$

- Kontrol lentur penampang

Pelat sayap

$$\lambda = \frac{bf}{2tf} = \frac{200}{2.16} = 6,25$$

$$\lambda p = 0,38 \sqrt{\frac{E}{F_y}} = 0,38 \sqrt{\frac{200000}{250}} = 10,75$$

$\lambda < \lambda p \rightarrow$  Penampang Kompak

Pelat badan

$$\lambda = \frac{h}{tw} = \frac{428}{10} = 42,8$$

$$\lambda p = 3,76 \sqrt{\frac{E}{f_y}} = 3,76 \sqrt{\frac{200000}{250}} = 106,34$$

$\lambda < \lambda p \rightarrow$  Penampang Kompak

Karena  $\lambda < \lambda p$ , Maka penampang didesain dengan keadaan momen plastis

$$\begin{aligned} Mn &= Mp = f_y \times Zx \\ &= 250 \times 20960 \\ &= 5240000 \text{ kg.mm} = 51386,86 \text{ kN} \end{aligned}$$

Syarat :

$$\phi Mn \geq Mu$$

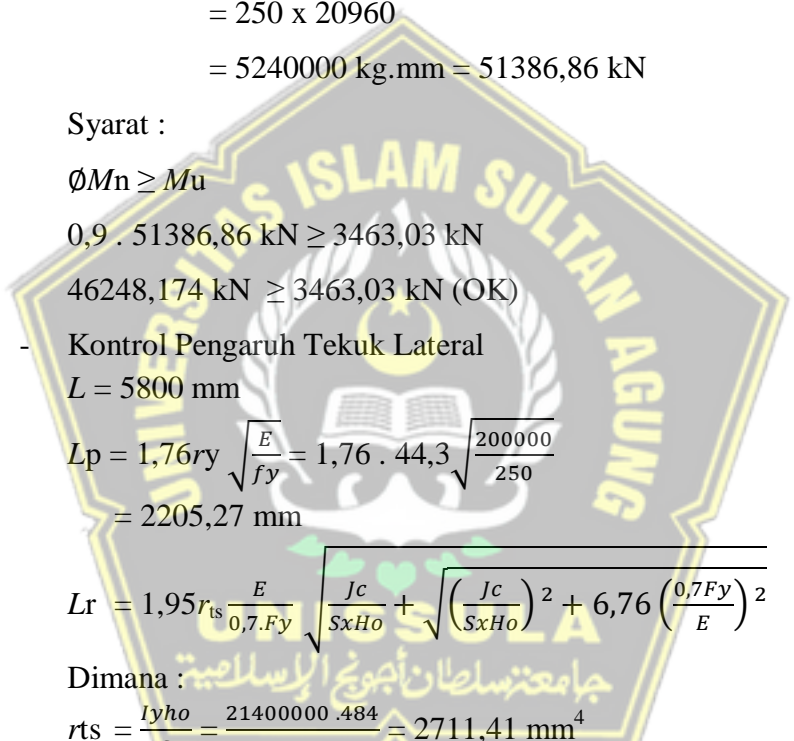
$$0,9 \cdot 51386,86 \text{ kN} \geq 3463,03 \text{ kN}$$

$$46248,174 \text{ kN} \geq 3463,03 \text{ kN} (\text{OK})$$

- Kontrol Pengaruh Tekuk Lateral  
 $L = 5800 \text{ mm}$

$$\begin{aligned} L_p &= 1,76 r_y \sqrt{\frac{E}{f_y}} = 1,76 \cdot 44,3 \sqrt{\frac{200000}{250}} \\ &= 2205,27 \text{ mm} \end{aligned}$$

$$L_r = 1,95 r_{ts} \frac{E}{0,7 F_y} \sqrt{\frac{J_c}{S_{xH_o}}} + \sqrt{\left(\frac{J_c}{S_{xH_o}}\right)^2 + 6,76 \left(\frac{0,7 F_y}{E}\right)^2}$$

Dimana : 

$$r_{ts} = \frac{I_{yho}}{2S_x} = \frac{21400000 \cdot 484}{2 \cdot 1910000} = 2711,41 \text{ mm}^4$$

$J$  = Konstanta torsi

$$\begin{aligned} &= \frac{1}{3} \times h \times tw^3 + 2 \left( \frac{1}{3} \times bf \times tf^3 \right) \\ &= \frac{1}{3} \times 428 \times 10^3 + 2 \left( \frac{1}{3} \times 200 \times 16^3 \right) \\ &= 688800 \text{ mm}^4 \end{aligned}$$

$G$  = Modulus elastisitas geser baja = 77200 MPa

$c$  = Untuk profil simetris ganda = 1

Didapat

$$L_r = 338546,23 \text{ mm}$$

Karena :

$L < L_p$  termasuk bentang pendek

$L_p < L < L_r$  termasuk bentang menengah

$L > L_r$  termasuk bentang panjang

Dari hasil perhitungan didapat :

$$L_p = 2205,3 \text{ mm} < L = 5800 \text{ mm} < L_r = 338546,23 \text{ mm}$$

- Karena  $L_p < L_b < L_r$  maka penampang termasuk batang menengah, sehingga :

$$M_n = C_b [M_p - (M_p - 0,7F_y S_x) \left( \frac{L_b - L_p}{L_r - L_p} \right)] \leq M_p$$

$$\begin{aligned} C_b &= \frac{12,5 \cdot M_{max}}{2,5 \cdot M_{max} + 3MA + 4MB + 3MC} \\ &= \frac{12,5 \cdot 353130,68}{2,5 \cdot 353130,68 + 3 \cdot 1731514,53 + 4 \cdot 3463029,05 + 3 \cdot 1731514,53} \\ &= 0,22 \text{ cm} \end{aligned}$$

$$\begin{aligned} M_n &= 0,22 [5240000 - (5240000 - 0,7 \cdot 250.19100) \left( \frac{5600 - 2205,3}{338546,23 - 2205,3} \right)] \\ &= 1148586,7 \text{ cm} = 11263,79 \text{ kN} \\ &= 11263,79 \text{ kN} \leq 51386,86 \text{ kN (OK)} \end{aligned}$$

- Interaksi gaya aksial dan momen lentur

$$P_u = 747598,52 \text{ N} = 747,599 \text{ kN}$$

$$P_n = 2373076 \text{ N} = 2373,076 \text{ kN}$$

$$\text{Jika, } \frac{P_u}{P_n} = \frac{747,599}{2373,076} = 0,3, \text{ maka}$$

$$\frac{P_u}{P_n} + \left( \frac{M_u + M_{lu}}{M_n + M_{ln}} \right) \leq 1$$

$$0,3 + \left( \frac{353130,68}{5240000} \right) \leq 1$$

$$0,37 \leq 1 \text{ (Aman)}$$

“Profil WF 500x200x10x16 dapat digunakan sebagai bresing pada Gedung Innovative Program Cluster (IPC) Unika.”

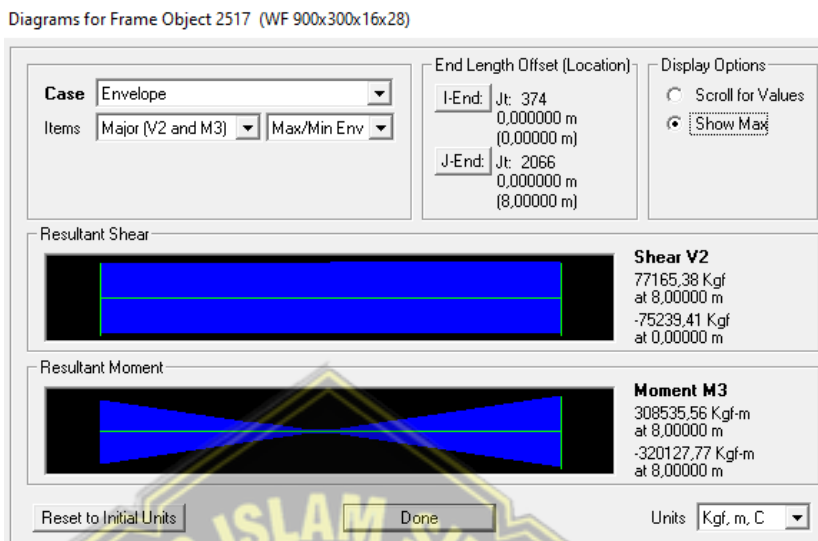
#### 4.5.4 Perencanaan Balok Induk

Balok induk direncanakan menggunakan profil WF 900x300x16x28, dengan data-data sebagai berikut :

|                             |                                |
|-----------------------------|--------------------------------|
| $d = 900 \text{ mm}$        | $i_x = r_y = 36,42 \text{ cm}$ |
| $b_f = 300 \text{ mm}$      | $i_y = r_x = 6,38 \text{ cm}$  |
| $t_f = 28 \text{ mm}$       | $S_x = 9133 \text{ cm}^3$      |
| $t_w = 16 \text{ mm}$       | $S_y = 840 \text{ cm}^3$       |
| $A = 309,80 \text{ cm}^2$   | $Z_x = 10174 \text{ cm}^3$     |
| $q = 243,19 \text{ kg/m}$   | $Z_y = 1314 \text{ cm}^3$      |
| $l_x = 411000 \text{ cm}^4$ | $r = 28 \text{ cm}$            |
| $l_y = 12600 \text{ cm}^4$  | $h = d - 2(t_f + r)$           |

$$f_y = 410 \text{ MPa (BJ-55)} \quad = 788 \text{ mm}$$

Hasil dari *output* SAP2000 dengan kombinasi *envelope* diperoleh gaya dalam sebesar :



Gambar 4.16 Hasil *Output* SAP2000 Gaya Geser dan Momen Balok Induk

$$M_u \text{ Max} = 308535,56 \text{ kg.m} = 3025,7 \text{ kN}$$

$$V_u \text{ Max} = 77165,38 \text{ kg} = 756,73 \text{ kN}$$

- Kontrol Penampang

Pelat sayap

$$\lambda = \frac{bf}{2tf} = \frac{300}{2.28} = 5,36$$

$$\lambda_p = 0,38 \sqrt{\frac{E}{F_y}} = 0,38 \sqrt{\frac{200000}{410}} = 8,4$$

$$\lambda < \lambda_p \rightarrow \text{Penampang Kompak}$$

Pelat badan

$$\frac{h}{tw} = \frac{788}{16} = 49,25$$

$$\lambda_p = 3,76 \sqrt{\frac{E}{F_y}} = 3,76 \sqrt{\frac{200000}{410}} = 83,04$$

$$\frac{h}{tw} < \lambda_p \rightarrow \text{Penampang Kompak}$$

- Kapasitas momen penampang

Karena penampang kompak, Maka  $M_n = M_p$

$$M_n = Zx \times F_y$$

$$= 10174 \times 410 \\ = 4171340 \text{ kg.cm} = 40906,88 \text{ kN}$$

$$\phi_b \cdot M_n = 0,9 \times 40906,88 \text{ kN} \\ = 36816,192 \text{ kN}$$

- Cek kemampuan penampang terhadap momen

$$\phi_b \cdot M_n \geq M_u \\ 36816,192 \text{ kN} \geq 3025,7 \text{ kN (OK)}$$

- Kontrol penampang akibat geser

$$\frac{h}{tw} = \frac{788}{16} = 49,25 < 3,76 \sqrt{\frac{E}{f_y}} = 3,76 \sqrt{\frac{200000}{410}} = 83,04$$

$$\frac{h}{tw} < 3,76 \sqrt{\frac{E}{f_y}}$$

Maka  $V_n$

$$= 0,6 \times f_y \times A_w \\ = 0,6 \times 410 \times (778 \times 16) \\ = 187452 \text{ kg} = 1838,28 \text{ kN}$$

$$\phi V_n = 0,9 \times 1838,28 \\ = 1654,452 \text{ kN}$$

$$\phi V_n \geq V_u \\ 1654,452 \text{ kN} \geq 756,73 \text{ kN (OK)}$$

- Kontrol penampang akibat adanya bresing

$$\alpha = \arctan(5/3) = 59^\circ \\ P_{ub} = (R_y F_y A_g - 0,3 P_n) \sin \alpha \\ = (1,5 \cdot 250 \cdot 114,2 - 0,3 \cdot 76276,24) \sin 59 \\ = 17093,74 \text{ kg} = 167,63 \text{ kN}$$

$$M_{ub} = 0,25 \times 17093,74 \times 8 \\ = 34187,48 \text{ kg.m} = 335,26 \text{ kN}$$

- Kontrol penampang terhadap tekuk lateral

$$L_b = 8000 \text{ mm}$$

$$L_p = 1,76 r_y \sqrt{\frac{E}{f_y}} = 1,76 \cdot 64 \sqrt{\frac{200000}{410}} \\ = 2847,80 \text{ mm}$$

$$L_r = 1,95 r_{ts} \frac{E}{0,7 F_y} \sqrt{\frac{J_c}{SxH_o} + \sqrt{\left(\frac{J_c}{SxH_o}\right)^2 + 6,76 \left(\frac{0,7 F_y}{E}\right)^2}}$$

Dimana :

$$r_{ts} = \frac{I_{yho}}{2S_x} = \frac{126000000.872}{2 \cdot 9133000} = 6015,11 \text{ mm}$$

$J$  = Konstanta torsi

$$\begin{aligned} &= \frac{1}{3} \times h \times t w^3 + 2 \left( \frac{1}{3} \times b f \times t f^3 \right) \\ &= \frac{1}{3} \times 788 \times 16^3 + 2 \left( \frac{1}{3} \times 300 \times 28^3 \right) \\ &= 5466282,6 \text{ mm} \end{aligned}$$

$G$  = Modulus elastisitas geser baja = 77200 MPa

$c$  = Untuk profil simetris ganda = 1

Didapat

$$L_r = 13189,66 \text{ mm}$$

Karena :

$L < L_p$  termasuk bentang pendek

$L_p < L < L_r$  termasuk bentang menengah

$L > L_r$  termasuk bentang panjang

Dari hasil perhitungan didapat :

$$L_p = 2847,80 \text{ mm}$$

$$L_b = 8000 \text{ mm}$$

$$L_r = 13189,66 \text{ mm}$$

Karena  $L_p < L_b < L_r$  maka penampang termasuk batang menengah, sehingga :

$$M_n = C_b [M_p - (M_p - 0,7F_y S_x) \left( \frac{L_b - L_p}{L_r - L_p} \right)] \leq M_p$$

$$\begin{aligned} C_b &= \frac{12,5 \cdot M_{max}}{2,5 \cdot M_{max} + 3MA + 4MB + 3MC} \\ &= \frac{12,5 \cdot 30853556}{2,5 \cdot 30853555,78 + 3 \cdot 13744643,95 + 4 \cdot 1195256,26 + 316058296,71} \\ &= 2,25 \text{ cm} \end{aligned}$$

$$\begin{aligned} M_n &= 2,25 [4171340 - (4171340 - 0,7 \cdot 410 \cdot 9133) \left( \frac{800 - 284,780}{1318,97 - 284,780} \right)] \\ &= 7647898,45 \text{ cm} \leq 41713400 \text{ cm (OK)} \end{aligned}$$

$$M_{nx} = M_{px} = Z_x \times f_y$$

$$= 10174 \times 410$$

$$= 4171340 \text{ kg} = 40906,88 \text{ kN}$$

$$M_{ny} = M_{py} = Z_y \times f_y$$

$$= 1314 \times 410$$

$$= 538740 \text{ kg} = 5283,24 \text{ kN}$$

- Persamaan Interaksi

$$\frac{M_{ux}}{\phi b \cdot M_{nx}} + \frac{M_{uy}}{\phi b \cdot M_{ny}} \leq 1,0$$

$$\frac{3025,7}{0,9.40906,88} + \frac{0}{0,9.5283,24} \leq 1,0 \rightarrow 0,08 < 1 \rightarrow (\text{OK})$$

- Kontrol penampang akibat lendutan

$$\text{Lendutan izin} = \frac{l}{360} = \frac{800}{360} = 2,2 \text{ cm}$$

$$f_{\max} = \frac{5L^2}{48EI} [Ms - 0,1(Ma+Mb)]$$

Dimana :

$Ma = Mb$  = Momen di tumpuan (dari analisa SAP2000)

$Ms$  = Momen di tengah bentang (dari analisa SAP2000)

$$f_{\max} = \frac{5.800^2}{48.200000.411000} [1195256,26 -$$

$$0,1(28698348,90 + 30853555,78)]$$

$$f_{\max} = 1,83 \text{ cm} \leq 2,222 \text{ cm} (\text{OK})$$

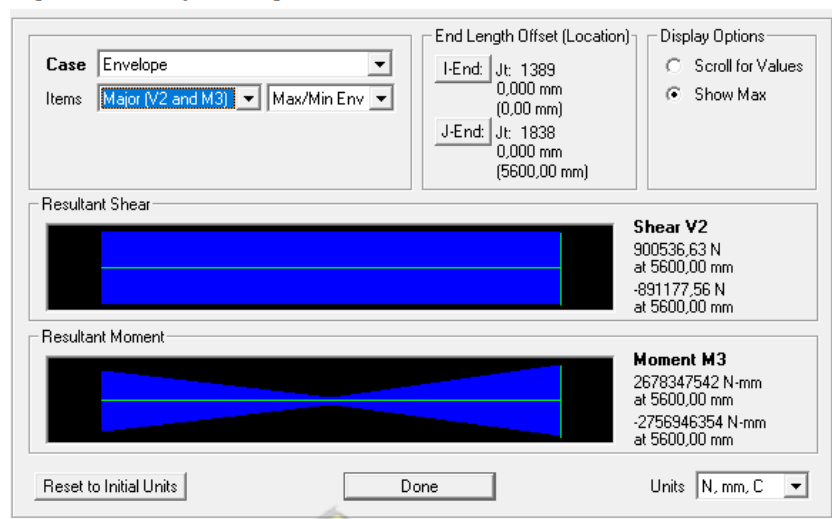
“Profil WF 900x300x16x28 dapat digunakan sebagai balok induk pada Gedung *Innovative Program Cluster* (IPC) Unika.”

#### 4.5.5 Perencanaan Kolom

Kolom baja yang digunakan dalam perencanaan gedung ini adalah kolom *king cross* 800x300x14x26, dengan data-data penampang sebagai berikut :

|       |                        |                                |
|-------|------------------------|--------------------------------|
| $d$   | = 800 mm               | $i_x = r_x = 23,83 \text{ cm}$ |
| $b_f$ | = 300 mm               | $i_y = r_y = 24,27 \text{ cm}$ |
| $t_f$ | = 26 mm                | $Z_x = 7592,5 \text{ cm}^3$    |
| $t_w$ | = 14 mm                | $Z_y = 7740,2 \text{ cm}^3$    |
| $A$   | = 534,8 $\text{cm}^2$  | $r = 28 \text{ cm}$            |
| $q$   | = 419,8 kg/m           | $h = d - 2(t_f + r)$           |
| $I_x$ | = 303700 $\text{cm}^4$ | = 692 mm                       |
| $I_y$ | = 315700 $\text{cm}^4$ |                                |
| $f_y$ | = 410 MPa (BJ-55)      |                                |

Diagrams for Frame Object 30 (King Cross 800x300x14x26)



Gambar 4.17 Hasil Output SAP2000 Gaya Geser dan Momen Kolom

Dari hasil *output* SAP2000 kolom 30 lantai 1 didapat hasil :

$$M_{max} = 2678347542 \text{ N} = 2678347,542 \text{ kN}$$

$$V_{max} = 900536,63 \text{ N} = 900,537 \text{ kN}$$

- Kontrol terhadap tekan

Sayap

$$\frac{bf}{2tf} = \frac{300}{2.26} = 5,77$$

$$0,56 \sqrt{\frac{E}{f_y}} = 0,56 \sqrt{\frac{200000}{410}} = 12,37$$

Karena  $\frac{bf}{2tf} < 0,56 \sqrt{\frac{E}{f_y}}$ , maka elemen Kompak

Badan

$$\frac{he}{tw} = \frac{800 - 2(28 + 26 + 14)}{14} = 47,43$$

$$1,49 \sqrt{\frac{E}{f_y}} = 1,49 \sqrt{\frac{200000}{410}} = 32,91$$

Karena  $\frac{he}{tw} < 1,49 \sqrt{\frac{E}{f_y}}$ , maka elemen Non Kompak

- Menentukan panjang efektif kolom (*KL*) arah x

Kolom dianggap rangka bergoyang, karena terjadi displacement akibat beban gempa

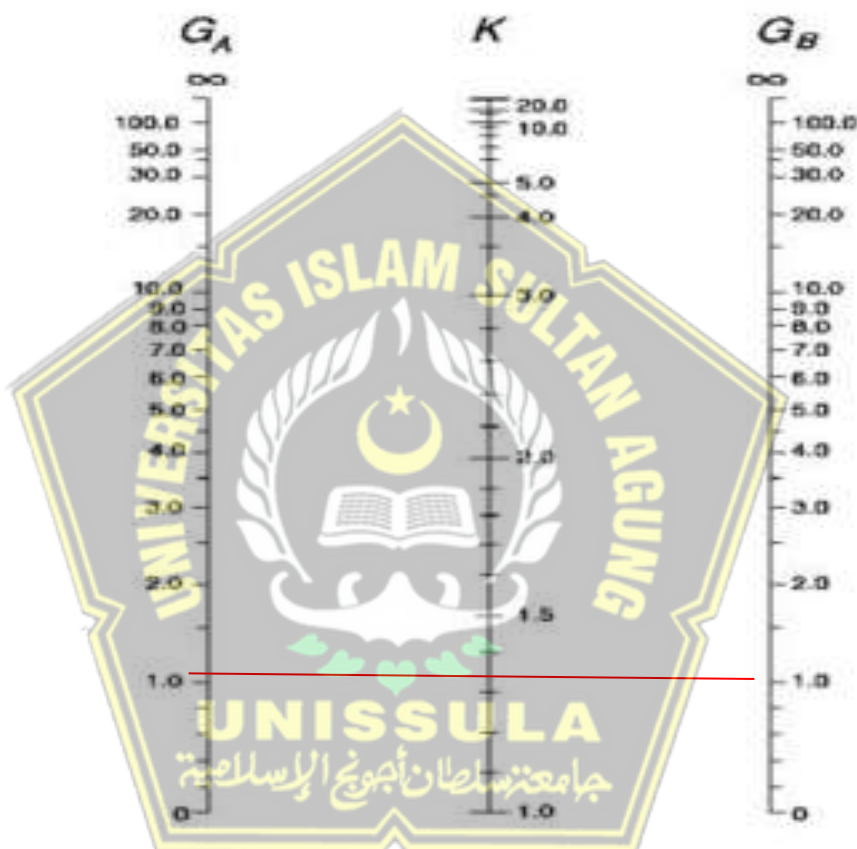
$$GA = \frac{\sum(EI/L)kolom}{\sum(EI/L)balok}$$

$$= \left( \frac{200000 \cdot 3037000000}{5600} \right) : \left( \frac{200000 \cdot 4110000000}{8000} \right)$$

$$= 1,055$$

$G_B$  = Untuk kolom yang terhubung kaku pada tumpuan jepit maka nilai  $G$  diambil sebesar : 1

Kemudian nilai  $K$  diperoleh dengan menggunakan nomogram untuk struktur bergoyang sebagai berikut :



Gambar 4.18 Nomogram untuk menghitung  $K$  arah x

Dari nomogram tersebut nilai  $K$  diperoleh sebesar : 1,35

Menurut SNI1729-2015 Rasio kelangsungan efektif diisyaratkan sebagai berikut :

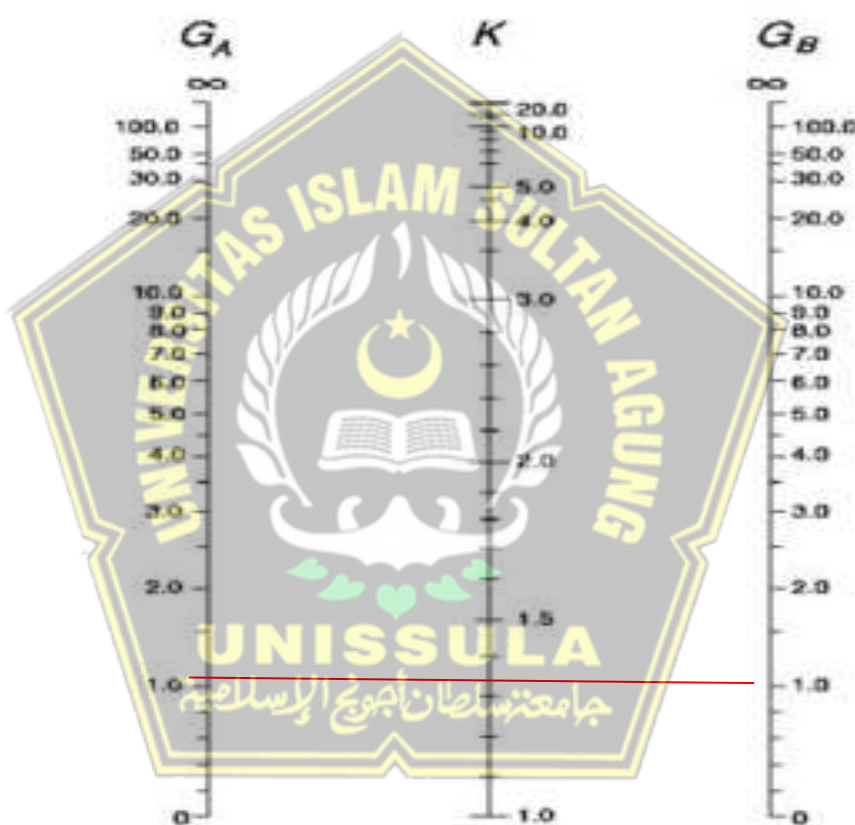
$$\frac{KL}{rx} = \frac{1,35 \times 5600}{238,3} = 31,73 < 200$$

- Menentukan panjang efektif kolom ( $KL$ ) arah y  
Kolom dianggap rangka bergoyang, karena terjadi displacement akibat beban gempa

$$\begin{aligned}
 GA &= \frac{\sum(EI/L)kolom}{\sum(EI/L)balok} \\
 &= \left( \frac{200000 \cdot 3037000000}{5600} \right) : \left( \frac{200000 \cdot 4110000000}{8000} \right) \\
 &= 1,055
 \end{aligned}$$

GB = Untuk kolom yang terhubung kaku pada tumpuan jepit maka nilai G diambil sebesar : 1

Kemudian nilai K diperoleh dengan menggunakan nomogram untuk struktur bergoyang sebagai berikut :



Gambar 4.19 Nomogram untuk menghitung  $K$  arah y

Dari nomogram tersebut nilai  $K$  diperoleh sebesar : 1,35

Menurut SNI1729-2015 Rasio kelangsungan efektif diisyaratkan sebagai berikut :

$$\frac{KL}{ry} = \frac{1,35 \times 5600}{242,7} = 31,15 < 200$$

Rasio kelangsungan efektif  $x = 31,73 > y = 31,15$  maka arah x menentukan tekuk, sehingga dalam perhitungan selanjutnya ditinjau arah x

- Perhitungan tegangan kritis tekuk dan lentur

$$\frac{KL}{r} \leq 4,71 \sqrt{\frac{E}{Q \cdot Fy}}$$

Dimana :

$$Q = \text{Faktor reduksi neto} = 1$$

$$\frac{KL}{r} = \frac{1,35 \cdot 5600}{280} = 27$$

$$4,71 \sqrt{\frac{E}{Q \cdot Fy}} = 4,71 \sqrt{\frac{200000}{1.410}} = 104,03$$

Karena  $\frac{KL}{r} < 4,71 \sqrt{\frac{E}{Q \cdot Fy}}$ , maka  $F_{cr}$  dirumuskan :

$$F_{cr} = Q (0,658^{Qf_y/Fe}) f_y$$

Dimana :

$f_e$  = tegangan tekuk kritis elastis (MPa). Untuk tekuk kritis lentur  $f_e$  dihitung dengan persamaan :

$$f_e = \frac{\pi^2 \cdot E}{(\frac{KL}{rx})^2} = \frac{3,14^2 \cdot 200000}{\left(\frac{1,35 \times 5600}{238,3}\right)^2} = 1958,615 \text{ MPa}$$

Maka tegangan kritis sebagai berikut :

$$F_{cr} = 1 \left( 0,658^{\frac{1.410}{1958,615}} \right) \cdot 410 = 375,56 \text{ MPa}$$

Sedangkan untuk profil struktur simetris ganda tegangan kritis tekuk dan puntir dihitung dengan nilai  $f_e$  sebagai berikut :

$$f_e = \left( \frac{\pi^2 \cdot ECW}{(KL)^2} + GJ \right) \frac{1}{Ix+Iy}$$

Dimana :

$$G = \text{Modulus elastisitas geser baja} = 77200 \text{ MPa}$$

$$J = \text{Konstanta torsi}$$

$$= \frac{1}{3} \times h \times tw^3 + 2 \left( \frac{1}{3} \times bf \times tf^3 \right)$$

$$= \frac{1}{3} \times 692 \times 14^3 + 2 \left( \frac{1}{3} \times 300 \times 26^3 \right)$$

$$= 4148149,4 \text{ mm}^4$$

$$\begin{aligned}
C_w &= \text{Konstanta pilin} \\
&= 1/4 \cdot h^2 \cdot I_y \\
&= 1/4 \cdot 692^2 \cdot 3157000000 \\
&= 377943412000000 \text{ mm}^6
\end{aligned}$$

Maka nilai  $F_e$  adalah

$$\begin{aligned}
F_e &= \left( \frac{3,14^2 \cdot 200000 \cdot 377943412000000}{(7560)^2} + 77200 \cdot 4148149,4 \right) \\
&\quad \frac{1}{3037000000+3157000000} \\
&= 21052435,52
\end{aligned}$$

Dengan memperoleh nilai  $F_e$ , maka tegangan kritis :

$$\begin{aligned}
F_{cr} &= 1 \left( 0,658 \frac{1,410}{21052435,52} \right) \cdot 410 \\
&= 410 \text{ MPa}
\end{aligned}$$

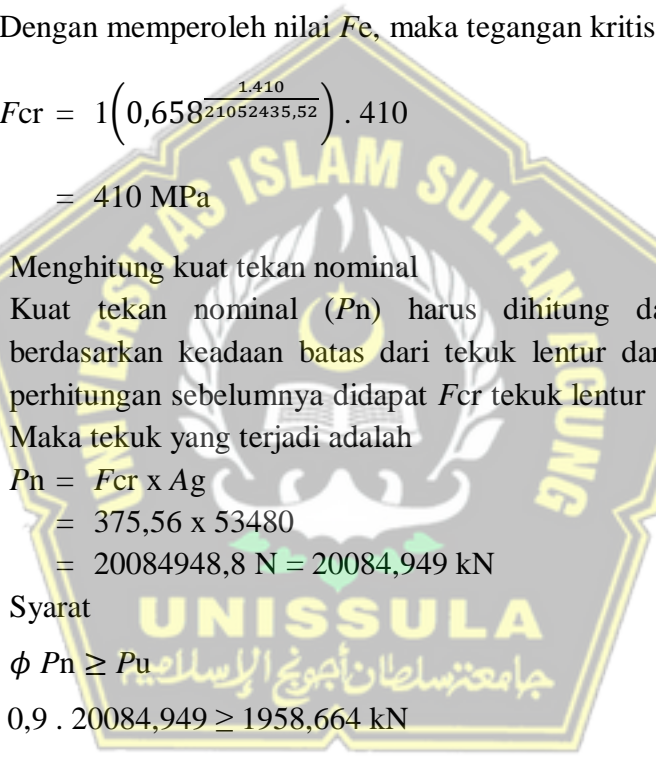
- Menghitung kuat tekan nominal

Kuat tekan nominal ( $P_n$ ) harus dihitung dari nilai terendah berdasarkan keadaan batas dari tekuk lentur dan tekuk torsi. Dari perhitungan sebelumnya didapat  $F_{cr}$  tekuk lentur  $< F_{cr}$  tekuk puntir. Maka tekuk yang terjadi adalah

$$\begin{aligned}
P_n &= F_{cr} \times A_g \\
&= 375,56 \times 53480 \\
&= 20084948,8 \text{ N} = 20084,949 \text{ kN}
\end{aligned}$$

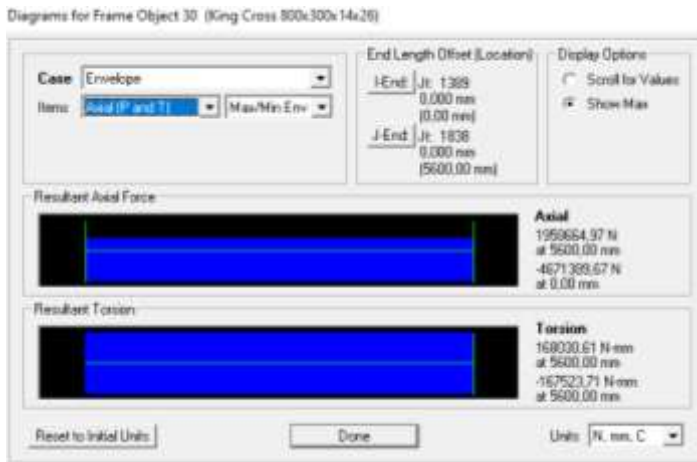
Syarat

$$\phi P_n \geq P_u$$


  
 جامعیت سلطان احمد بن عبدالعزیز

$$0,9 \cdot 20084,949 \geq 1958,664 \text{ kN}$$

$$18076,454 \text{ kN} \geq 1958,664 \text{ kN}$$



Gambar 4.20 Hasil Output SAP2000 Gaya Aksial Kolom

- Kontrol Lentur Penampang

Kekuatan lentur desain penampang didesain dengan keadaan momen plastis apabila :

Sayap

$$\lambda_f = \frac{bf}{2tf} = \frac{300}{2.26} = 5,77$$

$$\lambda_{pf} = 0,38 \sqrt{\frac{E}{fy}} = 0,38 \sqrt{\frac{200000}{410}} = 8,39$$

Karena  $\lambda_f < \lambda_{pf}$ , sayap profil kompak

Badan

$$\lambda_w = \frac{h}{tw} = \frac{692}{14} = 49,42$$

$$\lambda_{pw} = 3,76 \sqrt{\frac{E}{fy}} = 3,76 \sqrt{\frac{200000}{410}} = 83,04$$

Karena  $\lambda_w < \lambda_{pw}$ , badan profil kompak

Maka penampang didesain dengan keadaan momen plastis

$$M_n = M_p = f_y \times Z_x$$

$$= 410 \times 7592500$$

$$= 3112925000 \text{ Nmm} = 3112925 \text{ kN}$$

Syarat :

$$\phi M_n \geq M_u$$

$$0,9 \times 3112925 \geq 2678347,542$$

$$2801632,5 \text{ kN} \geq 2678347,542 \text{ kN}$$

- Kontrol Pengaruh Tekuk Lateral

$$L = 5600 \text{ mm}$$

$$L_p = 1,76ry \sqrt{\frac{E}{fy}} = 1,76 \cdot 243 \sqrt{\frac{200000}{410}}$$

$$= 9445,871 \text{ mm}$$

$$Lr = 1,95 r_{ts} \frac{E}{0,7.Fy} \sqrt{\frac{Jc}{SxHo} + \sqrt{\left(\frac{Jc}{SxHo}\right)^2 + 6,76 \left(\frac{0,7Fy}{E}\right)^2}}$$

Dimana :

$$r_{ts} = \frac{I_{yho}}{2Sx} = \frac{3157000000 . 774}{2 . 7592500} = 160916,56 \text{ mm}^4$$

$J$  = Konstanta torsi

$$\begin{aligned} &= \frac{1}{3} \times h \times tw^3 + 2 \left( \frac{1}{3} \times bf \times tf^3 \right) \\ &= \frac{1}{3} \times 692 \times 14^3 + 2 \left( \frac{1}{3} \times 300 \times 26^3 \right) \\ &= 4148149,4 \text{ mm}^4 \end{aligned}$$

$G$  = Modulus elastisitas geser baja = 77200 MPa

$c$  = Untuk profil simetris ganda = 1

Didapat

$$Lr = 640138,35 \text{ mm}$$

Karena :

$L < L_p$  termasuk bentang pendek

$L_p < L < L_r$  termasuk bentang menengah

$L > L_r$  termasuk bentang panjang

Dari hasil perhitungan didapat :

$$L = 5600 \text{ mm} < L_p = 9445,871 \text{ mm} < L_r = 640138,35 \text{ mm}$$

Maka penampang termasuk bentang pendek sehingga tidak terjadi tekuk torsi lateral pada kolom.

- Interaksi gaya aksial dan momen lentur

$$P_u = 1958664,97 \text{ N} = 1958,664 \text{ kN}$$

$$P_n = 20084948,8 \text{ N} = 20084,949 \text{ kN}$$

$$\text{Jika, } \frac{P_u}{P_n} = \frac{1958,664}{20084,949} = 0,09 < 0,2 \text{ Maka,}$$

$$\frac{P_u}{P_n} + \left( \frac{M_u + Mu}{M_n + Mn} \right) \leq 1$$

$$0,09 + \left( \frac{2678347542}{3112925000} \right) \leq 1$$

$$0,95 \leq 1 \text{ (Aman)}$$

Maka kolom King Cross 800x300x14x26 kuat memikul beban tekan dan momen lentur.

## 4.6 Perencanaan Sambungan

### 4.6.1 Sambungan Balok Anak dengan Balok Induk

Sambungan Menggunakan Baja Siku

Profil Balok Induk 900x300x16x28

$$h = 900 \text{ mm} \quad I_x = 411000 \text{ cm}^4$$

$$b = 300 \text{ mm} \quad I_y = 12600 \text{ cm}^4$$

|       |   |                        |       |   |                      |
|-------|---|------------------------|-------|---|----------------------|
| $t_w$ | = | 16 mm                  | $i_x$ | = | 36,42 cm             |
| $t_f$ | = | 28 mm                  | $i_y$ | = | 6,38 cm              |
| $r_0$ | = | 28 mm                  | $S_x$ | = | 9133 cm <sup>3</sup> |
| $A$   | = | 309,80 cm <sup>2</sup> | $S_y$ | = | 840 cm <sup>3</sup>  |
| Berat | = | 243,19 Kg/m            |       |   |                      |

#### Profil Balok Anak WF 450x200x9x14

|       |   |                      |       |   |                        |
|-------|---|----------------------|-------|---|------------------------|
| $h$   | = | 450 mm               | $I_x$ | = | 33,500 cm <sup>4</sup> |
| $b$   | = | 200 mm               | $I_y$ | = | 1870 cm <sup>4</sup>   |
| $t_w$ | = | 19mm                 | $i_x$ | = | 18,6 cm                |
| $t_f$ | = | 14 mm                | $i_y$ | = | 4,40 cm                |
| $r_0$ | = | 16 mm                | $S_x$ | = | 1490 cm <sup>3</sup>   |
| $A$   | = | 98,6 cm <sup>2</sup> | $S_y$ | = | 187 cm <sup>3</sup>    |
| Berat | = | 76 Kg/m              |       |   |                        |

Digunakan pelat siku sebagai penyambung (75x75x7)

Dimensi penampang :

$b = 75 \text{ mm}$ ,  $t = 7 \text{ mm}$

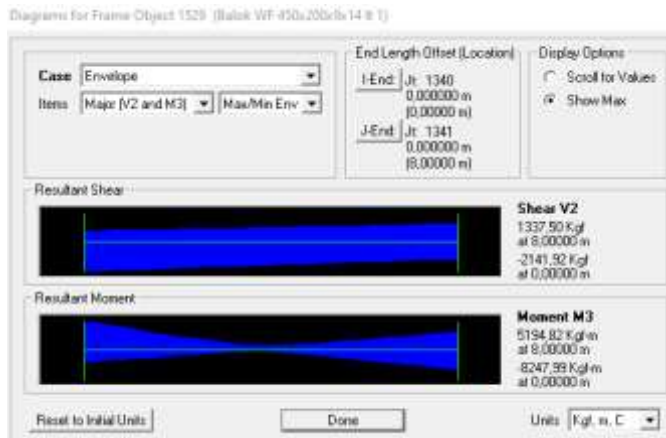
penampang yang dilemahkan :

$w = 40 \text{ mm}$ ,  $d = 23 \text{ mm}$

Hasil analisis dari Program SAP2000

Balok anak WF 450x200x9x14

$V_u = 1337,50 \text{ Kg} = 1,3375 \text{ Ton} = 13116,39 \text{ N}$



Gambar 4.21 Hasil *Output* SAP2000 Gaya Geser dan Momen Balok Anak

|                                    |  |
|------------------------------------|--|
| Material baja B37 $f_y$            | = 410 MPa  |
| $f_u$                              | = 550 MPa  |
| Tegangan residu ( $f_r$ )          | = 70 MPa (penampang digilas)                                 |
| Mutu Beton ( $f_c'$ )              | = 30 MPa   |
| Tebal pelat beton                  | = 15 cm  |
| Modulus Elastiitas baja            | = 200000 MPa   |
| Modulus Elastisitas beton          | = 25742,96 MPa   |
| Baut yang digunakan                | = A325   |
| - Kuat tarik minimum ( $f_{ub}$ )  | = 620 MPa  |
| - Tegangan geser baut ( $f_{nv}$ ) | = 372 MPa  |
| - Diameter baut ( $\emptyset$ )    | = 16 mm  |
| - Diameter lubang baut ( $dt$ )    | = $\emptyset + 2 = 16 + 2 = 18$ mm                           |
| - Luas baut ( $Ab$ )               | = $1/4 \cdot \pi \cdot \emptyset^2 = 254,34$ mm <sup>2</sup> |

- Kuat Nominal Tumpu Pelat

Pada WF 900x300x16x28

Kuat geser pelat di belakang bidang tumpu

$$R_n = 1,2 \times l_c \times t_{pweb} \times f_u \leq 2,4 \times d \times t_w \times f_u$$

$$R_{nv} = 1,2 \times l_c \times t_{pweb} \times f_u$$

$$= 1,2 \times 30 \times 16 \times 550 = 316800 \text{ N}$$

$$\phi R_{nv} = 0,75 \times 213120 \text{ N} = 237600 \text{ N}$$

kuat tumpu pelat ketika memikul baut

$$R_{nt} = 2,4 \times d_l \times t_w \times f_u$$

$$= 2,4 \times 18 \times 16 \times 550 = 380160 \text{ N}$$

$$\phi R_{nt} = 0,75 \times 380160 \text{ N} = 285120 \text{ N}$$

syarat :

$$\phi R_{nv} < \phi R_{nt}$$

$$237600 \text{ N} < 285120 \text{ N} \dots \text{diambil nilai terkecil}$$

$$\text{Diambil nilai kuat nominal yang terkecil} = 237600 \text{ N} = 2376 \text{ T}$$

- Pada WF 450x200x9x14

Kuat geser pelat di belakang bidang tumpu

$$R_n = 1,2 \times l_c \times t_{pweb} \times f_u \leq 2,4 \times d \times t_w \times f_u$$

$$\begin{aligned} R_{nv} &= 1,2 \times l_c \times t_{pweb} \times f_u \\ &= 1,2 \times 30 \times 9 \times 550 = 178200 \text{ N} \end{aligned}$$

$$\phi R_{nv} = 0,75 \times 178200 \text{ N} = 133650 \text{ N}$$

kuat tumpu pelat ketika memikul baut

$$\begin{aligned} R_{nt} &= 2,4 \times d_l \times t_w \times f_u \\ &= 2,4 \times 18 \times 9 \times 550 = 213840 \text{ N} \end{aligned}$$

$$\phi R_{nt} = 0,75 \times 213840 \text{ N} = 160380 \text{ N}$$

syarat :

$$\phi R_{nv} < \phi R_{nt}$$

$$133650 \text{ N} < 160380 \text{ N} \dots \text{diambil nilai terkecil}$$

$$\text{Diambil nilai kuat nominal yang terkecil} = 133650 \text{ N} = 1336,5 \text{ T}$$

- Pada L 75x75x7

Kuat geser pelat di belakang bidang tumpu

$$R_n = 1,2 \times l_c \times t_{pweb} \times f_u \leq 2,4 \times d \times t_w \times f_u$$

$$\begin{aligned} R_{nv} &= 1,2 \times l_c \times t_{pweb} \times f_u \\ &= 1,2 \times 30 \times 7 \times 550 = 138600 \text{ N} \end{aligned}$$

$$\phi R_{nv} = 0,75 \times 138600 \text{ N} = 103950 \text{ N}$$

Kuat tumpu pelat ketika memikul baut

$$\begin{aligned} R_{nt} &= 2,4 \times d_l \times t_w \times f_u \\ &= 2,4 \times 18 \times 7 \times 550 = 166320 \text{ N} \end{aligned}$$

$$\phi R_{nt} = 0,75 \times 166320 \text{ N} = 124740 \text{ N}$$

syarat :

$$\phi R_{nv} < \phi R_{nt}$$

$$103950\text{N} < 124740\text{ N}$$

Maka kuat tumpu diambil yang terkecil = 1039,5 T

- Kuat Nominal Geser Baut dengan 2 bidang Geser

$$\begin{aligned} R_{nv} &= f_{nv} \times A_b \times m \\ &= 372 \times 254,34 \times 2 = 189228,96 \text{ N} = 18,92 \text{ T/baut} \end{aligned}$$

$$\phi R_{nv} = 0,75 \times 18,92 \text{ T/baut} = 14,19 \text{ T/baut}$$

- Kuat Nominal Geser Baut dengan 1 bidang Geser

$$\begin{aligned} R_{nv} &= f_{nv} \times A_b \times m \\ &= 372 \times 254,34 \times 1 = 94614,48 \text{ N} = 9,46 \text{ T/baut} \end{aligned}$$

$$\phi R_{nv} = 0,75 \times 9,46 \text{ T/baut} = 7,09 \text{ T/baut}$$

dari hasil kuat tumpu profil dan geser baut, maka kuat geser baut menentukan.

Perhitungan Jumlah Baut

$$n = \frac{1,3375}{14,19} = 0,1 \approx 1 \text{ baut}$$

Maka digunakan 4 buah baut pada profil WF 450x200x9x14

- Kontrol Kekuatan Baut Terhadap Geser

$$\begin{aligned} V_u &= \frac{R_u}{n} < \phi R_{nv} \\ &= \frac{1,3375}{4} = 0,33 \text{ Ton} < 14,19 \text{ Ton} \dots \text{OK!} \end{aligned}$$

- Luasan Geser Pada pelat Siku

$$\begin{aligned} l &= S + S + S_1 \\ &= 100 + 100 + 100 + 25 = 325 \text{ mm} \end{aligned}$$

$$\text{Luas bruto} = A_{gv} = t_p \cdot l$$

$$= 7 \cdot 325 = 2275 \text{ mm}^2$$

$$\text{Lebar lubang } (l_b) = d_b + 2 = 16 + 2 = 18 \text{ mm}$$

$$\begin{aligned} l_{b \text{ total}} &= l_b \cdot \text{jumlah lubang} \\ &= 18 \times 4 \\ &= 72 \text{ mm}^2 \end{aligned}$$

$$\text{Luas Netto } A_{nv} = (l - l_{b \text{ total}}) \cdot t_p$$

$$= (325 - 63) \cdot 7$$

$$= 1771 \text{ mm}^2$$

Syarat :  $A_{nv} < 85\% \cdot A_{gv}$

$$1771 < 85\% \cdot 2275$$

$$1771 < 1933,75 \dots \text{OK!}$$

- Luasan Tarik pada Pelat Siku

$$\begin{aligned}\text{Luas Bruto} &= A_{gt} = t_p \cdot b - w \\ &= 7 \cdot (75 - 40) \\ &= 245 \text{ mm}^2\end{aligned}$$

$$\text{Lebar lubang } (l_b) = d_b + 2 = 16 + 2 = 18 \text{ mm}$$

$$\begin{aligned}l_{b \text{ total}} &= l_b \cdot \text{jumlah lubang} \\ &= 18 \times 4 \\ &= 72 \text{ mm}^2\end{aligned}$$

$$\begin{aligned}\text{Luas Netto} &= A_{nt} = Ag - n.d.t \\ &= 245 - 2 \cdot 16 \cdot 7 \\ &= 21 \text{ mm}^2\end{aligned}$$

Syarat :  $A_{nt} < 85\% \cdot A_{gt}$

$$21 < 85\% \cdot 245$$

$$21 < 208,3 \dots \text{OK!}$$

Kuat nominal berdasarkan keruntuhan / faktur dan tegangan putus

$$\begin{aligned}R_{nF} &= 0,6 \cdot f_y \cdot A_{nv} + U_{bs} \cdot f_u \cdot A_{nt} \\ &= 0,6 \cdot 410 \cdot 1771 + 1 \cdot 550 \cdot 21 \\ &= 447216 \text{ N}\end{aligned}$$

Kuat nominal berdasarkan leleh dan tegangan putus

$$\begin{aligned}R_{nL} &= 0,6 \cdot f_y \cdot A_{gv} + U_{bs} \cdot f_u \cdot A_{nt} \\ &= 0,6 \cdot 410 \cdot 2275 + 1 \cdot 550 \cdot 21 \\ &= 571200 \text{ N}\end{aligned}$$

Syarat :  $R_{nF} \leq R_{nL}$

$$447216 \text{ N} \leq 571200 \text{ N}$$

Konfigurasi balok geser yang menentukan adalah yang menghasilkan tanahan geser terkecil, maka kuat leleh pelat menentukan.

$$\begin{aligned}\phi \cdot R_n &= 0,75 \cdot 571200 \\ &= 428400 \text{ N} = 50456,8 \text{ Kg}\end{aligned}$$

Syarat :

$$\phi \cdot R_n > R_u$$

$$50456,8 > 13116,39 \dots \text{OK!}$$

- Periksa Kekuatan Geser Balok Pelat

$$R_n = 0,6 \cdot F_u \cdot A_{nv} + U_{bs} \cdot F_u \cdot A_{nt} \leq 0,6 \cdot F_y \cdot A_{gv} + U_{bs} \cdot F_u \cdot A_{nt}$$

Bila tegangan tarik merata  $U_{bs} = 1$

Bila tegangan tarik tidak merata  $U_{bs} = 0,5$

Pada Balok WF 900x200x16x28

$$R_n = 0,6 \cdot 550 \cdot 1771 + 1 \cdot 550 \cdot 21 \leq 0,6 \cdot 410 \cdot 2275 + 1 \cdot 550 \cdot 21$$

$R_n = 397980 \leq 571200$ , nilai melebihi sehingga cukup ambil nilai batas max, sehingga diambil nilai  $R_n = 571200 \text{ N}$

Syarat :

$$\phi \cdot R_n > R_u$$

$$0,75 \cdot 571200 > 13116,39$$

$$428400 > 13116,39 \text{ OK!}$$

Kontrol Kekuatan Baut Terhadap Tarik

Jarak baut ke tepi pelat ( $S_1$ ) = 25 mm

Jarak antar baut ( $S$ ) = 100 mm

$$d_4 = 320 \text{ mm}$$

$$d_3 = 220 \text{ mm}$$

$$d_2 = 120 \text{ mm}$$

$$d_1 = 20 \text{ mm}$$

$$\begin{aligned} d_t &= d_1 + d_2 + d_3 + d_4 \\ &= 20 + 120 + 220 + 320 = 680 \text{ mm} \end{aligned}$$

Terhadap Momen akibat reaksi dan jarak baut

Maka momen yang terjadi :

$$M_u = w \cdot V_u$$

$$= 40 \cdot 13116,39 = 524655,6 \text{ Nmm}$$

Maka gaya tarik yang terjadi adalah :

$$T_{u1} = \frac{M_u \cdot d_1}{d_t^2} = \frac{524655,6 \cdot 20}{680^2} = 22,7 \text{ N}$$

$$T_{u2} = \frac{M_u \cdot d_1}{d_t^2} = \frac{524655,6 \cdot 120}{680^2} = 136,2 \text{ N}$$

$$T_{u3} = \frac{M_u \cdot d_1}{d_t^2} = \frac{524655,6 \cdot 220}{680^2} = 249,6 \text{ N}$$

$$T_{u4} = \frac{M_u \cdot d_1}{d_t^2} = \frac{524655,6 \cdot 320}{680^2} = 363,1 \text{ N}$$

Gaya tarik 1 baut pada profil

$$\begin{aligned} T_b &= A_b \cdot f_{ub} \\ &= 254,34 \cdot 620 \\ &= 157690,8 \text{ N} \end{aligned}$$

Karena dalam satu baris terdapat 2 buah baut, maka

$$\begin{aligned} T_b &= 2 \cdot T_b \\ &= 2 \cdot 157690,8 = 315381,6 \text{ N} \end{aligned}$$

Tahanan nominal untuk 2 baut

$$\begin{aligned} T_d &= \phi \cdot T_b \\ &= 0,75 \cdot 157690,8 \text{ N} \\ &= 118268,1 \text{ N} \end{aligned}$$

Syarat :

Terhadap Momen akibat reaksi dan jarak baut

$$T_u < T_d$$

$$T_{u1} = 22,7 \text{ N} < 118268,1 \text{ N} \dots \text{OK!}$$

$$T_{u2} = 136,2 \text{ N} < 118268,1 \text{ N} \dots \text{OK!}$$

$$T_{u3} = 249,6 \text{ N} < 118268,1 \text{ N} \dots \text{OK!}$$

$$T_{u4} = 363,1 \text{ N} < 118268,1 \text{ N} \dots \text{OK!}$$

Kontrol Kekuatan baut Terhadap Momen

$$\begin{aligned} \Sigma T &= T_{u1} + T_{u2} + T_{u3} + T_{u4} \\ &= 22,7 \text{ N} + 136,2 \text{ N} + 249,6 \text{ N} + 363,1 \text{ N} \\ &= 771,6 \text{ N} \end{aligned}$$

$$Td \cdot d_1 = 187062,855 \text{ N} \cdot 20 \text{ mm} = 3741257,1 \text{ Nmm}$$

$$Td \cdot d_2 = 187062,855 \text{ N} \cdot 120 \text{ mm} = 22447542,6 \text{ Nmm}$$

$$Td \cdot d_3 = 187062,855 \text{ N} \cdot 220 \text{ mm} = 41153828,1 \text{ Nmm}$$

$$Td \cdot d_4 = 187062,855 \text{ N} \cdot 320 \text{ mm} = \underline{\underline{59860113,6 \text{ Nmm}}} +$$

$$\sum_{i=1}^n Td \cdot di = 127202741,4 \text{ Nmm}$$

Garis Netral pada Pelat Siku

$$a = \frac{\Sigma T}{f_{yp} \cdot b} = \frac{771,6}{410,75} = 0,025 \text{ mm} < 7 \text{ mm}$$

Momen Rencana

$$\begin{aligned}
 M_R &= \phi \cdot M_n = \frac{0,9 \cdot f_{yp} \cdot a^2 \cdot b}{2} + \sum_{i=1}^n Td \cdot di \\
 &= \frac{0,9 \cdot 410 \cdot 0,025^{2,75}}{2} + 127202741,4 \\
 &= 127202750,05 \text{ Nmm}
 \end{aligned}$$

Syarat :

$$Mu < \phi \cdot Mn$$

$$524655,6 \text{ Nmm} < 127202750,05 \text{ Nmm} \dots (\text{OK})$$

#### 4.6.2 Sambungan Kolom dengan Balok Induk

Menggunakan Sambungan *End Plate*

Profil Kolom *Kingcross* 800x300x18x26

|       |   |                       |       |   |                         |
|-------|---|-----------------------|-------|---|-------------------------|
| $h$   | = | 800 mm                | $I_x$ | = | 303,700 cm <sup>4</sup> |
| $b$   | = | 300 mm                | $I_y$ | = | 315,027 cm <sup>4</sup> |
| $t_w$ | = | 18 mm                 | $ix$  | = | 23,88 cm                |
| $t_f$ | = | 26 mm                 | $iy$  | = | 24,27 cm                |
| $r_0$ | = | 28 mm                 | $Sx$  | = | 7592,5 cm <sup>3</sup>  |
| $A$   | = | 543,8 cm <sup>2</sup> | $Sy$  | = | 7740,2 cm <sup>3</sup>  |
| Berat | = | 419,8 Kg/m            |       |   |                         |

Profil Balok Induk 900x300x16x28

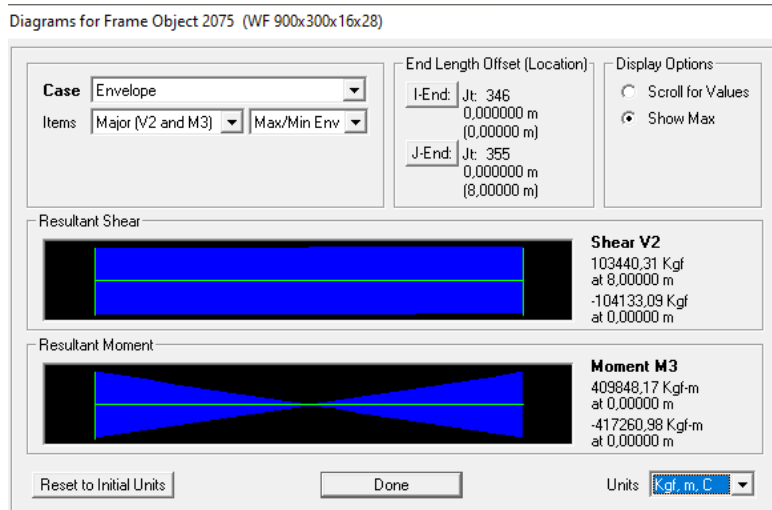
|       |   |                        |       |   |                        |
|-------|---|------------------------|-------|---|------------------------|
| $h$   | = | 900 mm                 | $I_x$ | = | 411000 cm <sup>4</sup> |
| $b$   | = | 300 mm                 | $I_y$ | = | 12600 cm <sup>4</sup>  |
| $t_w$ | = | 16 mm                  | $ix$  | = | 36,42 cm               |
| $t_f$ | = | 28 mm                  | $iy$  | = | 6,38 cm                |
| $r_0$ | = | 28 mm                  | $Sx$  | = | 9133 cm <sup>3</sup>   |
| $A$   | = | 309,80 cm <sup>2</sup> | $Sy$  | = | 840 cm <sup>3</sup>    |
| Berat | = | 243,19 Kg/m            |       |   |                        |

Hasil analisis dari Program SAP2000

Reaksi dan Momen pada Balok

$$Vu = 103440,31 \text{ Kg} = 103,44 \text{ Ton} = 1014402,9 \text{ N}$$

$$Mu = 409848,17 \text{ Kgm} = 4098481700 \text{ Nmm}$$



Gambar 4.22 Hasil Output SAP2000 Gaya Geser dan Momen Balok Induk

- Material baja B55  $f_y = 410 \text{ MPa}$   
 $f_u = 550 \text{ MPa}$
- Tegangan residu ( $f_r$ ) = 70 MPa (penampang digilas)
- Mutu Beton ( $f_c'$ ) = 30 MPa
- Tebal pelat beton = 15 cm
- Modulus Elastiitas baja = 200000 MPa
- Modulus Elastisitas beton = 25742,96 MPa
- Baut yang digunakan = A325
- Kuat tarik minimum ( $f_{ub}$ ) = 620 MPa
  - Tegangan geser baut ( $f_{nv}$ ) = 372 MPa
  - Diameter baut ( $\emptyset$ ) = 16 mm
  - Diameter lubang baut ( $dt$ ) =  $\emptyset + 2 = 16 + 2 = 18 \text{ mm}$
  - Luas baut ( $Ab$ ) =  $1/4 \cdot \pi \cdot \emptyset^2 = 254,34 \text{ mm}^2$
  - Kuat Nominal Tumpu  
 Pada WF 900x300x16x28  
 Kuat geser pelat di belakang bidang tumpu  

$$R_n = 1,2 \times l_c \times t_{pweb} \times f_u \leq 2,4 \times d \times t_w \times f_u$$

$$R_{nv} = 1,2 \times l_c \times t_{pweb} \times f_u$$

$$= 1,2 \times 30 \times 16 \times 550 = 316800 \text{ N}$$

$$\phi R_{nv} = 0,75 \times 213120 \text{ N} = 237600 \text{ N}$$

kuat tumpu pelat ketika memikul baut

$$\begin{aligned}R_{nt} &= 2,4 \times d_I \times t_w \times f_u \\&= 2,4 \times 18 \times 16 \times 550 = 380160 \text{ N}\end{aligned}$$

$$\phi R_{nt} = 0,75 \times 380160 \text{ N} = 285120 \text{ N}$$

syarat :

$$\phi R_{nv} < \phi R_{nt}$$

237600 N < 285120 N ...diambil nilai terkecil

Diambil nilai kuat nominal yang terkecil = 237600 N = 2376 T

Pada Kolom Kingcross 800x300x18x26

Kuat geser pelat di belakang bidang tumpu

$$R_n = 1,2 \times l_c \times t_{pweb} \times f_u \leq 2,4 \times d \times t_w \times f_u$$

$$\begin{aligned}R_{nv} &= 1,2 \times l_c \times t_{pweb} \times f_u \\&= 1,2 \times 30 \times 18 \times 550 = 356400 \text{ N}\end{aligned}$$

$$\phi R_{nv} = 0,75 \times 356400 \text{ N} = 267300 \text{ N}$$

kuat tumpu pelat ketika memikul baut

$$\begin{aligned}R_{nt} &= 2,4 \times d_I \times t_w \times f_u \\&= 2,4 \times 18 \times 18 \times 550 = 427680 \text{ N}\end{aligned}$$

$$\phi R_{nt} = 0,75 \times 427680 \text{ N} = 320760 \text{ N}$$

syarat :

$$\phi R_{nv} < \phi R_{nt}$$

267300 N < 320760 N ...diambil nilai terkecil

Diambil nilai kuat nominal yang terkecil = 267300 N = 2673 T

Pada Pelat Ujung / End Plate ( $t = 16\text{mm}$ )

Kuat geser pelat di belakang bidang tumpu

$$R_n = 1,2 \times l_c \times t_{pweb} \times f_u \leq 2,4 \times d \times t_w \times f_u$$

$$\begin{aligned}R_{nv} &= 1,2 \times l_c \times t_{pweb} \times f_u \\&= 1,2 \times 30 \times 16 \times 550 = 316800 \text{ N}\end{aligned}$$

$$\phi R_{nv} = 0,75 \times 316800 \text{ N} = 237600 \text{ N}$$

kuat tumpu pelat ketika memikul baut

$$\begin{aligned}R_{nt} &= 2,4 \times d_I \times t_w \times f_u \\&= 2,4 \times 18 \times 16 \times 550 = 380160 \text{ N}\end{aligned}$$

$$\phi R_{nt} = 0,75 \times 380160 \text{ N} = 285120 \text{ N}$$

syarat :

$$\phi R_{nv} < \phi R_{nt}$$

237600 N < 285120 N ...diambil nilai terkecil

Diambil nilai kuat nominal yang terkecil = 237600 N = 2376 T

- Kuat Nominal Geser Baut dengan 2 bidang Geser

$$\begin{aligned} R_{nv} &= f_{nv} \times A_b \times m \\ &= 372 \times 254,34 \times 2 = 189228,96 \text{ N} = 18,92 \text{ T/baut} \end{aligned}$$

$$\phi R_{nv} = 0,75 \times 18,92 \text{ T/baut} = 14,19 \text{ T/baut}$$

- Kuat Nominal Geser Baut dengan 1 bidang Geser

$$\begin{aligned} R_{nv} &= f_{nv} \times A_b \times m \\ &= 372 \times 254,34 \times 1 = 94614,48 \text{ N} = 9,46 \text{ T/baut} \end{aligned}$$

$$\phi R_{nv} = 0,75 \times 9,46 \text{ T/baut} = 7,09 \text{ T/baut}$$

maka geser diambil yang terkecil = 7,09 T/baut

dari hasil kuat tumpu profil dan geser baut, maka kuat geser baut menentukan.

- Perhitungan Jumlah Baut

$$n = \frac{103,44}{14,19} = 7,28 \approx 8 \text{ baut}$$

Maka digunakan 8 buah baut pada profil WF 900x300x16x28

- Kontrol Kekuatan Baut Terhadap Geser

$$\begin{aligned} V_u &= \frac{R_u}{n} < \phi R_{nv} \\ &= \frac{103,44}{8} = 12,93 \text{ Ton} < 14,19 \text{ Ton} \dots \text{OK!} \end{aligned}$$

Maka jumlah baut memenuhi kuat geser perlu

Menghitung jarak baut

Jarak tepi minimum untuk baut  $\emptyset 16 = 22 \text{ mm}$

$$S_{\min} < S_1 < 4t_p + 100 \text{ mm atau } 200 \text{ mm}$$

$$22 < S_1 < 4 \cdot 12 + 100 \text{ mm atau } 200 \text{ mm}$$

$$22 < 25 < 148 \text{ mm}$$

Jarak antar baut S untuk baut baut  $\emptyset 16$

$$2 \frac{2}{3} d_b < S < 15 t_p \text{ atau } 200 \text{ mm}$$

$21,33 < S < 15 \cdot 16$  atau  $200 \text{ mm}$

$21,33 < 100 < 240$  atau  $200 \text{ mm}$

Maka  $S = 100 \text{ mm}$

- Luasan Geser Pada pelat

$$\begin{aligned} l &= S + S + S_1 \\ &= 100 + 100 + 100 + 25 = 325 \text{ mm} \end{aligned}$$

$$\begin{aligned} \text{Luas bruto} &= A_{gv} = t_p \cdot l \\ &= 16 \cdot 325 = 5200 \text{ mm}^2 \end{aligned}$$

$$\text{Lebar lubang } (l_b) = d_b + 2 = 16 + 2 = 18 \text{ mm}$$

$$\begin{aligned} l_{b \text{ total}} &= l_b \cdot \text{jumlah lubang} \\ &= 18 \times 8 \\ &= 144 \text{ mm}^2 \end{aligned}$$

$$\begin{aligned} \text{Luas Netto } A_{nv} &= (l - l_{b \text{ total}}) \cdot t_p \\ &= (325 - 144) \cdot 16 \\ &= 1267 \text{ mm}^2 \end{aligned}$$

$$\text{Syarat : } A_{nv} < 85\% \cdot A_{gv}$$

$$2896 < 85\% \cdot 5200$$

$$2896 < 4420 \dots \text{OK!}$$

- Luasan Tarik pada Pelat

$$\begin{aligned} \text{Luas Bruto} &= A_{gt} = t_p \cdot l \\ &= 16 \cdot 325 = 5200 \text{ mm}^2 \end{aligned}$$

$$\text{Lebar lubang } (l_b) = d_b + 2 = 16 + 2 = 18 \text{ mm}$$

$$\begin{aligned} l_{b \text{ total}} &= l_b \cdot \text{jumlah lubang} \\ &= 18 \times 8 \\ &= 144 \text{ mm}^2 \end{aligned}$$

$$\begin{aligned} \text{Luas Netto} &= A_{nt} = A_{gt} - n.d.t \\ &= 5200 - 4 \cdot 16 \cdot 16 \\ &= 4176 \text{ mm}^2 \end{aligned}$$

$$\text{Syarat : } A_{nt} < 85\% \cdot A_{gt}$$

$$4176 < 85\% \cdot 5200$$

$$4176 < 4420 \dots \text{OK!}$$

Kuat nominal berdasarkan keruntuhan / faktur dan tegangan putus

$$\begin{aligned}R_{nF} &= 0,6 \cdot f_y \cdot A_{nv} + U_{bs} \cdot f_u \cdot A_{nt} \\&= 0,6 \cdot 410 \cdot 2896 + 1 \cdot 550 \cdot 4176 \\&= 3009216 \text{ N}\end{aligned}$$

Kuat nominal berdasarkan leleh dan tegangan putus

$$\begin{aligned}R_{nL} &= 0,6 \cdot f_y \cdot A_{gv} + U_{bs} \cdot f_u \cdot A_{nt} \\&= 0,6 \cdot 410 \cdot 5200 + 1 \cdot 550 \cdot 4176 \\&= 3576000 \text{ N}\end{aligned}$$

Syarat :  $R_{nF} \leq R_{nL}$

$$3009216 \text{ N} \leq 3576000 \text{ N}$$

Konfigurasi balok geser yang menentukan adalah yang menghasilkan tanahan geser terkecil, maka kuat leleh pelat menentukan.

$$\begin{aligned}\phi \cdot R_n &= 0,75 \cdot 3576000 \\&= 2682000 \text{ N} = 268200 \text{ Kg}\end{aligned}$$

Syarat :

$$\phi \cdot R_n > R_u$$

$$2682000 > 1014402,9 \dots \text{OK!}$$

- Periksa Kekuatan Geser Balok Pelat

$$R_n = 0,6 \cdot F_u \cdot A_{nv} + U_{bs} \cdot F_u \cdot A_{nt} \leq 0,6 \cdot F_y \cdot A_{gv} + U_{bs} \cdot F_u \cdot A_{nt}$$

Bila tegangan tarik merata  $U_{bs} = 1$

Bila tegangan tarik tidak merata  $U_{bs} = 0,5$

Pada Balok WF 900x200x16x28

$$R_n = 0,6 \cdot 550 \cdot 2896 + 1 \cdot 550 \cdot 4176 \leq 0,6 \cdot 410 \cdot 5200 + 1 \cdot 550 \cdot 4176$$

$R_n = 3252480 \leq 3576000$ , cukup ambil nilai batas max, sehingga diambil

nilai  $R_n = 3576000 \text{ N}$

Syarat :

$$\phi \cdot R_n > R_u$$

$$0,75 \cdot 3576000 > 1014402,9$$

$$2682000 > 1014402,9 \dots \text{OK!}$$

Kontrol Kekuatan Baut Terhadap Tarik

Jarak baut ke tepi pelat ( $S_1$ ) = 25 mm

Jarak antar baut ( $S$ ) = 100 mm

$$\begin{aligned}
d_4 &= 320 \text{ mm} \\
d_3 &= 220 \text{ mm} \\
d_2 &= 120 \text{ mm} \\
d_1 &= 20 \text{ mm} \\
d_t &= d_1 + d_2 + d_3 + d_4 \\
&= 20 + 120 + 220 + 320 = 680 \text{ mm}
\end{aligned}$$

Terhadap Momen akibat reaksi dan jarak baut

Maka momen yang terjadi :

$$\begin{aligned}
M_u &= w \cdot Vu \\
&= 40 \cdot 1014402,9 = 40576116 \text{ Nmm}
\end{aligned}$$

Maka gaya tarik yang terjadi adalah :

$$\begin{aligned}
T_{u1} &= \frac{M_u \cdot d_1}{d_t^2} = \frac{40576116.20}{680^2} = 1755 \text{ N} \\
T_{u2} &= \frac{M_u \cdot d_1}{d_t^2} = \frac{40576116.120}{680^2} = 10530,1 \text{ N} \\
T_{u3} &= \frac{M_u \cdot d_1}{d_t^2} = \frac{40576116.220}{680^2} = 19305,2 \text{ N} \\
T_{u4} &= \frac{M_u \cdot d_1}{d_t^2} = \frac{40576116.320}{680^2} = 28080,4 \text{ N}
\end{aligned}$$

Gaya tarik 1 baut pada profil

$$\begin{aligned}
T_b &= A_b \cdot f_{ub} \\
&= 254,34 \cdot 620 \\
&= 157690,8 \text{ N}
\end{aligned}$$

Karena dalam satu baris terdapat 2 buah baut, maka

$$\begin{aligned}
T_b &= 2 \cdot T_b \\
&= 2 \cdot 157690,8 = 315381,6 \text{ N}
\end{aligned}$$

Tahanan nominal untuk 2 baut

$$\begin{aligned}
T_d &= \phi \cdot T_b \\
&= 0,75 \cdot 315381,6 \text{ N} \\
&= 236536,2 \text{ N}
\end{aligned}$$

Syarat :

Terhadap Momen akibat reaksi dan jarak baut

$$T_u < T_d$$

$$T_{u1} = 1755 \text{ N} < 236536,2 \text{ N} \dots \text{OK!}$$

$$T_{u2} = 10530,1 \text{ N} < 236536,2 \text{ N} \dots \text{OK!}$$

$$T_{u3} = 19305,2 \text{ N} < 236536,2 \text{ N} \dots \text{OK!}$$

$$T_{u4} = 28080,4 \text{ N} < 236536,2 \text{ N} \dots \text{OK!}$$

Kontrol Kekuatan baut Terhadap Momen

$$\begin{aligned}\Sigma T &= T_{u1} + T_{u2} + T_{u3} + T_{u4} \\ &= 1755 \text{ N} + 10530,1 \text{ N} + 19305,2 \text{ N} + 28080,4 \text{ N} \\ &= 59670,7 \text{ N}\end{aligned}$$

$$Td \cdot d_1 = 236536,2 \text{ N} \cdot 20 \text{ mm} = 4730724 \text{ Nmm}$$

$$Td \cdot d_2 = 236536,2 \text{ N} \cdot 120 \text{ mm} = 28384344 \text{ Nmm}$$

$$Td \cdot d_3 = 236536,2 \text{ N} \cdot 220 \text{ mm} = 52037964 \text{ Nmm}$$

$$\begin{aligned}Td \cdot d_4 &= 236536,2 \text{ N} \cdot 320 \text{ mm} = \underline{75691584 \text{ Nmm}} + \\ &\quad \sum_{i=1}^n Td \cdot di = 160844616 \text{ Nmm}\end{aligned}$$

Garis Netral pada Pelat

$$a = \frac{\Sigma T}{f_{yp} \cdot b} = \frac{59670,7}{410,16} = 9,09 \text{ mm} < 16 \text{ mm}$$

Momen Rencana

$$\begin{aligned}M_R = \phi \cdot M_n &= \frac{0,9 \cdot f_{yp} \cdot a^2 \cdot b}{2} + \sum_{i=1}^n Td \cdot di \\ &= \frac{0,9 \cdot 410,9 \cdot 0,09^2 \cdot 16}{2} + 160844616 \\ &= 161088534,15 \text{ Nmm}\end{aligned}$$

Syarat :

$$Mu < \phi \cdot Mn$$

$$40576116 \text{ Nmm} < 161088534,15 \text{ Nmm} \dots \text{OK!}$$

#### 4.6.3 Sambungan Bresing dengan Balok Induk

Menggunakan Sambungan *End Plate*

Profil Bracing WF 500x200x10x26

$$h = 500 \text{ mm} \quad I_x = 47800 \text{ cm}^4$$

$$b = 200 \text{ mm} \quad I_y = 2140 \text{ cm}^4$$

$$t_w = 10 \text{ mm} \quad ix = 20,5 \text{ cm}$$

$$t_f = 26 \text{ mm} \quad iy = 4,43 \text{ cm}$$

$$r_0 = 20 \text{ mm} \quad Sx = 1910 \text{ cm}^3$$

$$A = 114,23 \text{ cm}^2 \quad Sy = 214 \text{ cm}^3$$

$$\text{Berat} = 89,6 \text{ Kg/m}$$

### Profil Balok Induk 900x300x16x28

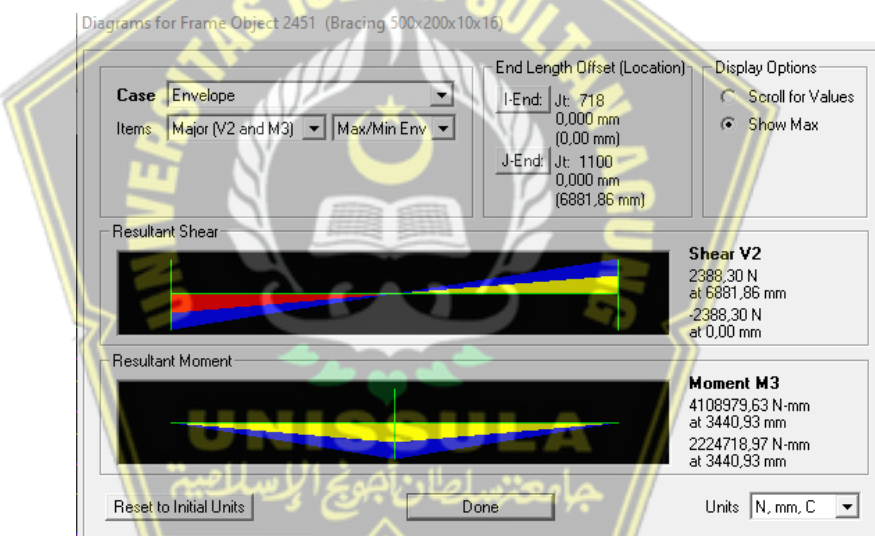
|       |   |                        |       |   |                        |
|-------|---|------------------------|-------|---|------------------------|
| $h$   | = | 900 mm                 | $I_x$ | = | 411000 cm <sup>4</sup> |
| $b$   | = | 300 mm                 | $I_y$ | = | 12600 cm <sup>4</sup>  |
| $t_w$ | = | 16 mm                  | $i_x$ | = | 36,42 cm               |
| $t_f$ | = | 28 mm                  | $i_y$ | = | 6,38 cm                |
| $r_0$ | = | 28 mm                  | $S_x$ | = | 9133 cm <sup>3</sup>   |
| $A$   | = | 309,80 cm <sup>2</sup> | $S_y$ | = | 840 cm <sup>3</sup>    |
| Berat | = | 243,19 Kg/m            |       |   |                        |

Hasil analisis dari Program SAP2000

Reaksi dan Momen pada Bresing

$$V_u = 2388,3 \text{ N} = 2,39 \text{ Ton}$$

$$M_u = 4108979,63 \text{ Nmm}$$



Gambar 4.23 Hasil Output SAP2000 Gaya Geser dan Momen Bresing

$$\text{Material baja B55 } f_y = 250 \text{ MPa}$$

$$f_u = 410 \text{ MPa}$$

$$\text{Tegangan residu (fr)} = 70 \text{ MPa} \text{ (penampang digilas)}$$

$$\text{Mutu Beton (fc')} = 30 \text{ MPa}$$

$$\text{Tebal pelat beton} = 15 \text{ cm}$$

$$\text{Modulus Elastiitas baja} = 200000 \text{ MPa}$$

$$\text{Modulus Elastisitas beton} = 25742,96 \text{ MPa}$$

- Baut yang digunakan = A325
- Kuat tarik minimum ( $f_{ub}$ ) = 620 MPa
  - Tegangan geser baut ( $f_{nv}$ ) = 372 MPa
  - Diameter baut ( $\emptyset$ ) = 16 mm
  - Diameter lubang baut ( $d_t$ ) =  $\emptyset + 2 = 16 + 2 = 18$  mm
  - Luas baut ( $A_b$ ) =  $1/4 \cdot \pi \cdot \emptyset^2 = 254,34$  mm<sup>2</sup>
  - Kuat Nominal Tumpu

Pada Bresing WF 500x200x10x26

Kuat geser pelat di belakang bidang tumpu

$$R_n = 1,2 \times l_c \times t_{pweb} \times f_u \leq 2,4 \times d \times t_w \times f_u$$

$$\begin{aligned} R_{nv} &= 1,2 \times l_c \times t_{pweb} \times f_u \\ &= 1,2 \times 30 \times 10 \times 410 = 147600 \text{ N} \end{aligned}$$

$$\phi R_{nv} = 0,75 \times 147600 \text{ N} = 110700 \text{ N}$$

kuat tumpu pelat ketika memikul baut

$$\begin{aligned} R_{nt} &= 2,4 \times d_l \times t_w \times f_u \\ &= 2,4 \times 18 \times 10 \times 410 = 177120 \text{ N} \end{aligned}$$

$$\phi R_{nt} = 0,75 \times 177120 \text{ N} = 132840 \text{ N}$$

syarat :

$$\phi R_{nv} < \phi R_{nt}$$

$110700 \text{ N} < 132840 \text{ N}$  ...diambil nilai terkecil

Diambil nilai kuat nominal yang terkecil =  $148500 \text{ N} = 1485 \text{ T}$

Pada WF 900x300x16x28

Kuat geser pelat di belakang bidang tumpu

$$R_n = 1,2 \times l_c \times t_{pweb} \times f_u \leq 2,4 \times d \times t_w \times f_u$$

$$\begin{aligned} R_{nv} &= 1,2 \times l_c \times t_{pweb} \times f_u \\ &= 1,2 \times 30 \times 16 \times 550 = 316800 \text{ N} \end{aligned}$$

$$\phi R_{nv} = 0,75 \times 213120 \text{ N} = 237600 \text{ N}$$

kuat tumpu pelat ketika memikul baut

$$\begin{aligned} R_{nt} &= 2,4 \times d_l \times t_w \times f_u \\ &= 2,4 \times 18 \times 16 \times 550 = 380160 \text{ N} \end{aligned}$$

$$\phi R_{nt} = 0,75 \times 380160 \text{ N} = 285120 \text{ N}$$

syarat :

$$\phi R_{nv} < \phi R_{nt}$$

$237600 N < 285120 N$  ...diambil nilai terkecil

Diambil nilai kuat nominal yang terkecil =  $237600 N = 2376 T$

Pada Pelat Ujung / End Plate ( $t = 16\text{mm}$ )

Kuat geser pelat di belakang bidang tumpu

$$R_n = 1,2 \times l_c \times t_{pweb} \times f_u \leq 2,4 \times d \times t_w \times f_u$$

$$R_{nv} = 1,2 \times l_c \times t_{pweb} \times f_u$$

$$= 1,2 \times 30 \times 16 \times 550 = 316800 N$$

$$\phi R_{nv} = 0,75 \times 316800 N = 237600 N$$

kuat tumpu pelat ketika memikul baut

$$R_{nt} = 2,4 \times d_l \times t_w \times f_u$$

$$= 2,4 \times 18 \times 16 \times 550 = 380160 N$$

$$\phi R_{nt} = 0,75 \times 380160 N = 285120 N$$

syarat :

$$\phi R_{nv} < \phi R_{nt}$$

$237600 N < 285120 N$  ...diambil nilai terkecil

Diambil nilai kuat nominal yang terkecil =  $237600 N = 2376 T$

- Kuat Nominal Geser Baut dengan 2 bidang Geser

$$R_{nv} = f_{nv} \times A_b \times m$$

$$= 372 \times 254,34 \times 2 = 189228,96 N = 18,92 T/baut$$

$$\phi R_{nv} = 0,75 \times 18,92 T/baut = 14,19 T/baut$$

- Kuat Nominal Geser Baut dengan 1 bidang Geser

$$R_{nv} = f_{nv} \times A_b \times m$$

$$= 372 \times 254,34 \times 1 = 94614,48 N = 9,46 T/baut$$

$$\phi R_{nv} = 0,75 \times 9,46 T/baut = 7,09 T/baut$$

dari hasil kuat tumpu profil dan geser baut, maka kuat geser baut menentukan.

- Perhitungan Jumlah Baut

$$n = \frac{2,39}{14,19} = 0,17 \approx 1 \text{ baut}$$

Maka digunakan 8 buah baut pada profil WF 900x300x16x28

- Kontrol Kekuatan Baut Terhadap Geser

$$V_u = \frac{R_u}{n} < \phi R_{nv}$$

$$= \frac{2,39}{8} = 0,3 \text{ Ton} < 14,19 \text{ Ton} \dots \text{OK!}$$

Maka jumlah baut memenuhi kuat geser perlu

Menghitung jarak baut

Jarak tepi minimum  $S_1$  untuk baut  $\emptyset 16 = 22 \text{ mm}$

$$S_{min} < S_1 < 4t_p + 100 \text{ mm atau } 200 \text{ mm}$$

$$22 < S_1 < 4 \cdot 12 + 100 \text{ mm atau } 200 \text{ mm}$$

$$22 < 25 < 148 \text{ mm atau } 200 \text{ mm}$$

Jarak antar baut  $S$  untuk baut  $\emptyset 16$

$$2\frac{2}{3}d_b < S < 15 t_p \text{ atau } 200 \text{ mm}$$

$$21,33 < S < 15 \cdot 7 \text{ atau } 200 \text{ mm}$$

$$21,33 < 100 < 105 \text{ atau } 200 \text{ mm}$$

Maka  $S = 100 \text{ mm}$

- Luasan Geser Pada pelat

$$l = S + S + S_1$$

$$= 100 + 100 + 100 + 25 = 325 \text{ mm}$$

$$\text{Luas bruto} = A_{gv} = t_p \cdot l$$

$$= 16 \cdot 325 = 5200 \text{ mm}^2$$

$$\text{Lebar lubang} (l_b) = d_b + 2 = 16 + 2 = 18 \text{ mm}$$

$$l_{b \text{ total}} = l_b \cdot \text{jumlah lubang}$$

$$= 18 \times 8$$

$$= 144 \text{ mm}^2$$

$$\text{Luas Netto} A_{nv} = (l - l_{b \text{ total}}) \cdot t_p$$

$$= (325 - 144) \cdot 16$$

$$= 2896 \text{ mm}^2$$

$$\text{Syarat : } A_{nv} < 85\% \cdot A_{gv}$$

$$2896 < 85\% \cdot 5200$$

$$2896 < 3900 \dots \text{OK!}$$

- Luasan Tarik pada Pelat

$$\begin{aligned}\text{Luas Bruto} &= A_{gt} = t_p \cdot l \\ &= 16 \cdot 325 = 5200 \text{ mm}^2\end{aligned}$$

$$\text{Lebar lubang } (l_b) = d_b + 2 = 16 + 2 = 18 \text{ mm}$$

$$\begin{aligned}l_{b \text{ total}} &= l_b \cdot \text{jumlah lubang} \\ &= 18 \times 8 \\ &= 144 \text{ mm}^2\end{aligned}$$

$$\begin{aligned}\text{Luas Netto} &= A_{nt} = Ag - n.d.t \\ &= 5200 - 4 \cdot 16 \cdot 16 \\ &= 4176 \text{ mm}^2\end{aligned}$$

$$\text{Syarat : } A_{nt} < 85\% \cdot A_{gt}$$

$$4176 < 85\% \cdot 5200$$

$$4176 < 4420 \dots \text{OK!}$$

Kuat nominal berdasarkan keruntuhan / faktur dan tegangan putus

$$\begin{aligned}R_{nf} &= 0,6 \cdot f_y \cdot A_{nv} + U_{bs} \cdot f_u \cdot A_{nt} \\ &= 0,6 \cdot 410 \cdot 2896 + 1 \cdot 550 \cdot 4176 \\ &= 3009216 \text{ N}\end{aligned}$$

Kuat nominal berdasarkan leleh dan tegangan putus

$$\begin{aligned}R_{nl} &= 0,6 \cdot f_y \cdot A_{gv} + U_{bs} \cdot f_u \cdot A_{nt} \\ &= 0,6 \cdot 410 \cdot 5200 + 1 \cdot 550 \cdot 4176 \\ &= 3576000 \text{ N}\end{aligned}$$

$$\text{Syarat : } R_{nf} \leq R_{nl}$$

$$3009216 \text{ N} \leq 3576000 \text{ N}$$

Konfigurasi balok geser yang menentukan adalah yang menghasilkan tanahan geser terkecil, maka kuat leleh pelat menentukan.

$$\begin{aligned}\phi \cdot R_n &= 0,75 \cdot 3576000 \\ &= 2682000 \text{ N} = 268200 \text{ Kg}\end{aligned}$$

Syarat :

$$\phi \cdot R_n > R_u$$

$$2682000 > 2388,3 \dots \text{OK!}$$

- Periksa Kekuatan Geser Balok Pelat

$$R_n = 0,6 \cdot F_u \cdot A_{nv} + U_{bs} \cdot F_u \cdot A_{nt} \leq 0,6 \cdot F_y \cdot A_{gv} + U_{bs} \cdot F_u \cdot A_{nt}$$

Bila tegangan tarik merata  $U_{bs} = 1$

Bila tegangan tarik tidak merata  $U_{bs} = 0,5$

Pada Balok WF 900x200x16x28

$$R_n = 0,6 \cdot 550,2896 \cdot 1,550,4176 \leq 0,6 \cdot 410,5200 \cdot 1,550,4176$$

$R_n = 3252480 \leq 3576000$ , cukup ambil nilai batas max, sehingga diambil nilai  $R_n = 3576000 \text{ N}$

Syarat :

$$\phi \cdot R_n > R_u$$

$$0,75 \cdot 3576000 > 2388,3$$

$$2682000 > 2388,3 \dots \text{OK!}$$

Kontrol Kekuatan Baut Terhadap Tarik

Jarak baut ke tepi pelat ( $S_1$ ) = 25 mm

Jarak antar baut ( $S$ ) = 100 mm

$$d_4 = 320 \text{ mm}$$

$$d_3 = 220 \text{ mm}$$

$$d_2 = 120 \text{ mm}$$

$$d_1 = 20 \text{ mm}$$

$$d_t = d_1 + d_2 + d_3 + d_4 \\ = 20 + 120 + 220 + 320 = 680 \text{ mm}$$

Terhadap Momen akibat reaksi dan jarak baut

Maka momen yang terjadi :

$$M_u = w \cdot V_u$$

$$= 40 \cdot 2388,3 = 95532 \text{ Nmm}$$

Maka gaya tarik yang terjadi adalah :

$$T_{u1} = \frac{M_u \cdot d_1}{d_t^2} = \frac{95532 \cdot 20}{680^2} = 4,13 \text{ N}$$

$$T_{u2} = \frac{M_u \cdot d_1}{d_t^2} = \frac{95532 \cdot 120}{680^2} = 24,79 \text{ N}$$

$$T_{u3} = \frac{M_u \cdot d_1}{d_t^2} = \frac{95532 \cdot 220}{680^2} = 45,45 \text{ N}$$

$$T_{u4} = \frac{M_u \cdot d_1}{d_t^2} = \frac{95532 \cdot 320}{680^2} = 66,11 \text{ N}$$

Gaya tarik 1 baut pada profil

$$\begin{aligned} T_b &= A_b \cdot f_{ub} \\ &= 201,14 \cdot 620 \\ &= 124708,57 \text{ N} \end{aligned}$$

Karena dalam satu baris terdapat 2 buah baut, maka

$$\begin{aligned} T_b &= 2 \cdot T_b \\ &= 2 \cdot 124708,57 = 249417,14 \text{ N} \end{aligned}$$

Tahanan nominal untuk 2 baut

$$\begin{aligned} T_d &= \phi \cdot T_b \\ &= 0,75 \cdot 249417,14 \text{ N} \\ &= 187062,86 \text{ N} \end{aligned}$$

Syarat :

Terhadap Momen akibat reaksi dan jarak baut

$$T_u < T_d$$

$$T_{u1} = 4,13 \text{ N} < 187062,86 \text{ N} \dots \text{OK!}$$

$$T_{u2} = 24,79 \text{ N} < 187062,86 \text{ N} \dots \text{OK!}$$

$$T_{u3} = 45,45 \text{ N} < 187062,86 \text{ N} \dots \text{OK!}$$

$$T_{u4} = 66,11 \text{ N} < 187062,86 \text{ N} \dots \text{OK!}$$

Kontrol Kekuatan baut Terhadap Momen

$$\begin{aligned} \Sigma T &= T_{u1} + T_{u2} + T_{u3} + T_{u4} \\ &= 4,13 \text{ N} + 24,79 \text{ N} + 45,45 \text{ N} + 66,11 \text{ N} \\ &= 140,48 \text{ N} \end{aligned}$$

$$Td \cdot d_1 = 187062,86 \cdot 20 \text{ mm} = 3741257,2 \text{ Nmm}$$

$$Td \cdot d_2 = 187062,86 \cdot 120 \text{ mm} = 22447543,2 \text{ Nmm}$$

$$Td \cdot d_3 = 187062,86 \cdot 220 \text{ mm} = 41153829,2 \text{ Nmm}$$

$$Td \cdot d_4 = 187062,86 \cdot 320 \text{ mm} = \underline{59860115,2 \text{ Nmm}} +$$

$$\sum_{i=1}^n Td \cdot di = 127202744,8 \text{ Nmm}$$

Garis Netral pada Pelat Siku

$$a = \frac{\Sigma T}{f_{yp} \cdot b} = \frac{140,48}{410,75} = 0,004 \text{ mm} < 7 \text{ mm}$$

Momen Rencana

$$M_R = \phi \cdot M_n = \frac{0,9 f_{yp} \cdot a^2 \cdot b}{2} + \sum_{i=1}^n Td \cdot di$$

$$= \frac{0,9410 \cdot 0,004^{2,75}}{2} + 127202744,8 \\ = 127202745,02 \text{ Nmm}$$

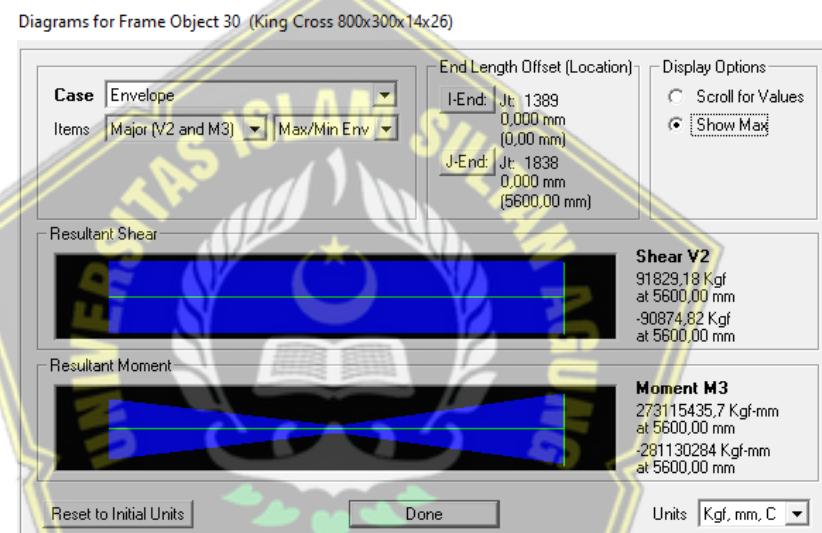
Syarat :

$$Mu < \phi \cdot Mn$$

$$95532 \text{ Nmm} < 127202745,02 \text{ Nmm} \dots \text{OK!}$$

#### 4.6.4 Sambungan Antar Kolom

Kolom akan disambung menggunakan sambungan las dengan plat tambahan setebal 50 mm. Dari hasil analisa SAP2000, diperoleh gaya maksimum pada frame 30 dengan data-data sebagai berikut :



Gambar 4.24 Hasil Output SAP2000 Gaya Geser dan Momen Kolom

$$Pu = 199728,24 \text{ Kg}$$

$$Vu = 91829,18 \text{ Kg}$$

$$Mu = 273115435,7 \text{ Kg.mm}$$

Dengan data-data kolom king cross 800 x 300 x 14 x 26 sebagai berikut :

$$d = 800 \text{ mm} \quad ix = rx = 23,83 \text{ cm}$$

$$bf = 300 \text{ mm} \quad iy = ry = 24,27 \text{ cm}$$

$$tf = 26 \text{ mm} \quad Zx = 7592,5 \text{ cm}^3$$

$$tw = 14 \text{ mm} \quad Zy = 7740,2 \text{ cm}^3$$

$$A = 534,8 \text{ cm}^2 \quad r = 28 \text{ cm}$$

$$q = 419,8 \text{ kg/m} \quad h = d - 2(t_f + r)$$

$$I_x = 303700 \text{ cm}^4 \quad = 692 \text{ mm}$$

$$I_y = 315700 \text{ cm}^4$$

$$f_y = 410 \text{ MPa (BJ-55)}$$

$$S_x = b \cdot d + (d^2/3) = 453,33 \text{ cm}^3$$

$$S_y = b \cdot d + (d^2/3) = 453,33 \text{ cm}^3$$

Misal  $t_c = 1 \text{ cm}$

$$F_{e60} = 60000 \text{ lb/in}^2 = 415 \text{ MPa}$$

$$\begin{aligned} F_{\text{Ulas}} &= 0,75 \times 0,6 \times F_{e60} \times t_c \\ &= 0,75 \times 0,6 \times 415 \times 1 \\ &= 186,75 \text{ kg/cm}^2 \end{aligned}$$

Akibat  $P_u$

$$F_v = \frac{P_u}{A} + \frac{M_u}{S_x} = \frac{199728,24}{534,8} + \frac{273115435,7}{453,3} = 602878,3 \text{ kg/cm}$$

Akibat  $V_u$

$$F_h = \frac{V_u}{A} + \frac{M_u}{S_x} = \frac{91829,18}{534,8} + \frac{273115435,7}{453,3} = 602676,5 \text{ kg/cm}$$

$$\begin{aligned} F_{\text{total}} &= (F_h^2 + F_v^2)^{0,5} \\ &= (602676,5^2 + 602878,3^2)^{0,5} \\ &= 852455,4 \text{ kg/cm} \end{aligned}$$

Syarat tebal kaki las

Tebal minimum = tebal plat = 50 mm,  $a_{\min} = 6 \text{ mm}$

$$\begin{aligned} a_{\text{eff max las}} &= \frac{0,6 \times F_u \times t}{2 \times 0,707 \times 0,6 \times F_{e60}} \\ &= \frac{0,6 \times 410 \times 50}{2 \times 0,707 \times 0,6 \times 34,9} \\ &= 34,9 \text{ cm} \end{aligned}$$

Tebal las efektif

$$t_{w_e} = \frac{1}{2} \cdot \sqrt{2 \cdot 14} = 2,6 \text{ mm}$$

Kekuatan nominal Logam dasar

$$\begin{aligned} R_n &= 0,6 \cdot F_{u_{\text{pelat}}} \cdot t_{\text{pelat}} \\ &= 0,6 \cdot 550 \cdot 50 \\ &= 16500 \text{ MPa/mm} \end{aligned}$$

Kekuatan nominal las

$$\begin{aligned}
 R_{nw} &= F_{nw} \cdot A_{we} \\
 F_{nw} &= 0,6 \cdot Fe_{60} \cdot (1,0+0,5\sin^{1,5}) \\
 &= 0,6 \cdot 415 \cdot (1,0+0,5\sin^{1,5}) = 249 \text{ MPa}
 \end{aligned}$$

Maka,

$$\begin{aligned}
 R_{nw} &= 249 \cdot 2,6 \\
 &= 647,4 \text{ MPa/mm}
 \end{aligned}$$

Dari dua nilai  $R_n$  dan  $R_{nw}$ , dipilih nilai terkecil yaitu  $R_{nw} = 647,4$  MPa/mm

Penentuan panjang las

$$L_w = \frac{P_u}{\phi \cdot R_{nw}} = \frac{199728,24}{0,75 \cdot 647,4} = 411,3 \text{ mm} = 41,13 \text{ cm}$$

#### 4.7 Hasil Perencanaan Struktur

Dari Perhitungan perencanaan struktur, dapat diambil hasil profil penampang baja yang digunakan dalam perencanaan Gedung *Innovative Program Cluster* (IPC) Universitas Katolik Soegijapranata dapat dilihat pada tabel dibawah ini :

Tabel 4.14 Penggunaan Profil Baja

| Elemen Struktur | Jenis Profil Baja  | Dimensi Profil Baja | Mutu Baja |
|-----------------|--------------------|---------------------|-----------|
| Kolom           | <i>King Cross</i>  | 800 x 300 x 14 x 26 | BJ-55     |
| Balok Induk     | <i>Wide Flange</i> | 900 x 300 x 16 x 28 | BJ-55     |
| Balok Anak      | <i>Wide Flange</i> | 450 x 200 x 9 x 14  | BJ-55     |
| Bresing         | <i>Wide Flange</i> | 500 x 200 x 10 x 16 | BJ-41     |

Sedangkan hasil rasio paling kritis (ratio yang paling mendekati 1) dari setiap elemen struktur yang didapat dari analisis dengan menggunakan aplikasi SAP2000 adalah sebagai berikut :

Tabel 4.15 Hasil Rasio Elemen Struktur Paling Kritis

| Elemen Struktur | No. Frame | Rasio |
|-----------------|-----------|-------|
| Kolom           | 53        | 0,99  |
| Balok Induk     | 1429      | 0,97  |
| Balok Anak      | 2262      | 0,91  |
| Bresing         | 2161      | 0,99  |

## BAB V

## PENUTUP

### 5.1 Kesimpulan

Berdasarkan analisis menggunakan program analisis struktur SAP2000 v14 dapat diperoleh kesimpulan untuk laporan Tugas Akhir dengan judul **“REDESAIN GEDUNG INNOVATIVE PROGRAM CLUSTER (IPC) UNIVERSITAS KATOLIK SOEGIJAPRANATA SEBAGAI SISTEM RANGKA BAJA PEMIKUL MOMEN”** antara lain sebagai berikut :

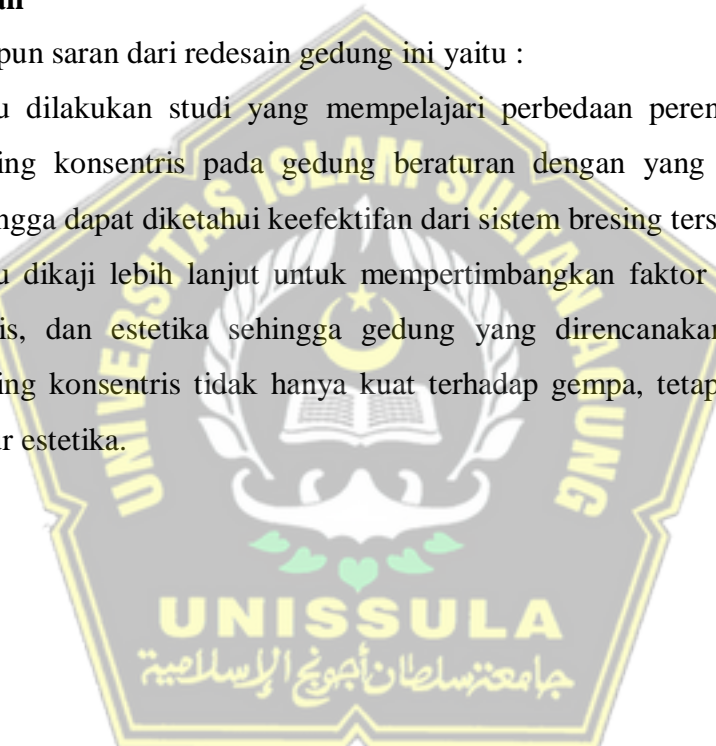
1. Jenis sistem rangka pemikul momen yang digunakan pada perencanaan gedung ini adalah sistem rangka baja pemikul momen khusus dengan bresing konsentris, dengan nilai koefisien modifikasi respons ( $R$ ) = 7, faktor kuat lebih sistem ( $\Omega$ ) = 2,5, dan faktor pembesaran defleksi ( $C_d$ ) = 5,5.
2. Dimensi profil baja yang digunakan pada redesain gedung ini adalah :
  - Pada elemen kolom digunakan profil baja *King Cross* 800 x 300 x 14 x 26 dengan mutu baja BJ-55.
  - Pada balok induk menggunakan profil baja *Wide Flange* 900 x 300 x 16 x 28 dengan mutu baja BJ-55.
  - Pada balok anak menggunakan profil baja *Wide Flange* 450 x 200 x 9 x 14 dengan mutu baja BJ-55.
  - Pada bresing menggunakan profil baja *Wide Flange* 500 x 200 x 10 x 16 dengan mutu baja BJ-41.
3. Rasio yang dihasilkan dari masing-masing perhitungan elemen struktur yaitu :
  - Pada elemen kolom dihasilkan rasio struktur sebesar 0,95.
  - Pada balok induk dihasilkan rasio sebesar 0,08.
  - Pada balok anak dihasilkan rasio struktur sebesar 0,49.
  - Pada bresing dihasilkan rasio struktur sebesar 0,37.Sedangkan sambungan yang dibutuhkan adalah :
  - Sambungan antara balok induk dengan balok anak digunakan pelat siku dengan ukuran 75 x 75 x 7 sebagai penyambung dengan kebutuhan baut sebanyak 4 buah baut.

- Sambungan antara kolom dengan balok induk digunakan sambungan *end plate* dengan ketebalan 16 mm dan baut yang dibutuhkan sebanyak 8 buah baut.
- Sambungan antara bresing dengan balok induk digunakan sambungan *end plate* dengan ketebalan 16 mm dan baut yang dibutuhkan sebanyak 8 buah baut.
- Sambungan antar kolom digunakan pelat penyambung dengan tebal 50 mm. Kolom disambung dengan cara di las dengan kepanjangan las 41,13 cm.

## 5.2 Saran

Adapun saran dari redesain gedung ini yaitu :

- Perlu dilakukan studi yang mempelajari perbedaan perencanaan struktur bresing konsentris pada gedung beraturan dengan yang tidak beraturan sehingga dapat diketahui keefektifan dari sistem bresing tersebut
- Perlu dikaji lebih lanjut untuk mempertimbangkan faktor ekonomi, aspek teknis, dan estetika sehingga gedung yang direncanakan menggunakan bresing konsentris tidak hanya kuat terhadap gempa, tetapi juga memiliki unsur estetika.



## DAFTAR PUSTAKA

- AISC. 2010. *Spesifications for Structural Steel Building (ANSI/AISC 360-10)*. Chicago, Illinois: American Institute of Steel Construction.
- Arifi, Eva. dan Setyowulan, Desy. 2020. *Perencanaan Struktur Baja*. Malang : UB Press.
- Badan Standardisasi Nasional. 2015. SNI 1729:2015 *Spesifikasi untuk Bangunan Gedung Baja Struktural*. Jakarta. Badan Standardisasi Nasional.
- Badan Standardisasi Nasional. 2019. SNI 1726:2019 *Tata Cara Perencanaan Ketahanan Gempa untuk Struktur Bangunan Gedung dan Non Gedung*. Jakarta. Badan Standardisasi Nasional.
- Badan Standarisasi Nasional. 2013. SNI 1727:2013 *Beban Minimum untuk Perancangan Bangunan Gedung dan Struktur Lain*. Jakarta. Badan Standardisasi Nasional.
- Fauzy, Maradhika. 2016. *Perencanaan Struktur Baja Gedung Hotel NEO*. Skripsi. Semarang : Universitas Negeri Semarang.
- Haris, Hanief. 2017. *Modifikasi Perencanaan Struktur Gedung Fakultas Ilmu dan Administrasi Universitas Brawijaya Menggunakan Sistem Rangka Bresing Konsentris Khusus*. Skripsi. Surabaya : Institut Sepuluh Nopember.
- Lesmana, Yudha. 2019. *Analisa dan Desain Struktur Baja Berdasarkan SNI 1729-2015*. Surabaya : CV. BUDI UTAMA.
- McCormac, J. C. and Csernak, S. F. 2012. *Structural Steel Design, Fifth Edition*. Prentice Hall: Pearson Education, Inc. Upper Saddle River, New Jersey 07458.
- Patel, T. 2018. Different Types of Welding Joints. Online document ; URL : <http://industrial.store.shoppiko.com/blog/article/different-types-of-welding-joints>. Diakses tanggal 12 Mei 2021 pukul 19.30.
- Stefano Pandaleke. 2019. “Perencanaan Ulang Bangunan Struktur Baja Rumah Sakit Umum Ratumbuysang di Kota Manado” dalam *Jurnal Sipil Statik* Vol. 7, Nomor 6, (halaman 723-732). Manado : Universitas Sam Ratulangi.
- Tio, Muchamad. dan Wildan, Muhammad. 2021. *Redesain Gedung 9 Lantai Menara USM Berdasarkan SNI Perencanaan Tahan Gempa (SNI 1726-2019)*. Skripsi. Semarang : Universitas Islam Sultan Agung.

## LEMBAR BIMBINGAN TUGAS AKHIR



Nama : 1. Bagus Samiaji (30201700033)

2. Bayu Arie Winarno (30201700037)

Dosen Pembimbing : 1. M.Rusli Ahyar, ST., M.Eng

2. Ir. H. Prabowo Setiyawan, MT., Ph.D

| NO | TANGGAL    | KETERANGAN   | PARAF |
|----|------------|--|-------|
| 1. | 23-04-2021 | <ul style="list-style-type: none"> <li>- Perbaiki isi maksud &amp; tujuan</li> <li>- Perbaiki isi batasan masalah</li> <li>- Revisi judul</li> <li>- Gunakan refrensi yang terbaru</li> </ul>  |       |
| 2. | 28-04-2021 | <ul style="list-style-type: none"> <li>- ACC judul "Redesain Gedung Innovative Program Cluster (IPC) Universitas Katolik Soegijapranata sebagai Sistem Rangka Baja Pemikul Momen"</li> <li>- Lanjutkan buat pemodelan gedung dengan aplikasi SAP2000</li> </ul>                        |       |
| 3. | 25-05-2021 | <ul style="list-style-type: none"> <li>- Cek lagi beban gempa statik ekivalen dan kurva respon spektrum</li> <li>- Lanjutkan sampai desain struktur baja menggunakan SAP2000, cari sampai rasio &lt; 1,0</li> <li>- Periode struktur = 0,6</li> <li>- Cek satuan pembebanan</li> </ul> |       |
| 4. | 14-06-2021 | <ul style="list-style-type: none"> <li>- Cek scale factor</li> <li>- Perbesar dimensi kolom atau diberi bracing</li> <li>- Cek pemilihan sistem rangka pemikul momen sesuaikan dengan SNI 1726-2019</li> </ul>   |       |

| NO  | TANGGAL    | KETERANGAN   | PARAF |
|-----|------------|--|-------|
| 5.  | 26-06-2021 | <ul style="list-style-type: none"> <li>- Tambahkan kombinasi beban statik ekivalen</li> <li>- Kurangi pemakaian bracing, hanya pakai di 2 sisi saja</li> </ul>   |       |
| 6.  | 5-07-2021  | <ul style="list-style-type: none"> <li>- Lanjutkan hitungan manual desain struktur</li> </ul>  |       |
| 7.  | 8-07-2021  | <ul style="list-style-type: none"> <li>- Gunakan lateral bracing untuk mengatasi hasil rasio yang lebih dari 1</li> <li>- Validasi hitungan manual dengan hasil output SAP2000</li> </ul>                        |       |
| 8.  | 15-07-2021 | <ul style="list-style-type: none"> <li>- Cari nilai UX, UY, Dan UZ (%) dengan show table → Modal Participating Mass Ratio</li> <li>- Cari nilai V statik dan dinamik Show table → element joint force</li> </ul> |       |
| 9.  | 20-07-2021 | <ul style="list-style-type: none"> <li>- Buat kesimpulan</li> <li>- Lengkapi laporan</li> </ul>  |       |
| 10. | 21-7-21    | <p>ACC laporan untuk<br/>seminar hasil</p>   |       |

## LEMBAR BIMBINGAN TUGAS AKHIR



Nama

: 1. Bagus Samiaji (30201700033)

2. Bayu Arie Winarno (30201700037)

Dosen Pembimbing : 1. M.Rusli Ahyar, ST., M.Eng

2. Ir. H. Prabowo Setiyawan, MT., Ph.D

| NO | TANGGAL   | KETERANGAN  | PARAF |
|----|-----------|---|-------|
| 1  | 29/7/2021 | <ul style="list-style-type: none"> <li>- Lengkapi format Laporan : Kata Pengantar, Daftar Isi, dst.</li> <li>- Perbaiki Laporan simpan dg petunjuk</li> </ul> | ✓     |
| 2  | 3/8/2021  | <ul style="list-style-type: none"> <li>- Perbaiki kesalahan isian dg petunjuk</li> <li>- Bisa dijilid</li> </ul>  | ✓     |



Nomor : 42 /A.3 / SA - T / VII / 2021

Lampiran :

Perihal : Undangan

Kepada Yth : Bapak M Rusli Ahyar,ST,M.Eng  
Di - Tempat

Assalamu'alaikum Wr Wb

Mengharap dengan sangat atas kehadiran Bapak / Ibu pada :

Hari : Kamis

Tanggal : 29 Juli 2021

Jam : 14.00 WIB

Tempat : Ruang Seminar Lantai 2 Fakultas Teknik

Acara : Menguji Seminar Tugas Akhir

Bagus Samiaji

Bayu Arie Winarno

Demikian disampaikan atas perhatiannya diucapkan terimakasih.

Wassalamu'alaikum Wr Wb.

Semarang, 29 Juli 2021

Ketua Program Studi Teknik Sipil

  
M Rusli Ahyar, ST, M.Eng

NIK. 210216089

**UNISSULA**  
جامعة سلطان آبوجنح الإسلامية



Nomor : 42 /A.3 / SA - T / VII / 2021

Lampiran :

Perihal : Undangan

Kepada Yth : Bapak Ir. H. Prabowo Setiawan,MT,Ph.D  
Di - Tempat

Assalamu'alaikum Wr Wb

Mengharap dengan sangat atas kehadiran Bapak / Ibu pada :

Hari : Kamis

Tanggal : 29 Juli 2021

Jam : 14.00 WIB

Tempat : Ruang Seminar Lantai 2 Fakultas Teknik

Acara : Menguji Seminar Tugas Akhir

Bagus Samiaji

Bayu Arie Winarno

Demikian disampaikan atas perhatiannya diucapkan terimakasih.

Wassalamu'alaikum Wr Wb.

Semarang, 29 Juli 2021

Ketua Program Studi Teknik Sipil

  
M Rusli Ahyar, ST, M.Eng

NIK. 210216089





Nomor : 42 /A.3 / SA - T / VII / 2021

Lampiran :

Perihal : Undangan

Kepada Yth : Ibu Selvia Agustina,ST,M.Eng  
Di - Tempat

Assalamu'alaikum Wr Wb

Mengharap dengan sangat atas kehadiran Bapak / Ibu pada :

Hari : Kamis

Tanggal : 29 Juli 2021

Jam : 14.00 WIB

Tempat : Ruang Seminar Lantai 2 Fakultas Teknik

Acara : Menguji Seminar Tugas Akhir

Bagus Samiaji

Bayu Arie Winarno

Demikian disampaikan atas perhatiannya diucapkan terimakasih.

Wassalamu'alaikum Wr Wb.

Semarang, 29 Juli 2021

Ketua Program Studi Teknik Sipil

M Rusli Ahyar, ST, M. Eng

NIK. 210216089





DOSEN PENGUJI  
SEMINAR TUGAS AKHIR

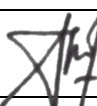
Hari Kamis  
Tanggal 29 Juli 2021  
Jam 14.00 WIB

Judul Tugas Akhir

Redesain Gedung Innovative Program Cluster ( IPC )

Universitas Katolik Soegijapranata Sebagai Sistem Rangka Baja Pemikul Momen

|   |                   |             |   |
|---|-------------------|-------------|---|
| 1 | Bagus Samiaji     | 30201700033 | 1   |
| 2 | Bayu Arie Winarno | 30201700037 | 2  |

| NO | NAMA                            | TANDA TANGAN  |
|----|---------------------------------|---|
| 1  | M Rusli Ahyar,ST,M.Eng          | 1    |
| 2  | Ir. H. Prabowo Setiawan,MT,Ph.D | 2  |
| 3  | Selvia Agustina,ST,M.Eng        | 3    |

Semarang, 29 Juli 2021  
Ketua Program Studi Teknik Sipil

  
M Rusli Ahyar,ST,M.Eng  
NIK. 210216089



JUDUL TUGAS AKHIR  
DALAM BAHASA INGGRIS

Hari Kamis  
Tanggal 29 Juli 2021  
Jam 14.00 WIB

Judul Tugas Akhir

Redesain Gedung Innovative Program Cluster ( IPC )

Universitas Katolik Soegijapranata Sebagai Sistem Rangka Baja Pemikul Momen

0

JUDUL TUGAS AKHIR DALAM BAHASA INGGRIS

Redesign of Innovative Program Cluster (IPC) Building At Universitas Katolik Soegijapranata As A Moment Resistance Steel Frame System

|   |                   |             |   |  |
|---|-------------------|-------------|---|--|
| 1 | Bagus Samiaji     | 30201700033 | 1 |  |
| 2 | Bayu Arie Winarno | 30201700037 | 2 |  |

Pembimbing Tugas Akhir

| NO | NAMA                            | TANDA TANGAN |  |
|----|---------------------------------|--------------|--|
| 1  | M Rusli Ahyar,ST,M.Eng          | 1            |  |
| 2  | Ir. H. Prabowo Setiawan,MT,Ph.D | 2            |  |

Semarang, 29 Juli 2021  
Ketua Program Studi Teknik Sipil

M Rusli Ahyar,ST,M.Eng  
NIK. 210216089



**SEMINAR TUGAS AKHIR**

Nama Mahasiswa / NIM : Bagus Samiaji (30201700033) / Bayu Arie Winarno (30201700037)

Hari / Tanggal : Kamis / 29 Juli 2021

Judul TA : Redesain Gedung Innovative Program Cluster (IPC) Universitas Katolik

: Soegijapranata Sebagai Sistem Rangka Baja Pemikul Momen

| NO |  |
|----|--|
| 1  | Perbaiki diagram alur di Bab 3. Untuk alur optional gunakan bentuk belah ketupat.<br>Pada alur mulai dan selesai gunakan bentuk elips. |
| 2  | Isi dari kesimpulan sesuaikan dengan tujuan redesain   |
| 3  |  |
| 4  |  |
| 5  |  |

**DOSEN PENGUJI**

Selvia Agustina, ST., M.Eng



Nomor : 42 / A.2 / SA - T / VII / 2021

Pada hari ini, Kamis Tanggal 29 Juli 2021 telah dilaksanakan

Seminar Tugas Akhir, dengan peserta sebagai berikut :

|        |                   |             |
|--------|-------------------|-------------|
| 1 Nama | Bagus Samiaji     | 30201700033 |
| 2 Nama | Bayu Arie Winarno | 30201700037 |

Judul TA Redesain Gedung Innovative Program Cluster ( IPC )  
Universitas Katolik Soegijapranata Sebagai Sistem Rangka Baja Pemikul Momen  
0

Dengan Hasil

: Baik dengan koreksi dari .....  
: dosen pengaji .....  
: .....

Demikian Berita Acara Seminar Tugas Akhir ini dibuat untuk diketahui dan pergunakan seperlunya.

Dosen Pembimbing I

M Rusli Alyar, ST, M.Eng

Dosen Pembimbing II

Ir. H. Prabowo Setiawan, MT, Ph.D

Dosen Pembanding

Selvia Agustina, ST, M.Eng

Mengetahui ,

Ketua Program Studi Teknik Sipil

M Rusli Alyar, ST, M.Eng

**MUTU BAHAN :**  
**BETON :**  $f_c' = 33 \text{ MPa}$   
**TULANGAN D >10 BJT 40,  $f_y=400\text{MPa}$**   
**Ø <10 BJT 24,  $f_y=240\text{MPa}$**

PLAT FORMASI  
**INNOVATIVE PROGRAM CLUSTER (IPC)**  
**KAMPUS UNIK SDEGAJARANATA**  
**BUKIT SEMARANG BARU - SEMARANG**

**PEMILIK**

**YAYASAN SANDIJOJO**  
 Unit Kegiatan Mahasiswa No. 18A  
 Pendem, Semarang Tengah, Kota Semarang.  
 Telp. (024) 3510000, 3510001

**PENANGGUNG JAWAB PEMILIK**

**NAMA** \_\_\_\_\_ **TTD** \_\_\_\_\_

**DR.I AGUS SURYONO, MM** **TTD**

**KETUA MASTERPLAN**

**NAMA** \_\_\_\_\_ **TTD** \_\_\_\_\_

**Prof. Dr. Y. BUDI WIDIANARKO, M.Sc** **TTD**

**CATATAN / DENAH KUNCI**

**KONSULTAN MK**  
**OPTIMA MITRA**  
**Ruko Paseban Seven Seas (PCS)**  
**Jl. Raya Paseban Km. 1, Gading Serpong, Tangerang**  
**EMAIL: optimamitra@gmail.com**

**PENANGGUNG JAWAB MANAJEMEN KONSTRUKSI**

**NAMA** \_\_\_\_\_ **TTD** \_\_\_\_\_

**Ir. SONNY CAHYO BAWANA** **TTD**

**KONSULTAN QS :**

**CIPTA PRIMA SEMARANG**  
**Jl. Raya Paseban Km. 1, Gading Serpong, Tangerang - 15254**  
**EMAIL: qsi@ciptaprimalita.com**

**KONSULTAN ARSITEKTUR, STRUKTUR DAN MEP**

**BROADWAY MALAYAN**  
 152 Beach Road #07-01/04  
 The Gateway East  
 Singapore, 189721

**PT. PANDEGA DESAIN**  
**WEHAMRMA (PDW)**  
**Jl. TB SIMATUPANG,**  
**RT. 001 RW. 001**  
**TEL: (+62) 21-7950-6177**  
**FAX: (+62) 21-7950-6178**  
**EMAIL: johenv@pdw.net.id**

**PENANGGUNG JAWAB PERENCANAAN STRUKTUR**

**NAMA** \_\_\_\_\_ **TTD** \_\_\_\_\_

**STEPHANUS S.P., M.ENG** **TTD**

**NO. SKA** 1.2.201-1.025.09.1627158

**GERAL DENAI SANIHONG DAN KARYA SENI YANG TERDAPAT PADA DOKUMEN INI HANYA BERPENGARUH PADA PENGETAHUAN DAN KONSEP SISWA DAN TIDAK BERPENGARUH PADA HASIL KERJA SISWA.**  
**UNDANG-UNDANG HAK CIPTA, SISTEA WARNA GRIMAI TELAH DIPERKENALKAN PADA SISWA DAN TIDAK BERPENGARUH PADA HASIL KERJA SISWA.**  
**DIFERENSIASI TARA LINTAS SISWA DAN SISWA DALAM KEGIATAN BELAJAR.**  
**KONTAKTOSI BERDENGUNG UNTUK MENGETAHU**  
**DETAIL DENGUNG DAN KONSEP SISWA DALAM KEGIATAN BELAJAR.**  
**ADA KONSEP KONSEP HARGA DALAPORAN KEGIATAN**  
**MAKSUD DAN NAMAH DAN KONSEP KONSEP DENGUNG.**  
**DISKAUHAN DAN KONSEP KONSEP DENGUNG**  
**BERDENGUNG UNTUK MEMAHAMI PERSETUJUAN GAMBAR**  
**SEHARUSNYA DENGUNG DAN CINTA BAHAN DENGUNG.**

**REVISI**

**NO** \_\_\_\_\_ **CATATAN** \_\_\_\_\_

\_\_\_\_\_

\_\_\_\_\_

\_\_\_\_\_

\_\_\_\_\_

\_\_\_\_\_

\_\_\_\_\_

\_\_\_\_\_

\_\_\_\_\_

\_\_\_\_\_

\_\_\_\_\_

\_\_\_\_\_

\_\_\_\_\_

\_\_\_\_\_

\_\_\_\_\_

\_\_\_\_\_

\_\_\_\_\_

\_\_\_\_\_

\_\_\_\_\_

\_\_\_\_\_

\_\_\_\_\_

\_\_\_\_\_

\_\_\_\_\_

\_\_\_\_\_

\_\_\_\_\_

\_\_\_\_\_

\_\_\_\_\_

\_\_\_\_\_

\_\_\_\_\_

\_\_\_\_\_

\_\_\_\_\_

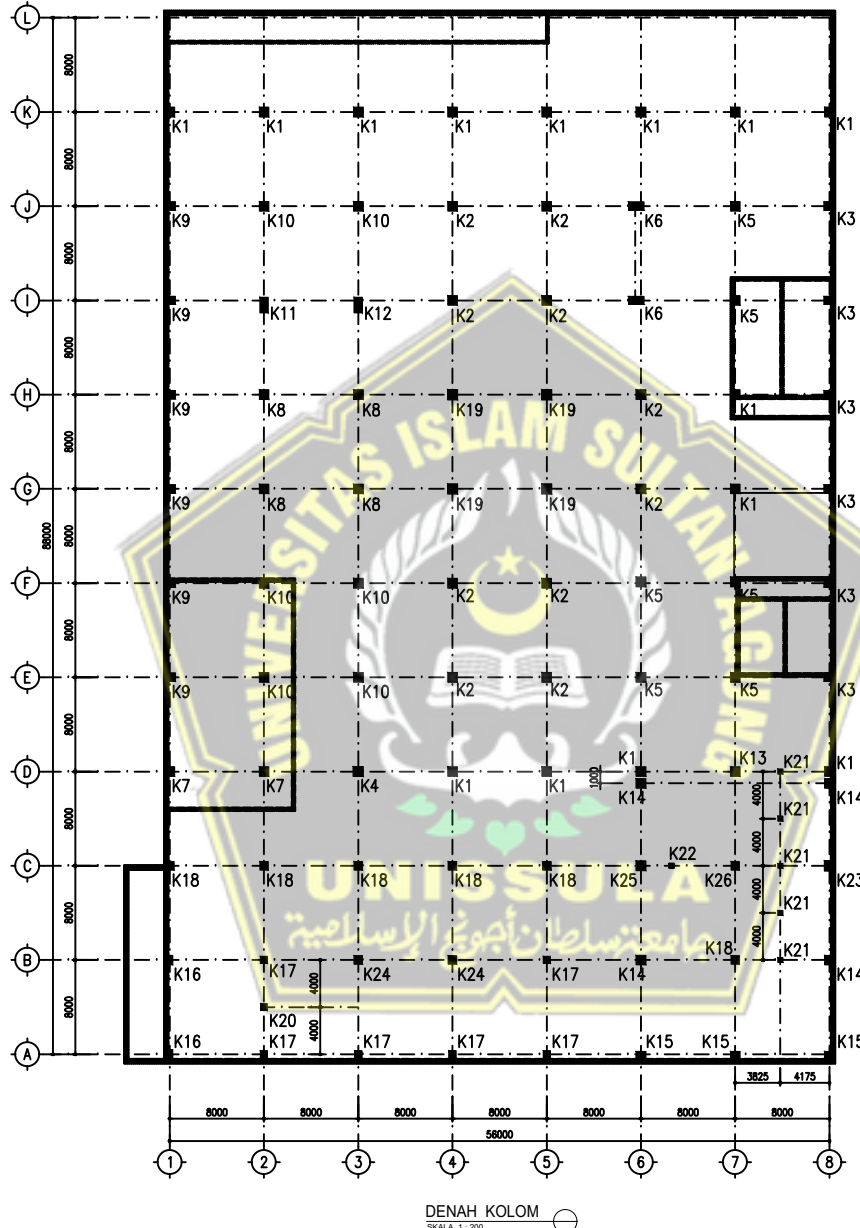
\_\_\_\_\_

\_\_\_\_\_

\_\_\_\_\_

\_\_\_\_\_

\_\_\_\_\_



**DENAH KOLOM**

**NO PROJEK** \_\_\_\_\_ **NO GAMBAR** \_\_\_\_\_ **SKALA** \_\_\_\_\_

- S-1501 1:200

**DIREKLARASI UNTUK**  
**DOKUMEN TENDER**

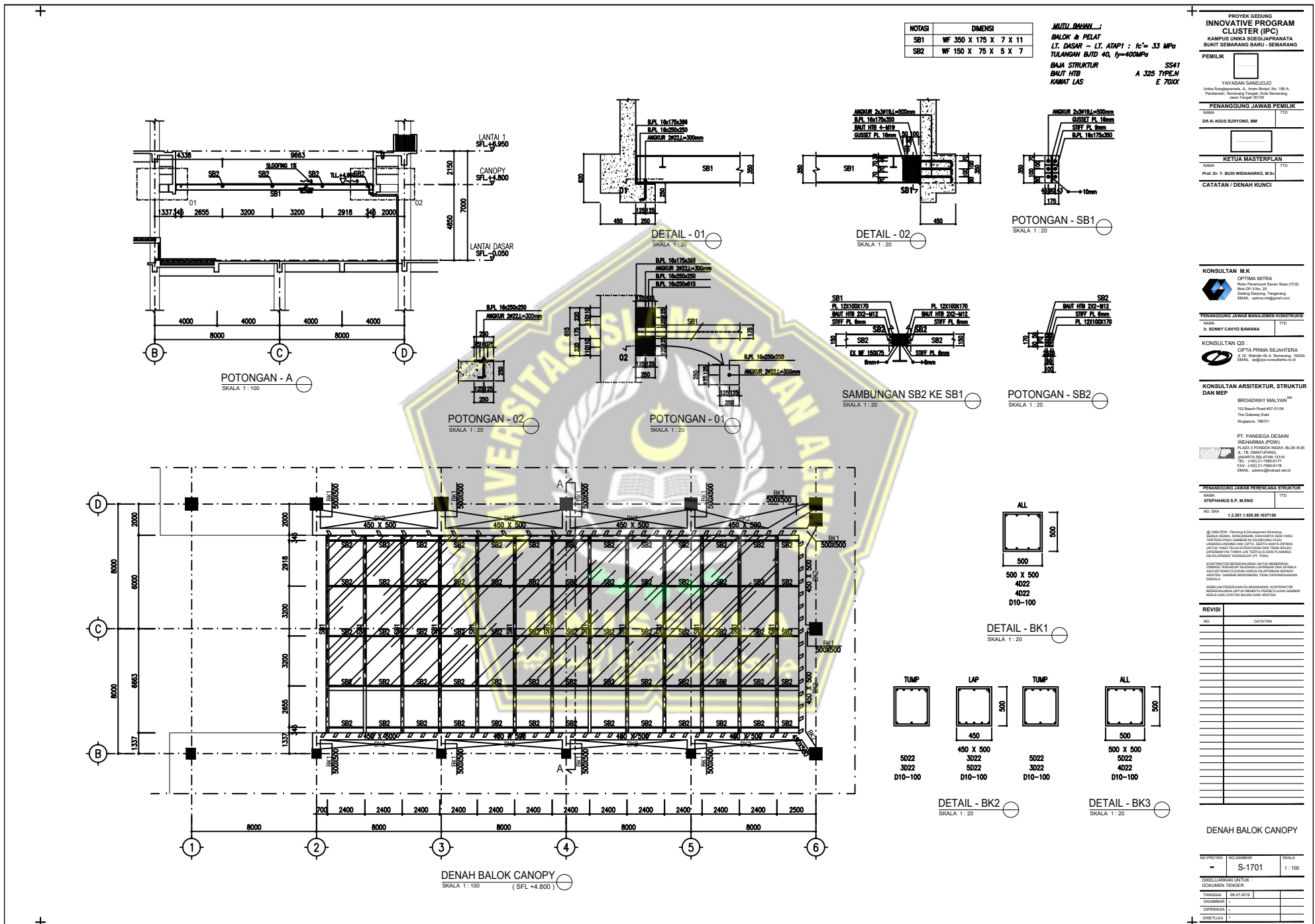
**TANGGAL** 08.07.2019

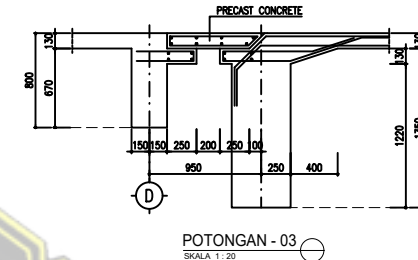
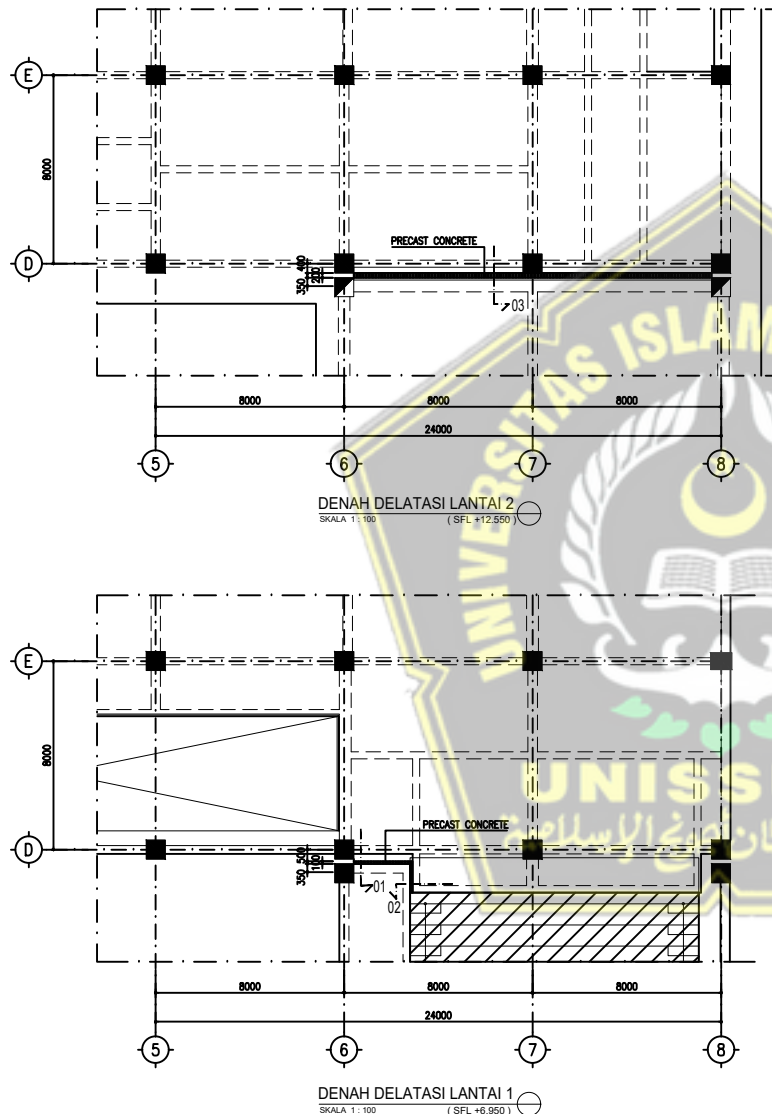
**DIGAMBAR** \_\_\_\_\_

**DIPERBAKI** \_\_\_\_\_

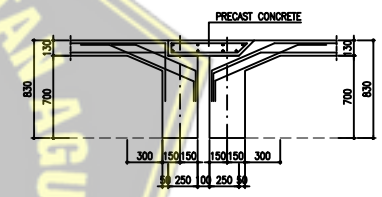
**DIBETULAKAN** \_\_\_\_\_

**DILAKUKAN** \_\_\_\_\_

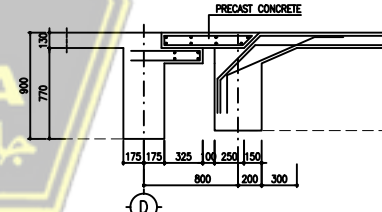




POTONGAN - 03  
SKALA 1 : 20



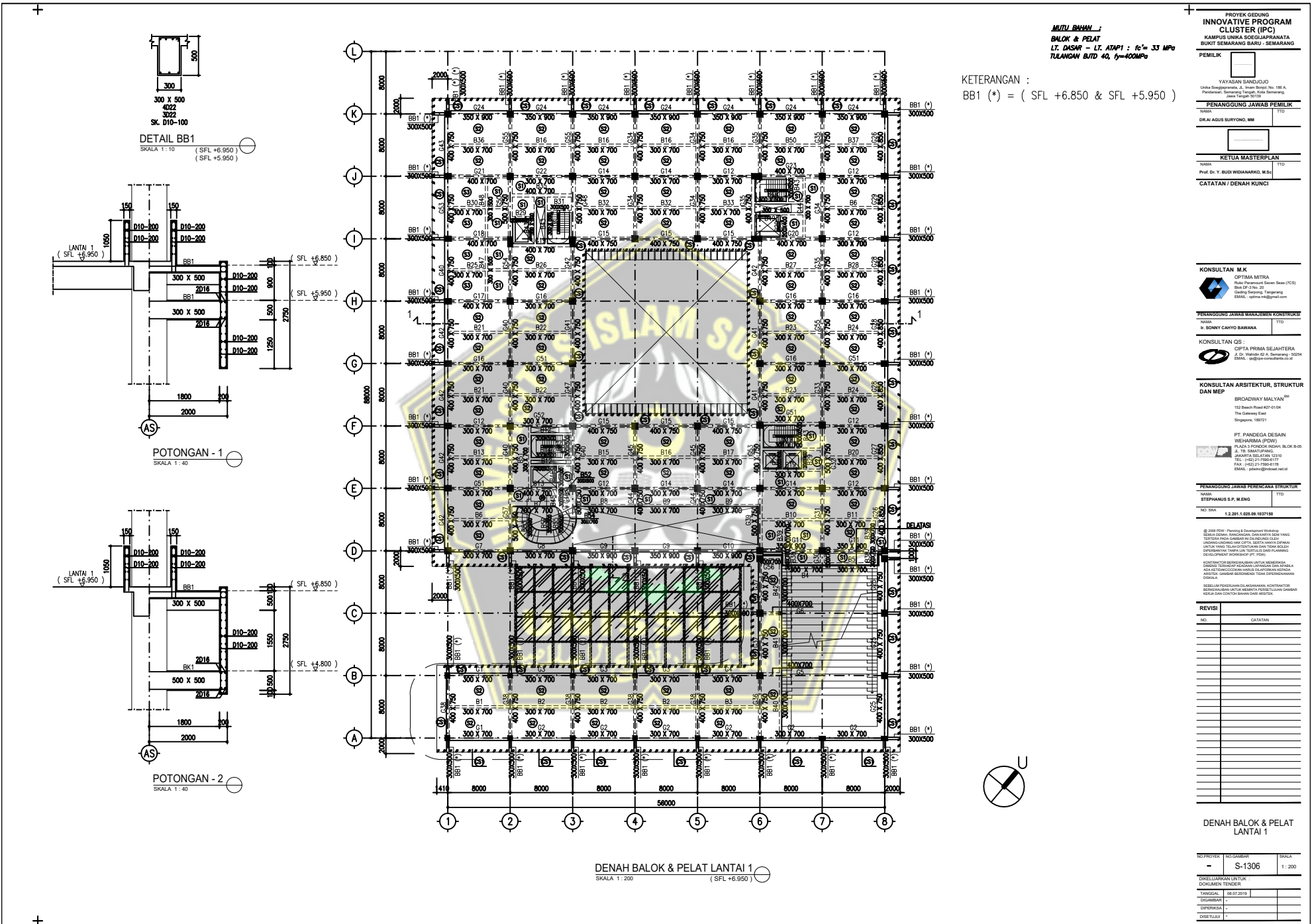
POTONGAN - 02



POTONGAN - 01

DENAH & POTONGAN  
DEI ATAS LT 1 & LT 2

|   |               |         |
|---|---------------|---------|
| NO PROYEK   | NO GAMBAR     | SKALA   |
| -   | <b>S-1313</b> | 1 : 100 |
| <b>DIKELUARKAN UNTUK :</b><br><b>DOKUMEN TENDER</b> |               |         |
| TANGGAL   | 08.07.2019    |         |
| DIGAMBAR  | -             |         |
| DIPERIKSA   | -             |         |
| DISETUJUI   | -             |         |





**MUTU BAHAN :**  
**BALOK & PELAT :**  $f_c' = 33 \text{ MPa}$   
**LT. DASAR - LT. ATAP1 :**  $f_y = 400 \text{ MPa}$   
**TULANGAN BJT 40;**  $f_y = 400 \text{ MPa}$

PEMILIK

**YAYASAN SANDUJO**  
 Unit Kegiatan Masyarakat No. 18A  
 Pendem, Semarang Tengah, Kota Semarang

PENANGGUNG JAWAB PEMILIK

**NAMA:**  TTD  
**DR.I AGUS SURYONO, MM**

KETUA MASTERPLAN

**NAMA:**  TTD  
**Prof. Dr. Y. BUDI WIDIANARKO, M.Sc**

CATATAN / DENAH KUNCI

**KONSULTAN MK**  
**OPTIMA MITRA**  
 Ruang Pameran Seven Seas (TPCS)  
 Blok B2, Lantai 2, Gading Serpong, Tangerang  
 EMAIL: optimamitra@gmail.com

PENANGGUNG JAWAB MANAJEMEN KONSTRUKSI

**NAMA:**  TTD  
**IR. SONNY CAHYO BAWANA**

KONSULTAN QS :

**CIPTA PRIMA SENTRALITA**  
 Blok B2, Lantai 2A, Semerang - 50254  
 EMAIL: qsi@ciptaprimalita.co.id

**KONSULTAN ARSITEKTUR, STRUKTUR DAN MEP**  
**BROADWAY MALAYAN**  
 152 Beach Road #07-01/04  
 The Gateway East  
 Singapore 189721

**PT. PANDEGA DESAIN**  
**WEHAMRMA (PDW)**  
 P/L 10, Jl. Puri Indah Blok B-05  
 Jl. TB. SIMATUPANG  
 Telp: (+62) 21-7950-6177  
 fax: (+62) 21-7950-6178  
 EMAIL: johenc@pdw.net.id

**PENANGGUNG JAWAB PERENCANAAN STRUKTUR**  
**NAME:**  TTD  
**STEPHANUS S.P. M.ENG**

NO. SKA: 1.2.201-1.028.09.1627158

GEJELAGAN DENAH, SANGKAR DAN KARISI YANG  
 TERDAPAT PADA DOKUMEN DILAKUKAN UNTUK  
 UNDANG-UNDANG HAK CIPTA, SISTEA MASA DINAMIKA  
 TELAH DILAKUKAN PADA DOKUMEN DILAKUKAN  
 DIPERBAIKI, TAPI LINTAS SISTELE DAN PLANNING  
 DILAKUKAN PADA DOKUMEN DILAKUKAN

**KONTAKTOSI BERKHARAFAN UNTUK MENGETAHUI  
 DILAKUKAN PADA DOKUMEN DILAKUKAN**  
 ADA KONTAKCOKAN HADIAH DALAPORAN KEGIATAN  
 MASUK DAN KEGIATAN DALAPORAN KEGIATAN  
 DILAKUKAN

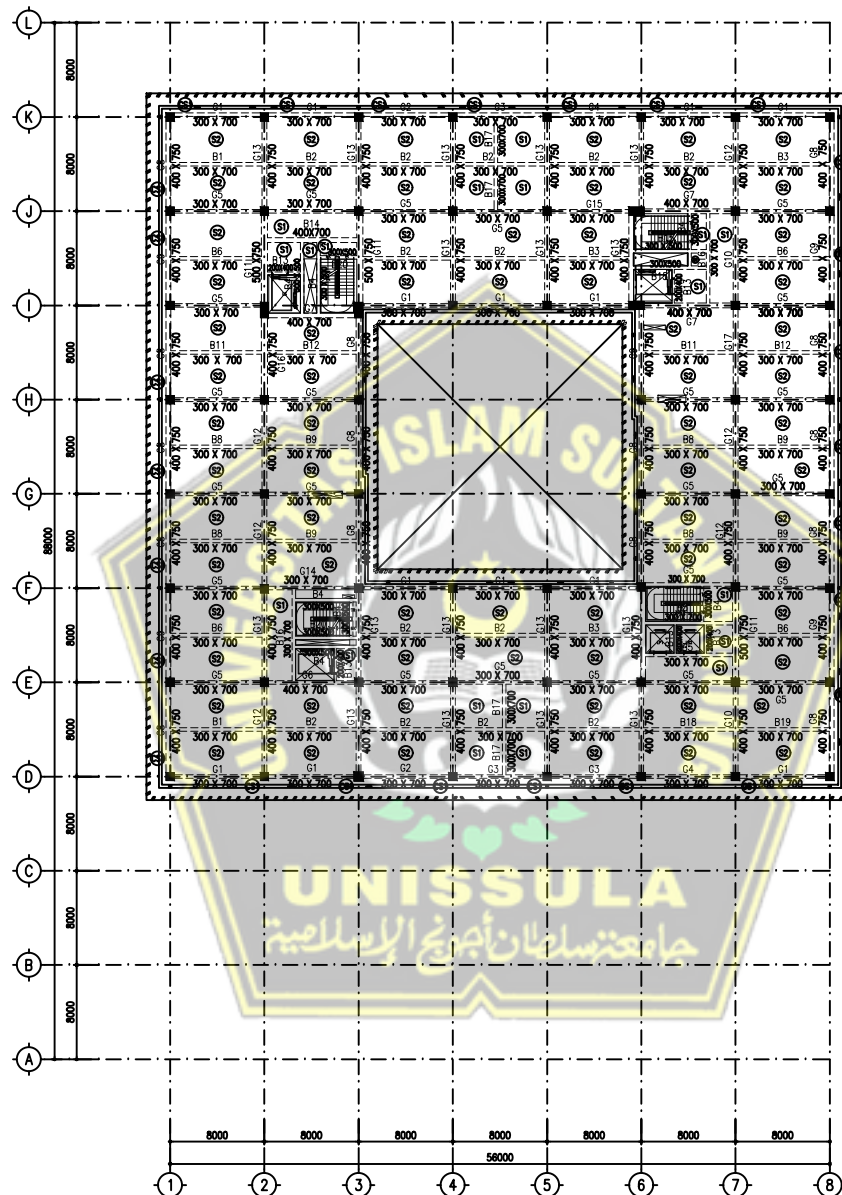
DILAKUKAN KARAFAN KONTAKTOR  
 BERKHARAFAN UNTUK MEMERIKA PESERTA DILAKUKAN  
 RIFL DILAKUKAN DILAKUKAN DILAKUKAN

REVISI

**NO:**   
**CATATAN:**

**DENAH BALOK & PELAT LANTAI 3**  
 SKALA 1 : 200  
 (SFL +16.750)

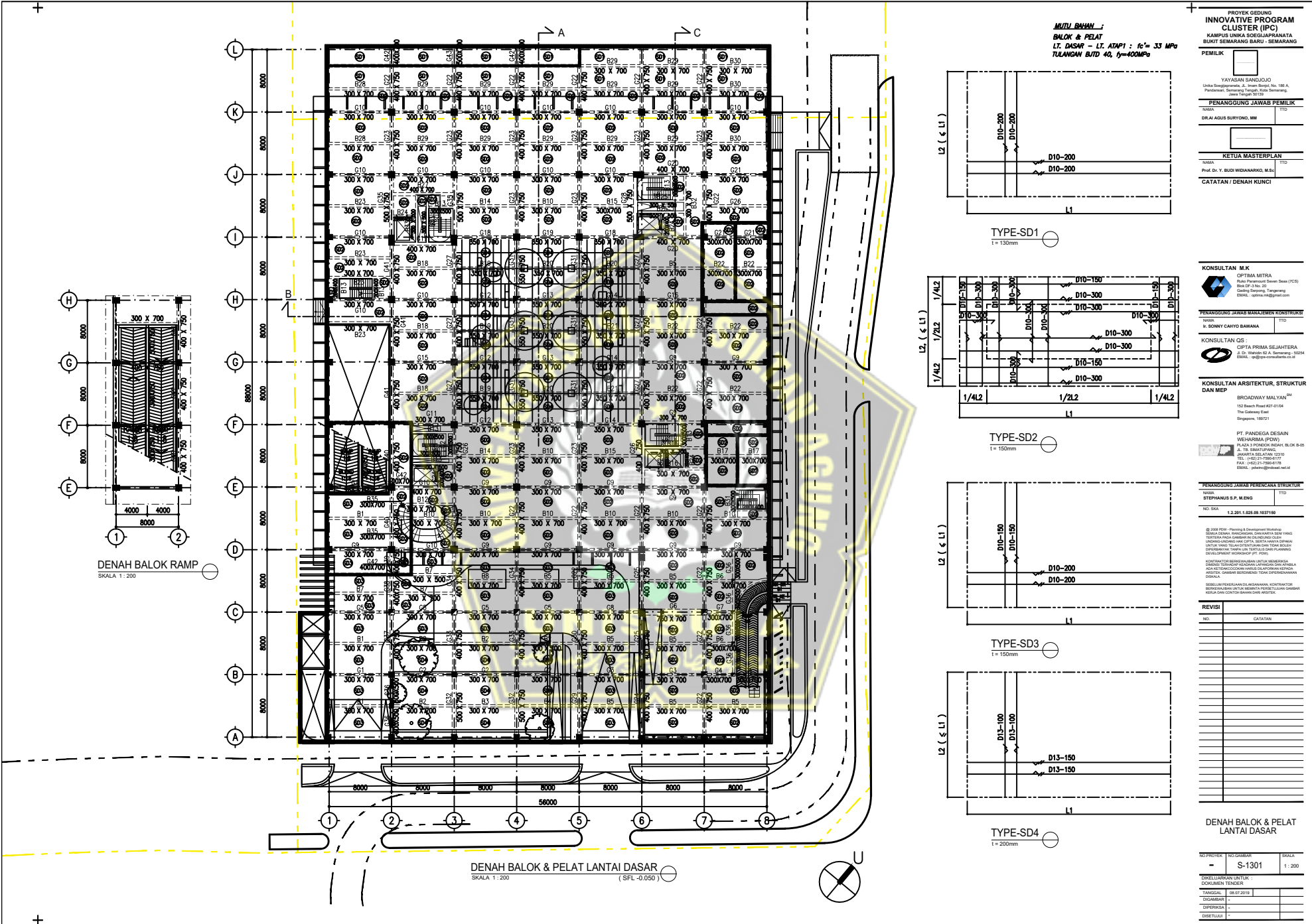
| NO PROYEK                           | NO GAMBAR  | SKALA   |
|-------------------------------------|------------|---------|
| -                                   | S-1308     | 1 : 200 |
| DIREKLARASI UNTUK<br>DOKUMEN TENDER |            |         |
| TANGGAL                             | 08.07.2019 |         |
| DIGAMBAR                            | +          |         |
| DIPERBAIKI                          | +          |         |
| DIBETULAI                           | +          |         |

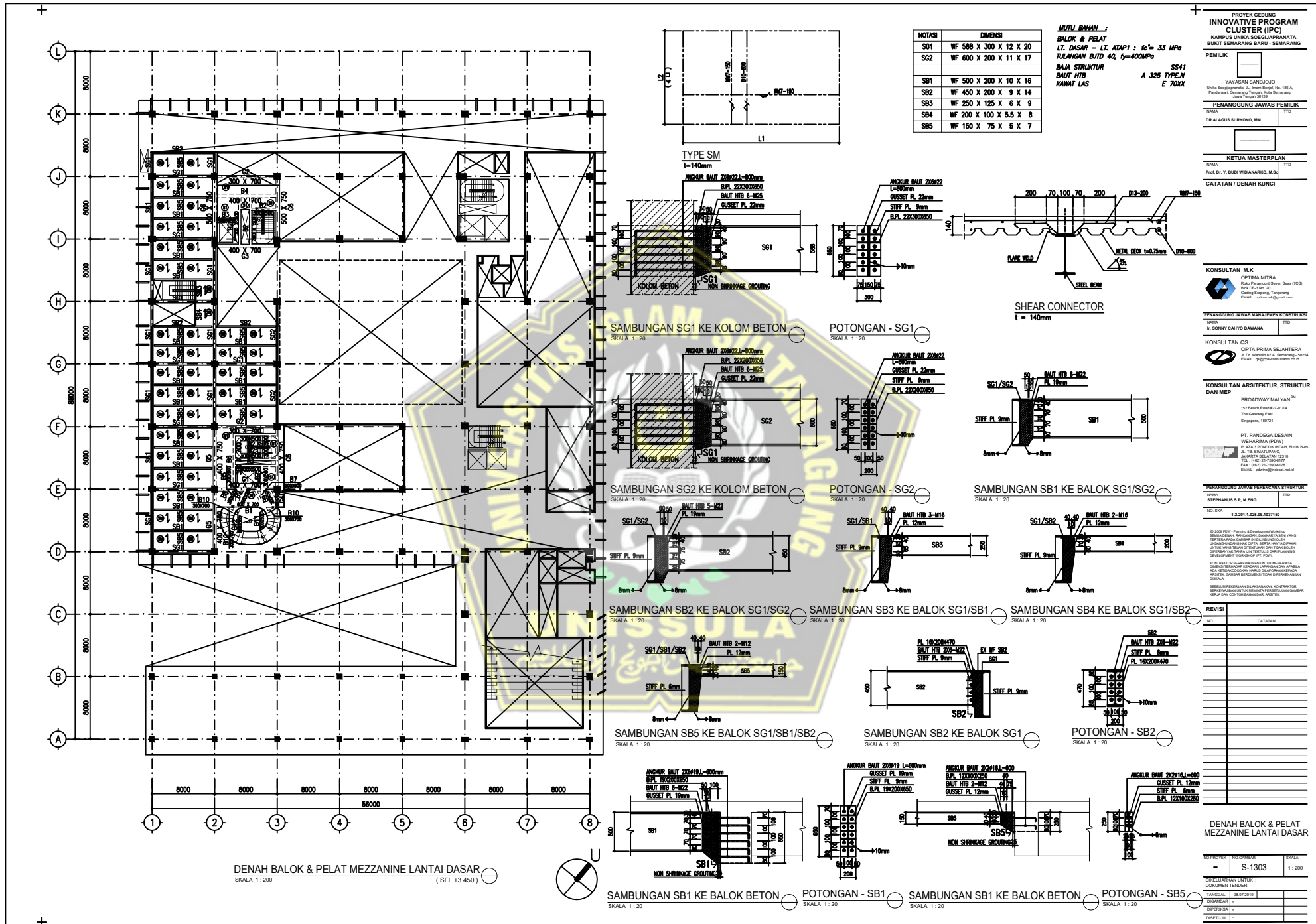


**DENAH BALOK & PELAT LANTAI 3**  
 SKALA 1 : 200  
 (SFL +16.750)



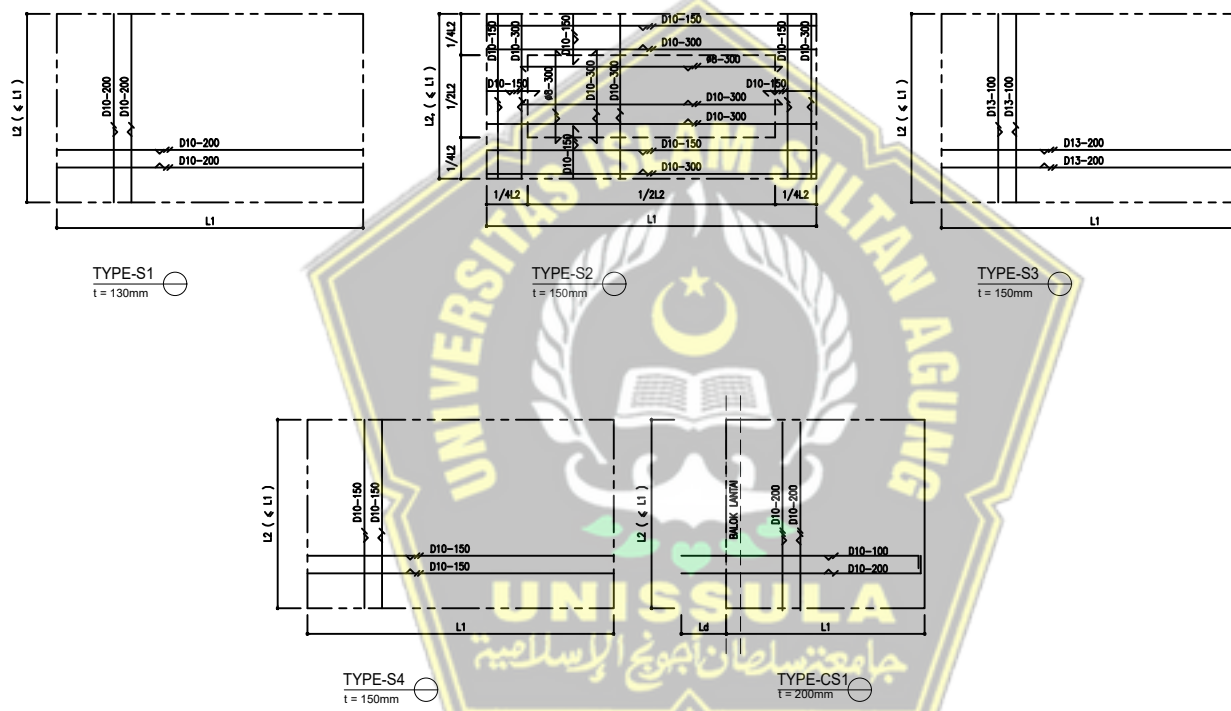






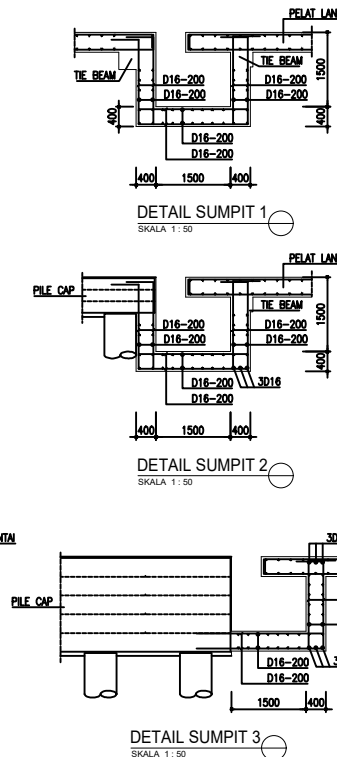
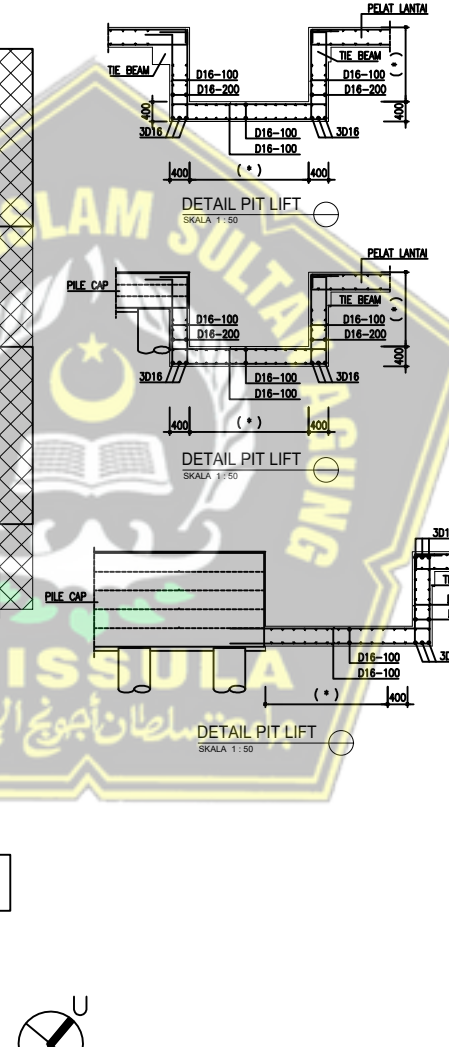
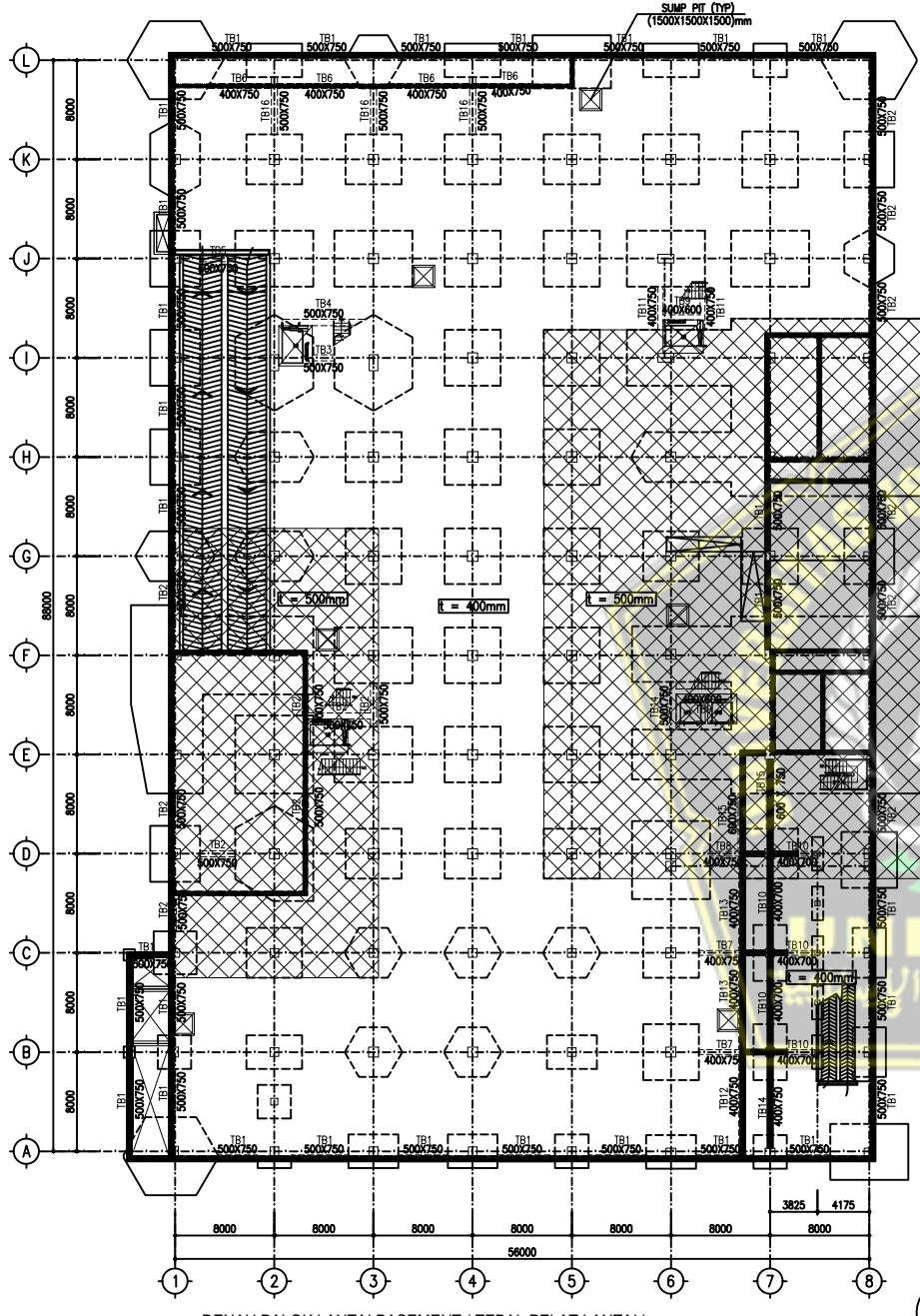


|   |  |
|---|--|
| <b>MUTU BAHAN :</b>   | <b>PROYER GEBUNG</b>   |
| <b>BALOK &amp; PELET</b>  | <b>INNOVATIVE PROGRAM</b>                                    |
| <b>LT. DASAR - LT. ATAP : <math>f_c' = 33 \text{ MPa}</math></b>                                | <b>CLUSTER (IPC)</b>   |
| <b>TULANGAN BTUD 40, <math>f_y=400\text{MPa}</math></b>   | KAMPUS UNIKSO SOEGIARANATA<br>BUKIT SEMARANG BARU - SEMARANG |
| <b>PEMILIK</b>  |  |
| +<br>YAYASAN SANJUDJO   |  |
| Untuk Sosial Keagamaan dan Kemanusiaan No. 188 A,<br>Panderman, Semarang Tengah, Kota Semarang. |  |
| <b>PENANGGUNG JAWAB PEMILIK</b>   |  |
| <b>NAMA</b>   | <b>TTD</b>   |
| DR.I AGUS SURYONO, MM   |  |
| <b>KETUA MASTERPLAN</b>   |  |
| <b>NAMA</b>   | <b>TTD</b>   |
| Prof. Dr. Ir. Y. BUDI WIDANARKO, M.Sc   |  |
| <b>CATATAN / DENAH KUNCI</b>  |  |



DETAIL PENULANGAN PELAT

|                                       |                            |              |
|---------------------------------------|----------------------------|--------------|
| NO PROYEK<br>-                        | NO.CAMBAR<br><b>S-1312</b> | SKALA<br>NTS |
| DIKELUARKAN UNTUK :<br>DOKUMEN TENDER |                            |              |
| TANGGAL                               | <b>03.07.2019</b>          |              |
| DIGAMBAR                              | -                          |              |
| DIPERKSA                              | -                          |              |
| DISETUJUI                             |                            |              |



**PROYEK GEDUNG INNOVATIVE PROGRAM CLUSTER (IPC)**  
**KAMPUS UNIK SOEGIJAPRANATA BUKIT SEMARANG BARU - SEMARANG**

**PEMILIK**  
YAYASAN SANUDJO  
Unika Soegijapranata, Jl. Islam Bonci No. 188 A, Pandaran Semarang Tengah, Kota Semarang, Jawa Tengah 50132, Indonesia

**PENANGGUNG JAWAB PEMERINTAH**  
NAMA DR. AI AGUS SURYONO, MM  
TTD

**KETUA MASTERPLAN**  
NAMA Prof. Dr. Y. BUDI WIDIANARKO, M.Sc  
TTD

**CATATAN / DENAH KUNCI**

**KONSULTAN M.K**  
OPTIMA MITRA  
Block DF-3 no. 20  
Gading Serpong, Tanggerang Selatan, Banten 15314, Indonesia

**PENANGGUNG JAWAB MANAJEMEN KONSTRUKSI**  
NAMA Ir. SONNY CAHYO BAWANA  
TTD

**KONSULTAN OS :**  
CIPRA PRIMA SEJAHTERA  
Jl. Dr. Wahid Hasyim 62 A, Semerang - 50254  
EMAIL: cipra-prima@indosat.net.id

**KONSULTAN ARSITEKTUR, STRUKTUR DAN MEP**  
BROADWAY MALAYAN SDN BHD  
152 Beach Road #07-01/04  
The Gateway East  
Singapore, 199711

**PT. PARAGA DESAIN WEHANA MANDIRI**  
PT. PARAGA DESAIN WEHANA MANDIRI INDONESIA  
Jl. TB. SIMATUPANG, NO. 100, RT. 001/RW. 001  
KOTA PONOROGO, JAWA TIMUR 61311  
TEL. (+62) 31-75904177  
FAX. (+62) 31-75904179  
EMAIL: paraga@paraga.net.id

**PENANGGUNG JAWAB PERENCANAAN STRUKTUR**  
NAMA STEPHANUS S.P.MENG  
TTD

**NO. SKA**  
1.2.201.1.025.09.1937150

**REVISI**  
NO. CATATAN

**DENAH LANTAI BASEMENT (TEBAL PELAT LANTAI)**

| NO PROYEK            | NO GAMBAR                  | SKALA   |
|----------------------|----------------------------|---------|
| -                    | S-1201                     | 1 : 200 |
| DIKELUARAKAN UNTUK : | DOMESTIK DAN INTERNASIONAL |         |
| TANGGAL              | 05.07.2019                 |         |
| DIGAMBAR             | -                          |         |
| DIPERIKSA            | -                          |         |
| DISETUJUI            | -                          |         |



MUTU BAHAN :  
DINDING BASEMENT :  $f'_c = 33 \text{ MPa}$   
TULANGAN BTJD 40,  $f_y = 400 \text{ MPa}$

PROYEK GEDUNG  
INNOVATIVE PROGRAM  
CLUSTER (IPC)  
KAMPUS UNIK SOEGIJAPRANATA  
BUKIT SEMARANG BARU - SEMARANG  
PEMILIK  
YAYASAN SANGGUDO  
Unika Soegijapranata, Jl. Iman Bonai, No. 188 A,  
Pandansari, Semarang Tengah, Kota Semarang  
PENANGGUNG JAWAB PEMILIK  
NAMA DR. AI AGUS SURYONO, MM  
TTD  
KETUA MASTERPLAN  
NAMA Prof. Dr. Y. BUDI WIDANARKO, M.Sc  
TTD  
CATATAN / DENAH KUNCI

KONSULTAN M.K  
OPTIMA MITRA  
Block D/F, Seven Seas (7CS)  
Gading Serpong, Tangerang  
EMAIL: optimamitra@gmail.com

PENANGGUNG JAWAB MANAJEMEN KONSTRUKSI  
NAMA Ir. SONNY CAHYO BAWANA  
TTD

KONSULTAN QS :  
CIPRA PRIMA SEJAHTERA  
Jl. Dr. Wahid Hasyim 62 A, Semerang - 50254  
EMAIL: qs@cipra-csemarang.co.id

KONSULTAN ARSITEKTUR, STRUKTUR  
DAN MEP

BROADWAY MALAYAN  
152 Beach Road #07-01/04  
The Gateway East  
Singapore, 199711

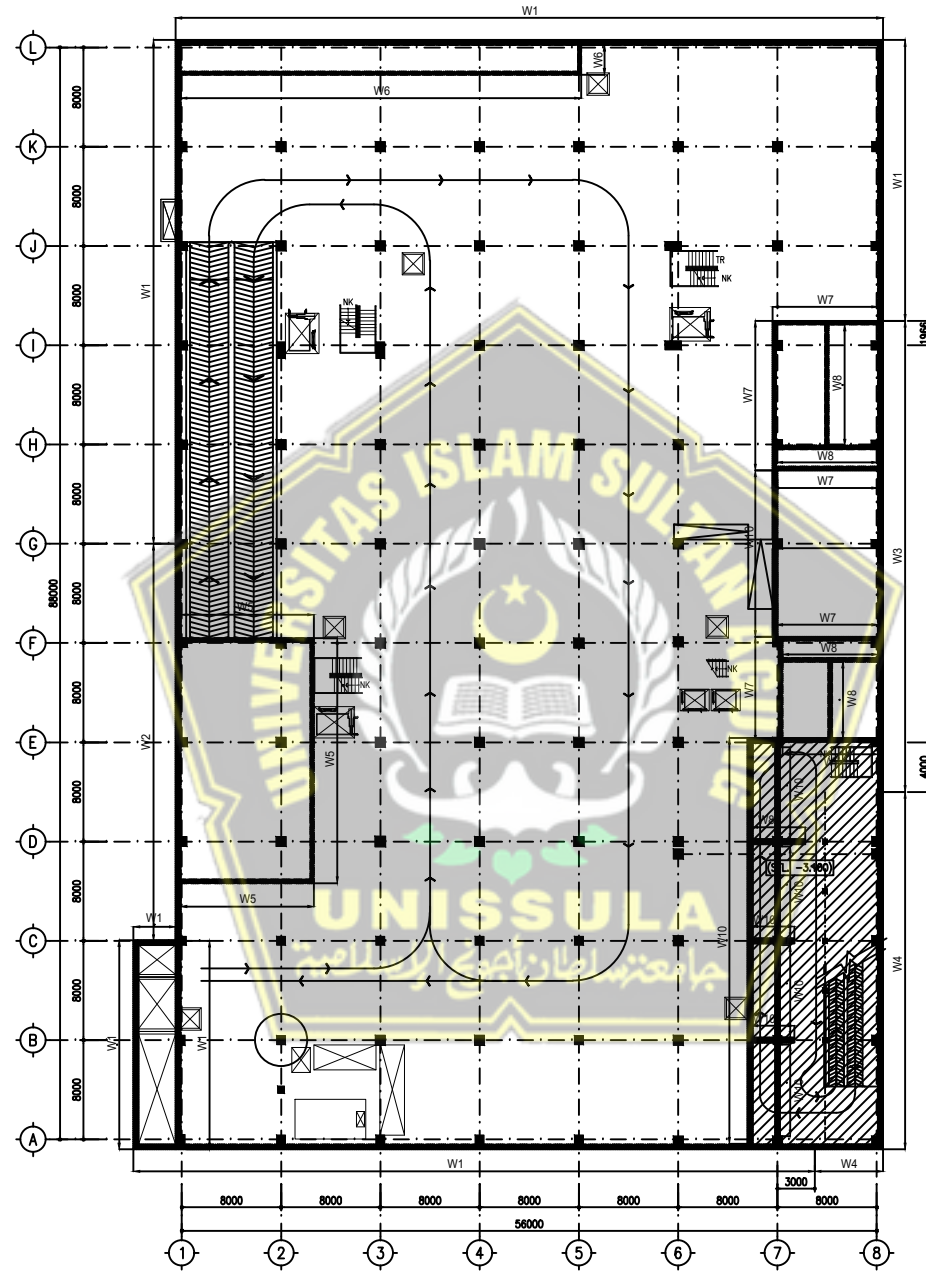
PT. PARAGA DESAIN  
WEHANDA GROUP  
Jl. TB. SIMATUPANG,  
Kota Administrasi Nasional, Blok B-05  
Kode Pos 14240  
TEL: (+62) 21-7590-6177  
FAX: (+62) 21-7590-6178  
EMAIL: paraga@paraga.net.id

PENANGGUNG JAWAB PERENCANAAN STRUKTUR  
NAMA STEPHANUS S.P., MENG  
TTD  
NO. SKA 1.2.201.1.025.09.1937150

PT. PARAGA DESAIN  
WEHANDA GROUP  
Jl. TB. SIMATUPANG,  
Kota Administrasi Nasional, Blok B-05  
Kode Pos 14240  
TEL: (+62) 21-7590-6177  
FAX: (+62) 21-7590-6178  
EMAIL: paraga@paraga.net.id

REVISI  
NO. CATATAN

| NO. PROYEK           | NO. GAMBAR | SKALA   |
|----------------------|------------|---------|
| -                    | S-1208     | 1 : 200 |
| DIKELUARAKAN UNTUK : | DESIGNER   |         |
| TANGGAL              | 05.07.2019 |         |
| DIGAMBAR             | -          |         |
| DIPERIKSA            | -          |         |
| DIBETULI             | -          |         |



DENAH RETAINING WALL  
SKALA 1 : 200



DENAH RETAINING WALL

PLATFORM ELEKTRONIK  
INNOVATIVE PROGRAM CLUSTER (IPC)  
KAMPUS UNIKMA SENGGAJARANATA  
BUKIT SEMARANG BARU - SEMARANG

PEMILIK

YAYASAN SANDIJOJO  
Untuk Pengembangan Sekolah No. 18A  
Pondokrejo, Semarang Tengah, Kota Semarang,  
Jawa Tengah 50131, Indonesia

PENANGGUNG JAWAB PEMILIK

NAMA : ITD

DR.I AGUS SURYONO, MM

KETUA MASTERPLAN

NAMA : Prof. Dr. Y. BUDI WIDIANARKO, M.Sc

CATATAN / DENAH KUNCI

MUTU BAHAN :  
DINDING BASMENT  $t = 33$  Mpa  
TULANGAN BTD  $40$ ,  $f_y = 400$  Mpa

KONSULTAN MK  
OPTIMA MITRA  
Ruko Puncak Seven Seas (PCS)  
Jl. Raya Puncak Selatan Km. 1  
Gading Serpong, Tangerang  
EMAIL: optima@optima.com

PENANGGUNG JAWAB MANAJEMEN KONSTRUKSI

NAMA : Ir. SONNY CAHYO BAWANA

KONSULTAN QS :

CIPTA PRIMA ARSITEKUTRA  
Jl. Raya Bintan II B Semerang - 50254  
EMAIL: cipta@cptaprime.com

KONSULTAN ARSITEKTUR DAN MEP

BROADWAY MALAYAN<sup>TM</sup>  
152 Beach Road #07-01/04  
The Gateway East  
Singapore, 189721

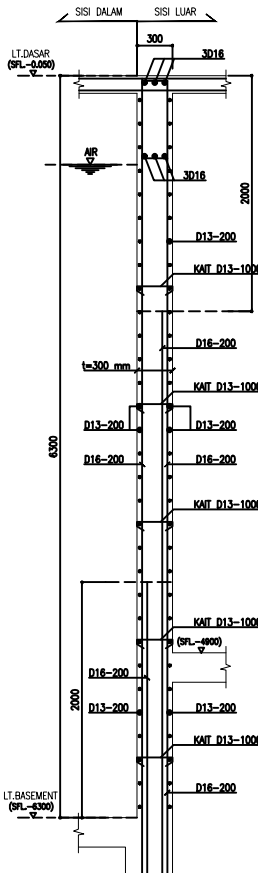
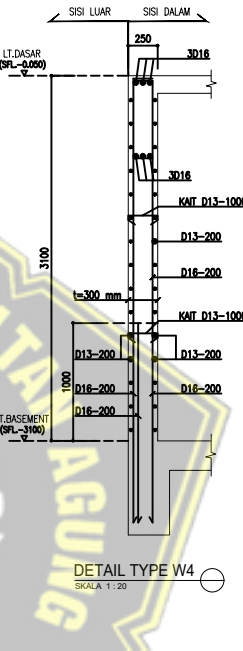
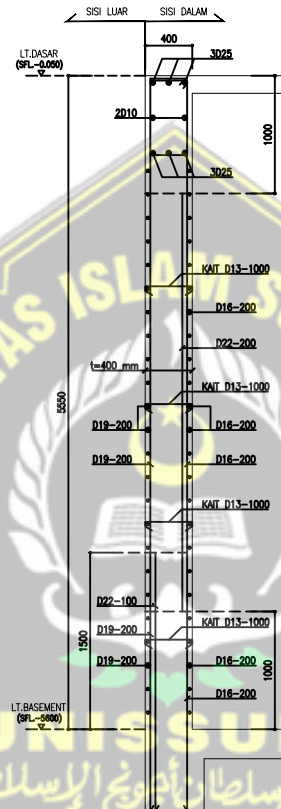
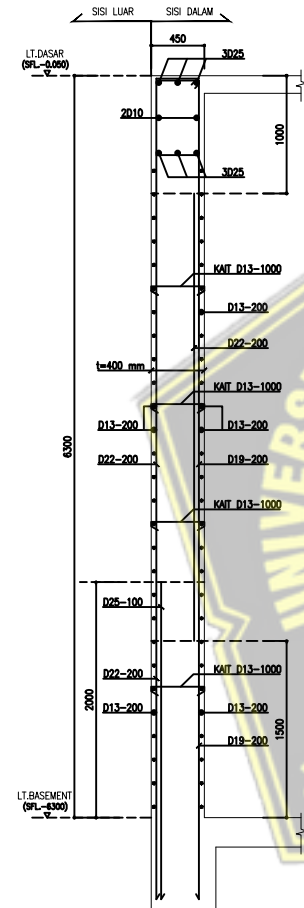
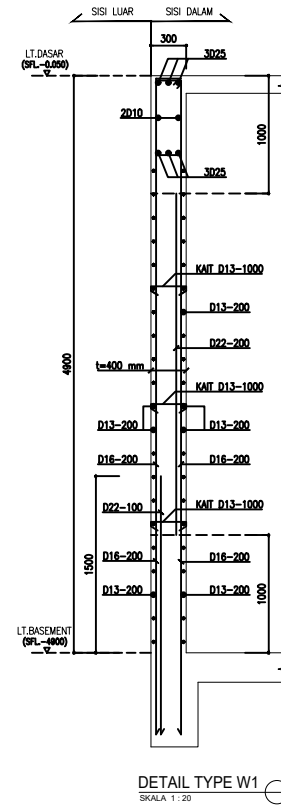
PT. PANDEGA DESAIN  
WEHAMRIMA (PDW)  
JL. RAYA BINTAN II B SEMERANG BLOCK B-05  
A. TB SIMATUPANG  
TELP : (+62) 21-7950-6177  
FAX : (+62) 21-7950-6178  
EMAIL: johenv@pdwehamrima.net.id

PENANGGUNG JAWAB PERENCANAAN STRUKTUR

NAMA : STEPHANUS S.P. M.ENG

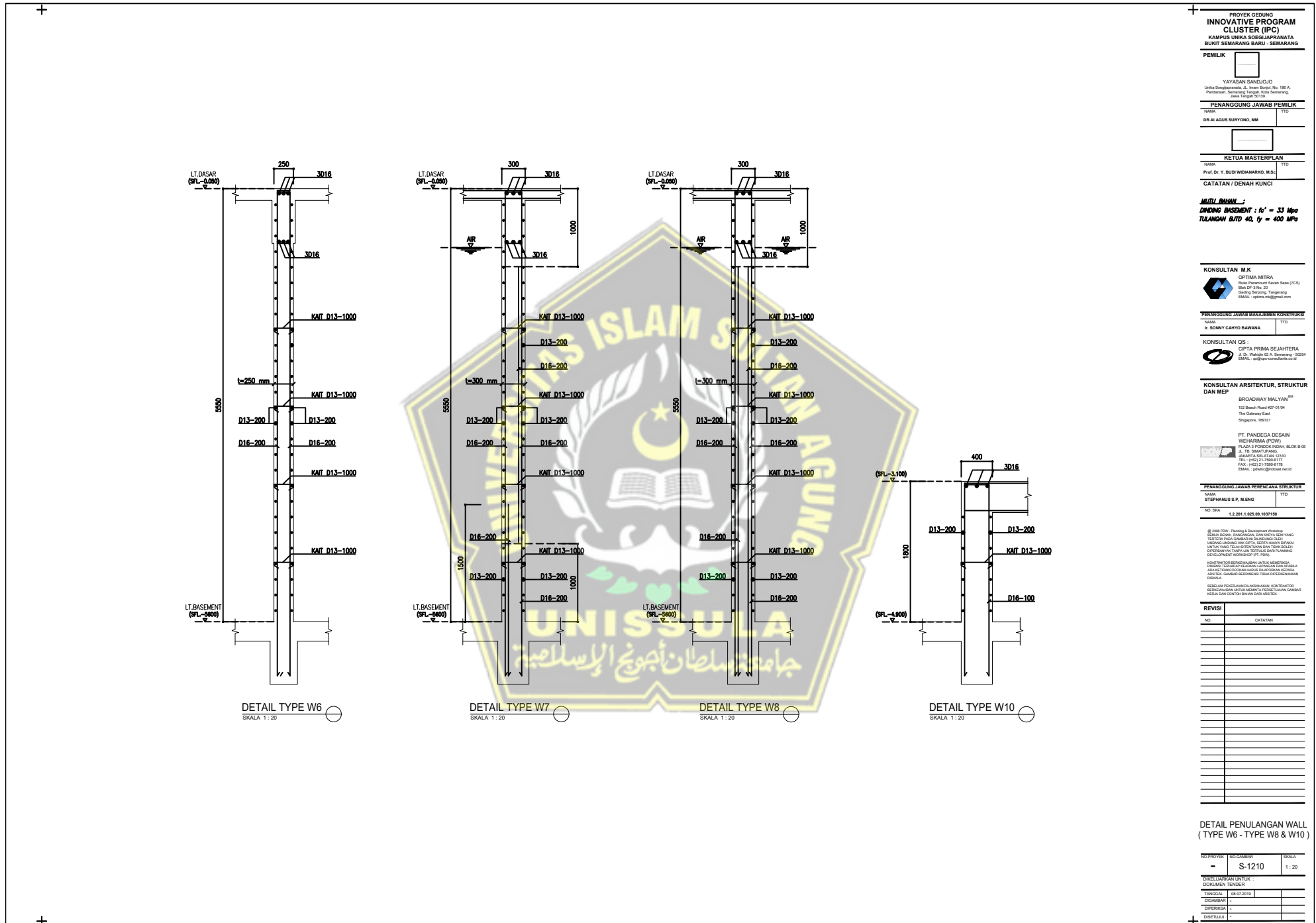
TITIK : ITD

NO. SKA : I.2.201-1.025.09.1027158



DETAIL PENULANGAN WALL  
(TYPE W1 - TYPE W5)

| NO PROJEK                                      | NO GAMBAR | SKALA |
|--|-----------|-------|
| -  | S-1209    | 1:20  |
| DIREKLARASI UNTUK<br>DOKUMEN TENDER            |           |       |
| TANGGAL : 08.07.2019                           |           |       |
| DIGAMBAR :<br>DIPERBAIKI :<br>DISETUJUI :<br>- |           |       |





**PT. GUNUNG GARUDA**

*Steel Is Our Business*



Product Catalogue

## Table Of Content

|                      |    |
|----------------------|----|
| Table of Content     | 01 |
| Production Workflow  | 02 |
|                      |    |
| Mainstream           |    |
| Angle (Hot Rolled)   | 06 |
| H-Beam               | 12 |
| Wide Flange (IWF)    | 14 |
|                      |    |
| Downstream           |    |
| Cell Form            | 20 |
| Honey comb           | 22 |
| T-Beam               | 24 |
| Kingcross            | 26 |
| Queencross           | 28 |
|                      |    |
| Certificate          | 30 |
| Steel Service Center | 32 |
| Application          | 34 |

## Introduction

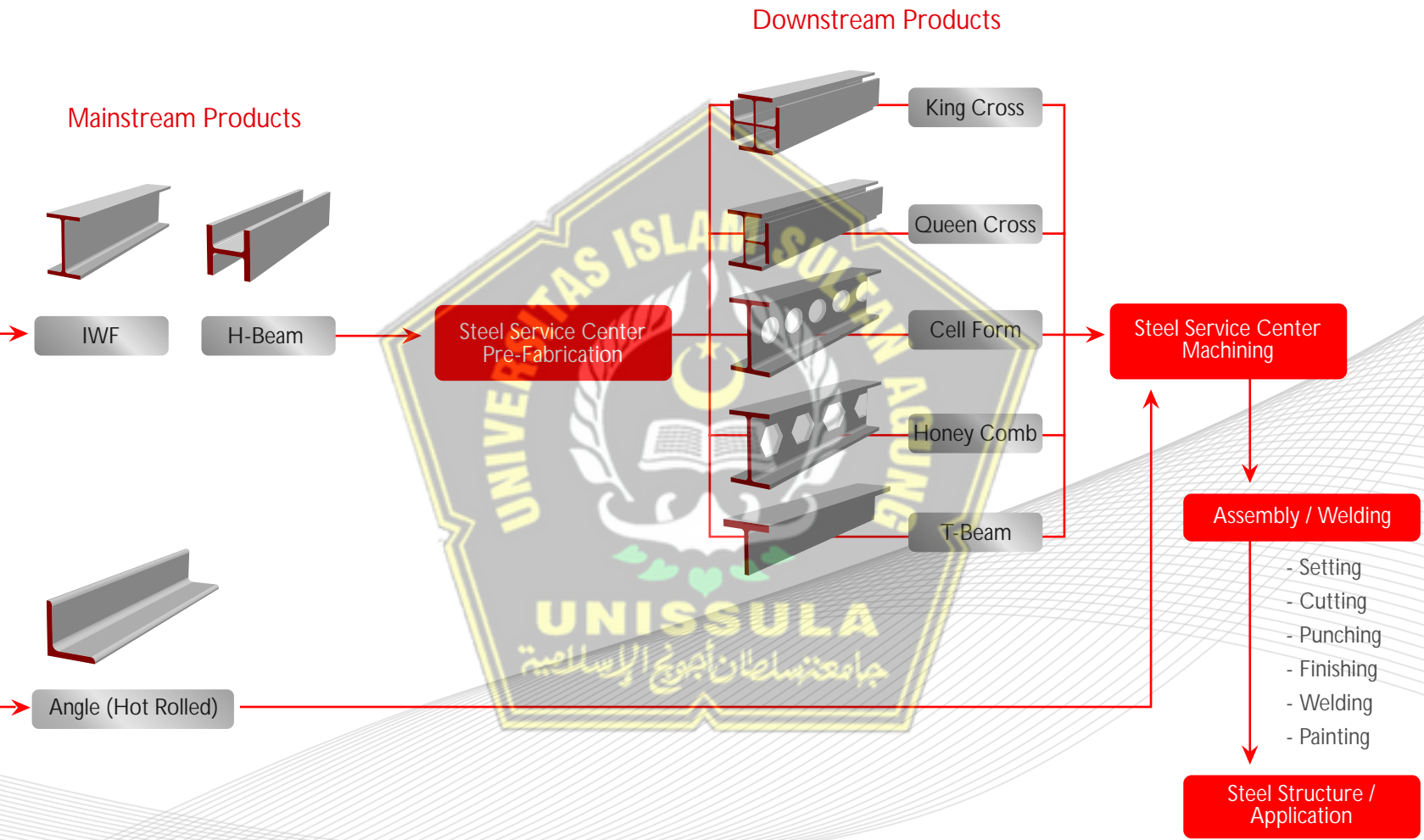
Established in 1986, PT. Gunung Garuda was the first company to manufacture structural steel products and hot rolled steel sections in Southeast Asia. The company produces heavy steel profile, with an annual production capacity of more than 800,000MT. Today, Gunung Garuda remains one of the largest and most dominant private steel manufacturer in South East Asia due to advanced technological and human investment made, starting from the very inception of the company.

Gunung Garuda produces high quality steel certified by Indonesian National Standard (SNI) and also conforms to JIS & equivalent to other international standards like ASTM, BS, DIN, etc. We takes a proactive approach towards quality. Inspections are conducted throughout the manufacturing and fabrication process to ensure compliance to international standards and our customers' requirements. Our quality management system meets ISO 9001 : 2008 standards. We always keeps ready stock to ensures prompt delivery for our customers

The information in this literature is correct at time of printing. However, specifications are subject to change without prior notice

## Production Workflow Gunung Garuda









Steel Structure : Mainstream



## Angle (Hot Rolled)



Steel Angle is an important structural steel section for manufacture of communication tower and power towers, as well as workshops and other engineering projects. It can be composed into different bearing components with different structures and it can also be used as joint pieces between the components.

Gunung Garuda's Angles are hot rolled and produced by rolling pre-heated blooms into an angle shape. The angle bars are manufactured under strict quality controls to ensure consistency and conformity to regional and international standards.

There are certain variations in the steel angles depending on its basic construction. The variations are if one leg is longer than the other then it is known as Unequal Angle / L-Angle. If the steel angle is something different from 90 degrees then it is known as V-Angle. Gunung Garuda's Hot Rolled Angles comes in equal and unequal angle.

Grades and sizes other than shown on the table may also be available depending upon section and quantity requirements.



Size Range : 50x50 to 250x250

Standard Length : 6m & 12m

Thickness Range : 5mm to 35mm

Annual Capacity : > 60.000 MT/Y

Standards : JIS G 3101 SS400 (Mild Steel)

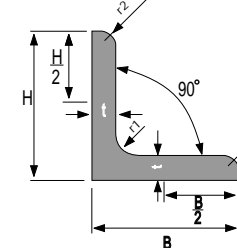
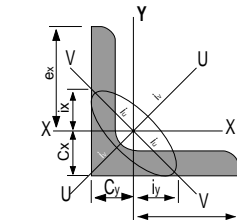
JIS G 3101 SS540 (High Strength)

## EQUAL ANGLE

Metric Size

| STANDARD SECTIONAL DIMENSIONS   |                               |                |                | SECTION AREA    | UNIT WEIGHT                     |                                 | INFORMATIVE REFERENCE |                    |                                 |                    |                    |                                 | MODULUS OF SECTION | REMARKS |                 |
|---------------------------------|-------------------------------|----------------|----------------|-----------------|---------------------------------|---------------------------------|-----------------------|--------------------|---------------------------------|--------------------|--------------------|---------------------------------|--------------------|---------|-----------------|
| C <sub>x</sub> = C <sub>y</sub> | GEOMETRICAL MOMENT OF INERTIA |                |                |                 | RADIUS OF GYRATION OF AREA      |                                 |                       |                    |                                 |                    |                    |                                 |                    |         |                 |
| H x B                           | t                             | r <sub>1</sub> | r <sub>2</sub> | A               | C <sub>x</sub> = C <sub>y</sub> | I <sub>x</sub> = I <sub>y</sub> | Max I <sub>u</sub>    | Min I <sub>v</sub> | I <sub>x</sub> = I <sub>y</sub> | Max I <sub>u</sub> | Min I <sub>v</sub> | Z <sub>x</sub> = Z <sub>y</sub> |                    |         |                 |
| mm x mm                         | mm                            | mm             | mm             | cm <sup>2</sup> | kg/m                            | kg/6m                           | kg/12m                | cm                 | cm <sup>4</sup>                 | cm <sup>4</sup>    | cm <sup>4</sup>    | cm                              | cm                 | cm      | cm <sup>3</sup> |
| 50 x 50                         | 5                             | 6.5            | 3              | 4.802           | 3.77                            | 22.62                           | 45.24                 | 1.410              | 11.100                          | 17.50              | 4.580              | 1.520                           | 1.91               | 0.98    | 3.080           |
| 50 x 50                         | 6                             | 6.5            | 4.5            | 5.644           | 4.43                            | 26.58                           | 53.16                 | 1.440              | 12.600                          | 20.00              | 5.230              | 1.500                           | 1.88               | 0.96    | 3.550           |
| 60 x 60                         | 5                             | 6.5            | 3              | 5.802           | 4.55                            | 27.5                            | 55                    | 1.660              | 19.600                          | 31.20              | 8.090              | 1.840                           | 2.32               | 1.18    | 4.520           |
| 60 x 60                         | 6                             | 8              | 4              | 6.910           | 5.40                            | 32.5                            | 65                    | 1.700              | 22.790                          | 36.16              | 9.420              | 1.820                           | 2.29               | 1.17    | 5.280           |
| 65 x 65                         | 5                             | 8.5            | 3              | 6.367           | 5.00                            | 30                              | 60                    | 1.770              | 25.300                          | 40.10              | 10.500             | 1.990                           | 2.51               | 1.28    | 5.350           |
| 65 x 65                         | 6                             | 8.5            | 4              | 7.527           | 5.91                            | 35.5                            | 71                    | 1.810              | 29.400                          | 46.60              | 12.200             | 1.980                           | 2.49               | 1.27    | 6.260           |
| 65 x 65                         | 8                             | 8.5            | 6              | 9.761           | 7.66                            | 46                              | 92                    | 1.880              | 36.800                          | 58.30              | 15.300             | 1.940                           | 2.44               | 1.25    | 7.960           |
| 70 x 70                         | 6                             | 8.5            | 4              | 8.127           | 6.38                            | 38.5                            | 77                    | 1.930              | 37.100                          | 58.90              | 15.300             | 2.140                           | 2.69               | 1.37    | 7.330           |
| 75 x 75                         | 6                             | 8.5            | 4              | 8.727           | 6.85                            | 41                              | 82                    | 2.060              | 46.100                          | 73.20              | 19.000             | 2.300                           | 2.90               | 1.48    | 8.470           |
| 80 x 80                         | 6                             | 8.5            | 4              | 9.230           | 7.32                            | 43.9                            | 87.8                  | 2.180              | 56.400                          | 89.60              | 23.200             | 2.460                           | 3.10               | 1.58    | 9.700           |
| 90 x 90                         | 7                             | 10             | 5              | 12.220          | 9.59                            | 57.6                            | 115.2                 | 2.460              | 93.000                          | 148.00             | 38.300             | 2.760                           | 3.48               | 1.77    | 14.200          |
| 90 x 90                         | 10                            | 10             | 7              | 17.000          | 13.30                           | 80                              | 160                   | 2.570              | 125.000                         | 199.00             | 51.700             | 2.710                           | 3.42               | 1.74    | 19.500          |
| 100 x 100                       | 7                             | 10             | 5              | 13.620          | 10.70                           | 64                              | 128                   | 2.710              | 129.000                         | 205.00             | 53.200             | 3.080                           | 3.88               | 1.98    | 17.700          |
| 100 x 100                       | 10                            | 10             | 7              | 19.000          | 14.90                           | 89.5                            | 179                   | 2.820              | 175.000                         | 278.00             | 72.000             | 3.040                           | 3.83               | 1.95    | 24.400          |
| 120 x 120                       | 8                             | 12             | 5              | 18.760          | 14.70                           | 88                              | 176                   | 3.240              | 258.000                         | 410.00             | 106.000            | 3.710                           | 4.67               | 2.38    | 29.500          |
| 120 x 120                       | 11                            | 13             | 6.5            | 25.370          | 19.90                           | 119.5                           | 239                   | 3.300              | 340.000                         | 541.00             | 140.000            | 3.660                           | 4.62               | 2.35    | 39.360          |
| 120 x 120                       | 12                            | 13             | 6.5            | 27.540          | 21.60                           | 130                             | 260                   | 3.400              | 367.000                         | 583.00             | 151.000            | 3.650                           | 4.60               | 2.35    | 42.680          |
| 130 x 130                       | 9                             | 12             | 6              | 22.740          | 17.90                           | 107.4                           | 214.8                 | 3.530              | 366.000                         | 583.00             | 150.000            | 4.010                           | 5.06               | 2.57    | 38.700          |
| 130 x 130                       | 12                            | 12             | 8.5            | 29.760          | 23.40                           | 140.5                           | 281                   | 3.640              | 467.000                         | 743.00             | 192.000            | 3.960                           | 5.00               | 2.54    | 49.900          |
| 150 x 150                       | 12                            | 14             | 7              | 34.770          | 27.30                           | 164                             | 328                   | 4.140              | 740.000                         | 1,180.00           | 304.000            | 4.610                           | 5.82               | 2.96    | 68.100          |
| 150 x 150                       | 15                            | 14             | 10             | 42.740          | 33.60                           | 202                             | 404                   | 4.240              | 888.000                         | 1,410.00           | 365.000            | 4.560                           | 5.75               | 2.92    | 82.600          |
| 150 x 150                       | 19                            | 14             | 10             | 53.380          | 41.90                           | 251.5                           | 503                   | 4.400              | 1,090.000                       | 1,730.00           | 451.000            | 4.520                           | 5.69               | 2.91    | 103.000         |
| 175 x 175                       | 12                            | 15             | 11             | 40.520          | 31.80                           | 191                             | 382                   | 4.730              | 1,170.000                       | 1,860.00           | 480.000            | 5.380                           | 6.78               | 3.44    | 91.800          |
| 175 x 175                       | 15                            | 15             | 11             | 50.210          | 39.40                           | 236.5                           | 473                   | 4.850              | 1,440.000                       | 2,290.00           | 589.000            | 5.350                           | 6.75               | 3.48    | 114.000         |
| 200 x 200                       | 15                            | 17             | 12             | 57.750          | 45.30                           | 272                             | 544                   | 5.460              | 2,180.000                       | 3,470.00           | 891.000            | 6.140                           | 7.75               | 3.93    | 150.000         |
| 200 x 200                       | 20                            | 17             | 12             | 76.000          | 59.70                           | 358                             | 716                   | 5.670              | 2,820.000                       | 4,490.00           | 1,160.000          | 6.090                           | 7.68               | 3.90    | 197.000         |
| 200 x 200                       | 25                            | 17             | 12             | 93.750          | 73.60                           | 442                             | 884                   | 5.860              | 3,420.000                       | 5,420.00           | 1,410.000          | 6.040                           | 7.61               | 3.88    | 242.000         |
| 250 x 250                       | 25                            | 24             | 12             | 119.400         | 93.70                           | 562                             | 1124                  | 7.100              | 6,950.000                       | 11,000.00          | 2,860.000          | 7.630                           | 9.62               | 4.89    | 388.000         |
| 250 x 250                       | 35                            | 24             | 18             | 162.600         | 128.00                          | 768                             | 1536                  | 7.450              | 9,110.000                       | 14,400.00          | 3,790.000          | 7.490                           | 9.42               | 4.83    | 519.000         |

NOTE : Non standard sizes are available upon request and subject to minimum quantity

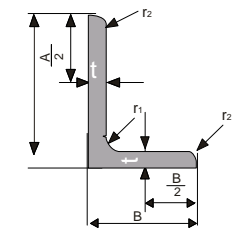


## UNEQUAL ANGLE

Metric Size

| STANDARD SECTIONAL DIMENSIONS |   |    |    | SECTION AREA   | UNIT WEIGHT     | INFORMATIVE REFERENCE |       |                |                |                    |                    |                 |                 |                    |                    |                |                | tan α | MODULUS OF SECTION | REMARKS         |      |      |
|-------------------------------|---|----|----|----------------|-----------------|-----------------------|-------|----------------|----------------|--------------------|--------------------|-----------------|-----------------|--------------------|--------------------|----------------|----------------|-------|--------------------|-----------------|------|------|
| H                             | x | B  | t  | r <sub>1</sub> | r <sub>2</sub>  | Cx                    | Cy    | I <sub>x</sub> | I <sub>y</sub> | Max I <sub>u</sub> | Min I <sub>v</sub> | I <sub>x</sub>  | I <sub>y</sub>  | Max I <sub>u</sub> | Min I <sub>v</sub> | Z <sub>x</sub> | Z <sub>y</sub> |       |                    |                 |      |      |
| mm                            | x | mm | mm | mm             | cm <sup>2</sup> | kg/m                  | kg/6m | kg/12m         | cm             | cm                 | cm <sup>4</sup>    | cm <sup>4</sup> | cm <sup>4</sup> | cm <sup>4</sup>    | cm                 | cm             | cm             | cm    | cm <sup>3</sup>    | cm <sup>3</sup> |      |      |
| 125                           | x | 75 | 8  | 11             | 12              | 15.5                  | 12.2  | 73             | 146            | 4.14               | 1.68               | 247             | 67.6            | 274                | 40.9               | 3.96           | 2.06           | 4.17  | 1.61               | 0.360           | 29.6 | 11.6 |
| 125                           | x | 75 | 9  | 17             | 12              | 93.750                | 13.49 | 81             | 162            | 4.22               | 1.75               | 299             | 80.8            | 330                | 49.0               | 3.96           | 2.06           | 4.17  | 1.61               | 0.676           | 17.4 | 12.4 |
| 125                           | x | 75 | 10 | 10             | 7               | 19.00                 | 14.9  | 89             | 178            | 4.22               | 1.75               | 299             | 80.8            | 330                | 49.0               | 3.96           | 2.06           | 4.17  | 1.61               | 0.357           | 36.1 | 14.1 |
| 150                           | x | 90 | 9  | 12             | 6               | 20.94                 | 16.4  | 98.5           | 197            | 4.95               | 1.99               | 485             | 133             | 537                | 80.4               | 4.81           | 2.52           | 5.06  | 1.96               | 0.361           | 48.2 | 19.0 |
| 150                           | x | 90 | 10 | 12             | 6               | 23.2                  | 18.1  | 109            | 218            | 5.00               | 2.04               | 533             | 146             | 591                | 88.3               | 4.31           | 2.52           | 5.06  | 1.96               | 0.360           | 53.3 | 21   |
| 150                           | x | 90 | 12 | 12             | 8.5             | 27.36                 | 21.5  | 129.5          | 259            | 5.07               | 2.10               | 619             | 167             | 685                | 102                | 4.76           | 2.47           | 5.00  | 1.93               | 0.357           | 62.3 | 24.3 |
|                               |   |    |    |                |                 |                       |       |                |                |                    |                    |                 |                 |                    |                    |                |                |       |                    |                 |      |      |

NOTE : Non standard sizes are available upon request and subject to minimum quantity



## MECHANICAL PROPERTIES

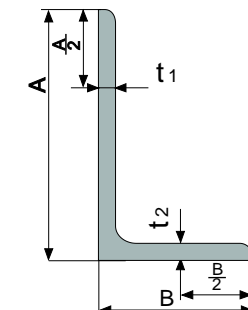
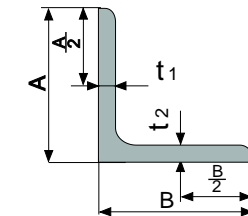
Metric Size

| CLASSIFICATION           | YIELD POINT N/mm <sup>2</sup> |      | TENSILE STRENGTH<br>N/mm <sup>2</sup> | ELONGATION % |         |      |  |
|--------------------------|-------------------------------|------|---------------------------------------|--------------|---------|------|--|
|                          | Thickness (mm)                |      |                                       | 5            | 5 to 16 | > 16 |  |
|                          | 16                            | > 16 |                                       |              |         |      |  |
| JIS G 3101 SS400         | 245                           | 235  | 400 - 510                             | 21           | 17      | 21   |  |
| JIS G 3101 SS540         | 400                           | 390  | min 540                               | 16           | 13      | 17   |  |
| JIS G 3101 SS490         | 285                           | 275  | 490-610                               | 19           | 15      | 19   |  |
| JIS G 3106 SV400 A,B,C   | 245                           | 235  | 400-510                               | 23           | 18      | 22   |  |
| JIS G 3106 SV490 A,B,C   | 325                           | 315  | 490-610                               | 22           | 17      | 21   |  |
| JIS G 3106 SVS490 YA, YB | 365                           | 355  | 490-610                               | 19           | 15      | 19   |  |
| JIS G 3106 SV520 B,C     | 365                           | 355  | 520-640                               | 19           | 15      | 19   |  |
| JIS G 3106 SV570         | 460                           | 450  | 570-720                               | 19           | 19      | 26   |  |

## DIMENSIONAL TOLERANCE

Metric Size | JIS 3192 / TIS 1227-194

|   | DIMENSION  | TOLERANCE   | REMARKS  |
|---|--|---|--|
| Leg Length<br>(A or B)                          | Under 50 in depth<br>50 or over to and excl. 100<br>100 or over to and excl. 200<br>200 or over  | $\pm 1.5$<br>$\pm 2.0$<br>$\pm 3.0$<br>$\pm 4.0$  |  |
| Thickness t,<br>t <sub>1</sub> , t <sub>2</sub> | For Leg Length A<br>(B for T Section)<br>or under 130 in depth<br><br>For Leg Length A<br>(B for T Section)<br>or under 130 or over in depth | Under 6.3<br>6.3 or over to and excl.10<br>10 or over to and excl.16<br>16 or over<br><br>Under 6.3<br>6.3 or over to and excl.10<br>10 or over to and excl.16<br>16 or over to and excl.25<br>25 or over | $\pm 0.6$<br>$\pm 0.7$<br>$\pm 0.8$<br>$\pm 1.0$<br><br>$\pm 0.7$<br>$\pm 0.8$<br>$\pm 1.0$<br>$\pm 1.2$<br>$\pm 1.5$<br><br>$+ 40$<br>$- 0$ |
| Length  | 7m or under<br>Over 7m   |   | Add 5mm to the plus side tolerance given in the above column for every 1m. Increase in length or its fraction                                |
| Out of<br>Square (T)                            | I Section<br><br>Sections excluding I and T sections   | 2.0 % or under of width B<br><br>2.5 % or under of width of flange B (or leg length)  |  |
| Bend  | I and T Sections<br><br>Sections excluding I and T sections  | 0.20% or under of length<br><br>0.30% or under of length  | To be applied to bend such as sweep and camber   |



## CHEMICAL COMPOSITION

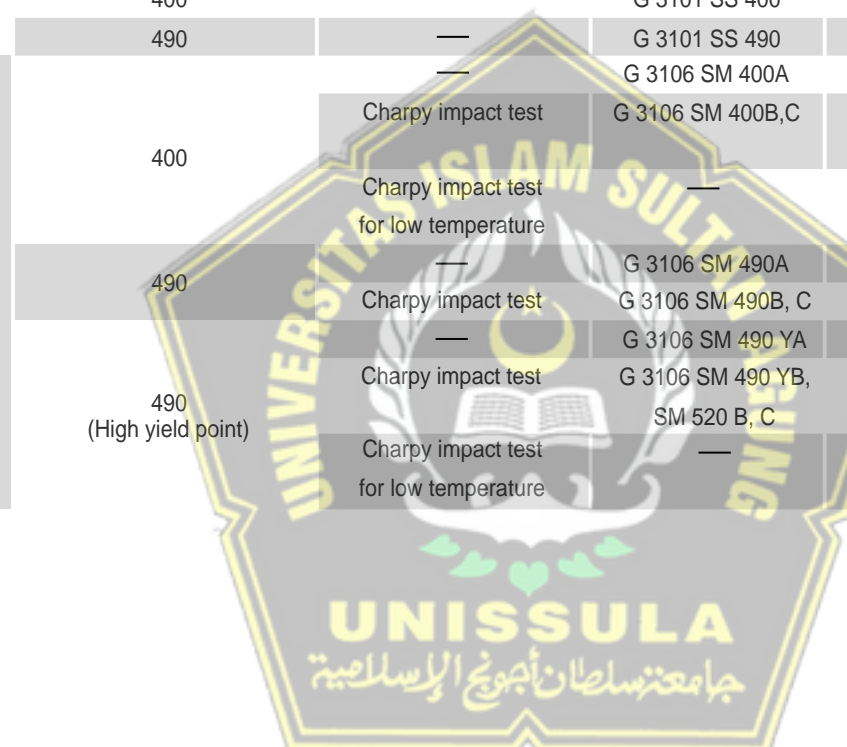
According JIS G 3101, G 3106

| SYMBOL OF GRADE        | CHEMICAL COMPOSITION (%)   |                      |              |                         |           |
|------------------------|--|----------------------|--------------|-------------------------|-----------|
|                        | C  | Si                   | Mn           | P                       | S         |
| SS 400, 490            | —  | —                    | —            | 0.050 max               | 0.050 max |
| SS 540                 | 0.3 max  | —                    | 1.60 max     | 0.040 max               | 0.040 max |
| SM 400 A               | 50 mm or under in thickness<br>over 50 mm, up to and incl. 200 mm in thickness | 0.23 max<br>0.25 max | —<br>min (1) | 2.5 x c<br>0.035 max    | 0.035 max |
| SM 400 B               | 50 mm or under in thickness<br>over 50 mm, up to and incl. 200 mm in thickness | 0.20 max<br>0.22 max | 0.35 max     | 0.60 -1.40<br>0.035 max | 0.035 max |
| SM 400 C               | 100 mm or under in thickness   | 0.18 max             | 0.35 max     | 1.40 max<br>0.035 max   | 0.035 max |
| SM 490 A               | 50 mm or under in thickness<br>over 50 mm, up to and incl. 200 mm in thickness | 0.20 max<br>0.22 max | 0.55 max     | 1.60 max<br>0.035 max   | 0.035 max |
| SM 490 B               | 50 mm or under in thickness<br>over 50 mm, up to and incl. 200 mm in thickness | 0.18 max<br>0.20 max | 0.55 max     | 1.60 max<br>0.035 max   | 0.035 max |
| SM 490 C               | 100 mm or under in thickness   | 0.18 max             | 0.55 max     | 1.60 max<br>0.035 max   | 0.035 max |
| SM 490 YA<br>SM 490 YB | 100 mm or under in thickness   | 0.20 max             | 0.55 max     | 1.60 max<br>0.035 max   | 0.035 max |
| SM 520 B<br>SM 520 C   | 100 mm or under in thickness   | 0.20 max             | 0.55 max     | 1.60 max<br>0.035 max   | 0.035 max |
| SM 570                 | 100 mm or under in thickness   | 0.18 max             | 0.55 max     | 1.60 max<br>0.035 max   | 0.035 max |

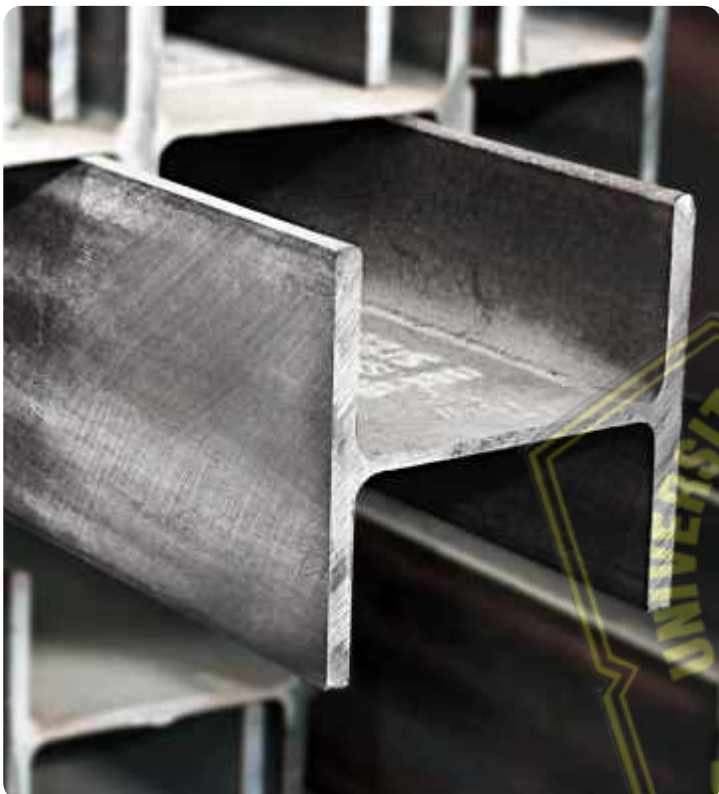
Note: (1) The value of carbon here in is the actual cast analysis value

## CORRESPONDING SPECIFICATION

Metric Size

| TYPE OF MATERIAL  | CLASSIFIED BY TENSILE STRENGTH              |  | SPECIFICATIONS                   |              |          |                     |
|---|---|--|----------------------------------|--------------|----------|---------------------|
|   | Tensile strength Class (N/mm <sup>2</sup> ) | Special specification                  | JIS                              | ASTM         | BS 4360  | DIN                 |
| General Structure   | 400   | —                                      | G 3101 SS 400                    | A 36         | Gr. 43A  | St 33               |
|   | 490   | —                                      | G 3101 SS 490                    | —            | Gr. 50A  | St 50-2             |
|   |   | —                                      | G 3106 SM 400A                   | A 572 Gr. 42 | Gr. 43B  | —                   |
|   | 400   | Charpy impact test                     | G 3106 SM 400B,C                 | —            | Gr. 43C  | St 37-2<br>RSt 37-2 |
|   |   | Charpy impact test for low temperature | —                                | —            | Gr. 43D  | —                   |
|   | 490   | —                                      | G 3106 SM 490A                   | —            | Gr. 43DD | —                   |
|   |   | Charpy impact test                     | G 3106 SM 490B, C                | —            | —        | —                   |
|   | 490   | —                                      | G 3106 SM 490 YA                 | A 572 Gr. 42 | Gr. 50B  | —                   |
|   | (High yield point)                          | Charpy impact test                     | G 3106 SM 490 YB,<br>SM 520 B, C | —            | Gr. 50C  | St 52-3             |
|   |   | Charpy impact test for low temperature | —                                | —            | Gr. 50D  | —                   |
|  |   |  |                                  |              |          |                     |

## H-Beam



Structural steel profile shaped like an H in section. The horizontal elements of the "I" are flanges, while the vertical element is the web. The web resists shear forces while the flanges resist most of the bending moment experienced by the beam. Beam theory shows that the H-shaped sections is a very efficient form for carrying both bending and shear loads in the plane of the web.

H-beams are widely used in the construction industry and are available in a variety of standard sizes. H-beams may be used both as beams and as columns.

Gunung Garuda's hot rolled H-Beam comes with standard size range from 100x100 up to 350x350. Non standard H-Beam can be fabricated by welding steel plates together to form a welded beam that fits our customer's size requirements. Were also provides free cut-to-length service for customers that required length below our standard length of 12m.

|                        |   |
|------------------------|---|
| Size range             | : 100x100 to 350x350  |
| Standard length        | : 12m   |
| Flange thickness range | : 6mm to 12mm   |
| Web thickness range    | : 8mm to 19mm   |
| Annual Capacity        | : > 1.000.000 MT/Y  |
| Standards              | : JIS G 3101 SS400 (Mild Steel)<br>JIS G 3101 SS540 (High Strength) |

H-BEAM

Metric Size | JIS 3192



NOTE : Non standard sizes are available upon request and subject to minimum quantity

## Wide Flange (IWF)



Wide Flange is a structural steel profile similar with H-Beam but with flange length longer than its web. Wide flange are also internationally known as I-Beam / W-Beam / Universal Beam / Universal Column and it's widely used in the construction industry and are available in a variety of standard sizes. Steel beams have always been more preferred to concrete because it offers better tension and compression thus resulting in lighter construction.

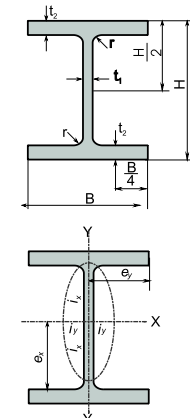
Gunung Garuda's hot rolled IWF comes with standard size range from 150x75 up to 600x200. Non standard IWF can be fabricated by welding steel plates together to form a welded beam that fits our customer's size requirements. We also provide free cut-to-length service for customers that require length below our standard length of 12m.

|                        |   |
|------------------------|---|
| Size range             | : 150x75 to 600x200   |
| Standard length        | : 12m   |
| Flange thickness range | : 5mm to 11mm   |
| Web thickness range    | : 7mm to 17mm   |
| Annual Capacity        | : > 1.000.000 MT/Y  |
| Standards              | : JIS G 3101 SS400 (Mild Steel)<br>JIS G 3101 SS540 (High Strength) |

## WIDE FLANGE (IWF)

Metric Size | JIS 3192

| STANDARD SECTIONAL DIMENSIONS |           |     |    |    |                 | SECTION AREA<br><br>cm <sup>2</sup> | UNIT WEIGHT<br><br>Kg/m<br>Kg/12m | INFORMATIVE REFERENCE         |                 |                            |                |                    |                 | REMARKS |  |  |  |
|-------------------------------|-----------|-----|----|----|-----------------|-------------------------------------|-----------------------------------|-------------------------------|-----------------|----------------------------|----------------|--------------------|-----------------|---------|--|--|--|
| Nominal Dimensional           | H x B     | t1  | t2 | r  | A               |                                     |                                   | GEOMETRICAL MOMENT OF INERTIA |                 | RADIUS OF GYRATION OF AREA |                | MODULUS OF SECTION |                 |         |  |  |  |
|                               |           |     |    |    |                 |                                     |                                   | I <sub>x</sub>                | I <sub>y</sub>  | i <sub>x</sub>             | i <sub>y</sub> | Z <sub>y</sub>     | Z <sub>y</sub>  |         |  |  |  |
| mm                            | mm x mm   | mm  | mm | mm | cm <sup>2</sup> | Kg/m                                | Kg/12m                            | cm <sup>4</sup>               | cm <sup>4</sup> | cm                         | cm             | cm <sup>3</sup>    | cm <sup>3</sup> |         |  |  |  |
| 150 x 75                      | 150 x 75  | 5   | 7  | 8  | 17.85           | 14.00                               | 168                               | 666                           | 49.5            | 6.11                       | 1.66           | 88.8               | 13.2            |         |  |  |  |
| 150 x 100                     | 148 x 100 | 6   | 9  | 11 | 26.84           | 21.10                               | 253.2                             | 1 020                         | 151             | 6.17                       | 2.37           | 138                | 30.1            |         |  |  |  |
| 200 x 100                     | 198 x 99  | 4.5 | 7  | 11 | 23.18           | 18.20                               | 218.4                             | 1 580                         | 114             | 8.26                       | 2.21           | 160                | 23.0            |         |  |  |  |
|                               | 200 x 100 | 5.5 | 8  | 11 | 27.16           | 21.30                               | 255.6                             | 1 840                         | 134             | 8.24                       | 2.22           | 184                | 26.8            |         |  |  |  |
| 200 x 150                     | 194 x 150 | 6   | 9  | 12 | 38.80           | 30.60                               | 367.2                             | 2 675                         | 507             | 8.30                       | 3.60           | 275.8              | 67.6            |         |  |  |  |
| 250 x 125                     | 248 x 124 | 5   | 8  | 12 | 32.68           | 25.70                               | 308.4                             | 3 540                         | 255             | 10.4                       | 2.79           | 285                | 41.1            |         |  |  |  |
|                               | 250 x 125 | 6   | 9  | 12 | 37.66           | 29.60                               | 355.2                             | 4 050                         | 294             | 10.4                       | 2.79           | 324                | 47.0            |         |  |  |  |
| 300 x 150                     | 298 x 149 | 5.5 | 8  | 13 | 40.80           | 32.0                                | 384                               | 6 320                         | 442             | 12.4                       | 3.29           | 424                | 59.3            |         |  |  |  |
|                               | 300 x 150 | 6.5 | 9  | 13 | 46.78           | 36.70                               | 440.4                             | 7 210                         | 508             | 12.4                       | 3.29           | 481                | 67.7            |         |  |  |  |
| 350 x 175                     | 346 x 174 | 6   | 9  | 14 | 52.68           | 41.40                               | 469.8                             | 11 100                        | 792             | 14.5                       | 3.88           | 641                | 91.0            |         |  |  |  |
|                               | 350 x 175 | 7   | 11 | 14 | 63.14           | 49.60                               | 595.2                             | 13 600                        | 984             | 14.7                       | 3.95           | 775                | 112             |         |  |  |  |
| 400 x 200                     | 396 x 199 | 7   | 11 | 16 | 72.16           | 56.60                               | 679.2                             | 20 000                        | 1 450           | 16.7                       | 4.48           | 1 010              | 145             |         |  |  |  |
|                               | 400 x 200 | 8   | 13 | 16 | 84.1            | 66.0                                | 792                               | 23 700                        | 1 740           | 16.8                       | 4.54           | 1 190              | 174             |         |  |  |  |
| 450 x 200                     | 450 x 200 | 9   | 14 | 18 | 96.8            | 76.0                                | 912                               | 33 500                        | 1 870           | 18.6                       | 4.40           | 1 490              | 187             |         |  |  |  |
| 500 x 200                     | 500 x 200 | 10  | 16 | 20 | 114.2           | 89.6                                | 1075.2                            | 47 800                        | 2 140           | 20.5                       | 4.43           | 1 910              | 214             |         |  |  |  |
| 600 x 200                     | 600 x 200 | 11  | 17 | 22 | 134.4           | 106                                 | 1272                              | 77 600                        | 2 280           | 24.0                       | 4.12           | 2 590              | 228             |         |  |  |  |

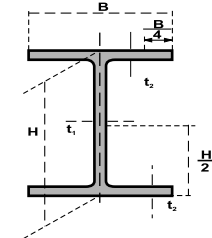
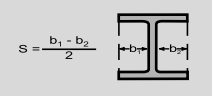
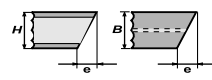


NOTE : Non standard sizes are available upon request and subject to minimum quantity

# Technical Properties for H-Beam & Wide Flange

## DIMENTIONAL TOLERANCE

H-Beam & Wide Flange | JIS 3192

|                              | ITEM, mm (in.)  | TOLERANCE  | REMARKS  |
|------------------------------|---|--|--|
| Depth ( <i>H</i> )           | FLANGE WIDTH, <i>B</i><br>Nominal depths of<br>under 400 (15.748)<br>400 to 600 (23.622), excl.<br>600 and over   | $\pm 3.0$ (0.118)<br>$\pm 3.0$ (0.118)<br>$\pm 4.0$ (0.157)<br>$\pm 5.0$ (0.197)   |  |
| Thickness                    | Flange, <i>t<sub>2</sub></i><br>Under 16<br>16 or over to and escl. 25<br>25 or over to and excl. 40<br>40 or over<br><br>Web, <i>t<sub>1</sub></i><br>Under 16<br>16 or over to and escl. 25<br>25 or over to and excl. 40<br>40 or over | $\pm 1.5$ (0.059)<br>$\pm 2.0$ (0.079)<br>$\pm 2.5$ (0.098)<br>$\pm 3.0$ (0.118)<br><br>$\pm 1.0$ (0.039)<br>$\pm 1.5$ (0.024)<br>$\pm 2.0$ (0.079)<br>$\pm 2.5$ (0.098) |                                 |
| Length                       | 7 m or under<br><br>Over 7 m  | $+ 40$ (1.575)<br><br>$- 0$<br><br>40 (1.575) plus 5 (0.197) for each additional meter or fraction thereof   |  |
| Out-of-Square, ( <i>T</i> )  | Nominal depths<br>300 (11.811) or under in nominal depth<br><br>Nominal depths<br>Over 300 (11.811) in nominal depth  | Not more than 1.2 percent of flange width <i>B</i> or 2.0 (0.079) at minimum<br><br>Not more than 1.5 percent of flange width <i>B</i> or 2.0 (0.079) at minimum         |                                 |
| Camber of Sweep              | Nominal depths<br>300 (11.811) and under<br><br>Nominal depths<br>over 300 (11.811)   | Not more than 0.20 percent of Length<br><br>Not more than 0.10 percent of Length   | Horizontal or vertical curvature in the direction of length  |
| Web Off Center, ( <i>S</i> ) | Nominal depths<br>300 (11.811) and under<br><br>Nominal depths<br>over 300 (11.811)   | $\pm 3.0$ (0.118)<br><br>$\pm 4.5$ (0.117)   | $S = \frac{b_1 - b_2}{2}$<br> |
|                              | Ends-out-of-square (e)  | 1.6 % or under of width <i>B</i> or of depth <i>H</i> , provided that 3.0 mm is the minimum  |                               |

## CHEMICAL COMPOSITION

| SYMBOL OF GRADE | CHEMICAL COMPOSITION (%) |    |          |           |           |
|-----------------|--------------------------|----|----------|-----------|-----------|
|                 | C                        | Si | Mn       | P         | S         |
| SS 400, 490     | —                        | —  | —        | 0.050 max | 0.050 max |
| SS 540          | 0.3 max                  |    | 1.60 max | 0.040 max | 0.040 max |

## CORRESPONDING SPECIFICATION

| TYPE OF MATERIAL | CLASSIFIED BY TENSILE STRENGTH              |                       | SPECIFICATIONS   |      |         |       |
|------------------|---|-----------------------|------------------|------|---------|-------|
|                  | Tensile strength Class (N/mm <sup>2</sup> ) | Special specification | JIS              | ASTM | BS 4360 | DIN   |
| Steel Structure  | 400   | —                     | G 3101<br>SS 400 | A 36 | Gr. 43A | ST 33 |

## MECHANICAL PROPERTIES

| CLASSIFICATION                      | YIELD POINT N/mm <sup>2</sup> |         | TENSILE STRENGTH N/mm <sup>2</sup> | ELONGATION %   |         |        |  |
|-------------------------------------|-------------------------------|---------|------------------------------------|----------------|---------|--------|--|
|                                     | Thickness (mm)                |         |                                    | Thickness (mm) |         |        |  |
|                                     | 16                            | > 16    |                                    | 5              | 5 to 16 | > 16   |  |
| Steel Structure                     | 245 min                       | 235 min | 400 - 510                          | 21 min         | 17 min  | 21 min |  |
| JIS G3106<br>SM 490 YA<br>SM 490 YB | 365 min                       | 355 min | 490 - 610                          | 19 min         | 15 min  | 19 min |  |



**UNISSULA**

جامعة سلطان ايوبي الإسلامية



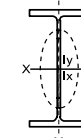
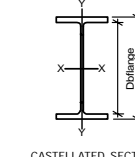
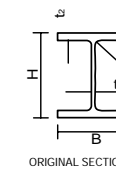
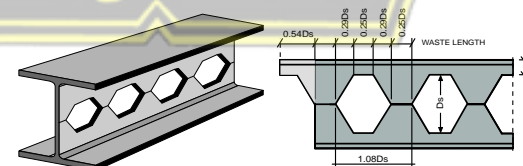
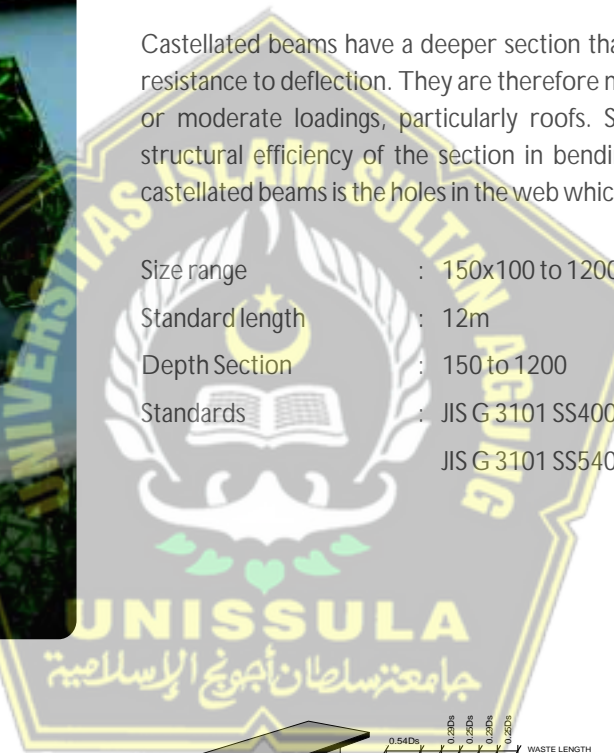
## Castellated Beam : honey comb



Honey Comb is a castellated beam that is fabricated from a standard IWF. The beam is initially split along its length by a profiled flame cut. The two halves of the beam are then separated, displaced by one profile and reconnected by welding, thus forming hexagonal holes along the web.

Castellated beams have a deeper section than a comparable solid beam, which has a greater resistance to deflection. They are therefore most often used in long span applications with light or moderate loadings, particularly roofs. Since the weight of steel has not changed, the structural efficiency of the section in bending has been increased. A further advantage of castellated beams is the holes in the web which provide a route for services.

|                 |   |
|-----------------|---|
| Size range      | : 150x100 to 1200x300   |
| Standard length | : 12m   |
| Depth Section   | : 150 to 1200   |
| Standards       | : JIS G 3101 SS400 (Mild Steel)<br>JIS G 3101 SS540 (High Strength) |



## CASTELLATED BEAM : HONEY COMB

Metric Size | JIS 3192

| Sectional Index |             | Weight | Depth of Section |             | Width of Section | Thickness |     | Corner Radius | Depth of Castellated Hole | Depth of Castellated Tee | Depth Between Flanges | Section Area   |                | Moment of Inertia |         | Radius of Gyration |                 | Modulus of Section |                 |                 |                 |                 |
|-----------------|-------------|--------|------------------|-------------|------------------|-----------|-----|---------------|---------------------------|--------------------------|-----------------------|----------------|----------------|-------------------|---------|--------------------|-----------------|--------------------|-----------------|-----------------|-----------------|-----------------|
| Original        | Castellated |        | Original         | Castellated |                  | B         | Web |               |                           |                          |                       | t <sub>1</sub> | t <sub>2</sub> | r                 | Dtee    | Dbflange           | Gross           | Net                | I <sub>x</sub>  | I <sub>y</sub>  | i <sub>x</sub>  | i <sub>y</sub>  |
| mm              | mm          |        | mm               | mm          |                  | mm        | mm  |               |                           |                          |                       | mm             | mm             | mm                | mm      | mm                 | cm <sup>2</sup> | cm <sup>2</sup>    | cm <sup>4</sup> | cm <sup>4</sup> | cm              | cm              |
| mm              | mm          | Kg/m   | mm               | mm          | mm               | mm        | mm  | mm            | mm                        | mm                       | mm                    | mm             | mm             | mm                | mm      | mm                 | cm <sup>2</sup> | cm <sup>2</sup>    | cm <sup>4</sup> | cm <sup>4</sup> | cm <sup>3</sup> | cm <sup>3</sup> |
| 100 x 100       | 150 x 100   | 17.2   | 100              | 150         | 100              | 6         | 8   | 10            | 105                       | 22.5                     | 134                   | 24.9           | 18.57          | 905.3             | 134     | 7                  | 2.7             | 120.7              | 26.8            |                 |                 |                 |
| 150 x 75        | 225 x 75    | 14     | 150              | 225         | 75               | 5         | 7   | 8             | 154                       | 35.5                     | 211                   | 21.6           | 13.85          | 1579.7            | 49.5    | 10.7               | 1.9             | 140.4              | 13.2            |                 |                 |                 |
| 150 x 150       | 225 x 150   | 31.5   | 150              | 225         | 150              | 7         | 10  | 11            | 154                       | 35.5                     | 205                   | 45.39          | 34.54          | 3889.6            | 563     | 10.6               | 4               | 345.7              | 75.1            |                 |                 |                 |
| 200 x 100       | 300 x 100   | 21.3   | 200              | 300         | 100              | 5.5       | 8   | 11            | 205                       | 47.5                     | 284                   | 32.66          | 21.36          | 4306.8            | 134     | 14.2               | 2.5             | 287.1              | 26.8            |                 |                 |                 |
| 200 x 100       | 297 x 99    | 18.2   | 198              | 297         | 99               | 4.5       | 7   | 11            | 202                       | 47.5                     | 283                   | 27.64          | 18.5           | 3643.9            | 114     | 14                 | 2.5             | 245.4              | 23              |                 |                 |                 |
| 200 x 200       | 300 x 200   | 49.9   | 200              | 300         | 200              | 8         | 12  | 13            | 205                       | 47.5                     | 276                   | 71.53          | 55.09          | 11139             | 1600.1  | 14.2               | 5.4             | 742.6              | 160             |                 |                 |                 |
| 250 x 125       | 375 x 125   | 29.6   | 250              | 375         | 125              | 6         | 9   | 12            | 254                       | 60.5                     | 357                   | 45.16          | 29.86          | 9491.5            | 294.1   | 17.8               | 3.1             | 506.2              | 47              |                 |                 |                 |
| 250 x 125       | 372 x 124   | 25.7   | 248              | 372         | 124              | 5         | 8   | 12            | 253                       | 59.5                     | 356                   | 39.88          | 26.21          | 8189.6            | 255     | 17.7               | 3.1             | 440.3              | 41.1            |                 |                 |                 |
| 250 x 250       | 375 x 250   | 72.4   | 250              | 375         | 250              | 9         | 14  | 16            | 254                       | 60.5                     | 347                   | 103.43         | 80.48          | 25477.5           | 3650.2  | 17.8               | 6.7             | 1358.8             | 292             |                 |                 |                 |
| 300 x 150       | 450 x 150   | 36.7   | 300              | 450         | 150              | 6.5       | 9   | 13            | 305                       | 72.5                     | 432                   | 56.53          | 36.67          | 16895.1           | 508.1   | 21.5               | 3.7             | 750.9              | 67.7            |                 |                 |                 |
| 300 x 150       | 447 x 149   | 32     | 298              | 447         | 149              | 5.5       | 8   | 13            | 302                       | 72.5                     | 431                   | 49             | 32.33          | 14664             | 442     | 21.3               | 3.7             | 656.1              | 59.3            |                 |                 |                 |
| 300 x 300       | 450 x 300   | 94     | 300              | 450         | 300              | 10        | 15  | 18            | 305                       | 72.5                     | 420                   | 134.8          | 104.25         | 47854.8           | 6750.3  | 21.4               | 8               | 2126.9             | 450             |                 |                 |                 |
| 350 x 175       | 525 x 175   | 49.6   | 350              | 525         | 175              | 7         | 11  | 14            | 354                       | 85.5                     | 503                   | 75.39          | 50.54          | 31847.5           | 984.1   | 25.1               | 4.4             | 1213.2             | 112.5           |                 |                 |                 |
| 350 x 175       | 519 x 174   | 41.4   | 346              | 519         | 174              | 6         | 9   | 14            | 350                       | 84.5                     | 501                   | 63.06          | 42             | 25819.2           | 792.1   | 24.8               | 4.3             | 995                | 91              |                 |                 |                 |
| 350 x 350       | 525 x 350   | 137    | 350              | 525         | 350              | 12        | 19  | 20            | 354                       | 85.5                     | 487                   | 194.9          | 152.3          | 95013.1           | 13600.6 | 25                 | 9.4             | 3619.5             | 777.2           |                 |                 |                 |
| 400 x 200       | 600 x 200   | 66     | 400              | 600         | 200              | 8         | 13  | 16            | 405                       | 97.5                     | 574                   | 100.12         | 67.68          | 55683.6           | 1740.2  | 28.7               | 5.1             | 1856.1             | 174             |                 |                 |                 |
| 400 x 200       | 594 x 199   | 56.6   | 396              | 594         | 199              | 7         | 11  | 16            | 401                       | 96.5                     | 572                   | 86.02          | 57.2           | 46656.1           | 1450.1  | 28.4               | 5               | 1570.9             | 145.7           |                 |                 |                 |
| 450 x 200       | 675 x 200   | 76     | 450              | 675         | 200              | 9         | 14  | 18            | 454                       | 110.5                    | 647                   | 117.01         | 76.06          | 78747.4           | 1870.3  | 32.2               | 5               | 2333.3             | 187             |                 |                 |                 |
| 500 x 200       | 750 x 200   | 89.6   | 500              | 750         | 200              | 10        | 16  | 20            | 505                       | 122.5                    | 718                   | 139.2          | 88.65          | 122855.7          | 2140.5  | 35.7               | 4.9             | 3009.5             | 214             |                 |                 |                 |
| 600 x 200       | 900 x 200   | 106    | 600              | 900         | 200              | 11        | 17  | 22            | 605                       | 147.5                    | 866                   | 167.4          | 100.8          | 184103            | 2280.8  | 42.7               | 4.8             | 4091.2             | 228.1           |                 |                 |                 |
| 588 x 300       | 882 x 300   | 151    | 588              | 882         | 300              | 12        | 20  | 28            | 593                       | 144.5                    | 842                   | 227.78         | 156.56         | 274532.9          | 9021    | 41.9               | 7.6             | 6225.2             | 601.4           |                 |                 |                 |
| 400 x 400       | 600 x 400   | 172    | 400              | 600         | 400              | 13        | 21  | 22            | 405                       | 97.5                     | 558                   | 244.7          | 191.99         | 156913.2          | 22400.8 | 28.6               | 10.8            | 5230.4             | 1120            |                 |                 |                 |
| 700 x 300       | 1050 x 300  | 185    | 700              | 1050        | 300              | 13        | 24  | 28            | 705                       | 172.5                    | 1002                  | 281            | 189.29         | 473222.7          | 10801.5 | 50                 | 7.6             | 9013.8             | 720.1           |                 |                 |                 |
| 800 x 300       | 1200 x 300  | 210    | 800              | 1200        | 300              | 14        | 26  | 28            | 805                       | 197.5                    | 1148                  | 323.4          | 210.63         | 690341.9          | 11702.2 | 57.2               | 7.5             | 11505.7            | 780.1           |                 |                 |                 |

NOTE : Non standard sizes are available upon request and subject to minimum quantity

## Castellated Beam : Cell Form

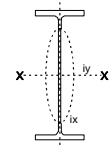
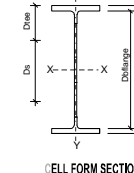
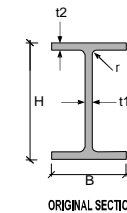
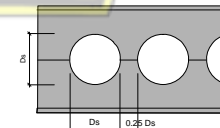
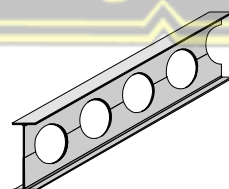


The cellform beam is fabricated in a similar way to the Honey Comb castellated beam, but some additional cuts are made in the web to create circular holes when the cut sections are joined. Cellform beams offer users flexibility, reduced weight, space and aesthetics, while lowering costs.

The use of cellular beams allows a new architectural expression. Structures are lightened and spans increased, pulling spaces together. This flexibility goes together with the functionality of allowing technical installations (pipes and ducts) to pass through the openings.

The lightweight appearance of cellular beams, combined with their high strength, never ceases to inspire architects to new structural forms.

|                 |   |
|-----------------|---|
| Size range      | : 150x100 to 1200x300   |
| Standard length | : 12m   |
| Depth Section   | : 150 to 1200   |
| Standards       | : JIS G 3101 SS400 (Mild Steel)<br>JIS G 3101 SS540 (High Strength) |



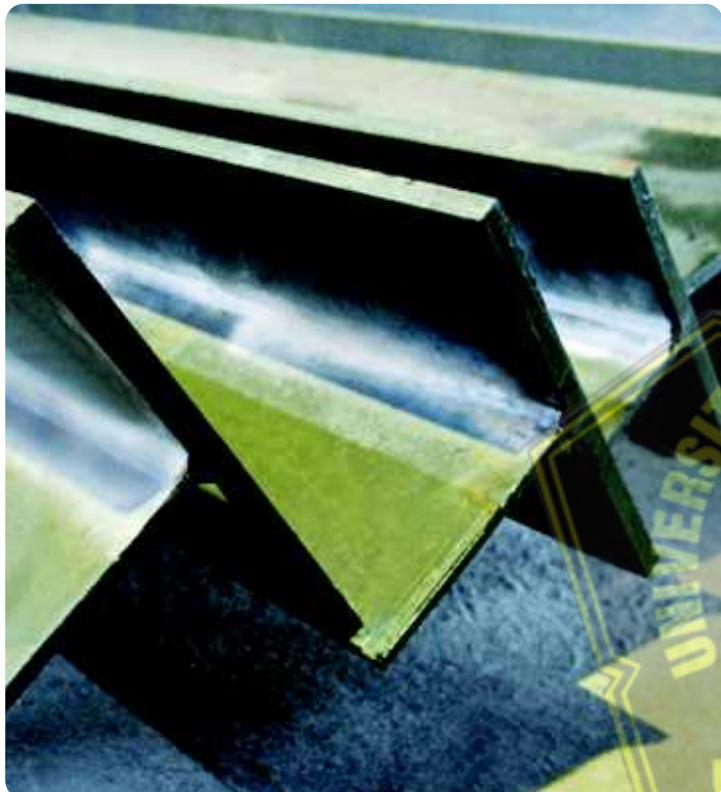
## CASTELLATED BEAM : CELL FORM

Metric Size | JIS 3192

| Sectional Index |            | Weight | Depth of Section |           | Width of Section | Thickness |     | Corner Radius | Depth of Cell Form Hole | Depth of Cell Form Tee | Depth Between Flanges | Section Area    |                 | Moment of Inertia |                 | Radius of Gyration |                 | Modulus of Section |                 |                 |  |
|-----------------|------------|--------|------------------|-----------|------------------|-----------|-----|---------------|-------------------------|------------------------|-----------------------|-----------------|-----------------|-------------------|-----------------|--------------------|-----------------|--------------------|-----------------|-----------------|--|
| Original        | Cell Form  |        | Original         | Cell Form |                  | B         | Web |               |                         |                        |                       | t <sub>1</sub>  | t <sub>2</sub>  | r                 | Dtee            | Dbflange           | Gross           | Net                | I <sub>x</sub>  | I <sub>y</sub>  |  |
|                 |            |        | H                | DC        |                  | mm        | mm  |               |                         |                        |                       | mm              | mm              | mm                | mm              | mm                 | cm <sup>2</sup> | cm <sup>2</sup>    | cm <sup>4</sup> | cm <sup>4</sup> |  |
| mm              | mm         | Kg/m   | mm               | mm        | mm               | mm        | mm  | mm            | mm                      | mm                     | mm                    | cm <sup>2</sup> | cm <sup>2</sup> | cm <sup>4</sup>   | cm <sup>4</sup> | cm                 | cm              | cm <sup>3</sup>    | cm <sup>3</sup> |                 |  |
| 100 x 100       | 150 x 100  | 16.27  | 100              | 150       | 100              | 6         | 8   | 10            | 103                     | 23                     | 134                   | 25              | 18.8            | 908.9             | 134             | 7                  | 2.7             | 121.2              | 26.8            |                 |  |
| 150 x 75        | 225 x 75   | 12.78  | 150              | 225       | 75               | 5         | 7   | 8             | 155                     | 35                     | 211                   | 21.7            | 14              | 1586.2            | 49.5            | 10.7               | 1.9             | 141                | 13.2            |                 |  |
| 150 x 150       | 225 x 150  | 29.75  | 150              | 225       | 150              | 7         | 10  | 11            | 155                     | 35                     | 205                   | 45.6            | 34.7            | 3897.8            | 563             | 10.6               | 4               | 346.5              | 75.1            |                 |  |
| 200 x 100       | 300 x 100  | 19.44  | 200              | 300       | 100              | 5.5       | 8   | 11            | 206                     | 47                     | 284                   | 32.8            | 21.5            | 4322.8            | 134             | 14.2               | 2.5             | 288.2              | 26.8            |                 |  |
| 200 x 100       | 300 x 99   | 16.54  | 198              | 300       | 99               | 4.5       | 7   | 11            | 210                     | 45                     | 286                   | 27.9            | 18.4            | 3732.3            | 114             | 14.2               | 2.5             | 248.8              | 23              |                 |  |
| 200 x 200       | 300 x 200  | 47.1   | 200              | 300       | 200              | 8         | 12  | 13            | 206                     | 47                     | 276                   | 71.8            | 55.3            | 11159.9           | 1600            | 14.2               | 5.4             | 744                | 160             |                 |  |
| 250 x 125       | 375 x 125  | 26.98  | 250              | 375       | 125              | 6         | 9   | 12            | 258                     | 59                     | 357                   | 45.4            | 29.9            | 9516.5            | 294             | 17.8               | 3.1             | 507.5              | 47              |                 |  |
| 250 x 125       | 375 x 124  | 23.33  | 248              | 375       | 124              | 5         | 8   | 12            | 262                     | 57                     | 359                   | 39.2            | 26.1            | 8351.7            | 255             | 17.9               | 3.1             | 445.4              | 41.1            |                 |  |
| 250 x 250       | 375 x 250  | 68.32  | 250              | 375       | 250              | 9         | 14  | 16            | 258                     | 59                     | 347                   | 103.8           | 80.6            | 25510.2           | 3650            | 17.8               | 6.7             | 1360.5             | 292             |                 |  |
| 300 x 150       | 450 x 150  | 33.55  | 300              | 450       | 150              | 6.5       | 9   | 13            | 309                     | 70                     | 432                   | 56.8            | 36.7            | 16943.9           | 508             | 21.5               | 3.7             | 753.1              | 67.7            |                 |  |
| 300 x 150       | 450 x 149  | 29.17  | 298              | 450       | 149              | 5.5       | 8   | 13            | 313                     | 68                     | 434                   | 49.4            | 32.2            | 14905.3           | 442             | 21.5               | 3.7             | 662.5              | 59.3            |                 |  |
| 300 x 300       | 450 x 300  | 88.76  | 300              | 450       | 300              | 10        | 15  | 18            | 309                     | 70                     | 420                   | 135.3           | 104.3           | 47919.5           | 6750            | 21.4               | 8               | 2129.8             | 450             |                 |  |
| 350 x 175       | 525 x 175  | 45.11  | 350              | 525       | 175              | 7         | 11  | 14            | 361                     | 82                     | 503                   | 75.8            | 50.5            | 31912.4           | 984             | 25.1               | 4.4             | 1215.7             | 112.5           |                 |  |
| 350 x 175       | 525 x 174  | 37.65  | 346              | 525       | 174              | 6         | 9   | 14            | 369                     | 78                     | 507                   | 63.8            | 41.6            | 26499.6           | 792             | 25.2               | 4.4             | 1009.5             | 91              |                 |  |
| 350 x 350       | 525 x 350  | 129.25 | 350              | 525       | 350              | 12        | 19  | 20            | 361                     | 82                     | 487                   | 195.5           | 152.3           | 95108.4           | 13599.9         | 25                 | 9.5             | 3623.2             | 777.1           |                 |  |
| 400 x 200       | 600 x 200  | 59.94  | 400              | 600       | 200              | 8         | 13  | 16            | 412                     | 94                     | 574                   | 100.6           | 67.6            | 55799             | 1740            | 28.7               | 5.1             | 1860               | 174             |                 |  |
| 400 x 200       | 600 x 199  | 51.37  | 396              | 600       | 199              | 7         | 11  | 16            | 421                     | 90                     | 578                   | 86.9            | 57.4            | 47743             | 1450            | 28.8               | 5               | 1591.4             | 145.7           |                 |  |
| 450 x 200       | 675 x 200  | 68.66  | 450              | 675       | 200              | 9         | 14  | 18            | 464                     | 106                    | 647                   | 117.6           | 75.9            | 78909.5           | 1870            | 32.2               | 5               | 2338.1             | 187             |                 |  |
| 500 x 200       | 750 x 200  | 80.28  | 500              | 750       | 200              | 10        | 16  | 20            | 515                     | 117                    | 718                   | 140             | 88.4            | 113123.5          | 2140            | 35.8               | 4.9             | 3016.6             | 214             |                 |  |
| 600 x 200       | 900 x 200  | 94.11  | 600              | 900       | 200              | 11        | 17  | 22            | 618                     | 141                    | 866                   | 168.4           | 100.4           | 184605.2          | 2279.9          | 42.9               | 4.8             | 4102.3             | 228             |                 |  |
| 588 x 300       | 900 x 300  | 136.46 | 588              | 900       | 300              | 12        | 20  | 28            | 643                     | 128                    | 860                   | 231.1           | 153.9           | 286789.2          | 9019.9          | 43.2               | 7.7             | 6373.1             | 601.3           |                 |  |
| 400 x 400       | 600 x 400  | 162.21 | 400              | 600       | 400              | 13        | 21  | 22            | 412                     | 94                     | 558                   | 245.5           | 191.9           | 157075.6          | 22399.9         | 28.6               | 10.8            | 5235.9             | 1120            |                 |  |
| 700 x 300       | 1050 x 300 | 165.42 | 700              | 1050      | 300              | 13        | 24  | 28            | 722                     | 164                    | 1002                  | 282.4           | 188.6           | 473991            | 10799.9         | 50.1               | 7.6             | 7028.4             | 720             |                 |  |
| 800 x 300       | 1200 x 300 | 185.76 | 800              | 1200      | 300              | 14        | 26  | 28            | 825                     | 188                    | 1148                  | 325.1           | 209.7           | 691563.8          | 11699.8         | 57.4               | 7.5             | 11526.1            | 780             |                 |  |

NOTE : Non standard sizes are available upon request and subject to minimum quantity

## T-Beam



A T-beam is a load-bearing structure with a t-shaped cross section. The top of the t-shaped cross section serves as a flange or compression member in resisting compressive stresses. The web of the beam below the compression flange serves to resist shear stress and to provide greater separation for the coupled forces of bending.

One way to make a T-beam more efficient structurally is to use an inverted T-beam with a floor slab or bridge deck joining the tops of the beams. Done properly, the slab acts as the compression flange.

Size range

: 50 x 100 to 400x300

Web Thickness Range

: 6mm to 14mm

Flange Thickness Range

: 8mm to 26mm

Standards

: JIS G 3101 SS400 (Mild Steel)

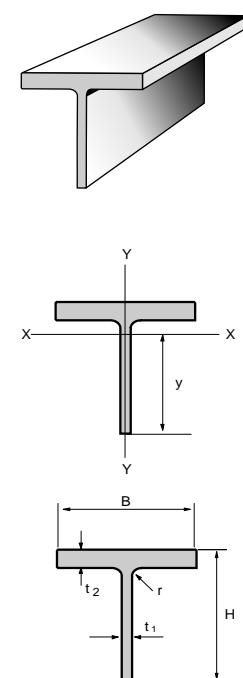
JIS G 3101 SS540 (High Strength)



## T-Beam

Metric Size | JIS 3192

| Sectional Index | Standard Sectional Dimension |                       |           |        |                    | Sectional Area<br>A | Unit Weight<br>kg/m | Informative Reference  |                               |                 |                            |                |                    | Remarks         |  |  |  |
|-----------------|------------------------------|-----------------------|-----------|--------|--------------------|---------------------|---------------------|------------------------|-------------------------------|-----------------|----------------------------|----------------|--------------------|-----------------|--|--|--|
|                 | Depth of Section<br>HB       | Width of Section<br>H | Thickness |        | Corner Radius<br>r |                     |                     | Center of Gravity<br>y | Geometrical Moment of Inertia |                 | Radius of Gyration of Area |                | Modulus of Section |                 |  |  |  |
|                 |                              |                       | Web       | Flange |                    |                     |                     |                        | I <sub>x</sub>                | I <sub>y</sub>  | i <sub>x</sub>             | i <sub>y</sub> | Z <sub>x</sub>     | Z <sub>y</sub>  |  |  |  |
| mm              | mm                           | mm                    | mm        | mm     | mm                 | cm <sup>2</sup>     | kg/m                | mm                     | cm <sup>4</sup>               | cm <sup>4</sup> | cm                         | cm             | cm <sup>3</sup>    | cm <sup>3</sup> |  |  |  |
| T 50 x 100      | 50                           | 100                   | 6         | 8      | 10                 | 10.95               | 8.6                 | 40                     | 16                            | 67              | 1.2                        | 2.47           | 4                  | 13.4            |  |  |  |
| T 62.5 x 125    | 62.5                         | 125                   | 6.5       | 9      | 10                 | 15.16               | 11.9                | 50.6                   | 35                            | 147             | 1.51                       | 3.11           | 6.9                | 23.5            |  |  |  |
| T 75 x 75       | 75                           | 75                    | 5         | 7      | 8                  | 8.93                | 7                   | 57                     | 42                            | 25              | 2.18                       | 1.67           | 7.4                | 6.6             |  |  |  |
| T 75 x 150      | 75                           | 150                   | 7         | 10     | 11                 | 20.07               | 15.75               | 61.3                   | 66                            | 282             | 1.81                       | 3.75           | 10.8               | 37.6            |  |  |  |
| T 100 x 100     | 100                          | 100                   | 5.5       | 8      | 11                 | 13.58               | 10.65               | 71.7                   | 114                           | 67              | 2.9                        | 2.22           | 14.8               | 13.4            |  |  |  |
| T 99 x 100      | 99                           | 100                   | 4.5       | 7      | 11                 | 11.59               | 9.1                 | 78.1                   | 94                            | 58              | 2.84                       | 2.25           | 12                 | 11.7            |  |  |  |
| T 87.5 x 175    | 87.5                         | 175                   | 7.5       | 11     | 12                 | 25.61               | 20.1                | 72                     | 114                           | 492             | 2.11                       | 4.38           | 15.8               | 56.2            |  |  |  |
| T 100 x 200     | 100                          | 200                   | 8         | 12     | 13                 | 31.77               | 24.95               | 82.7                   | 184                           | 801             | 2.41                       | 5.02           | 22.2               | 80.1            |  |  |  |
| T 125 x 125     | 125                          | 125                   | 6         | 9      | 12                 | 18.83               | 14.8                | 97.2                   | 248                           | 147             | 3.63                       | 2.79           | 25.5               | 23.5            |  |  |  |
| T 124 x 124     | 124                          | 124                   | 5         | 8      | 12                 | 16.34               | 12.85               | 97.7                   | 207                           | 127             | 3.56                       | 2.79           | 21.2               | 20.5            |  |  |  |
| T 125 x 250     | 125                          | 250                   | 9         | 14     | 16                 | 46.09               | 36.2                | 104.2                  | 411                           | 1825            | 2.98                       | 6.29           | 39.4               | 146             |  |  |  |
| T 150 x 150     | 150                          | 150                   | 6.5       | 9      | 13                 | 23.39               | 18.35               | 115.9                  | 463                           | 254             | 4.45                       | 3.29           | 39.9               | 33.8            |  |  |  |
| T 149 x 149     | 149                          | 149                   | 5.5       | 8      | 13                 | 20.4                | 16                  | 116.4                  | 393                           | 221             | 4.39                       | 3.29           | 33.7               | 29.6            |  |  |  |
| T 150 x 300     | 150                          | 300                   | 10        | 15     | 18                 | 59.9                | 47                  | 125.3                  | 796                           | 3378            | 3.64                       | 7.51           | 63.5               | 225.2           |  |  |  |
| T 175 x 175     | 175                          | 175                   | 7         | 11     | 14                 | 31.57               | 24.8                | 137.5                  | 814                           | 492             | 5.08                       | 3.95           | 59.2               | 56.3            |  |  |  |
| T 173 x 174     | 173                          | 174                   | 6         | 9      | 14                 | 26.34               | 20.7                | 136                    | 678                           | 396             | 5.07                       | 3.88           | 49.9               | 45.5            |  |  |  |
| T 175 x 350     | 175                          | 350                   | 12        | 19     | 20                 | 86.95               | 68.85               | 146.4                  | 1515                          | 6794            | 4.17                       | 8.84           | 103.5              | 388.2           |  |  |  |
| T 200 x 200     | 200                          | 200                   | 8         | 13     | 16                 | 42.06               | 33                  | 157.7                  | 1395                          | 868             | 5.76                       | 4.54           | 88.5               | 86.8            |  |  |  |
| T 198 x 199     | 198                          | 199                   | 7         | 11     | 16                 | 36.08               | 28.3                | 156.3                  | 1193                          | 723             | 5.75                       | 4.48           | 76.3               | 72.7            |  |  |  |
| T 200 x 400     | 200                          | 400                   | 13        | 21     | 22                 | 109.35              | 86                  | 167.9                  | 2470                          | 11207           | 4.75                       | 10.12          | 147.1              | 560.4           |  |  |  |
| T 225 x 200     | 225                          | 200                   | 9         | 14     | 18                 | 48.38               | 38                  | 173.5                  | 2155                          | 936             | 6.67                       | 4.4            | 124.2              | 93.6            |  |  |  |
| T 250 x 200     | 250                          | 200                   | 10        | 16     | 20                 | 57.1                | 44.8                | 190.5                  | 3210                          | 1071            | 7.5                        | 4.33           | 168.5              | 107.1           |  |  |  |
| T 300 x 200     | 300                          | 200                   | 11        | 17     | 22                 | 67.2                | 53                  | 221.6                  | 5786                          | 1139            | 9.29                       | 4.12           | 261.9              | 113.9           |  |  |  |
| T 294 x 300     | 294                          | 300                   | 12        | 20     | 28                 | 96.25               | 75.5                | 233.2                  | 6695                          | 4509            | 8.34                       | 6.84           | 295.3              | 300.6           |  |  |  |
| T 350 x 300     | 350                          | 300                   | 13        | 24     | 28                 | 117.75              | 92.5                | 274.5                  | 12015                         | 5412            | 10.1                       | 6.78           | 447.3              | 360.8           |  |  |  |
| T 400 x 300     | 400                          | 300                   | 14        | 26     | 28                 | 133.7               | 105                 | 308.3                  | 18787                         | 5866            | 11.85                      | 6.62           | 609.5              | 391.1           |  |  |  |



### NOTE :

- Material specification refer to Wide Flange (IWF)
- Tolerance H = ±2mm
- Non standard sizes are available upon request and subject to minimum quantity

## King Cross



King Cross is a built-up / fabricated steel section. Standard sizes can be made by welding 2 T-Beams into the web of a hot rolled IWF, forming the shape of a cross. Non standard sizes are made entirely by welding steel plates.

King Cross's are generally used for structure column and steel piling foundation. When used as a column, King Cross can bear higher axial load than it is of standard IWF / Queen Cross due to its mechanical properties and high cross section area.

Compared to standard IWF / H-Beam, King Cross has higher Moment Of Inertia. To increase the slenderness capacity, higher Moment Of Inertia is required to avoid any buckling on the compression member. The Moment Of Inertia of the Y and X axis is almost the same, thus resulting in no weak axis.

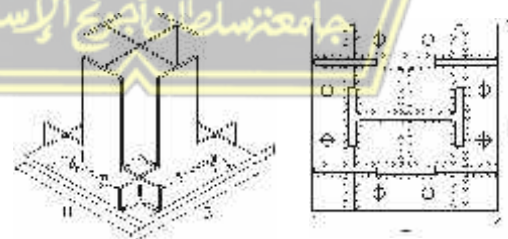
While standard Gunung Garuda's King Cross's are welded with partial joint penetration welding procedure, other welding procedure can also be done as per customers request /requirement such as complete joint penetration or fillet.

Other than our 12M length standard, non standard sizes are also available upon request and subject to minimum quantity.

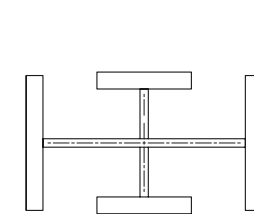
Size range : K 150 x 75 to K 800x300

Web Thickness Range : 5mm to 14mm

Flange Thickness Range : 7mm to 26mm



Fixed based plate for King Cross

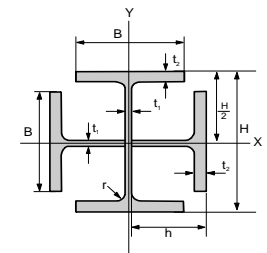
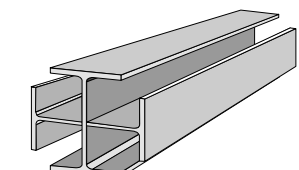


Non-standard built up King Cross

## King Cross

Metric Size

| Sectional Index | Standard Sectional Dimension |                             |                             |                                |                          | Sectional Area<br>A<br>cm <sup>2</sup> | Unit Weight<br>kg/m | Informative Reference             |                                   |                            |                      |                                   | Remarks                           |  |  |  |
|-----------------|------------------------------|-----------------------------|-----------------------------|--------------------------------|--------------------------|--|---------------------|-----------------------------------|-----------------------------------|----------------------------|----------------------|-----------------------------------|-----------------------------------|--|--|--|
|                 | Depth of Section<br>H<br>mm  | Width of Section<br>B<br>mm | Thickness                   |                                | Corner Radius<br>r<br>mm |  |                     | Geometrical Moment of Inertia     |                                   | Radius of Gyration of Area |                      | Modulus of Section                |                                   |  |  |  |
|                 |                              |                             | Web<br>t <sub>1</sub><br>mm | Flange<br>t <sub>2</sub><br>mm |                          |  |                     | I <sub>x</sub><br>cm <sup>4</sup> | I <sub>y</sub><br>cm <sup>4</sup> | i <sub>x</sub><br>cm       | i <sub>y</sub><br>cm | Z <sub>x</sub><br>cm <sup>3</sup> | Z <sub>y</sub><br>cm <sup>3</sup> |  |  |  |
|                 | mm                           | mm                          | mm                          | mm                             | mm                       | cm <sup>2</sup>                        | kg/m                | cm <sup>4</sup>                   | cm <sup>4</sup>                   | cm                         | cm                   | cm <sup>3</sup>                   | cm <sup>3</sup>                   |  |  |  |
| K 150 x 75      | 150                          | 75                          | 5                           | 7                              | 8                        | 35.7                                   | 28                  | 716                               | 767                               | 4.48                       | 4.64                 | 95.4                              | 99.1                              |  |  |  |
| K 200 x 100     | 200                          | 100                         | 5.5                         | 8                              | 11                       | 54.32                                  | 42.6                | 1,974                             | 2,095                             | 6.03                       | 6.21                 | 197.4                             | 203.9                             |  |  |  |
| K 198 x 99      | 198                          | 99                          | 4.5                         | 7                              | 11                       | 46.36                                  | 36.4                | 1,694                             | 1,778                             | 6.04                       | 6.23                 | 171.1                             | 175.6                             |  |  |  |
| K 250 x 125     | 250                          | 125                         | 6                           | 9                              | 12                       | 75.32                                  | 59.2                | 4,344                             | 4,567                             | 7.59                       | 7.79                 | 347.5                             | 356.9                             |  |  |  |
| K 248 x 124     | 248                          | 124                         | 5                           | 8                              | 12                       | 65.36                                  | 51.4                | 3,765                             | 3,924                             | 7.59                       | 7.75                 | 303.6                             | 310.2                             |  |  |  |
| K 300 x 150     | 300                          | 150                         | 6.5                         | 9                              | 13                       | 93.56                                  | 73.4                | 7,718                             | 8,073                             | 9.08                       | 9.29                 | 514.5                             | 526.9                             |  |  |  |
| K 298 x 149     | 298                          | 149                         | 5.5                         | 8                              | 13                       | 81.6                                   | 64                  | 6,762                             | 7,024                             | 9.1                        | 9.28                 | 453.8                             | 462.9                             |  |  |  |
| K 350 x 175     | 350                          | 175                         | 7                           | 11                             | 14                       | 126.28                                 | 99.2                | 14,5541                           | 5,128                             | 10.75                      | 10.95                | 831.7                             | 847.5                             |  |  |  |
| K 346 x 174     | 346                          | 174                         | 6                           | 9                              | 14                       | 105.36                                 | 82.8                | 11,892                            | 12,321                            | 10.62                      | 10.62                | 687.4                             | 700.0                             |  |  |  |
| K 400 x 200     | 400                          | 200                         | 8                           | 13                             | 16                       | 168.24                                 | 132                 | 25,440                            | 26,519                            | 12.3                       | 12.55                | 1,272                             | 1,299.9                           |  |  |  |
| K 396 x 199     | 396                          | 199                         | 7                           | 11                             | 16                       | 144.32                                 | 113.2               | 21,450                            | 22,267                            | 12.19                      | 12.19                | 1,083.3                           | 1,105.1                           |  |  |  |
| K 450 x 200     | 450                          | 200                         | 9                           | 14                             | 18                       | 193.52                                 | 152                 | 35,370                            | 36,851                            | 13.52                      | 13.52                | 1,572.0                           | 1,605.7                           |  |  |  |
| K 500 x 200     | 500                          | 200                         | 10                          | 16                             | 20                       | 228.4                                  | 179.2               | 29,940                            | 52,189                            | 14.79                      | 15.7                 | 1,997.6                           | 2,046.6                           |  |  |  |
| K 600 x 200     | 600                          | 200                         | 11                          | 17                             | 22                       | 268.8                                  | 212                 | 79,880                            | 83,229                            | 17.24                      | 17.24                | 2,662.7                           | 2,724.4                           |  |  |  |
| K 588 x 300     | 588                          | 300                         | 12                          | 20                             | 28                       | 385                                    | 302                 | 127,020                           | 132,585                           | 18.16                      | 18.16                | 4,320.4                           | 4,419.5                           |  |  |  |
| K 700 x 300     | 700                          | 300                         | 13                          | 24                             | 28                       | 471                                    | 369.7               | 211,800                           | 220,791                           | 21.21                      | 21.65                | 6,051.4                           | 6,193.3                           |  |  |  |
| K 800 x 300     | 800                          | 300                         | 14                          | 26                             | 28                       | 534.8                                  | 419.8               | 303,700                           | 315,027                           | 23.83                      | 24.27                | 7,592.5                           | 7,740.2                           |  |  |  |



### NOTE :

- H = H/2 = Height of T-Beam
- Material specification refer to Wide Flange (IWF)
- Tolerance H = ±2mm
- Welded specification as per AWS E-6013
- Non standard sizes are available upon request and subject to minimum quantity

## Queen Cross



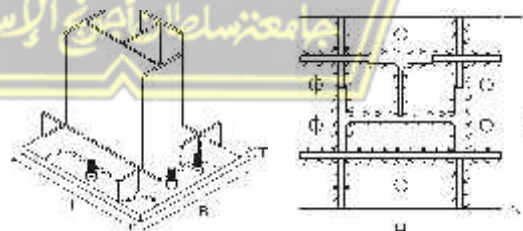
Queen Cross is almost similar to King Cross but differ in shape. Standard sizes can be made by welding a T-Beam into the web of a hot rolled IWF while non standards are made entirely by welding steel plates.

Just like King Cross, Queen Cross's are also generally used for structure column with smaller axial load properties compared to King Cross but still higher than standard IWF.

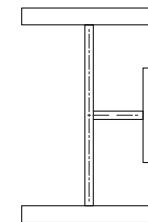
Gunung Garuda's Queen Cross's are welded with partial joint penetration welding procedure while other procedures such as complete joint penetration and fillet can also be done as per request.

Other than our 12M length standard, non standard sizes are also available upon request and subject to minimum quantity.

|                        |                          |
|------------------------|--------------------------|
| Size range             | : Q 150x 75 to Q 800x300 |
| Web Thickness Range    | : 5mm to 14mm            |
| Flange Thickness Range | : 7mm to 26mm            |



Fixed based plate for Queen Cross

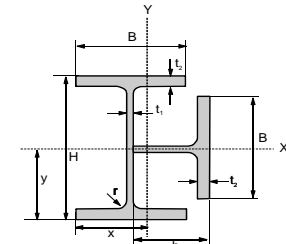
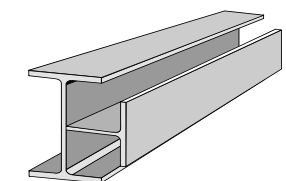


Non-standard built up Queen Cross

## Queen Cross

Metric Size

| Sectional Index | Standard Sectional Dimension |                  |           |        |               |                 | Sectional Area | Unit Weight | Informative Reference |                 |                               |       |                            |                 |                    |       | Remarks |  |  |  |
|-----------------|------------------------------|------------------|-----------|--------|---------------|-----------------|----------------|-------------|-----------------------|-----------------|-------------------------------|-------|----------------------------|-----------------|--------------------|-------|---------|--|--|--|
|                 | Depth of Section             | Width of Section | Thickness |        | Corner Radius | A               |                |             | Center of Gravity     |                 | Geometrical Moment of Inertia |       | Radius of Gyration of Area |                 | Modulus of Section |       |         |  |  |  |
|                 |                              |                  | Web       | Flange |               |                 |                |             | x                     | y               | $I_x$                         | $I_y$ | $i_x$                      | $i_y$           | $Z_x$              | $Z_y$ |         |  |  |  |
| mm              | mm                           | mm               | mm        | mm     | mm            | cm <sup>2</sup> | kg/m           | mm          | mm                    | cm <sup>4</sup> | cm <sup>4</sup>               | cm    | cm                         | cm <sup>3</sup> | cm <sup>3</sup>    |       |         |  |  |  |
| Q 150 x 75      | 150                          | 75               | 5         | 7      | 8             | 26.78           | 21             | 57.3        | 75                    | 691             | 310                           | 5.08  | 3.4                        | 92.1            | 53.99              |       |         |  |  |  |
| Q 200 x 100     | 200                          | 100              | 5.5       | 8      | 11            | 40.74           | 32             | 76.6        | 100                   | 1,907           | 848                           | 6.84  | 4.56                       | 190.7           | 110.72             |       |         |  |  |  |
| Q 198 x 99      | 198                          | 99               | 4.5       | 7      | 11            | 34.77           | 27.3           | 76.1        | 99                    | 1,637           | 722                           | 6.86  | 4.56                       | 165.3           | 94.86              |       |         |  |  |  |
| Q 250 x 125     | 250                          | 125              | 6         | 9      | 12            | 56.49           | 44.4           | 95.9        | 125                   | 4,197           | 1,844                         | 6.82  | 5.71                       | 335.8           | 192.34             |       |         |  |  |  |
| Q 248 x 124     | 248                          | 124              | 5         | 8      | 12            | 49.02           | 38.5           | 95.4        | 124                   | 3,670           | 1,599                         | 8.65  | 5.71                       | 296.0           | 167.62             |       |         |  |  |  |
| Q 300 x 150     | 300                          | 150              | 6.5       | 9      | 13            | 70.17           | 55.1           | 114.7       | 150                   | 7,464           | 3,260                         | 10.31 | 6.82                       | 497.6           | 284.16             |       |         |  |  |  |
| Q 298 x 149     | 298                          | 149              | 5.5       | 8      | 13            | 61.2            | 48.1           | 114.2       | 149                   | 6,545           | 2,842                         | 10.34 | 6.81                       | 439.3           | 248.76             |       |         |  |  |  |
| Q 350 x 175     | 350                          | 175              | 7         | 11     | 14            | 94.71           | 74.4           | 134.5       | 175                   | 14,092          | 6,096                         | 12.2  | 8.02                       | 805.3           | 453.30             |       |         |  |  |  |
| Q 346 x 174     | 346                          | 174              | 6         | 9      | 14            | 79.02           | 62.1           | 133.3       | 173                   | 11,496          | 4,978                         | 12.07 | 7.94                       | 664.5           | 373.37             |       |         |  |  |  |
| Q 400 x 200     | 400                          | 200              | 8         | 13     | 16            | 126.18          | 99.1           | 153.9       | 200                   | 24,570          | 10,661                        | 13.95 | 9.19                       | 1,228.4         | 692.79             |       |         |  |  |  |
| Q 396 x 199     | 396                          | 199              | 7         | 11     | 16            | 108.24          | 85             | 152.8       | 198                   | 20,725          | 8,984                         | 13.84 | 9.11                       | 1,047.2         | 588.07             |       |         |  |  |  |
| Q 450 x 200     | 450                          | 200              | 9         | 14     | 18            | 145.14          | 114            | 159.3       | 225                   | 34,436          | 15,472                        | 15.4  | 10.02                      | 1,530.5         | 914.48             |       |         |  |  |  |
| Q 500 x 200     | 500                          | 200              | 10        | 16     | 20            | 171.3           | 134.5          | 165.2       | 250                   | 48,871          | 20,386                        | 16.89 | 10.91                      | 1,954.8         | 1,234.37           |       |         |  |  |  |
| Q 600 x 200     | 600                          | 200              | 11        | 17     | 22            | 201.6           | 158.3          | 175.7       | 300                   | 78,739          | 32,097                        | 19.76 | 12.62                      | 2,624.6         | 1,826.74           |       |         |  |  |  |
| Q 588 x 300     | 588                          | 300              | 12        | 20     | 28            | 288.75          | 226.7          | 229.7       | 294                   | 122,509         | 53,713                        | 20.6  | 13.64                      | 4,167.0         | 2,338.03           |       |         |  |  |  |
| Q 700 x 300     | 700                          | 300              | 13        | 24     | 28            | 353.25          | 277.4          | 243.7       | 350                   | 206,406         | 86,629                        | 24.17 | 15.66                      | 5,897.1         | 3,555.30           |       |         |  |  |  |
| Q 800 x 300     | 800                          | 300              | 14        | 26     | 28            | 401.1           | 315            | 255.1       | 400                   | 297,859         | 121,518                       | 27.25 | 17.41                      | 7,446.3         | 4,763.91           |       |         |  |  |  |



NOTE :

- $H = H/2$  = Height of T-Beam
- Material specification refer to Wide Flange (IWF)
- Tolerance  $H = \pm 2\text{mm}$
- Welded specification as per AWS E-6013
- Non standard sizes are available upon request and subject to minimum quantity



## Certificate





Certificate No. 10000-0-1-00002010 Date Of Issue June 13, 2000

**Commodity**

Specification ACCORDING TO IEC 60068-2-29

---

SAC No. 1425-1388 - STATION 131430

---

MILL TEST CERTIFICATE

We hereby certify that above steels have been satisfactorily tested in accordance with the specification.



GROUP 04.1

— сытым?



 PT. GUNUNG GARUDA  
Jl. Raya Bintan Km. 1

**Head Office:**  
Jalan Sungai 4, Wisma Gonglok, Suka Cinaan, Cicurug Bandung 77500, West Java - INDONESIA  
Phone: (+62-21) 8880111 / 8880111 ext 199  
Fax: (+62-21) 8882355 / 876-1977, 89107711  
E-mail: [parkung@grindelcom.com](mailto:parkung@grindelcom.com), [caji@grindelcom.com](mailto:caji@grindelcom.com)  
<http://www.grindelcom.com>

Пол  
Димитров  
Борисов  
Dimitrov.Borisov@mail.ru  
0893-31 0800000 1-800-1-800 88425313  
0893-31 08000441 1-800 0800000 1-800 188  
0893-31 0800000 1-800 0800000 1-800



## Steel Service Center

With facilities spanning over 40.500 sqm, the Steel Service Center (SSC) brings to you the most high quality service for steel manufacturing and fabrication with the most advanced and precise computerized machines like CNC sawing machines, CNC drilling, cutting, punching, bending machines, machines for galvanizing & shot blasting etc. Together with GSG's mainstream products and experienced engineers of ESC, now our customers can buy cut-to-length/cut-to-shape or custom steel fabrication that meets their requirement and international quality standards.

### PRODUCTS SERVICED:

Angle (HR), Cell Form, Channel (UNP), H-Beam (HR), Honey Comb, King Cross, Queen Cross, T-Beam, Welded Beam, Wide Flange Beam (IWF).

### SERVICE PROVIDED:

- Angle Line: Cutting, Punching, Stamping Angle Line
- Special Operations: Bending, Chamfering, Notching
- Beam Line: Bending, Cutting (90° & 45°), Drilling Copying (Honey Comb)
- Painting
- Shot Blasting
- Welded Beam Line: Build Up Beam, Tacking, Welding, Straightening

CAPACITY (MT/Month): 150.000 MT/Year

### Machinery



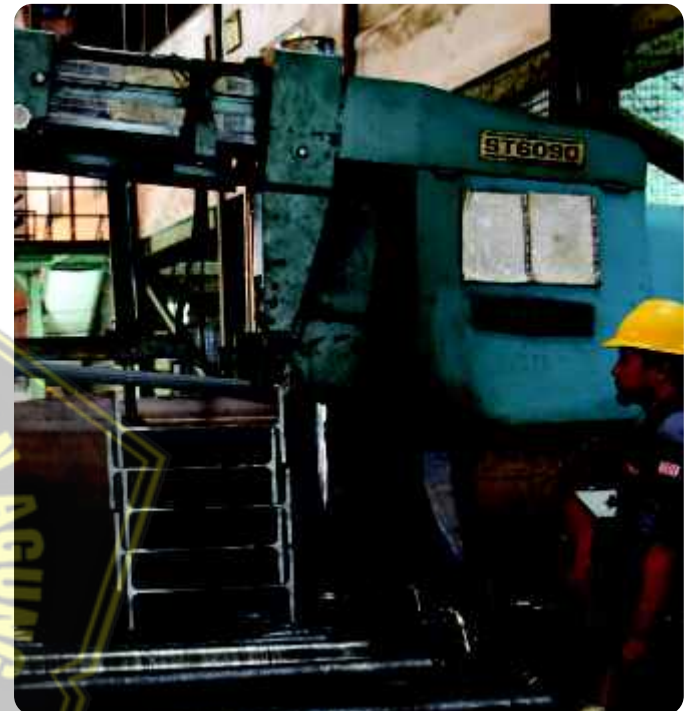
Drilling



Angle Punching



Cutting



Straightening



Shotblasting

## Steel Structure Applications



### High Rise Buildings

- Apartment
- Hotel
- Office Building
- Landmark
- Gas Processing & Distribution
- Terminal & Cargo Handling System

### Low Rise Buildings

- Housing / Residence
- Hospital
- Office Building
- Airport / Hangar
- School

### Commercial Buildings

- Show Room
- Supermarket & Hypermarket

### Industrial Buildings

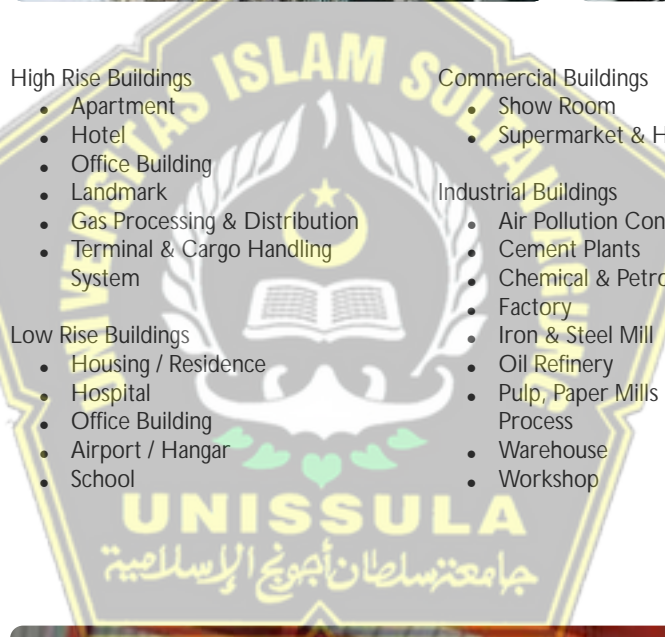
- Air Pollution Control Equipment
- Cement Plants
- Chemical & Petrochemical Plant
- Factory
- Iron & Steel Mill
- Oil Refinery
- Pulp, Paper Mills & Wood Process
- Warehouse
- Workshop

### Bridges

- Girder Bridging
- Truss Bridging
- Cantilever Bridging
- Arch Bridging
- Suspension Bridging
- Cable-stayed Bridging
- Railway Bridging

### Towers

- Transmission Tower
- Substation Tower
- Telecommunication Tower
- Pole Tower
- Monumental Tower
- Billboard
- Monitoring Tower
- Watertank Tower



Jakarta Head Office & Factory  
Jl. Imam Bonjol 4, Ds. Sukadanau  
Warung Bongkok, Cikarang Barat  
Bekasi - 17520, West Java - Indonesia  
Phone: +62 21 8900666 / 8900111  
Email : info@grdstee.com

Jakarta Representative Office  
Jl. P Jayakarta No. 105 G  
Jakarta - 10730, Indonesia

Medan Office & Factory (GGS)  
Jl. Medan Belawan KM 10  
Medan - North Sumatra - Indonesia  
Phone : +62 61 6851333 / 30008170

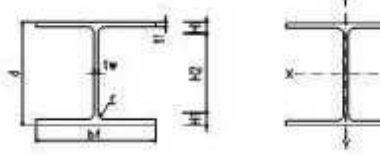
[www.grdstee.com](http://www.grdstee.com)

 /gunungsteelgroup  @gunungsteel

This book is printed with 100% recycled paper



### Standard Sectional Dimension of WF-steel and Its Sectional Area, Unit Weight and Sectional Characteristic



Sifat Mekanis Baja Struktural

| Jenis | f <sub>u</sub> (Mpa) | f <sub>y</sub> (Mpa) |
|-------|----------------------|----------------------|
| BJ 34 | 340                  | 210                  |
| BJ 37 | 370                  | 240                  |
| BJ 41 | 410                  | 250                  |
| BJ 50 | 50                   | 290                  |
| BJ55  | 51                   | 410                  |

$i_x = \sqrt{\frac{I_x}{A}}$  \*

$i_y = \sqrt{\frac{I_y}{A}}$  \*

\*Tabel 8.3.2 SNI 03-1729-2002

$Z_x = \frac{t_w d^2}{4} + (b_f - t_w) * (d - t_f) t_f$

$Z_y = \frac{t_f d^2}{2} + (h - 2t_f) * \frac{t_w^2}{4}$

\*\*PPBBI 1984 Chapter 10.

Sectional Dimension
Sectional Properties

d  
mm
x  
mm
bf  
mm
tw  
mm
tf  
mm
r  
mm
H2  
mm
Sec.of  
Area  
cm<sup>2</sup>
Unit  
Weight  
kg/m
Geometrical  
Moment of  
Inertia (cm<sup>4</sup>)
I<sub>x</sub>
I<sub>y</sub>
Radius of  
Gyration of  
Area (cm)
i<sub>x</sub>
i<sub>y</sub>
Elastic Modulus of  
Section  
(cm<sup>3</sup>)
S<sub>x</sub>
S<sub>y</sub>
Plastic Modulus of  
Section  
(cm<sup>3</sup>)
Z<sub>x</sub>
Z<sub>y</sub>
Compact  
Crit

WF
100 x 50
5.0
7.0
8.0
70.0
11.85
9.30
187
15
3.97
1.13
37
6
42
9
3.57

WF
100 x 100
6.0
8.0
10.0
64.0
21.90
17.19
383
134
4.18
2.47
77
27
84
41
6.25

WF
125 x 60
6.0
8.0
9.0
91.0
16.84
13.22
413
29
4.95
1.31
66
10
74
15
3.75

WF
125 x 125
6.5
9.0
10.0
87.0
30.31
23.79
847
293
5.29
3.11
136
47
149
71
6.94

WF
148 x 75
5.0
7.0
8.0
120.0
17.85
14.01
666
49
6.11
1.66
89
13
98
21
5.36

WF
150 x 100
6.0
9.0
11.0
108.0
26.8
21.07
1020
151
6.16
2.37
138
30
150
46
5.36

WF
150 x 150
7.0
10.0
11.0
108.0
40.1
31.51
1640
563
6.39
3.75
219
75
240
114
7.50

WF
175 x 90
5.0
8.0
9.0
141.0
23.1
18.09
1210
98
7.25
2.06
138
22
152
33
5.63

WF
175 x 175
7.5
11.0
12.0
129.0
51.2
40.20
2880
984
7.50
4.38
329
112
360
171
7.95

WF
198 x 99
4.5
7.0
11.0
162.0
23.2
18.20
1580
114
8.26
2.22
160
23
170
35
7.07

WF
200 x 100
5.5
8.0
11.0
162.0
27.2
21.32
1840
134
8.23
2.22
184
27
200
41
6.25

WF
194 x 150
6.0
9.0
13.0
150.0
39.0
30.62
2690
507
8.30
3.61
277
58
296
103
8.33

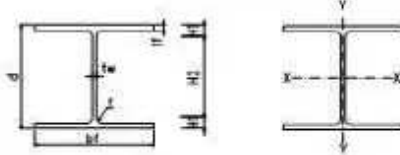
WF
248 x 124
5.0
8.0
12.0
208.0
32.88
25.85
3540
255
10.41
2.79
285
41
305
63
7.33

WF
250 x 125
6.0
9.0
12.0
208.0
37.66
29.56
4050
294
10.37
2.79
324
47
352
72
6.94

WF
244 x 175
7.0
11.0
16.0
190.0
56.24
44.15
6120
984
10.43
4.18
502
112
535
171
7.95

WF
250 x 250
9.0
14.0
16.0
190.0
92.18
72.36
10800
3650
10.82
6.29
864
292
937
442
8.93

## Standard Sectional Dimension of WF-steel and Its Sectional Area, Unit Weight and Sectional Characteristic



Sifat Mekanis Baja Struktural

| Jenis | f <sub>u</sub> (Mpa) | f <sub>y</sub> (Mpa) |
|-------|----------------------|----------------------|
| BJ 34 | 340                  | 210                  |
| BJ 37 | 370                  | 240                  |
| BJ 41 | 410                  | 250                  |
| BJ 50 | 50                   | 290                  |
| BJ55  | 51                   | 410                  |

$$ix = \sqrt{\frac{I_x}{A}} \quad *$$

$$iy = \sqrt{\frac{I_y}{A}} \quad *$$

$$Zx = \frac{t \cdot d^2}{4} + (bf - tw) * (d - tf) \cdot tf$$

$$Zy = \frac{tf \cdot d^2}{2} + (h - 2 \cdot tf) * \frac{t \cdot w^2}{4}$$

\*Tabel 8.3.2 SNI 03-1729-2002      \*\*PPBBI 1984 Chapter 10.

Sectional Dimension
Sectional Properties

d  
mm
x  
mm
bf  
mm
tw  
mm
tf  
mm
r  
mm
H2  
mm
Sec.of  
Area  
cm<sup>2</sup>
Unit  
Weight  
kg/m
Geometrical  
Moment of  
Inertia (cm<sup>4</sup>)
Radius of  
Gyration of  
Area (cm)
Elastic Modulus of  
Section  
(cm<sup>3</sup>)
Plastic Modulus of  
Section  
(cm<sup>3</sup>)
Compac  
Crit

I<sub>x</sub>
I<sub>y</sub>
i<sub>x</sub>
i<sub>y</sub>
S<sub>x</sub>
S<sub>y</sub>
Z<sub>x</sub>
Z<sub>y</sub>
bf/2tf

| WF | 298 | x | 149 | 5.5  | 8.0  | 13.0 | 256.0 | 40.80  | 32.03  | 6320  | 442   | 12.45 | 3.29  | 424  | 59  | 455  | 91   | 9.31  |
|----|-----|---|-----|------|------|------|-------|--------|--------|-------|-------|-------|-------|------|-----|------|------|-------|
|    | 300 | x | 150 | 6.5  | 9.0  | 13.0 | 256.0 | 46.78  | 36.72  | 7210  | 508   | 12.41 | 3.30  | 481  | 68  | 522  | 104  | 8.33  |
|    | 294 | x | 200 | 8.0  | 12.0 | 18.0 | 234.0 | 72.38  | 56.82  | 11300 | 1600  | 12.49 | 4.70  | 769  | 160 | 823  | 244  | 8.33  |
|    | 300 | x | 300 | 10.0 | 15.0 | 18.0 | 234.0 | 119.80 | 94.04  | 20400 | 6750  | 13.05 | 7.51  | 1360 | 450 | 1465 | 682  | 10.00 |
|    | 300 | x | 305 | 15.0 | 15.0 | 18.0 | 234.0 | 134.80 | 105.82 | 21500 | 7100  | 12.63 | 7.26  | 1433 | 466 | 1577 | 713  | 10.17 |
| WF | 346 | x | 174 | 6.0  | 9.0  | 14.0 | 300.0 | 52.68  | 41.35  | 11100 | 792   | 14.52 | 3.88  | 642  | 91  | 689  | 139  | 9.67  |
|    | 350 | x | 175 | 7.0  | 11.0 | 14.0 | 300.0 | 63.14  | 49.56  | 13600 | 984   | 14.68 | 3.95  | 777  | 112 | 841  | 172  | 7.95  |
|    | 340 | x | 250 | 9.0  | 14.0 | 20.0 | 272.0 | 101.50 | 79.68  | 21700 | 3650  | 14.62 | 6.00  | 1276 | 292 | 1360 | 444  | 8.93  |
|    | 350 | x | 350 | 12.0 | 19.0 | 20.0 | 272.0 | 173.90 | 136.51 | 40300 | 13600 | 15.22 | 8.84  | 2303 | 777 | 2493 | 1175 | 9.21  |
| WF | 396 | x | 199 | 7.0  | 11.0 | 16.0 | 342.0 | 72.16  | 56.65  | 20000 | 1450  | 16.65 | 4.48  | 1010 | 146 | 1088 | 222  | 9.05  |
|    | 400 | x | 200 | 8.0  | 13.0 | 16.0 | 342.0 | 84.12  | 66.03  | 23700 | 1740  | 16.79 | 4.55  | 1185 | 174 | 1286 | 266  | 7.69  |
|    | 390 | x | 300 | 10.0 | 16.0 | 22.0 | 314.0 | 136.00 | 106.76 | 38700 | 7210  | 16.87 | 7.28  | 1985 | 481 | 2116 | 729  | 9.38  |
|    | 400 | x | 400 | 13.0 | 21.0 | 22.0 | 314.0 | 218.70 | 171.68 | 66600 | 22400 | 17.45 | 10.12 | 3330 | 120 | 3600 | 1695 | 9.52  |
| WF | 450 | x | 200 | 9.0  | 14.0 | 18.0 | 386.0 | 96.76  | 75.96  | 33500 | 1870  | 18.61 | 4.40  | 1489 | 187 | 1621 | 289  | 7.14  |
|    | 440 | x | 300 | 11.0 | 18.0 | 24.0 | 356.0 | 157.40 | 123.56 | 56100 | 8110  | 18.88 | 7.18  | 2550 | 541 | 2728 | 822  | 8.33  |
| WF | 496 | x | 199 | 9.0  | 14.0 | 200  | 428.0 | 101.30 | 79.52  | 41900 | 1840  | 20.34 | 4.26  | 1690 | 185 | 1836 | 287  | 7.11  |
|    | 500 | x | 200 | 10.0 | 16.0 | 20.0 | 428.0 | 114.20 | 89.65  | 47800 | 2140  | 20.46 | 4.33  | 1912 | 214 | 2096 | 332  | 6.25  |
|    | 482 | x | 300 | 11.0 | 15.0 | 26.0 | 400.0 | 145.50 | 114.22 | 60400 | 6760  | 20.37 | 6.82  | 2506 | 451 | 2663 | 689  | 1,000 |
|    | 488 | x | 300 | 11.0 | 18.0 | 26.0 | 400.0 | 163.50 | 128.35 | 71000 | 8110  | 20.84 | 7.04  | 2910 | 541 | 3100 | 824  | 8.33  |
| WF | 596 | x | 199 | 10.0 | 15.0 | 22.0 | 522.0 | 120.50 | 94.59  | 68700 | 1980  | 23.88 | 4.05  | 2305 | 199 | 2535 | 311  | 6.63  |
|    | 600 | x | 200 | 11.0 | 17.0 | 22.0 | 522.0 | 134.40 | 105.50 | 77600 | 2280  | 24.03 | 4.12  | 2587 | 228 | 2863 | 357  | 5.88  |

### Standard Sectional Dimension of WF-steel and Its Sectional Area, Unit Weight and Sectional Characteristic

|  |  |  |  |  |  |  |  | Sifat Mekanis Baja Struktural |          |          |  |  |  |  |  |
|--|--|--|--|--|--|--|--|-------------------------------|----------|----------|--|--|--|--|--|
|  |  |  |  |  |  |  |  | Jenis                         | fu (Mpa) | fy (Mpa) |  |  |  |  |  |
|  |  |  |  |  |  |  |  | BJ 34                         | 340      | 210      |  |  |  |  |  |
|  |  |  |  |  |  |  |  | BJ 37                         | 370      | 240      |  |  |  |  |  |
|  |  |  |  |  |  |  |  | BJ 41                         | 410      | 250      |  |  |  |  |  |
|  |  |  |  |  |  |  |  | BJ 50                         | 50       | 290      |  |  |  |  |  |
|  |  |  |  |  |  |  |  | BJ55                          | 51       | 410      |  |  |  |  |  |

$$ix = \sqrt{\frac{Ix}{A}} \quad *$$

$$iy = \sqrt{\frac{Iy}{A}} \quad *$$

$$Zx = \frac{t_w d^2}{4} + (bf - t_w) * (d - tf) \frac{tf}{t}$$

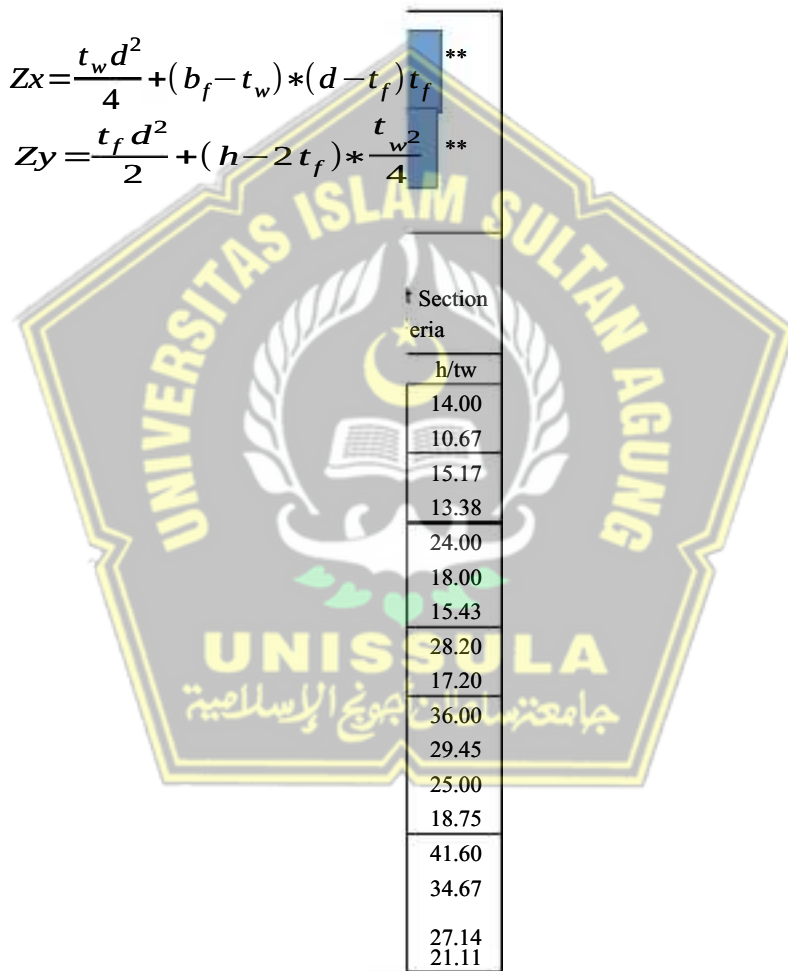
$$Zy = \frac{t_f d^2}{2} + (h - 2t_f) * \frac{w^2}{4}$$

\*Tabel 8.3.2 SNI 03-1729-2002

\*\*PPBBI 1984 Chapter 10.

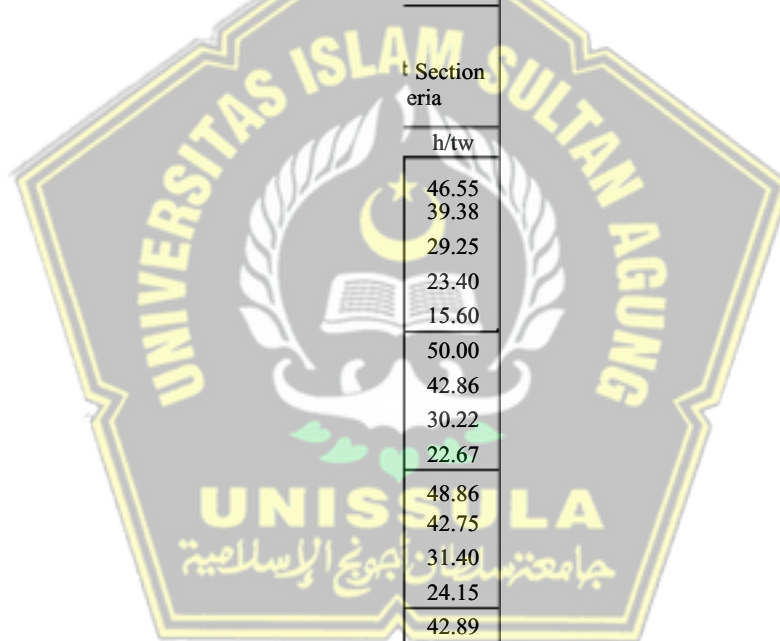
  

| Sectional Dimension |     |     |      |      |      | Sectional Properties |             |             |  |        |       |       |      |      | Compact Crit |       |      |      |
|---------------------|-----|-----|------|------|------|----------------------|-------------|-------------|--|--------|-------|-------|------|------|--------------|-------|------|------|
| d                   | x   | bf  | tw   | tf   | r    | H2                   | Sec.of Area | Unit Weight | Geometrical Moment of Inertia (cm <sup>4</sup> ) | Ix     | Iy    | ix    | iy   | Sx   | Sy           | Zx    | Zy   |      |
| 582                 | x   | 300 | 12.0 | 17.0 | 28.0 | 492.0                | 174.50      | 136.98      | 103000   | 7670   | 24.30 | 6.63  | 3540 | 511  | 3782         | 785   | 8.82 |      |
| 588                 | x   | 300 | 12.0 | 20.0 | 28.0 | 492.0                | 192.50      | 151.11      | 118000   | 9020   | 24.76 | 6.85  | 4014 | 601  | 4309         | 920   | 7.50 |      |
| WF                  | 700 | x   | 300  | 13.0 | 24.0 | 28.0                 | 596.0       | 215.50      | 184.87   | 201000 | 10800 | 30.54 | 7.08 | 5743 | 720          | 6249  | 1108 | 6.25 |
| WF                  | 800 | x   | 300  | 14.0 | 26.0 | 28.0                 | 692.0       | 267.40      | 209.91   | 292000 | 11700 | 33.05 | 6.61 | 7300 | 780          | 7995  | 1207 | 5.77 |
| WF                  | 900 | x   | 300  | 16.0 | 28.0 | 28.0                 | 788.0       | 309.80      | 243.19   | 411000 | 12600 | 36.42 | 6.38 | 9133 | 840          | 10174 | 1314 | 5.36 |



$$Zx = \frac{t_w d^2}{4} + (b_f - t_w) * (d - t_f) t_f$$
$$Zy = \frac{\frac{t_f d^2}{2} + (h - 2t_f) * \frac{t_w^2}{4}}{4}$$

\*\*  
\*\*



t Section  
eria

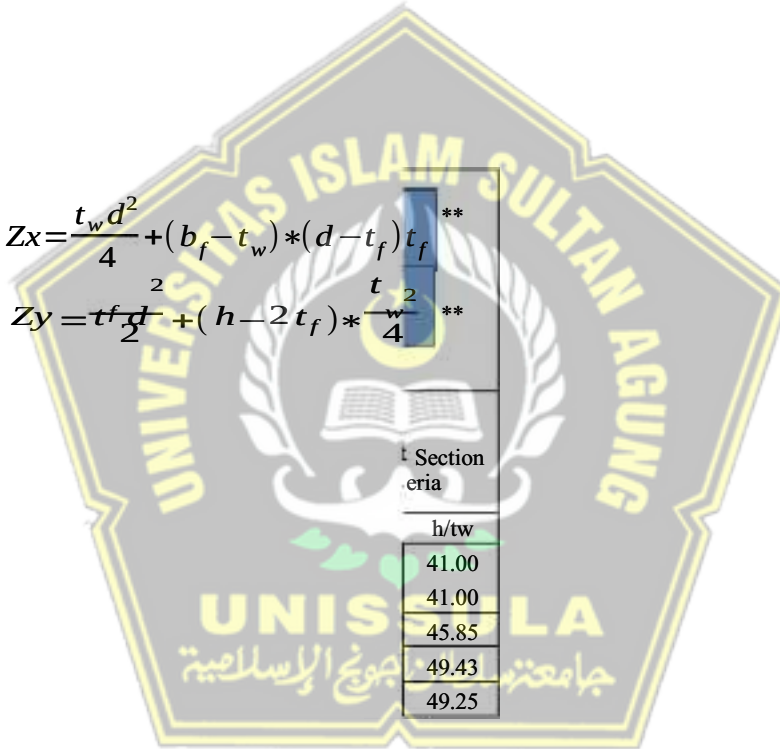
h/tw

|       |
|-------|
| 46.55 |
| 39.38 |
| 29.25 |
| 23.40 |
| 15.60 |
| 50.00 |
| 42.86 |
| 30.22 |
| 22.67 |
| 48.86 |
| 42.75 |
| 31.40 |
| 24.15 |
| 42.89 |
| 32.36 |
| 47.56 |
| 42.80 |
| 36.36 |
| 36.36 |
| 52.20 |
| 47.45 |

$$Zx = \frac{t_w d^2}{4} + (b_f - t_w) * (d - t_f) t_f^{**}$$
$$Zy = \frac{t_f d^2}{2} + (h - 2t_f) * \frac{t_w^2}{4}^{**}$$

t Section  
area

| h/tw  |
|-------|
| 41.00 |
| 41.00 |
| 45.85 |
| 49.43 |
| 49.25 |



## Standard Sectional Dimension of WF-steel and Its Sectional Area, Unit Weight and Sectional Characteristic

### Sifat Mekanis Baja Struktural

| Jenis | $f_u$ (Mpa) | $f_y$ (Mpa) |
|-------|-------------|-------------|
| BJ 34 | 340         | 210         |
| BJ 37 | 370         | 240         |
| BJ 41 | 410         | 250         |
| BJ 50 | 50          | 290         |
| BJ55  | 51          | 410         |

$$\frac{h}{t_w} \leq \frac{1680}{\sqrt{f_y}}$$

$$\frac{b}{2t_f} \leq \frac{170}{\sqrt{f_y}}$$

Penampang Kompak  $M_n = M_p = Zx * f_y$  \*\*

\*\*Tabel 7.5.1 .SNI-03-1729-2002.

|    | Sectional Dimension |         |          |          |          |         |          | Compact Section Criteria |       |                                    |                                   |                                    |                                   |                                    |                                   |                                    |                                   |
|----|---------------------|---------|----------|----------|----------|---------|----------|--------------------------|-------|------------------------------------|-----------------------------------|------------------------------------|-----------------------------------|------------------------------------|-----------------------------------|------------------------------------|-----------------------------------|
|    | d<br>mm             | x<br>mm | bf<br>mm | tw<br>mm | tf<br>mm | r<br>mm | H2<br>mm | bf/2tf                   | h/tw  | BJ 34<br>$\frac{1680}{\sqrt{f_y}}$ | BJ 37<br>$\frac{170}{\sqrt{f_y}}$ | BJ 41<br>$\frac{1680}{\sqrt{f_y}}$ | BJ 50<br>$\frac{170}{\sqrt{f_y}}$ | BJ 34<br>$\frac{1680}{\sqrt{f_y}}$ | BJ 37<br>$\frac{170}{\sqrt{f_y}}$ | BJ 41<br>$\frac{1680}{\sqrt{f_y}}$ | BJ 50<br>$\frac{170}{\sqrt{f_y}}$ |
| WF | 100                 | x       | 50       | 5.0      | 7.0      | 8.0     | 70.0     | 3.57                     | 14.00 | 115.93                             | 11.73                             | 108.44                             | 10.97                             | 106.25                             | 10.75                             | 98.65                              | 9.98                              |
|    | 100                 |         | 100      | 6.0      | 8.0      | 10.0    | 64.0     | 6.25                     | 10.67 | 115.93                             | 11.73                             | 108.44                             | 10.97                             | 106.25                             | 10.75                             | 98.65                              | 9.98                              |
| WF | 125                 | x       | 60       | 6.0      | 8.0      | 9.0     | 91.0     | 3.75                     | 15.17 | 115.93                             | 11.73                             | 108.44                             | 10.97                             | 106.25                             | 10.75                             | 98.65                              | 9.98                              |
|    | 125                 |         | 125      | 6.5      | 9.0      | 10.0    | 87.0     | 6.94                     | 13.38 | 115.93                             | 11.73                             | 108.44                             | 10.97                             | 106.25                             | 10.75                             | 98.65                              | 9.98                              |
| WF | 150                 | x       | 75       | 5.0      | 7.0      | 8.0     | 120.0    | 5.36                     | 24.00 | 115.93                             | 11.73                             | 108.44                             | 10.97                             | 106.25                             | 10.75                             | 98.65                              | 9.98                              |
|    | 148                 | x       | 100      | 6.0      | 9.0      | 11.0    | 108.0    | 5.56                     | 18.00 | 115.93                             | 11.73                             | 108.44                             | 10.97                             | 106.25                             | 10.75                             | 98.65                              | 9.98                              |
| WF | 150                 | x       | 150      | 7.0      | 10.0     | 11.0    | 108.0    | 7.50                     | 15.43 | 115.93                             | 11.73                             | 108.44                             | 10.97                             | 106.25                             | 10.75                             | 98.65                              | 9.98                              |
|    | 175                 | x       | 90       | 5.0      | 8.0      | 9.0     | 141.0    | 5.63                     | 28.20 | 115.93                             | 11.73                             | 108.44                             | 10.97                             | 106.25                             | 10.75                             | 98.65                              | 9.98                              |
| WF | 175                 |         | 175      | 7.5      | 11.0     | 12.0    | 129.0    | 7.95                     | 17.20 | 115.93                             | 11.73                             | 108.44                             | 10.97                             | 106.25                             | 10.75                             | 98.65                              | 9.98                              |
|    | 198                 | x       | 99       | 4.5      | 7.0      | 11.0    | 162.0    | 7.07                     | 36.00 | 115.93                             | 11.73                             | 108.44                             | 10.97                             | 106.25                             | 10.75                             | 98.65                              | 9.98                              |
| WF | 200                 | x       | 100      | 5.5      | 8.0      | 11.0    | 162.0    | 6.25                     | 29.45 | 115.93                             | 11.73                             | 108.44                             | 10.97                             | 106.25                             | 10.75                             | 98.65                              | 9.98                              |
|    | 194                 | x       | 150      | 6.0      | 9.0      | 13.0    | 150.0    | 8.33                     | 25.00 | 115.93                             | 11.73                             | 108.44                             | 10.97                             | 106.25                             | 10.75                             | 98.65                              | 9.98                              |
| WF | 200                 | x       | 200      | 8.0      | 12.0     | 13.0    | 150.0    | 8.33                     | 18.75 | 115.93                             | 11.73                             | 108.44                             | 10.97                             | 106.25                             | 10.75                             | 98.65                              | 9.98                              |

## Standard Sectional Dimension of WF-steel and Its Sectional Area, Unit Weight and Sectional Characteristic

### Sifat Mekanis Baja Struktural

| Jenis | f <sub>u</sub> (Mpa) | f <sub>y</sub> (Mpa) |
|-------|----------------------|----------------------|
| BJ 34 | 340                  | 210                  |
| BJ 37 | 370                  | 240                  |
| BJ 41 | 410                  | 250                  |
| BJ 50 | 50                   | 290                  |
| BJ 55 | 51                   | 410                  |

$$\frac{h}{t_w} \leq \frac{1680}{\sqrt{f_y}}$$

$$\frac{b}{2t_f} \leq \frac{170}{\sqrt{f_y}}$$

Penampang Kompak Mn = Mp = Zx\*f<sub>y</sub> \*\*

\*\*Tabel 7.5.1 .SNI-03-1729-2002.

### Sectional Dimension

|    | d   | x | bf  | tw   | tf   | r    | H <sub>2</sub> | bf/2tf | h/tw  | BJ 34       |            | BJ 37       |            | BJ 41       |            | BJ 50       |            |
|----|-----|---|-----|------|------|------|----------------|--------|-------|-------------|------------|-------------|------------|-------------|------------|-------------|------------|
|    |     |   |     |      |      |      |                |        |       | <u>1680</u> | <u>170</u> | <u>1680</u> | <u>170</u> | <u>1680</u> | <u>170</u> | <u>1680</u> | <u>170</u> |
| WF | 248 | x | 124 | 5.0  | 8.0  | 12.0 | 208.0          | 7.75   | 41.60 | 115.93      | 11.73      | 108.44      | 10.97      | 106.25      | 10.75      | 98.65       | 9.98       |
|    | 250 | x | 125 | 6.0  | 9.0  | 12.0 | 208.0          | 6.94   | 34.67 | 115.93      | 11.73      | 108.44      | 10.97      | 106.25      | 10.75      | 98.65       | 9.98       |
|    | 244 | x | 175 | 7.0  | 11.0 | 16.0 | 190.0          | 7.95   | 27.14 | 115.93      | 11.73      | 108.44      | 10.97      | 106.25      | 10.75      | 98.65       | 9.98       |
|    | 250 | x | 250 | 9.0  | 14.0 | 16.0 | 190.0          | 8.93   | 21.11 | 115.93      | 11.73      | 108.44      | 10.97      | 106.25      | 10.75      | 98.65       | 9.98       |
| WF | 298 | x | 149 | 5.5  | 8.0  | 13.0 | 256.0          | 9.31   | 46.55 | 115.93      | 11.73      | 108.44      | 10.97      | 106.25      | 10.75      | 98.65       | 9.98       |
|    | 300 | x | 150 | 6.5  | 9.0  | 13.0 | 256.0          | 8.33   | 39.38 | 115.93      | 11.73      | 108.44      | 10.97      | 106.25      | 10.75      | 98.65       | 9.98       |
|    | 294 | x | 200 | 8.0  | 12.0 | 18.0 | 234.0          | 8.33   | 29.25 | 115.93      | 11.73      | 108.44      | 10.97      | 106.25      | 10.75      | 98.65       | 9.98       |
|    | 300 | x | 300 | 10.0 | 15.0 | 18.0 | 234.0          | 10.00  | 23.40 | 115.93      | 11.73      | 108.44      | 10.97      | 106.25      | 10.75      | 98.65       | 9.98       |
|    | 300 |   | 305 | 15.0 | 15.0 | 18.0 | 234.0          | 10.17  | 15.60 | 115.93      | 11.73      | 108.44      | 10.97      | 106.25      | 10.75      | 98.65       | 9.98       |
| WF | 346 | x | 174 | 6.0  | 9.0  | 14.0 | 300.0          | 9.67   | 50.00 | 115.93      | 11.73      | 108.44      | 10.97      | 106.25      | 10.75      | 98.65       | 9.98       |
|    | 350 | x | 175 | 7.0  | 11.0 | 14.0 | 300.0          | 7.95   | 42.86 | 115.93      | 11.73      | 108.44      | 10.97      | 106.25      | 10.75      | 98.65       | 9.98       |
|    | 340 | x | 250 | 9.0  | 14.0 | 20.0 | 272.0          | 8.93   | 30.22 | 115.93      | 11.73      | 108.44      | 10.97      | 106.25      | 10.75      | 98.65       | 9.98       |
|    | 350 | x | 350 | 12.0 | 19.0 | 20.0 | 272.0          | 9.21   | 22.67 | 115.93      | 11.73      | 108.44      | 10.97      | 106.25      | 10.75      | 98.65       | 9.98       |
| WF | 396 | x | 199 | 7.0  | 11.0 | 16.0 | 342.0          | 9.05   | 48.86 | 115.93      | 11.73      | 108.44      | 10.97      | 106.25      | 10.75      | 98.65       | 9.98       |
|    | 400 | x | 200 | 8.0  | 13.0 | 16.0 | 342.0          | 7.69   | 42.75 | 115.93      | 11.73      | 108.44      | 10.97      | 106.25      | 10.75      | 98.65       | 9.98       |
|    | 390 | x | 300 | 10.0 | 16.0 | 22.0 | 314.0          | 9.38   | 31.40 | 115.93      | 11.73      | 108.44      | 10.97      | 106.25      | 10.75      | 98.65       | 9.98       |
|    | 400 | x | 400 | 13.0 | 21.0 | 22.0 | 314.0          | 9.52   | 24.15 | 115.93      | 11.73      | 108.44      | 10.97      | 106.25      | 10.75      | 98.65       | 9.98       |

## Standard Sectional Dimension of WF-steel and Its Sectional Area, Unit Weight and Sectional Characteristic

Sifat Mekanis Baja Struktural

| Jenis | f <sub>u</sub> (Mpa) | f <sub>y</sub> (Mpa) |
|-------|----------------------|----------------------|
| BJ 34 | 340                  | 210                  |
| BJ 37 | 370                  | 240                  |
| BJ 41 | 410                  | 250                  |
| BJ 50 | 50                   | 290                  |
| BJ55  | 51                   | 410                  |

$$\frac{h}{t_w} \leq \frac{1680}{\sqrt{f_y}}$$

$$\frac{b}{2t_f} \leq \frac{170}{\sqrt{f_y}}$$

Penampang Kompak Mn = Mp = Zx\*f<sub>y</sub> \*\*

\*\*Tabel 7.5.1 .SNI-03-1729-2002.

|    | Sectional Dimension |         |          |          |          |         |          | Compact Section Criteria |       |                       |                       |                       |                       |                       |                       |
|----|---------------------|---------|----------|----------|----------|---------|----------|--------------------------|-------|-----------------------|-----------------------|-----------------------|-----------------------|-----------------------|-----------------------|
|    | d<br>mm             | x<br>mm | bf<br>mm | tw<br>mm | tf<br>mm | r<br>mm | H2<br>mm | bf/2tf                   | h/tw  | <u>1680</u>           | <u>170</u>            | <u>/f<sub>y</sub></u> | <u>/f<sub>y</sub></u> | <u>/f<sub>y</sub></u> | <u>/f<sub>y</sub></u> |
|    |                     |         |          |          |          |         |          |                          |       | <u>/f<sub>y</sub></u> | <u>/f<sub>y</sub></u> | <u>/f<sub>y</sub></u> | <u>/f<sub>y</sub></u> | <u>/f<sub>y</sub></u> | <u>/f<sub>y</sub></u> |
| WF | 450                 | x       | 200      | 9.0      | 14.0     | 18.0    | 386.0    | 7.14                     | 42.89 | 115.93                | 11.73                 | 108.44                | 10.97                 | 106.25                | 10.75                 |
|    | 440                 | x       | 300      | 11.0     | 18.0     | 24.0    | 356.0    | 8.33                     | 32.36 | 115.93                | 11.73                 | 108.44                | 10.97                 | 106.25                | 10.75                 |
| WF | 496                 | x       | 199      | 9.0      | 14.0     | 200     | 428.0    | 7.11                     | 47.56 | 115.93                | 11.73                 | 108.44                | 10.97                 | 106.25                | 10.75                 |
|    | 500                 | x       | 200      | 10.0     | 16.0     | 20.0    | 428.0    | 6.25                     | 42.80 | 115.93                | 11.73                 | 108.44                | 10.97                 | 106.25                | 10.75                 |
|    | 482                 | x       | 300      | 11.0     | 15.0     | 26.0    | 400.0    | 1,000                    | 36.36 | 115.93                | 11.73                 | 108.44                | 10.97                 | 106.25                | 10.75                 |
|    | 488                 | x       | 300      | 11.0     | 18.0     | 26.0    | 400.0    | 8.33                     | 36.36 | 115.93                | 11.73                 | 108.44                | 10.97                 | 106.25                | 10.75                 |
| WF | 596                 | x       | 199      | 10.0     | 15.0     | 22.0    | 522.0    | 6.63                     | 52.20 | 115.93                | 11.73                 | 108.44                | 10.97                 | 106.25                | 10.75                 |
|    | 600                 | x       | 200      | 11.0     | 17.0     | 22.0    | 522.0    | 5.88                     | 47.45 | 115.93                | 11.73                 | 108.44                | 10.97                 | 106.25                | 10.75                 |
|    | 582                 | x       | 300      | 12.0     | 17.0     | 28.0    | 492.0    | 8.82                     | 41.00 | 115.93                | 11.73                 | 108.44                | 10.97                 | 106.25                | 10.75                 |
|    | 588                 | x       | 300      | 12.0     | 20.0     | 28.0    | 492.0    | 7.50                     | 41.00 | 115.93                | 11.73                 | 108.44                | 10.97                 | 106.25                | 10.75                 |
| WF | 700                 | x       | 300      | 13.0     | 24.0     | 28.0    | 596.0    | 6.25                     | 45.85 | 115.93                | 11.73                 | 108.44                | 10.97                 | 106.25                | 10.75                 |
| WF | 800                 | x       | 300      | 14.0     | 26.0     | 28.0    | 692.0    | 5.77                     | 49.43 | 115.93                | 11.73                 | 108.44                | 10.97                 | 106.25                | 10.75                 |
| WF | 900                 | x       | 300      | 16.0     | 28.0     | 28.0    | 788.0    | 5.36                     | 49.25 | 115.93                | 11.73                 | 108.44                | 10.97                 | 106.25                | 10.75                 |

(2010)



|              |              |
|--------------|--------------|
|              |              |
|              |              |
| BJ 55        |              |
| <u>1680</u>  | <u>170</u>   |
| $\sqrt{f_y}$ | $\sqrt{f_y}$ |
| 82.97        | 8.40         |
| 82.97        | 8.40         |
| 82.97        | 8.40         |
| 82.97        | 8.40         |
| 82.97        | 8.40         |
| 82.97        | 8.40         |
| 82.97        | 8.40         |
| 82.97        | 8.40         |
| 82.97        | 8.40         |
| 82.97        | 8.40         |
| 82.97        | 8.40         |
| 82.97        | 8.40         |
| 82.97        | 8.40         |
| 82.97        | 8.40         |
| 82.97        | 8.40         |
| 82.97        | 8.40         |
| 82.97        | 8.40         |
| 82.97        | 8.40         |
| 82.97        | 8.40         |
| 82.97        | 8.40         |
| 82.97        | 8.40         |
| 82.97        | 8.40         |
| 82.97        | 8.40         |



|              |              |
|--------------|--------------|
|              |              |
|              |              |
| BJ 55        |              |
| <u>1680</u>  | <u>170</u>   |
| $\sqrt{f_y}$ | $\sqrt{f_y}$ |
| 82.97        | 8.40         |
| 82.97        | 8.40         |
| 82.97        | 8.40         |
| 82.97        | 8.40         |
| 82.97        | 8.40         |
| 82.97        | 8.40         |
| 82.97        | 8.40         |
| 82.97        | 8.40         |
| 82.97        | 8.40         |
| 82.97        | 8.40         |
| 82.97        | 8.40         |
| 82.97        | 8.40         |
| 82.97        | 8.40         |
| 82.97        | 8.40         |
| 82.97        | 8.40         |
| 82.97        | 8.40         |
| 82.97        | 8.40         |
| 82.97        | 8.40         |
| 82.97        | 8.40         |
| 82.97        | 8.40         |



**Standard Sectional Dimension of WF-steel and Its Sectional Area, Unit Weight and Sectional Characteristic**

| Sifat Mekanis Baja Struktural | Jenis | f <sub>u</sub> (Mpa) | f <sub>y</sub> (Mpa) |
|-------------------------------|-------|----------------------|----------------------|
|                               | BJ 34 | 340                  | 210                  |
|                               | BJ 37 | 370                  | 240                  |
|                               | BJ 41 | 410                  | 250                  |
|                               | BJ 50 | 50                   | 290                  |
|                               | BJ55  | 51                   | 410                  |

$$\lambda_p = 1,76 * i_y * \sqrt{\frac{E}{f_y}}$$

$$\lambda_R = i_y * \left[ \frac{x_1}{f_y - f_r} \right] \sqrt{1 + \sqrt{1 + x_2 f_{L^2}}}$$

$$x_1 = \left[ \frac{\pi}{S_x} \right] * \sqrt{\frac{E * G * J * A}{2}}$$

$$x_2 = 4 * \left[ \frac{S_x}{G * J} \right] * \frac{I_w}{I_y}$$

$$I_w = I_y \frac{h^2}{4}$$

$$J = \sum \frac{1}{3} b t^2$$

Dimana :  
f<sub>r</sub> : 70 MPa (Tegangan)  
f<sub>L</sub> : f<sub>y</sub> - f<sub>r</sub>  
E : 200000 MPa (Modulus)  
G : 80000 Mpa (Modulus)  
J : Konstanta Puntir Torsi (cm<sup>4</sup>)  
I<sub>w</sub> : Konstanta Puntir Lengkung (cm<sup>6</sup>)

Sectional Dimension

| d<br>mm   | x<br>mm | bf<br>mm | tw<br>mm | tf<br>mm | r<br>mm | H2<br>mm | Mn (Ton.M)<br>Zx*f <sub>y</sub> | BJ 34<br>λ <sub>p</sub> | λ <sub>r</sub> | Mn (Ton.M)<br>Zx*f <sub>y</sub> | BJ 37<br>λ <sub>p</sub> | λ <sub>r</sub> | Mn (Ton.M)<br>Zx*f <sub>y</sub> | BJ 41<br>λ <sub>p</sub> | λ <sub>r</sub> | Mn (Ton.M)<br>Zx*f <sub>y</sub> | BJ 50<br>λ <sub>p</sub> | λ <sub>r</sub> |        |         |
|-----------|---------|----------|----------|----------|---------|----------|---------------------------------|-------------------------|----------------|---------------------------------|-------------------------|----------------|---------------------------------|-------------------------|----------------|---------------------------------|-------------------------|----------------|--------|---------|
|           |         |          |          |          |         |          |                                 |                         |                |                                 |                         |                |                                 |                         |                |                                 |                         |                |        |         |
| WF<br>100 | x       | 50       | 5.0      | 7.0      | 8.0     | 70.0     | 0.878                           | 61.11                   | 371.07         | 1.003                           | 57.16                   | 308.14         | 1.045                           | 56.01                   | 291.90         | 1.212                           | 52.00                   | 242.01         |        |         |
|           |         | 100      | 6.0      | 8.0      | 10.0    | 64.0     | 1.768                           | 134.35                  | 865.26         | 2.020                           | 125.68                  | 716.28         | 2.105                           | 123.14                  | 677.78         | 2.441                           | 114.33                  | 559.27         |        |         |
| WF<br>125 | x       | 60       | 6.0      | 8.0      | 9.0     | 91.0     | 1.554                           | 71.28                   | 400.18         | 1.776                           | 66.67                   | 333.27         | 1.850                           | 65.33                   | 316.03         | 2.145                           | 60.65                   | 263.09         |        |         |
|           |         | 125      | 6.5      | 9.0      | 10.0    | 87.0     | 3.131                           | 168.87                  | 966.24         | 3.579                           | 157.97                  | 802.09         | 3.728                           | 154.77                  | 759.74         | 4.324                           | 143.70                  | 629.55         |        |         |
| WF<br>150 | x       | 75       | 5.0      | 7.0      | 8.0     | 120.0    | 2.062                           | 89.99                   | 369.21         | 2.357                           | 84.18                   | 313.63         | 2.455                           | 82.48                   | 299.32         | 2.848                           | 76.58                   | 255.32         |        |         |
|           |         | 148      | 6.0      | 9.0      | 11.8    | 108.0    | 3.159                           | 128.83                  | 631.72         | 3.611                           | 120.51                  | 528.26         | 3.761                           | 118.07                  | 501.62         | 4.363                           | 109.63                  | 419.93         |        |         |
| WF<br>175 | x       | 90       | 5.0      | 8.0      | 9.0     | 141.0    | 3.189                           | 111.99                  | 437.45         | 3.644                           | 104.76                  | 372.95         | 3.796                           | 102.64                  | 356.33         | 4.403                           | 95.30                   | 305.13         |        |         |
|           |         | 175      | 7.5      | 11.0     | 12.0    | 129.0    | 7.551                           | 238.09                  | 1175.37        | 8.630                           | 222.71                  | 981.06         | 8.990                           | 218.21                  | 931.02         | 10.428                          | 202.60                  | 777.49         |        |         |
| WF<br>198 | x       | 99       | 4.5      | 7.0      | 11.0    | 162.0    | 3.579                           | 120.45                  | 398.90         | 4.091                           | 112.67                  | 347.12         | 4.261                           | 110.40                  | 333.61         | 4.943                           | 102.50                  | 291.39         |        |         |
|           |         | 200      | x        | 100      | 5.5     | 8.0      | 11.0                            | 162.0                   | 4.203          | 120.64                          | 438.17                  | 4.804          | 112.85                          | 377.12                  | 5.004          | 110.57                          | 361.32                  | 5.804          | 102.66 | 312.38  |
|           |         | 194      | x        | 150      | 6.0     | 9.0      | 13.0                            | 150.0                   | 6.220          | 195.81                          | 746.81                  | 7.109          | 183.16                          | 636.00                  | 7.405          | 179.46                          | 607.45                  | 8.590          | 166.63 | 519.58  |
|           |         | 200      | x        | 200      | 8.0     | 12.0     | 13.0                            | 150.0                   | 10.776         | 272.58                          | 1277.00                 | 12.316         | 254.97                          | 1068.60                 | 12.829         | 249.82                          | 1014.96                 | 14.881         | 231.95 | 850.45  |
| WF<br>248 | x       | 124      | 6.0      | 8.0      | 12.0    | 208.0    | 6.413                           | 151.72                  | 480.42         | 7.329                           | 141.92                  | 420.71         | 7.634                           | 139.06                  | 405.04         | 8.855                           | 129.11                  | 355.77         |        |         |
|           |         | 244      | x        | 175      | 7.0     | 11.0     | 16.0                            | 190.0                   | 11.230         | 227.19                          | 844.77                  | 12.835         | 212.52                          | 721.48                  | 13.369         | 208.22                          | 689.68                  | 15.508         | 193.33 | 591.68  |
|           |         | 250      | x        | 250      | 9.0     | 14.0     | 16.0                            | 190.0                   | 19.675         | 341.78                          | 1495.04                 | 22.485         | 319.71                          | 1256.29                 | 23.422         | 313.25                          | 1194.88                 | 27.170         | 290.84 | 1006.53 |
| WF<br>298 | x       | 149      | 5.5      | 8.0      | 13.0    | 256.0    | 9.556                           | 178.77                  | 537.52         | 10.921                          | 167.23                  | 475.16         | 11.376                          | 163.85                  | 458.61         | 13.196                          | 152.13                  | 406.07         |        |         |
|           |         | 300      | x        | 150      | 6.5     | 9.0      | 13.0                            | 256.0                   | 10.964         | 178.99                          | 566.49                  | 12.530         | 167.43                          | 497.21                  | 13.052         | 164.04                          | 478.98                  | 15.140         | 152.31 | 421.54  |
|           |         | 294      | x        | 200      | 8.0     | 12.0     | 18.0                            | 234.0                   | 17.275         | 255.37                          | 901.72                  | 19.742         | 238.88                          | 775.64                  | 20.565         | 234.05                          | 743.01                  | 23.855         | 217.31 | 642.00  |
|           |         | 300      | x        | 300      | 10.0    | 15.0     | 18.0                            | 234.0                   | 30.760         | 407.70                          | 1621.03                 | 35.154         | 381.37                          | 1372.42                 | 36.619         | 373.66                          | 1308.46                 | 42.478         | 346.94 | 1112.00 |
| WF<br>346 | x       | 305      | 15.0     | 15.0     | 18.0    | 234.0    | 33.122                          | 394.19                  | 1754.88        | 37.854                          | 368.73                  | 1476.08        | 39.431                          | 361.28                  | 1404.37        | 45.740                          | 335.44                  | 1184.42        |        |         |
|           |         | 350      | x        | 175      | 7.0     | 11.0     | 14.0                            | 300.0                   | 14.471         | 210.60                          | 623.34                  | 16.539         | 197.00                          | 552.04                  | 17.228         | 193.02                          | 533.08                  | 19.984         | 179.21 | 472.73  |
|           |         | 340      | x        | 250      | 9.0     | 14.0     | 20.0                            | 272.0                   | 28.561         | 325.71                          | 1138.57                 | 32.641         | 304.67                          | 979.17                  | 34.001         | 298.52                          | 937.93                  | 39.441         | 277.17 | 810.27  |
|           |         | 350      | x        | 350      | 12.0    | 19.0     | 20.0                            | 272.0                   | 52.357         | 480.33                          | 2033.88                 | 59.836         | 449.31                          | 1712.67                 | 62.330         | 440.23                          | 1630.05                 | 72.302         | 408.74 | 1376.61 |
| WF<br>396 | x       | 199      | 7.0      | 11.0     | 16.0    | 342.0    | 22.839                          | 243.47                  | 731.43         | 26.101                          | 227.75                  | 645.90         | 27.189                          | 223.15                  | 623.23         | 31.539                          | 207.19                  | 551.35         |        |         |
|           |         | 400      | x        | 200      | 8.0     | 13.0     | 16.0                            | 342.0                   | 27.005         | 247.03                          | 785.17                  | 30.863         | 231.07                          | 687.09                  | 32.149         | 226.40                          | 661.37                  | 37.293         | 210.21 | 580.56  |

## Sifat Mekanis Baja Struktural

| Jenis | f <sub>u</sub> (Mpa) | f <sub>y</sub> (Mpa) |
|-------|----------------------|----------------------|
| BJ 34 | 340                  | 210                  |
| BJ 37 | 370                  | 240                  |
| BJ 41 | 410                  | 250                  |
| BJ 50 | 50                   | 290                  |
| BJ55  | 51                   | 410                  |

$$\lambda^p = 1,76 * iy * \frac{E}{f_y}$$

$$\lambda_r = iy * \left[ \frac{x_1}{f_y - f_r} \right] \sqrt{1 + \sqrt{1 + x_2 f_{L^2}}}$$

$$x_1 = \left[ \frac{\pi}{S_x} \right] * \sqrt{\frac{E * G * J * A}{2}}$$

$$x_2 = 4 * \sqrt{\frac{S_x}{G * J}} * \frac{I_w}{I_y}$$

$$I_w = I_y \frac{h^2}{4}$$

$$J = \sum 3 bt^2$$

Dimana :

$$f_r : \frac{70}{f_y - f_r} \text{ MPa (Tegangan)}$$

$$E : 200000 \text{ MPa (Modulus)}$$

$$G : 80000 \text{ Mpa (Modulus)}$$

$$J : \text{Konstanta Puntir Torsi (cm}^4\text{)}$$

$$I_w : \text{Konstanta Puntir Lengkung (cm}^6\text{)}$$

## Sectional Dimension

| d<br>mm      | x<br>mm | bf<br>mm | t <sub>w</sub><br>mm | t <sub>f</sub><br>mm | m <sub>r</sub><br>mm | H <sub>2</sub><br>mm | BJ 34                      |                | BJ 37          |                            | BJ 41          |                | BJ 50                      |                |                |         |
|--------------|---------|----------|----------------------|----------------------|----------------------|----------------------|----------------------------|----------------|----------------|----------------------------|----------------|----------------|----------------------------|----------------|----------------|---------|
|              |         |          |                      |                      |                      |                      | Mn <sub>ZxTy</sub> (Ton.M) | λ <sub>p</sub> | λ <sub>r</sub> | Mn <sub>ZxTy</sub> (Ton.M) | λ <sub>p</sub> | λ <sub>r</sub> | Mn <sub>ZxTy</sub> (Ton.M) | λ <sub>p</sub> | λ <sub>r</sub> |         |
| 390 x 300    | 10.0    | 16.0     | 22.0                 | 314.0                | 44.428               | 395.47               | 1368.67                    | 50.775         | 369.93         | 1177.66                    | 52.890         | 362.46         | 1128.23                    | 61.353         | 336.53         | 975.14  |
| 400 x 400    | 13.0    | 21.0     | 22.0                 | 314.0                | 75.603               | 549.69               | 2254.25                    | 86.403         | 514.19         | 1902.73                    | 90.003         | 503.80         | 1812.32                    | 104.404        | 467.77         | 1534.84 |
| WF 450 x 200 | 9.0     | 14.0     | 18.0                 | 386.0                | 34.051               | 238.78               | 759.40                     | 38.916         | 223.35         | 666.08                     | 40.537         | 218.84         | 641.54                     | 47.023         | 203.19         | 564.28  |
| WF 440 x 300 | 11.0    | 18.0     | 24.0                 | 356.0                | 57.281               | 389.88               | 1356.09                    | 65.463         | 364.70         | 1167.31                    | 68.191         | 357.33         | 1118.44                    | 79.102         | 331.77         | 967.07  |
| WF 496 x 199 | 9.0     | 14.0     | 200                  | 68.0                 | 38.549               | 231.48               | 717.06                     | 44.056         | 216.53         | 632.58                     | 45.891         | 212.16         | 610.22                     | 53.234         | 196.98         | 539.38  |
| 500 x 200    | 10.0    | 16.0     | 20.0                 | 428.0                | 44.024               | 235.12               | 762.77                     | 50.313         | 219.94         | 668.01                     | 52.409         | 215.49         | 643.14                     | 60.794         | 200.08         | 564.94  |
| 482 x 300    | 11.0    | 15.0     | 26.0                 | 400.0                | 55.930               | 370.22               | 1159.95                    | 63.920         | 346.31         | 1016.29                    | 66.583         | 339.31         | 978.56                     | 77.237         | 315.04         | 859.90  |
| 488 x 300    | 11.0    | 18.0     | 26.0                 | 400.0                | 65.097               | 382.53               | 1261.26                    | 74.396         | 357.83         | 1094.55                    | 77.496         | 350.60         | 1051.15                    | 89.895         | 325.52         | 915.86  |
| WF 596 x 199 | 10.0    | 15.0     | 22.0                 | 522.0                | 53.239               | 220.17               | 678.32                     | 60.844         | 205.95         | 601.42                     | 63.379         | 201.79         | 580.94                     | 73.520         | 187.36         | 515.66  |
| 600 x 200    | 11.0    | 17.0     | 22.0                 | 522.0                | 60.127               | 223.71               | 712.28                     | 68.716         | 209.26         | 627.97                     | 71.579         | 205.03         | 605.67                     | 83.032         | 190.37         | 535.08  |
| 582 x 300    | 12.0    | 17.0     | 28.0                 | 492.0                | 79.431               | 360.10               | 1113.80                    | 90.778         | 336.84         | 979.90                     | 94.560         | 330.03         | 944.58                     | 109.690        | 306.43         | 833.01  |
| 588 x 300    | 12.0    | 20.0     | 28.0                 | 492.0                | 90.487               | 371.80               | 1195.89                    | 103.414        | 347.78         | 1043.95                    | 107.723        | 340.76         | 1004.19                    | 124.958        | 316.39         | 879.59  |
| WF 700 x 300 | 13.0    | 24.0     | 28.0                 | 596.0                | 131.225              | 384.51               | 1191.94                    | 149.971        | 359.68         | 1040.70                    | 156.220        | 352.41         | 1001.12                    | 181.215        | 327.20         | 877.05  |
| WF 800 x 300 | 14.0    | 26.0     | 28.0                 | 692.0                | 167.905              | 359.28               | 1149.59                    | 191.891        | 336.07         | 1007.41                    | 199.887        | 329.28         | 970.06                     | 231.868        | 305.73         | 852.58  |
| WF 900 x 300 | 16.0    | 28.0     | 28.0                 | 788.0                | 213.657              | 346.39               | 1118.03                    | 244.179        | 324.02         | 981.68                     | 254.354        | 317.47         | 945.78                     | 295.050        | 294.76         | 832.65  |

| 2010)                          |             |             |
|--------------------------------|-------------|-------------|
|                                |             |             |
| n Sisa)                        |             |             |
| section Baja )<br>Geser Baja.) |             |             |
|                                |             | BJ 55       |
| Mn (Ton.M)<br>Zx*fy            | $\lambda_p$ | $\lambda_r$ |
| 1.714                          | 43.73       | 164.09      |
| 3.452                          | 96.15       | 373.54      |
| 3.033                          | 51.01       | 180.54      |
| 6.113                          | 120.86      | 426.18      |
| 4.026                          | 64.40       | 185.59      |
| 6.168                          | 92.20       | 292.51      |
| 9.823                          | 145.58      | 481.00      |
| 6.225                          | 80.15       | 223.54      |
| 14.743                         | 170.39      | 538.12      |
| 6.988                          | 86.20       | 221.39      |
| 8.206                          | 86.34       | 233.04      |
| 12.145                         | 140.14      | 379.77      |
| 21.039                         | 195.08      | 593.78      |
| 12.520                         | 108.58      | 272.90      |
| 14.426                         | 108.61      | 282.85      |
| 21.926                         | 162.60      | 435.02      |
| 38.412                         | 244.60      | 711.88      |
| 18.656                         | 127.94      | 315.64      |
| 21.405                         | 128.10      | 324.40      |
| 33.727                         | 182.76      | 478.45      |
| 60.055                         | 291.78      | 802.13      |
| 64.667                         | 282.11      | 840.05      |
| 28.254                         | 150.72      | 368.39      |
| 34.475                         | 153.45      | 384.60      |
| 55.761                         | 233.10      | 603.63      |
| 102.220                        | 343.76      | 979.38      |
| 44.589                         | 174.25      | 427.96      |
| 52.724                         | 176.79      | 444.85      |



l Sisa)

section Baja )  
Geser Baja.)

| BJ 55               |             |             |
|---------------------|-------------|-------------|
| Mn (Ton.M)<br>Zx*fy | $\lambda_p$ | $\lambda_r$ |
| 86.740              | 283.03      | 727.13      |
| 147.605             | 393.40      | 1098.82     |
| 66.481              | 170.89      | 433.83      |
| 111.833             | 279.03      | 721.62      |
| 75.262              | 165.67      | 418.09      |
| 85.951              | 168.27      | 433.37      |
| 109.197             | 264.96      | 660.06      |
| 127.093             | 273.77      | 692.83      |
| 103.942             | 157.57      | 402.46      |
| 117.390             | 160.10      | 414.39      |
| 155.079             | 257.71      | 643.23      |
| 176.665             | 266.09      | 671.51      |
| 256.200             | 275.18      | 669.77      |
| 327.814             | 257.13      | 654.63      |
| 417.140             | 247.90      | 641.14      |



# REDESAIN GEDUNG INNOVATIVE PROGRAM CLUSTER (IPC) UNIVERSITAS KATOLIK SOEGIJAPRANATA SEBAGAI SISTEM RANGKA BAJA PEMIKUL MOMEN

*Jufri*

ORIGINALITY REPORT

21 %  
SIMILARITY INDEX

18%  
INTERNET SOURCES

2%  
PUBLICATIONS

10%  
STUDENT PAPERS

Mengutip : Muhammad Rusli Alayat

PRIMARY SOURCES

|   |  |     |
|---|--|-----|
| 1 | repository.its.ac.id<br>Internet Source  | 5%  |
| 2 | Submitted to Sultan Agung Islamic University<br>Student Paper                        | 4%  |
| 3 | eprints.itn.ac.id<br>Internet Source   | 3%  |
| 4 | eprints.umm.ac.id<br>Internet Source   | 1 % |
| 5 | www.scribd.com<br>Internet Source  | 1 % |
| 6 | Submitted to Fakultas Ekonomi dan Bisnis<br>Universitas Gadjah Mada<br>Student Paper | 1 % |
| 7 | repository.unika.ac.id<br>Internet Source  | 1 % |
| 8 | Submitted to Sriwijaya University<br>Student Paper                                   | 1 % |

|    |   |      |
|----|---|------|
| 9  | ocw.upj.ac.id<br>Internet Source                          | 1 %  |
| 10 | repository.ummat.ac.id<br>Internet Source                 | <1 % |
| 11 | Submitted to Universitas Islam Indonesia<br>Student Paper | <1 % |
| 12 | es.scribd.com<br>Internet Source                          | <1 % |
| 13 | repository.umsu.ac.id<br>Internet Source                  | <1 % |
| 14 | 123dok.com<br>Internet Source                             | <1 % |
| 15 | repository.usm.ac.id<br>Internet Source                   | <1 % |
| 16 | id.123dok.com<br>Internet Source                          | <1 % |
| 17 | repository.ub.ac.id<br>Internet Source                    | <1 % |
| 18 | idoc.pub<br>Internet Source                               | <1 % |
| 19 | jurnalmahasiswa.unesa.ac.id<br>Internet Source            | <1 % |
| 20 | adoc.pub<br>Internet Source                               | <1 % |



|                 |  |      |
|-----------------|--|------|
| 21              | <a href="http://www.slideshare.net">www.slideshare.net</a>                         | <1 % |
| Internet Source |  |      |
| 22              | <a href="http://core.ac.uk">core.ac.uk</a>   | <1 % |
| Internet Source |  |      |
| 23              | <a href="http://ejournal.unsrat.ac.id">ejournal.unsrat.ac.id</a>                   | <1 % |
| Internet Source |  |      |
| 24              | <a href="http://id.scribd.com">id.scribd.com</a>                                   | <1 % |
| Internet Source |  |      |
| 25              | <a href="http://repositori.umsu.ac.id">repositori.umsu.ac.id</a>                   | <1 % |
| Internet Source |  |      |
| 26              | Submitted to Universitas Negeri Surabaya The State University of Surabaya          | <1 % |
| Student Paper   |  |      |
| 27              | <a href="http://lib.unnes.ac.id">lib.unnes.ac.id</a>                               | <1 % |
| Internet Source |  |      |
| 28              | <a href="http://repositori.unsil.ac.id">repositori.unsil.ac.id</a>                 | <1 % |
| Internet Source |  |      |
| 29              | Submitted to Politeknik Negeri Bandung   | <1 % |
| Student Paper   |  |      |
| 30              | <a href="http://fr.scribd.com">fr.scribd.com</a>                                   | <1 % |
| Internet Source |  |      |
| 31              | <a href="http://repository.un&gt;tag-sby.ac.id">repository.un&gt;tag-sby.ac.id</a> | <1 % |
| Internet Source |  |      |
| 32              | Submitted to Universitas International Batam                                       |      |
| Student Paper   |  |      |



<1 %

---

33 edoc.site <1 %  
Internet Source

34 Submitted to University of Malaya <1 %  
Student Paper

35 ejurnal.itenas.ac.id <1 %  
Internet Source

36 etheses.iainponorogo.ac.id <1 %  
Internet Source

37 docplayer.com.br <1 %  
Internet Source

38 repo.unhi.ac.id <1 %  
Internet Source

39 repositori.usu.ac.id <1 %  
Internet Source

40 Sri Nawangwulan. "Meningkatkan Keaktifan Mahasiswa Semester 3 Program Studi Rekam Medik dan Informasi Kesehatan melalui Think-Pair-Share (TPS)", Jurnal Manajemen Kesehatan Yayasan RS.Dr. Soetomo, 2015  
Publication

41 abstrak.ta.uns.ac.id <1 %  
Internet Source

dspace.uji.ac.id

|    |   |      |
|----|---|------|
| 42 | Internet Source   | <1 % |
| 43 | <a href="#">ejurnal.itats.ac.id</a><br>Internet Source  | <1 % |
| 44 | <a href="#">repo.itera.ac.id</a><br>Internet Source     | <1 % |
| 45 | <a href="#">tr.scribd.com</a><br>Internet Source        | <1 % |
| 46 | <a href="#">vdocuments.mx</a><br>Internet Source        | <1 % |
| 47 | <a href="#">repository.uma.ac.id</a><br>Internet Source | <1 % |

